

MARCOS ROBERTO SILVA

**UMA CONTRIBUIÇÃO AO PROJETO DE REDES DE
TRANSPORTE DE CARGA PARCELADA**

Tese apresentada à Escola
Politécnica da Universidade de
São Paulo para obtenção do
Título de Doutor em Engenharia.

São Paulo

2010

MARCOS ROBERTO SILVA

**UMA CONTRIBUIÇÃO AO PROJETO DE REDES DE
TRANSPORTE DE CARGA PARCELADA**

Tese apresentada à Escola
Politécnica da Universidade de
São Paulo para obtenção do
Título de Doutor em Engenharia.

Área de Concentração:
Engenharia de Transportes

Orientador: Prof. Livre-Docente
Cláudio Barbieri da Cunha

São Paulo

2010

Este exemplar foi revisado e alterado em relação à versão original, sob responsabilidade única do autor e com a anuência de seu orientador.

São Paulo, 12 de novembro de 2010.

Assinatura do autor _____

Assinatura do orientador _____

FICHA CATALOGRÁFICA

Silva, Marcos Roberto

**Uma contribuição ao projeto de redes de transporte de carga parcelada / M.R. Silva. -- ed.rev. -- São Paulo, 2010.
219 p.**

Tese (Doutorado) - Escola Politécnica da Universidade de São Paulo. Departamento de Engenharia de Transportes.

1. Logística 2. Transportes (Modelagem matemática) I. Universidade de São Paulo. Escola Politécnica. Departamento de Engenharia de Transportes II. t.

AGRADECIMENTOS

Ao amigo e orientador Prof. Dr. Cláudio Barbieri da Cunha pelas diretrizes seguras e permanente incentivo.

À minha família pelo estímulo e incansável apoio.

A todos que, direta ou indiretamente, colaboraram na execução desse trabalho.

RESUMO

Esta pesquisa trata do projeto de redes de distribuição de carga parcelada. Mais especificamente são tratados dois tipos de problemas que são comuns no planejamento desse tipo de sistema. O primeiro deles corresponde ao problema estratégico de configuração de redes do tipo *hub-and-spoke*, consistindo na definição simultânea da quantidade e localização de terminais para consolidação de carga (ou *hubs*), e na definição da alocação dos terminais aos *hubs* localizados. Uma vez determinada a configuração da rede, o segundo problema, no nível de decisão tático, corresponde na definição do caminho que cada carga parcelada deve percorrer desde sua origem até alcançar seu terminal de destino, a um mínimo custo, tendo a rede *hub-and-spoke* como um dado de entrada do problema.

Um novo modelo matemático é proposto para representar o problema estratégico de configuração de uma rede *hub-and-spoke*, possuindo uma menor quantidade de variáveis e restrições, ao se comparar com outros modelos matemáticos comumente utilizados para representar o problema. Esse novo modelo matemático permitiu a obtenção de soluções ótimas para problemas em redes com até 100 terminais, sendo apresentada pela primeira vez a solução ótima para problemas utilizados como *benchmark* na literatura. Dado que problemas de grande porte ainda continuam muito difíceis de serem resolvidos, são propostas três variantes de uma heurística simples e eficiente utilizando técnicas de multi-início e busca tabu, bem como uma heurística integrada em dois estágios baseada em busca tabu para solução. Experimentos computacionais utilizando dados tradicionalmente utilizados na literatura para solução de problemas de configuração de redes *hub-and-spoke* (conjuntos de dados CAB e AP), bem como instâncias novas e modificadas, mostraram que a abordagem utilizada para solução do problema possibilitou a obtenção da solução ótima, ou a melhor solução conhecida, para esses problemas em um tempo de processamento muito curto, permitindo assim resolver de forma eficiente problemas de grande porte, nunca antes resolvidos em pesquisas anteriores.

O segundo problema foi motivado por uma aplicação prática de uma empresa de transporte rodoviário de cargas parceladas no Brasil. O problema diz respeito ao planejamento de carregamentos a serem realizados em cada terminal, levando-se em consideração cada carga parcelada que precisa ser transportada, definindo o percurso que cada carga deve percorrer até chegar ao seu destino. É proposto um modelo matemático e, dada a dificuldade para se resolver problemas de tamanho como o encontrado na prática, é proposto também um método de solução utilizando metaheurística busca tabu. Experimentos computacionais realizados mostraram que a heurística proposta pôde efetivamente resolver problemas de tamanho como o encontrado na prática.

Palavras-chave: Projeto de redes. Transporte de cargas. Logística. Algoritmos. Heurísticas.

ABSTRACT

This research deals with problems related to distribution networks for less-than-truckload (LTL) freight transportation. More specifically, we deal with two relevant problems that arise. The first corresponds to the strategic problem of designing and configuring hub-and-spoke networks in terms of simultaneously determining the optimal number of consolidation terminals (hub) nodes, their locations and the allocation of the other terminals (spokes) to the hubs. . Once the network configuration is determined, the second problem, in the tactical level of decision, corresponds to defining the path that each LTL individual freight needs to follow from its origin to reach its destination terminal, at a minimum cost, having a hub-and-spoke network topology as a data entry to the problem.

A new mathematical model is proposed to represent the strategic problem of designing a hub-and-spoke network, with fewer variables and constraints than previous formulations found in the literature. This model allowed us to obtain optimal solutions for problems in transportation networks with up to 100 terminals, reporting for the first time the optimal solutions of benchmark problems in the literature. Since this problems still remains too hard to solve for larger instances, we propose we propose three variants of a simple and efficient multi-start tabu search heuristic as well as a two-stage integrated tabu search heuristic to solve it. Computational experiments using typical benchmark problems (CAB and AP data sets) as well as new and modified instances show that our approaches consistently return the optimal or best-known results in very short CPU times, thus allowing the possibility of efficiently solving larger instances of the USAHLP than those found in the literature.

The second problem is motivated by a practical application of a LTL transportation company in Brazil. It deals with the planning of loads to be done at each terminal, taking into account each LTL freight that needs to be transported, defining the path that each good needs to follow to reach its destination. A new mathematical model is proposed, and, since real world problems are very hard to solve, a heuristic based on tabu search is also developed. Computational experiments show that our heuristic can effectively solve real-world instances from a trucking company in Brazil

Keywords: Network design. Less-than-truckload freight transportation. Logistics. Algorithms. Heuristics.

SUMÁRIO

1	INTRODUÇÃO	1
1.1	OBJETIVOS DO TRABALHO	1
1.2	RELEVÂNCIA DO TEMA	3
1.3	ORGANIZAÇÃO DA TESE	6
2	UMA VISÃO GERAL DO TRANSPORTE DE CARGA PARCELADA	7
2.1	OPERANDO COMO UM TRANSPORTADOR DE CARGA COMPLETA	8
2.2	REDES <i>HUB-AND-SPOKE</i>	11
2.3	CONSOLIDAÇÃO TÍPICA BASEADA EM UMA REDE <i>HUB-AND-SPOKE</i>	14
2.4	O EQUIPAMENTO DE TRANSPORTE	15
2.5	O PROBLEMA DA CONFIGURAÇÃO DE UMA REDE DE TRANSPORTE DE CARGA PARCELADA	16
3	REVISÃO BIBLIOGRÁFICA	18
3.1	REDES <i>HUB-AND-SPOKE</i> NA LITERATURA	21
3.1.1	Literatura específica referente ao USAHLP	26
3.1.2	Outros problemas de projeto de redes do tipo <i>hub-and-spoke</i>	35
3.2	LITERATURA RELATIVA AO PROBLEMA DE CARREGAMENTO DE CARGAS EM UMA REDE DE TRANSPORTE	41
3.2.1	O problema de projeto de uma rede de serviços (PPRS)	51
3.2.2	Reposicionamento de veículos vazios	55
3.3	CONCLUSÕES DO CAPÍTULO	55
4	PROJETO DE REDES <i>HUB-AND-SPOKE</i> – MODELAGEM E HEURÍSTICAS	58
4.1	MODELO MATEMÁTICO PARA O PROJETO DE REDES <i>HUB-AND-SPOKE</i>	59
4.2	ESTRATÉGIA PROPOSTA PARA SOLUÇÃO DO USAHLP	61
4.2.1	Heurísticas multi-início para solução do USAHLP	61
4.2.2	Uma busca tabu integrada para solução do USAHLP	69
4.3	EXPERIMENTOS COMPUTACIONAIS	74
4.3.1	Resultados obtidos com o conjunto de dados CAB	76

4.3.2	Resultados obtidos com o conjunto de dados AP.....	84
4.4	NOVAS INSTÂNCIAS COM CUSTOS FIXOS REDUZIDOS	93
4.5	NOVAS INSTÂNCIAS BASEADAS NO CONJUNTO AP	96
4.6	CONCLUSÕES DO CAPÍTULO	98
5	CARREGAMENTO DE CARGAS PARCELADAS EM UMA REDE DE TRANSPORTE.....	100
5.1	MODELO MATEMÁTICO	105
5.2	ESTRATÉGIA DE SOLUÇÃO BASEADA EM BUSCA TABU.....	109
5.2.1	Geração da solução inicial	110
5.2.2	Busca tabu para a criação da rede	115
5.3	PROBLEMA EXEMPLO	119
5.4	EXPERIMENTOS COMPUTACIONAIS.....	130
5.5	CONCLUSÕES DO CAPÍTULO	138
6	CONCLUSÕES E RECOMENDAÇÕES	140
6.1	CONCLUSÕES GERAIS	141
6.2	SUGESTÕES PARA ESTUDOS FUTUROS	143
	REFERÊNCIAS	145
	APÊNDICE A – DADOS UTILIZADOS PARA O ESTUDO DE CASO PATRUS TRANSPORTES	155

LISTA DE FIGURAS

Figura 2.1: Distribuição do peso dos despachos transportados	10
Figura 2.2: Exemplo de rede <i>hub-and-spoke</i>	12
Figura 2.3: Exemplo de carreta utilizada como veículo tipo para o estudo	16
Figura 3.1: Exemplo de rede ponto a ponto e <i>hub-and-spoke</i>	22
Figura 4.1: Exemplo de alocação dos nós aos <i>hubs</i>	64
Figura 4.2: Esqueleto básico das heurísticas MSTS para o USAHLP.....	64
Figura 4.3: Custo da solução para diferentes números de <i>hubs</i> selecionados (p) ...	71
Figura 4.4: Esqueleto básico da heurística HubTS para o USAHLP.	72
Figura 4.5: Esqueleto básico do procedimento TabuLoc para o USAHLP.	73
Figura 4.6: Descrição básica do procedimento TabuAlloc.....	74
Figura 4.7: Trecho de código em C++ - modelo matemático (CPLEX).....	77
Figura 5.1: Possíveis rotas entre os terminais i e j alocados aos <i>hubs</i> K e L	102
Figura 5.2: Alternativa de rota entre os terminais i e j utilizando um <i>hub</i> 'M'	103
Figura 5.3: Representação da solução.....	110
Figura 5.4: Definição da quantidade de veículos em cada arco	113
Figura 5.5: Exemplo de definição da quantidade de veículos em cada arco.....	115
Figura 5.6: Esqueleto básico da busca tabu para solução do problema	118
Figura 5.7: Rede <i>hub-and-spoke</i> para o problema exemplo	120
Figura 5.8: Representação gráfica dos arcos disponíveis do problema exemplo...	122
Figura 5.9: Demanda de cargas a serem transportadas no problema exemplo	122
Figura 5.10: Modelo matemático em AMPL para o problema exemplo	125
Figura 5.11: Dados de entrada em AMPL do problema exemplo	126
Figura 5.12: Representação gráfica da solução do problema exemplo	129
Figura 5.13: <i>Hub</i> Patrus Transportes em Contagem-MG	131
Figura 5.14: Alternativas de rotas entre os terminais da rede	133
Figura 5.15: Código fonte em Perl para cálculo de distância entre terminais	135
Figura 5.16: Resultados obtidos para um único tipo de veículo	138

LISTA DE TABELAS

Tabela 4.1: Instâncias do CAB: soluções ótimas novas ou corrigidas	78
Tabela 4.2: Soluções ótimas: conjunto de dados CAB	80
Tabela 4.3: Heurísticas MSTs – conjunto de dados CAB ($n = 10, 15$)	81
Tabela 4.4: Heurísticas MSTs – conjunto de dados CAB ($n = 20, 25$)	82
Tabela 4.5: Resultados para o HubTS – conjunto de dados CAB ($n = 10, 15$)	85
Tabela 4.6: Resultados para o HubTS – conjunto de dados CAB ($n = 20, 25$)	86
Tabela 4.7: Comparação do desempenho das heurísticas HubTS, MSTs-3 e SATLUHLP (CHEN, 2007)	87
Tabela 4.8: Soluções ótimas para os problemas do conjunto de dados AP	88
Tabela 4.9: Resultados das Heurísticas MSTs e HubTS – conjunto de dados AP ..	92
Tabela 4.10: Soluções ótimas – conjunto de dados AP com $\theta = 0,9$ e $\theta = 0,8$	94
Tabela 4.11: Heurísticas MSTs e HubTS – conjunto de dados $\theta = 0,9$ e $\theta = 0,8$...	95
Tabela 4.12: Resultados para o conjunto de dados AP com 300 e 400 nós	98
Tabela 5.1: Terminais envolvidos no problema exemplo	119
Tabela 5.2: Cargas a serem transportadas.....	123
Tabela 5.3: Arcos disponíveis para transporte.....	124
Tabela 5.4: Solução do problema exemplo	127
Tabela 5.5: Lista de terminais da Patrus Transportes	132
Tabela 5.6: Instâncias Patrus Transportes	134
Tabela 5.7: Resultados obtidos – Patrus Transportes	137

1 INTRODUÇÃO

1.1 OBJETIVOS DO TRABALHO

Este trabalho foi estruturado e redigido de forma a constituir uma Tese de Doutorado, e com isso, preencher parte dos requisitos para obtenção do título de Doutor em Engenharia na área de Planejamento e Operação de Transportes do Departamento de Engenharia de Transportes da Escola Politécnica da Universidade de São Paulo.

Esta pesquisa trata do projeto de redes de distribuição de carga parcelada. Mais especificamente são tratados dois tipos de problemas que são comuns no planejamento desse tipo de sistema. O primeiro deles corresponde ao problema estratégico de configuração de redes do tipo *hub-and-spoke*, consistindo na definição simultânea da quantidade e localização de terminais para consolidação de carga (ou *hubs*), e na definição da alocação dos terminais aos *hubs* localizados. Uma vez determinada a configuração da rede, o segundo problema, no nível de decisão tático, corresponde na definição do caminho que cada carga parcelada deve percorrer desde sua origem até alcançar seu terminal de destino, a um mínimo custo, tendo a rede *hub-and-spoke* como um dado de entrada do problema.

Em nível de decisão estratégico, o objetivo é determinar o número de terminais que farão a consolidação de cargas parceladas, a localização de cada um deles, bem como sua respectiva abrangência ou área de atuação, de forma a minimizar a somatória dos custos envolvidos, que englobam custos variáveis de transporte e custos fixos de operação desses terminais.

Esta tese trata mais especificamente do problema de localização de *hubs* não capacitados com alocação única, e neste trabalho são apresentadas quatro heurísticas eficientes para sua solução, superando todos os métodos já desenvolvidos e apresentados na literatura. Foi ainda proposto um novo modelo

matemático para representar o problema, permitindo a obtenção da solução ótima para instâncias com redes de até 100 terminais.

Já em nível de decisão tático, o estudo está centrado na definição do fluxo (percurso ou caminho) que cada carga deve percorrer até chegar ao seu destino, tendo como dado de entrada uma rede de transporte do tipo *hub-and-spoke* com as possíveis ligações entre terminais já pré-definidas. Dado um conjunto de cargas a serem transportadas, deseja-se, portanto, decidir como essas cargas serão movimentadas nessa rede, definindo as possíveis paradas intermediárias, e também no dimensionamento dos veículos necessários em cada percurso.

Esse problema é de grande importância prática, pois o objetivo consiste em definir diferentes formas de consolidação e as rotas a serem operadas, tentando acompanhar a variação na demanda por transporte de carga parcelada que ocorre no Brasil em certas semanas do mês, e em certos meses do ano.

O problema de carregamento de cargas em uma rede de transporte, conhecido na literatura específica como *network loading problem* (NLP), é um problema NP-hard, não existindo métodos exatos eficientes para solução de problemas de tamanho igual ao encontrado na prática. Dada a complexidade para solução desse problema, é proposto nesta pesquisa um método de solução utilizando a metaheurística busca tabu, obtendo resultados satisfatórios na solução de um problema real de uma empresa transportadora de carga parcelada no Brasil.

Este trabalho trata, portanto, de dois problemas distintos, um de natureza estratégica, que consiste na difícil tarefa de localização, determinação da quantidade e área de atuação de terminais que operarão como *hubs* e serão responsáveis pela consolidação de cargas parceladas. Em nível de planejamento tático, outro problema estudado foi a determinação do fluxo ou rota que cada carga deve seguir para chegar ao seu destino a um menor custo possível, valendo-se dos benefícios da consolidação.

Parte desta pesquisa é uma continuidade da dissertação de mestrado do autor, finalizada em 2004 (SILVA, 2004), e também faz parte de um esforço de pesquisa

de modelagem de problemas de localização de instalações, e configuração de redes de transporte, que vem sendo desenvolvido no âmbito da Escola Politécnica, do qual se podem citar os trabalhos de Machado (1989), Tondo (1992), Gualda (1995), Hellmuth (2004), Mutarelli (2004), Vallin Filho (2004), Alamo (2005), Cunha (2006), Hamad (2006), Pires (2006) e Romero (2006).

1.2 RELEVÂNCIA DO TEMA

O transporte de cargas é um componente vital na economia. Ele fornece suporte à produção, ao comércio, e a atividades de consumo, assegurando a movimentação eficiente e disponibilizando, em tempo oportuno, matérias primas e produtos acabados. Além disso, o transporte pode representar uma parcela significativa do custo de inúmeros produtos, bem como da despesa nacional de qualquer país.

O setor de transporte de cargas vem alcançando, mundialmente, altos níveis de desempenho em termos de eficiência econômica e qualidade de serviço. Eficiência em decorrência da necessidade de empresas de transportes de buscarem lucro num ambiente de mercado aberto, competitivo e focado no custo. Qualidade devido aos serviços de transporte, que devem se adequar aos altos padrões impostos pelos atuais paradigmas de produção e gestão, tais como redução de estoques, menores *lead-times* de produção, de compras e de distribuição, serviços personalizados e controle de qualidade focada no cliente ao longo da cadeia logística como um todo. Para as empresas de transporte, esses padrões dizem respeito particularmente ao tempo total para entrega e à confiabilidade do serviço, os quais têm, muitas vezes, se traduzido dentro de objetivos como “esteja lá rápido, mas dentro dos limites especificados” ou “oferecer serviços de alta qualidade e desempenho consistente”.

O crescimento econômico experimentado pelo Brasil nos últimos anos teve também um grande impacto no setor de transporte rodoviário de cargas. Um exemplo disso foi o problema enfrentado por diversas empresas transportadoras, que tiveram enormes dificuldades operacionais no segundo semestre de 2009. Terminais superlotados, falta de caminhões, de motoristas e até de ajudantes acabaram causando expressivos atrasos nas entregas.

Benatti (2010), em seu comunicado como Presidente da Associação Nacional do Transporte de Cargas e Logística salientou a necessidade de se recompor os valores de frete, para permitir a cobertura dos custos, a reposição das margens de lucro e assegurar os investimentos necessários para que a demanda de carga possa ser atendida dentro da normalidade. Caso contrário, o transporte rodoviário de cargas pode se transformar em grave ponto de estrangulamento para o alto crescimento econômico do país, previsto para este e os próximos anos.

A demanda por transporte de cargas deriva do inter-relacionamento entre produtores e consumidores e as significativas distâncias que geralmente os separam. Produtores de bens precisam dos serviços de transporte para movimentar matérias primas e produtos intermediários, e para a distribuição dos produtos finais, com o objetivo de atender a demanda. Tais serviços são fornecidos por transportadores (ou transportadoras) tais como empresas de transporte rodoviário, aéreo, ferroviário, de cabotagem, de encomendas expressas e de serviços postais. Embarcadores, que podem ser produtores de bens ou empresas intermediárias (conhecidas como *brokers*), são geradores de demanda para os serviços prestados pelos transportadores.

O poder público em geral é o principal provedor e gestor de infraestrutura: rodovias, e muitas vezes uma parcela significativa da infraestrutura portuária de navegação interior e do transporte ferroviário. O poder público também atua na regulamentação como, por exemplo, o transporte de produtos químicos perigosos, e também cria impostos e tributos para as empresas e a sociedade como um todo.

Ao se examinar o transporte de cargas, pode-se muitas vezes distinguir entre produtores que executam seu próprio transporte com sua frota própria (que então se tornam transportadores da sua própria carga), e transportadoras contratadas, que realizam os serviços de transporte para vários embarcadores, ou seja, empresas que necessitam transportar suas matérias primas ou produtos.

Serviços sob medida para cada cliente tornam-se mais difíceis de serem oferecidos quando as demandas de alguns clientes são atendidas simultaneamente, utilizando

o mesmo veículo ou comboio. Transportadores devem estabelecer rotas regulares e ajustar suas características (paradas intermediárias, frequência, tipo de veículo, capacidade, velocidade etc.) para atender as expectativas de um maior número possível de clientes.

Externamente, os transportadores então definem uma série de rotas, ou serviços, cada uma com suas características operacionais. Solicitações de serviços são, muitas vezes, agrupadas em uma programação que indica os tempos de chegada e de partida e as paradas de cada percurso. Internamente, as transportadoras constroem uma série de regras e políticas que afetam o sistema como um todo e são muitas vezes agrupadas em um plano operacional, cujo objetivo é assegurar que os serviços propostos sejam realizados conforme acordado com o(s) cliente(s) (ou o mais próximo possível), operando de uma maneira racional e eficiente.

A presença de terminais onde as cargas e os veículos são consolidados, agrupados, ou simplesmente movidos de um serviço para outro, caracteriza esse tipo de transporte realizado por transportadores de carga parcelada.

Segundo o sumário executivo do Plano Nacional de Logística & Transportes, apresentado pelos Ministérios dos Transportes e da Defesa no ano de 2007, o transporte rodoviário de cargas é responsável por 58% da produção total de transporte, tendo evoluído significativamente nos últimos anos, em parte devido às exigências dos clientes, mas principalmente em decorrência do aumento da competição entre empresas, com margens cada vez menores.

O segmento de carga parcelada abrange, como o próprio nome já diz, os serviços de transporte rodoviário de cargas cujo volume, para um cliente, uma origem e um destino, não é suficiente para lotar um veículo. Assim, cargas de diversos clientes são agregadas e transportadas conjuntamente. Esse tipo de serviço normalmente engloba as operações de coleta no cliente remetente, transferência de longa distância entre terminais e entrega ao destinatário.

Conseqüentemente, as empresas de transporte rodoviário dispõem de estruturas de apoio, que são instalações geograficamente distribuídas, geralmente denominadas

“filiais”, nas quais são consolidadas cargas de diferentes origens para destinos convergentes. Na maioria das vezes as localizações destas filiais foram definidas ao longo do tempo, de acordo com a demanda de cargas, e também pela prática e experiência do líder responsável pela empresa.

1.3 ORGANIZAÇÃO DA TESE

Este texto está estruturado e distribuído em Capítulos, sendo que no Capítulo 2 é apresentada uma visão geral do transporte de carga parcelada, incluindo as diferentes formas e particularidades de operação.

O Capítulo 3 corresponde à revisão bibliográfica onde são apresentados inicialmente conceitos e definições básicas para o desenvolvimento dos demais capítulos, e relacionados aos modelos de configuração de redes *hub-and-spoke*, como também no projeto de rede de serviços.

O Capítulo 4 diz respeito ao projeto de uma rede de transporte do tipo *hub-and-spoke*, apresentando o modelo matemático utilizado para representar o problema, alternativas eficientes para solução, métodos esses baseados tanto em métodos exatos como também em heurísticas, e ainda experimentos computacionais realizados para verificar a eficácia das estratégias de solução propostas.

No Capítulo 5 é detalhado o problema do carregamento de cargas parceladas em uma rede de transporte, apresentando também a formulação matemática para representar o problema. Dada a complexidade do problema e dificuldade em se desenvolver um método exato para solução, foi proposta uma heurística baseada em busca tabu. Experimentos computacionais foram conduzidos para verificar a eficácia do método de solução proposto.

Finalmente no Capítulo 6 são apresentadas as conclusões obtidas e considerações finais, incluindo o encaminhamento sugerido para continuidade desta pesquisa.

2 UMA VISÃO GERAL DO TRANSPORTE DE CARGA PARCELADA

Neste Capítulo é apresentada uma visão geral do transporte de carga parcelada, com vistas a um melhor entendimento tanto da revisão bibliográfica que se segue, quanto dos dois problemas tratados nesta tese:

- o problema tratado em nível de decisão estratégico, consistindo na configuração de uma rede do tipo *hub-and-spoke*, isto é, na definição da quantidade e localização de terminais que operarão como pontos para consolidação de cargas parceladas (ou simplesmente terminais de consolidação), e também na definição da designação dos outros terminais da rede aos *hubs* localizados;
- em nível de decisão tático, o problema da definição do carregamento de cargas parceladas em uma rede de transporte pré-definida, especificamente na determinação do percurso ou caminho que cada carga deve percorrer, incluindo possíveis paradas em terminais intermediários, para chegar ao terminal de destino que será responsável pela entrega final dos produtos.

Empresas transportadoras de carga pelo modal rodoviário geralmente se especializam em um dos seguintes tipos de carga:

- 1) carga completa (*truckload*)
- 2) carga parcelada (*less-than-truckload*)

A Comissão de Comércio Interestadual dos Estados Unidos (*Interstate Commerce Commission - ICC*) define uma carga parcelada como sendo uma carga com até 10.000 libras de peso, ou 4.536 kg, enquanto que uma carga completa é aquela com peso acima desse valor. O ICC não categoriza as empresas como sendo de carga completa ou parcelada; somente as cargas são classificadas. A mesma definição é encontrada em Kawamura (1999) que distingue a carga fracionada da lotação da mesma forma que o ICC, utilizando os mesmos valores limites de peso como parâmetro para diferenciação.

Uma carga completa é geralmente um carregamento individual desde a sua origem até o destino em um único veículo. Esta carga não necessita nenhuma

movimentação ou classificação intermediária. Um transportador especializado em carga parcelada pode também oferecer serviços de transporte de carga completa. Para fazer um uso econômico do veículo, as cargas parceladas são geralmente consolidadas.

É comum encontrar empresas transportadoras que se especializam em carga parcelada. Uma empresa transportadora especializada no transporte de encomendas e pequenos volumes muitas vezes restringe o peso a ser transportado, sendo que muitas delas limitam esse peso para até 20 kg. Como exemplo o serviço postal norte-americano (USPS), Fedex, UPS e empresas regionais dos EUA como a AB Express.

2.1 OPERANDO COMO UM TRANSPORTADOR DE CARGA COMPLETA

Um transportador rodoviário de carga parcelada realiza o transporte de um despacho desde o seu ponto de origem até o seu ponto de destino. Se não houvesse nenhuma restrição de nível de serviço, a política ideal para despacho de um veículo seria "viaje quando estiver lotado". Sob essa política, a utilização do veículo seria máxima e cada despacho seria enviado diretamente da sua origem até o seu destino.

Utilizando-se esta política, se não houver carga suficiente para completar a capacidade do veículo em um determinado percurso, o veículo permanece na origem aguardando carga suficiente para sua liberação para viagem. Contudo, esta seria uma prática inviável uma vez que não existiria embarcador que aceitaria que seu despacho permanecesse na origem aguardando fluxo suficiente, sem uma data de embarque, e conseqüentemente de entrega, bem definidas.

Dado que o nível de serviço oferecido é de extrema importância para a manutenção e conquista de novos clientes, a implementação de uma estratégia do tipo "viaje quando estiver lotado" parece ser uma péssima idéia, uma vez que não seria

possível garantir o cumprimento do prazo de entrega acordado, o que levaria as empresas a aumentarem seus estoques em trânsito.

Se não há carga suficiente para completar a capacidade de um veículo, mesmo que parcialmente, esse veículo deve ser liberado para viagem a fim de não comprometer o nível de serviço prestado aos clientes. Entretanto, se não há carga suficiente para completar a capacidade de um veículo, a liberação de um veículo parcialmente ocupado é uma forma cara e ineficiente de se operar.

Um despacho corresponde a um embarque único contendo uma origem, um destino e dimensões (peso e volume) definidos, um único cliente remetente e um único cliente destinatário. O conjunto de despachos de diversos clientes, partindo de um mesmo terminal de origem para o mesmo terminal de destino, constitui uma carga, com peso e volume totais correspondentes às somatórias dos pesos e volumes de todos os despachos que a compõe.

Tipicamente, a grande maioria dos despachos possui um tamanho muito pequeno. No caso da Patrus Transportes, que é uma empresa brasileira de transporte rodoviário de cargas parceladas, conforme apresentado na Figura 2.1, mais de 90% dos despachos transportados em março de 2010 ocuparam individualmente menos de 1% da capacidade de uma carreta (sendo uma carreta um veículo tipo composto por um cavalo trator e um semi-reboque, comumente utilizado para transferência de carga entre terminais, possuindo 90 m³ e 25000 kg de capacidade em volume e peso, respectivamente).

Baseado nesta informação do peso dos despachos, uma das questões que ocorre imediatamente é: Se uma rede de transporte de carga parcelada utilizar uma estratégia de operação similar ao transporte de carga completa, quais seriam os impactos negativos? Se a consolidação não fosse permitida, da mesma forma que no transporte de carga completa, um veículo seria liberado em cada um dos terminais de origem para o terminal de destino somente com a carga disponível e pertencente a esse percurso. O único custo a ser considerado seria o custo de transporte para cada uma dessas rotas diretas.

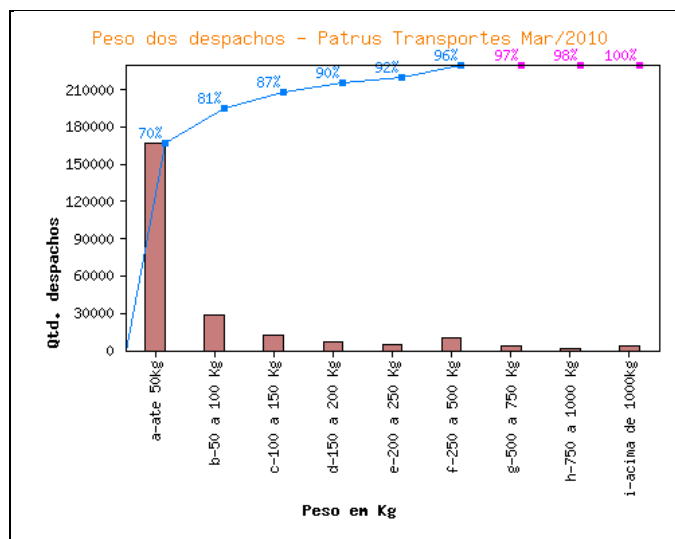


Figura 2.1: Distribuição do peso dos despachos transportados

Fonte: Patrus Transportes - Março de 2010

Baseado nos dados utilizados para o estudo de caso estimou-se que, se fosse utilizada a mesma estratégia de operação de uma empresa transportadora de carga completa (sem consolidação), os custos de transporte seriam em torno de 64 vezes maiores ao se comparar com a operação de consolidação permitida em uma rede contendo terminais operando como *hubs* sendo, portanto, suficiente para justificar a utilização de uma estratégia de consolidação.

Terminais de consolidação (ou *hubs*) são terminais que servem como ponto de transbordo e classificação em sistemas de distribuição entre pontos de oferta e/ou demanda de tráfego. Em vez de servir cada par origem-destino diretamente, *hubs* consolidam cargas parceladas para se valerem da economia de escala. Cargas de diversas origens, tendo em cada uma delas fluxos para destinos diversos, são consolidadas em um *hub*, e então combinadas com outras cargas que possuem destinos convergentes.

É importante salientar que, ao utilizar estratégias de consolidação, independente da escolha do método, resultará sempre em deterioração do nível de serviço. Despachos a serem consolidados são agora enviados a um ou mais terminais de consolidação, aumentando conseqüentemente o tempo de trânsito, pois a cada parada são gastos tempos para manuseio e classificação. De acordo com Braklow et

al. (1992), de forma geral, o manuseio em um terminal de consolidação adiciona em torno de um dia no prazo de entrega.

Para aumentar a utilização dos veículos, as cargas são consolidadas de tal forma que a maioria, senão todas, as rotas sejam operadas com veículos tão cheios quanto possível. Desta forma, muitas empresas transportadoras de carga fracionada decidem operar em uma rede do tipo *hub-and-spoke*, com o objetivo de se ter uma operação mais eficiente possível.

2.2 REDES HUB-AND-SPOKE

Uma rede de transporte de cargas parceladas é composta por um conjunto de terminais, que são ligados entre si por rotas que são operadas por veículos de tipo e capacidade pré-definidos, e também com uma frequência pré-estabelecida para garantir o nível de serviço, especialmente no que diz respeito ao prazo de entrega, acordado com os clientes.

Existem dois subconjuntos básicos de terminais em uma rede de transporte de carga parcelada:

1. Terminais para consolidação de carga parcelada, chamados também de terminais de consolidação, ou ainda *hubs*, sendo estes responsáveis por agrupar cargas de diferentes terminais de origem, para terminais de destinos convergentes, que serão responsáveis pela entrega final;
2. Terminais locais, satélites ou fim de linha, que servem como ponto de entrada / saída dos despachos a serem transportados, fazendo a ligação direta entre o remetente ou destinatário dos despachos.

Um terminal de consolidação (ou *hub*), dependendo do caso, pode operar também como um terminal fim de linha, realizando coletas e entregas dentro da sua área de atuação. Já a situação inversa, que seria um terminal fim de linha, operar como um ponto para consolidação de cargas, não é comum e, em termos práticos, inviável do ponto de vista operacional e de custo.

A Figura 2.2 apresenta de forma ilustrativa uma rede do tipo *hub-and-spoke*. O termo *hub-and-spoke* é utilizado para descrever a forma com que a rede de transportes está desenhada. Em uma tradução direta, temos “cubo-e-raio” fazendo uma analogia com as rodas de uma carroça, por exemplo. Um terminal fim de linha é conectado a um terminal de consolidação (ou *hub*) por um *spoke*, representando a ligação entre esses terminais. Todos os terminais de consolidação são conectados entre si, e a conexão entre terminais fim de linha, via de regra, é realizada somente via terminais de consolidação.

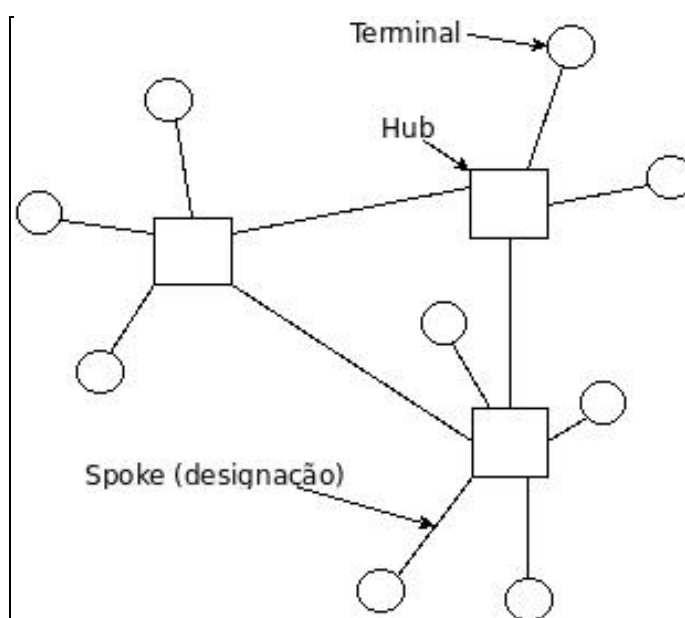


Figura 2.2: Exemplo de rede *hub-and-spoke*

O custo marginal de um despacho em um carregamento é definido como o aumento incremental de custo ao adicionar o mesmo ao carregamento. Se o veículo para a rota em questão possui excesso de capacidade, esse despacho pode então ser carregado neste veículo, e o único incremento no custo seria o de manuseio nos terminais de origem e de destino.

Entretanto, se o veículo está completamente ocupado, ou se ainda não há nenhum veículo designado para a rota, para se carregar um despacho adicional é necessário designar um novo veículo para a rota e nesse caso o custo marginal do despacho não pode ser negligenciado.

Dado que o custo marginal de um despacho é muito pequeno quando em um carregamento cujo veículo possui excesso de capacidade, qualquer política que faça aumentar a ocupação do veículo reduz o custo médio por despacho por viagem. Por esta razão a operação ponto-a-ponto pode ser justificada economicamente para transportadores de carga completa.

Conforme já descrito na Seção anterior, com os terminais enviando cargas para seus *hubs* (ou terminais de consolidação), a configuração da rede de transporte como uma rede do tipo *hub-and-spoke* aumenta o volume de carga transportado nas rotas entre *hubs*, e a economia decorrente desse tipo de operação é significativa, fazendo com que o setor de carga parcelada prefira esse tipo de rede para operação.

O custo para se mover um veículo de um terminal para outro não pode ser negligenciado. Esse custo de transporte pode ser considerado como um custo "fixo", ou melhor, para uma distância definida, o custo de um dado tipo / tamanho de veículo não muda com a quantidade de carga transportada. Considere hipoteticamente a situação em que um novo terminal é adicionado à rede. Em um sistema de transporte ponto-a-ponto, esse terminal deveria ser conectado a todos os outros terminais, incorrendo em custos diretamente proporcionais ao número de terminais existentes na rede.

Por outro lado, em uma rede *hub-and-spoke*, somente duas linhas adicionais deveriam ser operadas: uma ligando o terminal ao *hub*, e outra do *hub* ao novo terminal. É agora óbvio o motivo das empresas de transporte de carga completa utilizar o sistema de transporte ponto-a-ponto. Dado o alto custo marginal de uma carga adicional em uma operação de carga completa, qualquer alternativa diferente da operação com uma rota direta da origem até o destino, aumenta consideravelmente o custo de transporte (STARR; STINCHCOMBE, 1992).

2.3 CONSOLIDAÇÃO TÍPICA BASEADA EM UMA REDE *HUB-AND-SPOKE*

Conforme já descrito na Seção anterior, tipicamente, um despacho é coletado no seu ponto de origem, por exemplo, um cliente, e transferido para um terminal local, conhecido também por terminal satélite ou fim de linha. A rede de transporte é composta por terminais previamente estabelecidos, que servem como ponto de entrada / saída de despachos em uma rede de distribuição. Um terminal coleta cargas de todos os pontos de origem que estão dentro da sua área de controle. A coleta de despachos no seu ponto de origem é conhecida como *coleta local*.

Para minimizar os custos, os despachos que compõem uma carga podem utilizar diferentes rotas para chegar ao seu destino. As cargas em um terminal são divididas basicamente em duas categorias:

1. carga *inbound*, sendo os despachos que devem ser entregues localmente;
2. carga *outbound*, representando as cargas que devem ser entregues fora da região de atendimento do seu terminal de origem.

As cargas *outbound* são consolidadas no terminal e tipicamente transferidas para um terminal de consolidação (ou *hub*). No *hub*, as cargas são classificadas e carregadas em veículos que se encarregarão de transportá-las aos seus respectivos terminais de destino, que serão responsáveis pela entrega ao destinatário final dos despachos.

Entretanto, o fluxo da carga não é tão simples, muitas vezes são realizadas modificações no padrão apresentado acima para o fluxo da carga, visando reduzir o trabalho de manuseio nos *hubs* intermediários, e também melhorar o nível de serviço. Por exemplo, suponha que muitas cargas destinadas ao terminal j chegam ao *hub* i . Se um veículo pode ser suficientemente ocupado por estas cargas, então estas podem ser despachadas diretamente para o terminal j , eliminando a necessidade de parada no segundo *hub* ao qual estaria ligado o terminal j . De forma similar, algumas cargas destinadas a uma mesma região geográfica, originadas no terminal i podem ser carregadas em um único veículo e enviadas diretamente ao segundo *hub*, eliminando a parada no primeiro *hub*. E ainda cargas

podem ser enviadas diretamente do terminal de origem para o seu terminal de destino, desde que o fluxo de cargas seja suficiente para ocupar razoavelmente o veículo nesta rota.

2.4 O EQUIPAMENTO DE TRANSPORTE

Empresas transportadoras de carga parcelada utilizam basicamente dois tipos de veículos para as operações de transferência de cargas entre terminais, que são:

1. *Truck*: veículo com até 12.000 kg de capacidade de carga e 40 a 50 m³ de capacidade em volume, com uma carroceria do tipo baú.
2. *Carreta*: veículo composto por um cavalo trator e um semi-reboque, também com carroceria do tipo baú, tendo o conjunto a capacidade líquida de carga, em peso, de 25.000 kg, e em volume de 90 a 110 m³.

Nesta pesquisa, para efeito de estudo, foram considerados esses dois tipos de veículos, sendo que as ligações entre *hubs* são realizadas utilizando principalmente carretas, e na ligação *hub* - terminal, em alguns casos, é utilizado também trucks.

Esses tipos de veículo foram, portanto utilizados especialmente para as decisões envolvendo a definição de um plano de carregamento para todas as cargas a serem transportadas em uma rede *hub-and-spoke*.

Algumas empresas transportadoras de carga parcelada no Brasil iniciaram a utilização de um veículo do tipo rodotrem especialmente para a transferência de cargas entre *hubs*. Esse veículo ilustrado na Figura 2.3, é composto por um cavalo trator com dois eixos de tração (6x4), e dois semi-reboques, tendo como limite de peso bruto total combinado (PBTC) de 74 toneladas, com comprimento entre 25 e 30 metros, necessitando de AET (Autorização Especial de Trânsito).



Figura 2.3: Exemplo de carreta utilizada como veículo tipo para o estudo

Fonte: Patrus Transportes

2.5 O PROBLEMA DA CONFIGURAÇÃO DE UMA REDE DE TRANSPORTE DE CARGA PARCELADA

Dado que um modelo de rede do tipo *hub-and-spoke* será utilizado para consolidação, a rede precisa ser projetada de tal forma a não comprometer a eficiência da operação como um todo. É proposto nesta pesquisa o projeto de uma rede *hub-and-spoke* para o transporte de carga fracionada, envolvendo duas etapas básicas:

1. Em nível de decisão estratégico, a primeira etapa consiste no projeto da rede *hub-and-spoke* propriamente dita, definindo simultaneamente a quantidade e localização de terminais que operarão como pontos para consolidação de cargas (*hubs*), e também na definição da alocação ou designação dos terminais da rede aos *hubs* definidos. A quantidade de *hubs* a ser localizada é uma variável do problema, e cada terminal deve ser alocado a um único *hub*.
2. Uma vez definida a rede *hub-and-spoke* para o transporte de carga parcelada, a segunda etapa está situada em nível de decisão tático, com o problema da definição de um plano de carregamento, decidindo as rotas a serem operadas, o dimensionamento dos veículos necessários para operação, e na determinação do percurso que cada uma das cargas deve percorrer para chegar ao seu terminal de destino, incluindo as possíveis paradas intermediárias para consolidação;

Diversas outras questões operacionais tais como a programação de veículos e de motoristas, restrições de janelas de horário para coletas e entregas,

reposicionamento de veículos vazios, e o roteamento de veículos para as operações de coleta e entrega são igualmente importantes, mas estão fora do escopo desta pesquisa.

3 REVISÃO BIBLIOGRÁFICA

O problema de configuração de redes *hub-and-spoke*, que consiste na definição da quantidade e localização de terminais de transporte que servirão como pontos para consolidação de cargas, pertence a uma categoria mais geral de problemas do tipo “localização de instalações”.

De acordo com Novaes (1989), o problema da localização de instalações tem sido tratado de modo bastante amplo na literatura, englobando desde simples problemas de localização de uma única instalação, até problemas bastante complexos, englobando diversas instalações, em diversos níveis de uma cadeia produtiva ou de serviços, com fluxos de natureza diversa, problemas conhecidos no ambiente acadêmico como *location-allocation problem* e fluxos *multicommodities*.

De acordo com Gualda (1995), o problema de localização pode ser definido como um problema de alocação espacial de recursos. A hipótese básica da teoria da localização é a de que cada empresa procura escolher a localização que leve à maximização dos lucros da sua atividade.

Estas instalações podem ser fábricas, portos, pontos de venda, armazéns, lojas de varejo e centros de serviço (Ballou, 1999); como também instalações de serviço urbano, incluindo serviços de rotina e de emergência, como postos de correio, pontos de incineração de lixo, instalações de bombeiros e serviços de emergência médica, dentre outros (LARSON; ODONI, 1981).

As decisões de localização, no contexto do planejamento logístico, correspondem à determinação do número, localização e tamanho das instalações a serem usadas (Ballou, 1999).

Silva Leme (1965), apud Gualda (1995), aponta que os fatores locacionais podem ser classificados em fatores aglomerativos, fatores desaglomerativos, e o fator transporte. Os fatores aglomerativos são os que contribuem para agrupar as atividades produtivas em um determinado ponto ou local, sendo que os

desaglomerativos agem no sentido de desagrupar essas atividades, levando à localização das mesmas em mais de um ponto. O fator transporte pode agir tanto num sentido como no outro, dependendo do caso.

Nos problemas em que o fator transporte é predominante, isto é, tem grande peso nas decisões, a resolução de problemas de localização pode ser simplificada através da sua modelagem centrada no fator transporte, e as soluções assim obtidas analisadas com vistas aos demais fatores.

Aspectos básicos sobre a modelagem matemática dos problemas de localização de instalações são apresentados por Gualda (1995), Ballou (1999) e Novaes (1989), entre outros.

Uma resenha que contemplou 54 trabalhos sobre localização é apresentada por Brandeau e Chiu (1989), cobrindo desde o trabalho pioneiro de Weber que, em 1909, modelou o problema de localizar um depósito de distribuição objetivando minimizar a distância total entre o depósito e um conjunto de consumidores distribuídos espacialmente. Essa resenha inclui uma definição abrangente do problema de localização e uma classificação dos diferentes tipos de problemas de localização considerados. O objetivo é localizar instalações (e, talvez, alocar clientes a pontos de prestação de serviços) de forma a otimizar um objetivo espacialmente dependente (implícita ou explicitamente dependente). Critérios típicos utilizados para tal incluem:

- minimização do tempo médio da viagem ou da distância entre os pontos de demanda e os pontos de suprimento;
- minimização do tempo médio de resposta (tempo de viagem mais eventuais esperas para atendimento);
- minimização de uma função de custo da viagem ou do tempo de resposta;
- minimização do máximo tempo de viagem;
- maximização do mínimo tempo de viagem.

Em geral, a função objetivo consiste de termos proporcionais às distâncias (ou tempos) de viagem entre instalações e/ou entre instalações e clientes.

Segundo Gualda (1995), a resolução dos problemas de localização pode ser classificada em dois grupos, a saber:

- Métodos Indutivos, que se baseiam na análise de dados e informações estatísticas, históricas e provenientes de pesquisas de campo (questionários), através do que se busca razões ou indicações quanto à melhor localização para uma dada indústria (ou terminal, no nosso caso);
- Métodos Dedutivos, que consistem no estabelecimento de um modelo representativo da realidade, passível de tratamento matemático, para resolver o problema da localização; dados históricos ou estatísticos são usados para testar os resultados produzidos por esses modelos.

Segundo Crainic (1998), os principais modelos de localização são classificados como segue:

- *Modelos de Cobertura de Conjuntos (Set Covering)*. Localizar instalações nos vértices de uma rede de tal modo que os vértices de demanda são cobertos por uma instalação, isto é, encontram-se dentro de uma dada distância da instalação. A distância de cobertura, geralmente relacionada ao caminho mais curto entre a instalação e cada um dos pontos de demanda, pode ser o mesmo para todos os vértices, ou pode depender de uma instalação específica e pontos de demanda. Em geral, o problema corresponde a minimizar o custo de localização de instalações, sujeito a uma restrição, determinando que todos os vértices sejam cobertos. Caso se considere a situação de um orçamento fixo, então o objetivo pode ser maximizar a demanda coberta pelas instalações.
- *Modelos de Centro*. Localizar p instalações nos vértices de uma rede, de tal forma a minimizar a distância máxima entre um ponto de demanda e uma instalação. Para uma revisão detalhada das formulações recomenda-se o trabalho de Handler (1990), apud Crainic (1998).

- *Modelos de Mediana*. Localizar p instalações nos vértices de uma rede e alocar demanda a estas instalações de tal forma a minimizar a distância ponderada entre instalações e pontos de demanda. Se as instalações são não capacitadas e p é fixo, obtém-se então o tão conhecido problema das p -medianas. Desse modo, cada vértice é designado para sua instalação mais próxima. Se p é uma variável de decisão e as instalações são não capacitadas, isto define o Problema de Localização de Instalações Não Capacitadas.

Modelos de Cobertura de Conjunto são tipicamente associados à localização de instalações públicas, tais como centros de saúde, agências de correio, bibliotecas, e escolas. Modelos de Centro muitas vezes surgem quando é necessário estabelecer a localização de instalações de emergência tais como estações de bombeiros e estações de ambulância. Modelos de Mediana são diretamente relevantes para o projeto de serviços logísticos e distribuição de cargas.

Dadas as características desse trabalho, a atenção, aqui, está voltada para problemas em que o fator transporte é determinante, com ênfase para a sua modelagem através da utilização de métodos dedutivos. Em particular, está voltada para problemas onde o sistema de transporte envolve a utilização de terminais de transporte de carga parcelada, e a localização de pontos para consolidação de cargas (*hubs*) precisam ser determinados, em configurações do tipo *hub-and-spoke*.

3.1 REDES HUB-AND-SPOKE NA LITERATURA

Conforme visto no Capítulo anterior, o paradigma de distribuição *hub-and-spoke* é um sistema de conexões arranjadas como uma roda de carroça, no qual todo o tráfego é realizado via seus raios (ou *spokes*), conectado ao *hub* (cubo) no centro. Esse modelo é comumente usado na indústria, em particular no transporte pelos modais rodoviário e aéreo, inclusive de cargas, e também em redes de telecomunicações, bem como na área de computação, especificamente em programação paralela e distribuída.

O termo *hub-and-spoke* é utilizado para descrever a forma com que a rede de transportes está desenhada. Em uma tradução direta, temos “cubo-e-raio” fazendo uma analogia com as rodas de uma carroça, por exemplo. De acordo com Aykin (1995), o desenvolvimento de redes do tipo *hub-and-spoke* é uma das inovações mais importantes na indústria, e reconhecida como a sétima melhor idéia na série “Grandes Idéias da Década de 80 em Marketing” pela Associação Americana de Marketing.

Como exemplo de benefício direto em uma rede do tipo *hub-and-spoke*, pode-se exemplificar que, para que um grafo não direcionado com n nós esteja completamente conectado, são necessários $n(n-1)/2$ arcos. Se o grafo for direcionado, a quantidade de arcos necessária é $n(n-1)$.

Se no mesmo grafo for adicionado um nó que operará como um *hub*, a quantidade de arcos necessários para ligar todos os nós, agora utilizando o nó *hub* como ponto intermediário, é de somente n arcos. Na Figura 3.1 é apresentado o exemplo de uma rede com seis nós, ilustrando as alternativas de ligação com e sem *hub* intermediário. Na rede ponto-a-ponto, são necessários 15 arcos para ligar todos os nós. Já na rede em que existe um *hub*, a quantidade de arcos necessários para ligar todos os nós é de seis arcos.

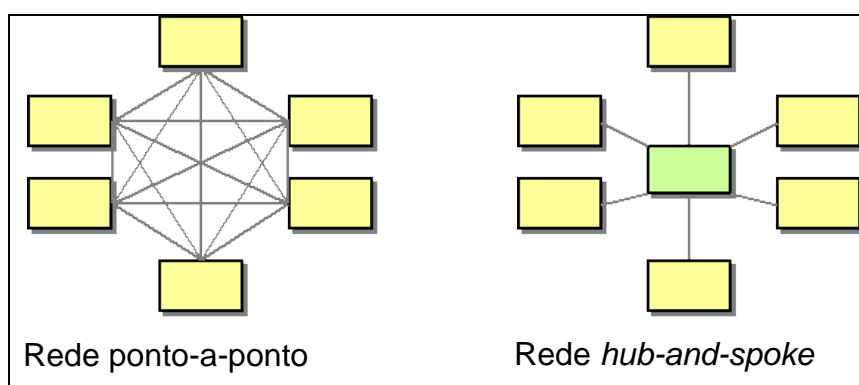


Figura 3.1: Exemplo de rede ponto a ponto e *hub-and-spoke*¹

¹ Ilustrações extraídas do artigo de Gregor Hohpe com título “Hub and Spoke [or] Zen and the Art of Message Broker Maintenance”, disponível em: http://www.eaipatterns.com/ramblings/03_hubandspoke.html
Acesso: 20 mai. 2010.

A empresa americana de encomendas expressas pelo modal aéreo, Federal Express, é um dos casos de maior sucesso na utilização de redes do tipo *hub-and-spoke*. Segundo Chan e Ponder (1979), um dos principais fatores de sucesso da Federal Express desde sua fundação em 1973, foi justamente a utilização de uma rede do tipo *hub-and-spoke*, centralizando as operações de consolidação e classificação de pacotes, inicialmente, em um único *hub* localizado em Memphis, TN.

O problema de localização de *hubs* (ou *hub location problem*) consiste em definir terminais de carga que operarão como *hubs*, e na alocação de terminais de ponta (ou fim de linha) de demanda a esses *hubs*, definindo a rota para cada fluxo entre terminais de origem e destino. Há dois tipos básicos de rede *hub-and-spoke*: com *alocação única* ou com *alocação múltipla*. Na rede *hub-and-spoke* com alocação única cada terminal é alocado a um único *hub* e todo o fluxo enviado ou recebido de outros terminais é direcionado exclusivamente a esse *hub*. Já no caso da alocação múltipla, um terminal pode estar alocado a um ou mais *hubs*, ou seja, um terminal pode enviar ou receber cargas por mais de um *hub*.

Alguns trabalhos encontrados na literatura estudam somente o aspecto relacionado à alocação dos terminais aos *hubs*. Como exemplo, o trabalho de Kuby e Gray (1993), que analisou o caso da empresa Federal Express no transporte aéreo de encomendas expressas nos Estados Unidos, em que a quantidade e localização dos *hubs* já estavam pré-definidas.

Contudo, dado que a alocação ótima dos terminais é afetada pela localização dos *hubs*, e também a localização ótima de *hubs* é afetada pelas decisões de alocação, os problemas de localização e alocação devem ser considerados conjuntamente no projeto de uma rede *hub-and-spoke*.

Os trabalhos encontrados na literatura relativos ao problema de configuração de redes *hub-and-spoke* têm como premissas: (i) uma rede completa com arcos ligando todos os pares de *hubs*; (ii) que existe economia de escala no custo unitário de transporte nas ligações entre *hubs* representada por um fator de desconto α ao

utilizar as conexões entre *hubs*; (iii) e que nenhum serviço direto (ligando dois terminais não-*hub*) é permitido.

Outras variantes do problema, como por exemplo o problema de localização de *hubs* no espaço contínuo, ou no plano, não fazem parte do escopo desta pesquisa. Diversos trabalhos estudaram esse tipo de problema, como por exemplo em Aykin (1988, 1995), Campbell (1990), O’Kelly e Miller (1991), e Aykin e Brown (1992).

Alumur e Kara (2008) fizeram uma resenha que contemplou mais de 100 artigos relacionados ao problema de localização de *hubs*, sendo que a quantidade de trabalhos publicados têm crescido a cada ano, especialmente na última década.

Com base nos trabalhos publicados na literatura, problemas de localização de *hubs*, ou de configuração de redes do tipo *hub-and-spoke*, podem ser classificados nos seguintes tipos:

- **USApHMP**: *uncapacitated single allocation p-hub median problem*, consistindo na localização de p *hubs*, sendo que cada terminal da rede deve ser alocado a um único *hub*. Para esse problema, a quantidade “ p ” de *hubs* a ser localizada já está pré-definida, sendo um dado de entrada para solução desse problema. Nesse caso os *hubs* não possuem nenhuma restrição de capacidade, e o custo fixo para abertura de instalações que operarão como *hubs* é desconsiderado, dado que o número de *hubs* a ser selecionado é dado *a priori*.
- **UMApHMP**: *uncapacitated multiple allocation p-hub median problem*, similar ao USApHMP, sendo que nesse caso um terminal não-*hub* pode estar alocado a mais de um *hub*.
- **USAHLP**: *uncapacitated single allocation hub location problem*, problema de localização de *hubs* não capacitado com alocação única. Similar ao USApHMP, sendo que a quantidade de *hubs* (p) a serem localizados não é mais um dado de entrada, mas sim uma das decisões a ser definidas na solução do problema. Nesse caso, existem custos fixos associados à abertura de *hubs*.
- **UMAHLPP**: *uncapacitated multiple allocation hub location problem*, similar ao USAHLP, permitindo alocação múltipla, ou seja, um terminal não-*hub* pode

estar alocado a mais de um *hub*.

- **CSAHLP**: *capacitated single allocation hub location problem*, similar ao USAHLP, mas considerando restrições de capacidade, no que diz respeito à quantidade de carga movimentada em cada um dos *hubs*.
- **CMAHLP**: *capacitated multiple allocation hub location problem*, diferenciando-se do CSAHLP por permitir a alocação múltipla, um terminal não-*hub* pode estar alocado a mais de um *hub*.
- ***p*-Hub Center Problem**: nesse caso a configuração de uma rede *hub-and-spoke* é um problema “*minimax*” similar ao problema de localização de *p* centros de distribuição, podendo ser de um dos três tipos básicos:
 1. a minimização do custo máximo para qualquer par origem - destino;
 2. a minimização do custo máximo no transporte:
 - 2.1. terminal de origem → *hub*;
 - 2.2. entre *hubs*;
 - 2.3. *hub* → terminal de destino;
 3. similar ao *vertex center* descrito em Hakimi (1965), no qual o conjunto de *hubs* minimiza o custo máximo para movimento entre terminal de origem → *hub* e *hub* → terminal de destino.
- **Hub Covering Problem**: problema de configuração de uma rede do tipo *hub-and-spoke*, em que terminais de demanda são considerados cobertos se estiverem dentro de uma distância específica do *hub*. São definidos três tipos básicos para cobertura. O par origem destino (i, j) é coberto pelos *hubs* *k* e *m* se:
 - o custo de *i* para *j* via *hubs* *k* e *m* não exceder a um valor específico;
 - o custo para cada arco no caminho de *i* para *j* via *hubs* *k* e *m* não exceder a um valor específico;
 - Se o custo para cada arco terminal de origem-*hub* e *hub*-terminal de destino não exceder um valor específico, sendo que esse valor pode ser distinto para cada um desses arcos.

Como mencionado anteriormente, o foco da presente pesquisa é na solução do USAHLP, que incorpora aspectos importantes de um problema prático de uma transportadora de carga parcelada, como por exemplo a definição da quantidade e

localização de *hubs* no modelo, e também na apropriação de custos fixos ao se definir terminais que servirão como pontos para consolidação e transbordo de cargas parceladas. Desta forma, portanto, uma ênfase maior foi dada na revisão bibliográfica específica para esse tipo de problema.

A pesquisa relacionada à localização de *hubs* iniciou-se com o trabalho pioneiro de O’Kelly (1986) estudando o problema de localização de um ou dois *hubs*, apresentando aplicações em redes de transporte de passageiros e de encomendas expressas pelo modal aéreo. Talvez Goldman (1969) seja o primeiro trabalho sobre o problema de localização de *hubs*.

Entretanto, O’Kelly (1987) é reconhecido como o primeiro a apresentar a formulação matemática para o problema de localização de *hubs* estudando uma rede de transporte aéreo de passageiros. Sua formulação matemática é referenciada como o problema de localização de p *hubs* com alocação única e sem restrições de capacidade (*uncapacitated single allocation p-hub median problem*, ou USApHMP).

3.1.1 Literatura específica referente ao USAHLP

O’Kelly (1992) introduziu o problema de localização de *hubs* não capacitado com alocação única (USAHLP), incorporando os custos fixos na função objetivo, e fazendo com que a quantidade e localização dos *hubs* seja uma variável de decisão do modelo matemático. O problema foi modelado como um problema de programação inteira quadrática e foi uma generalização do USApHMP.

Segundo o autor, seja N o conjunto de nós da rede e W_{ij} o fluxo entre os terminais i e j , $(i, j) \in N$, C_{ij} o custo de transporte por unidade de fluxo entre i e j , $(i, j) \in N$, F_j o custo fixo ao se estabelecer um *hub* no terminal j , $j \in N$. Define-se X_{ik} como sendo igual a 1 se o terminal i for alocado ao *hub* k , $(i, k) \in N$, e zero caso contrário; X_{kk} assume valor 1 se o terminal k , $k \in N$ for um *hub* e zero caso contrário. Assim, modelo matemático proposto por O’Kelly (1992) para representar o USAHLP foi:

Minimizar

$$\sum_i \sum_j W_{ij} \left(\sum_k X_{ik} C_{ik} + \sum_m X_{jm} C_{jm} + \alpha \sum_k \sum_m X_{ik} X_{jm} C_{km} \right) + \sum_j X_{jj} F_j \quad (3.1)$$

sujeito às restrições:

$$\sum_k X_{ik} = 1, \quad \forall i, \quad (3.2)$$

$$X_{ij} \leq X_{jj}, \quad \forall i, j \quad (3.3)$$

$$X_{ik} \in \{0, 1\}, \quad \forall i, k \quad (3.4)$$

A função objetivo (3.1) possui três parcelas principais de custo, sendo a primeira delas relativa ao custo de transporte na ligação terminal \leftrightarrow *hub*, a segunda parcela diz respeito ao custo de transporte na ligação entre *hubs*, e a última parcela apropria o custo fixo ao definir um terminal com um ponto para consolidação de cargas, ou *hub*. O parâmetro α no terceiro termo representa o fator de economia de escala na ligação entre *hubs*; o custo do fluxo entre *hubs* deve ser menor que o custo original dado que as instalações definidas como *hub* concentram fluxo, portanto $0 \leq \alpha < 1$. É importante ressaltar que a função objetivo é quadrática devido ao fato de que o desconto na ligação entre *hubs* é um produto das decisões de alocação.

As restrições (3.2) impõem que cada terminal seja alocado a exatamente um *hub*. Já as restrições (3.3) asseguram que um terminal i seja alocado a outro terminal j somente se esse for um *hub*.

Campbell (1994) propôs novas formulações matemáticas para o problema de configuração de redes *hub-and-spoke*, incluindo para o USAHLP, sendo o primeiro trabalho a modelar matematicamente o problema de forma linear, abrindo as primeiras perspectivas e estudos para solução desse tipo de problema utilizando-se métodos exatos.

Segundo o autor, X_{ijkm} corresponde à fração do fluxo do terminal i para o terminal j que é enviado via *hubs* k e m , nesta ordem, e $C_{ijkm} = C_{ik} + C_{mj} + \alpha C_{km}$ o custo de

transporte de i para j . Utilizando-se os parâmetros e variáveis já definidos anteriormente no trabalho de O’Kelly (1992), tem-se que o modelo matemático de Campbell (1994) para representar o USAHLP foi:

$$\text{Min} \sum_i \sum_j \sum_k \sum_m W_{ij} X_{ijkm} C_{ijkm} + \sum_k F_k X_{kk} \quad (3.5)$$

Sujeito às restrições:

$$\sum_k \sum_m X_{ijkm} = 1, \quad \forall i, j, \quad (3.6)$$

$$X_{ijkm} \leq X_{kk}, \quad \forall i, j, k, m, \quad (3.7)$$

$$X_{ijkm} \leq X_{mm}, \quad \forall i, j, k, m, \quad (3.8)$$

$$X_{ik} \in \{0, 1\}, \quad \forall i, k, \quad (3.9)$$

$$0 \leq X_{ijkm} \leq 1 \quad \forall i, j, k, m. \quad (3.10)$$

A função objetivo (3.5) visa minimizar o custo variável de transporte e custo fixo, sendo o custo variável associado ao fluxo entre terminais e *hubs*, e o custo fixo associado à definição da localização de *hubs*. As restrições (3.6) visam assegurar que um terminal i seja designado a um único *hub*. Já as restrições (3.7) e (3.8), da mesma forma que em (3.3), asseguram que um terminal deva ser alocado exclusivamente a um *hub*.

Baseado em uma verificação de que a formulação proposta por Campbell (1994) resultava em soluções altamente fracionadas, Skorin-Kapov, D., Skorin-Kapov, J. e O’Kelly (1996) propuseram uma nova formulação matemática para o USAHLP. Utilizando-se a mesma nomenclatura de parâmetros e variáveis das formulações apresentadas anteriormente, têm-se que o modelo matemático de Skorin-Kapov, D., Skorin-Kapov, J. e O’Kelly (1996) para representar o USAHLP foi:

$$\text{Min} \sum_i \sum_j \sum_k \sum_m W_{ij} X_{ijkm} C_{ijkm} + \sum_k F_k X_{kk} \quad (3.11)$$

Sujeito às restrições:

$$\sum_k X_{ik} = 1, \quad \forall i, \quad (3.12)$$

$$X_{ik} \leq X_{kk}, \quad \forall i, k, \quad (3.13)$$

$$\sum_m X_{ijkm} = X_{ik} \quad \forall i, j, k, \quad (3.14)$$

$$\sum_k X_{ijkm} = X_{jm} \quad \forall i, j, m, \quad (3.15)$$

$$X_{ijkm} \geq 0, \quad \forall i, j, k, m, \quad (3.16)$$

$$X_{ik} \in \{0, 1\} \quad \forall i, k. \quad (3.17)$$

A formulação matemática compreende $(n^4 + n^2)$ variáveis, das quais n^2 binárias. Os autores, ao resolver o problema, ainda mostraram que, ao se utilizar esta formulação matemática relaxando-se o conjunto de restrições representado pela equação (3.17), foram capazes de encontrar uma grande quantidade de soluções inteiras utilizando-se os dados do *Civil Aeronautics Board data set* (CAB). Para as instâncias nas quais não foi possível obter a solução ótima diretamente do problema relaxado, o valor da função objetivo resultante ficou menos de 1% da solução ótima do problema.

Abdinnour-Helm e Venkataramanan (1998) propuseram uma nova formulação matemática inteira baseada na idéia de fluxos *multicommodity* em redes.

Sejam os parâmetros e variáveis de decisão:

- w_{kl} : a quantidade de carga a ser levada do terminal k ao terminal l , $\forall k = 1, \dots, n, l = 1, \dots, n$;
- d_{ij} : a distância do terminal i ao terminal j , $\forall i = 1, \dots, n, j = 1, \dots, n$;
- f_i : custo fixo se o terminal i se tornar um *hub*, $\forall i = 1, \dots, n$;
- n : quantidade total de terminais da rede;
- M : um número inteiro positivo grande;
- (kl) : índice para denotar o fluxo de k para l (*commodity* kl), onde k é a origem e l o destino;
- e_{ij} : arco do terminal i ao terminal j ;
- $x_{ij(kl)}$: variável binária assumindo valor igual a 1 se o arco e_{ij} é utilizado para transportar a *commodity* (ou carga) (kl) , $\forall k = 1, \dots, n, l = 1, \dots, n$ e $k \neq l$, ou 0 caso contrário $\forall i = 1, \dots, n, j = 1, \dots, n$ e $i \neq j$;

- y_i : variável binária assumindo valor igual a 1 se o terminal i se tornar um *hub*, ou 0 caso contrário $\forall i = 1, \dots, n$;
- z_{ij} : variável binária assumindo valor igual a 1 se o terminal i é alocado ao terminal j , ou 0 caso contrário $\forall i = 1, \dots, n, j = 1, \dots, n$ e $i \neq j$;

A formulação matemática para representar o USAHLP proposta por Abdinnour-Helm e Venkataramanan (1998) foi:

$$\text{Min } \mathcal{Z} = \sum_{k=1}^n \sum_{\substack{l=1 \\ l \neq k}}^n w_{kl} \left(\sum_{i=1}^n \sum_{\substack{j=1 \\ j \neq i}}^n d_{ij} x_{ij(kl)} (1 - y_i y_j + \alpha y_i y_j) \right) + \sum_{i=1}^n f_i y_i \quad (3.18)$$

Sujeito às restrições:

$$\sum_{\substack{j=1 \\ j \neq i}}^n z_{ij} + y_i = 1, \quad \forall i = 1, \dots, n, \quad (3.19)$$

$$M y_i \geq \sum_{\substack{j=1 \\ j \neq i}}^n z_{ji}, \quad \forall i = 1, \dots, n, \quad (3.20)$$

$$\sum_{\substack{j=1 \\ j \neq k}}^n x_{kj(kl)} = 1, \quad \forall (kl) \ k = 1, \dots, n, \ l = 1, \dots, n, \ k \neq l \quad (3.21)$$

$$\sum_{\substack{j=1 \\ j \neq l}}^n x_{jl(kl)} = 1, \quad \forall (kl) \ k = 1, \dots, n, \ l = 1, \dots, n, \ k \neq l \quad (3.22)$$

$$\sum_{\substack{i=1 \\ i \neq j}}^n x_{ij(kl)} - \sum_{\substack{i=1 \\ i \neq j}}^n x_{ji(kl)} = 0, \quad \forall j = 1, \dots, n, \ j \neq k, \ j \neq l, \\ \forall (kl) \ k = 1, \dots, n, \ l = 1, \dots, n, \ k \neq l, \quad (3.23)$$

$$x_{ij(kl)} \leq y_i \cdot y_j + z_{ij} + z_{ji} \quad \forall i = 1, \dots, n, \forall j = 1, \dots, n, \ j \neq i, \\ \forall (kl) \ k = 1, \dots, n, \ l = 1, \dots, n, \ k \neq l, \quad (3.24)$$

$$x_{ij(kl)} \in (0, 1) \quad \forall i = 1, \dots, n, \ \forall j = 1, \dots, n, \ j \neq i, \\ \forall (kl) \ k = 1, \dots, n, \ l = 1, \dots, n, \ k \neq l, \quad (3.25)$$

$$y_i \in (0, 1) \quad \forall i = 1, \dots, n, \quad (3.26)$$

$$z_{ij} \in (0, 1) \quad \forall i = 1, \dots, n, \quad \forall j = 1, \dots, n, \quad j \neq i. \quad (3.27)$$

A função objetivo (3.18) minimiza o custo total, que é a soma dos custos de transporte e custo fixo para a localização de *hubs*. A restrição (3.19) assegura que cada terminal i é, ou será designado a, um *hub*. Já as restrições (3.20) asseguram que o terminal i se torne um *hub* se houver pelo menos um outro terminal designado a i . As restrições de (3.21) a (3.23) garantem a condição de se encontrar o caminho mais curto para cada par de terminais (kl) : a *commodity* (kl) deixa o terminal de origem k (restrição (3.21)); chega ao terminal de destino l (restrição (3.22)); e satisfaz a restrição de conservação do fluxo a cada terminal intermediário no caminho de k para l (restrição (3.23)).

As restrições (3.24) asseguram que, se o arco e_{ij} é utilizado para o transporte da *commodity* (kl) , então os terminais i e j são ambos *hubs*, ou um é designado ao outro. As restrições de (3.25) a (3.27) garantem que as variáveis do problema assumam valores 0 ou 1.

Dado que o algoritmo B&B necessitou uma quantidade considerável de tempo, os autores também propuseram uma heurística baseada em algoritmos genéticos (AG) objetivando encontrar soluções eficientes de forma rápida, sendo esse trabalho a primeira tentativa de solução do USAHLP utilizando uma metaheurística.

Nos experimentos computacionais apresentados, além do conjunto de dados CAB, foram também resolvidos problemas gerados aleatoriamente com 10, 15, 50 e 80 terminais. O algoritmo B&B pôde encontrar a solução ótima para problemas com até 25 terminais do CAB, e ainda sendo necessário mais de 24 horas de processamento para sua convergência. Para os problemas com 50 e 80 terminais, o B&B não conseguiu convergir para a solução ótima após 72 horas de processamento.

O AG de Abdinnour-Helm e Venkataramanan (1998) conseguiu obter soluções aproximadas de forma rápida, obtendo a convergência do AG para o problema de 80 terminais em menos de 8 segundos. Resolvendo os problemas tradicionalmente estudados, utilizando o conjunto de dados CAB, pôde-se obter um tempo de

processamento inferior a um segundo e com um desvio médio de 0,4% da solução ótima. Para as instâncias geradas aleatoriamente, a qualidade das soluções obtidas com o AG foram comparadas somente com relação ao percentual de desvio em relação ao limitante inferior do B&B, dado que o algoritmo B&B não pôde encontrar a solução ótima para os problemas com mais de 15 terminais (desse conjunto de instâncias).

Abdinnour-Helm (1998) propôs uma nova heurística híbrida baseada em algoritmos genéticos (AG) e busca tabu (BT) para solução do USAHLP. A heurística, denominada pelo autor de GATS (*Genetic Algorithm and Tabu Search*), consistiu em dividir o problema original em duas partes: a primeira parte consistiu na definição da quantidade e localização de *hubs*, e a segunda parte buscou resolver o problema de alocação dos terminais aos *hubs* localizados na primeira etapa.

Para a solução do problema da definição da quantidade e localização dos *hubs*, o autor utilizou AG, e para solução da segunda parte do problema, que consistiu na definição da alocação dos terminais aos *hubs* localizados, foi utilizada a busca tabu. Os resultados obtidos foram comparados com o AG de Abdinnour-Helm e Venkataramanan (1998) utilizando o conjunto de dados CAB. Os resultados obtidos com os experimentos computacionais, utilizando a busca tabu em combinação com o AG, foram melhores ao se comparar os problemas resolvidos unicamente com o AG.

A deficiência encontrada na heurística desenvolvida por Abdinnour-Helm e Venkataramanan (1998) foi devido à busca tabu ter sido executada somente no melhor indivíduo de cada geração do AG, tendo esse indivíduo, um *fitness* (valor da função objetivo) baseado na alocação dos terminais não-*hub* aos *hubs* mais próximos. Em suma, para alguns problemas, a busca tabu foi executada em uma solução que não continha a quantidade e localização correta de *hubs*.

Labbé e Yaman (2004) modelaram matematicamente o USAHLP utilizando variáveis de fluxo *multicommodity*, de forma similar ao trabalho de Ernst e Krishnamoorthy (1999) para o CSAHLP. Projetando estas variáveis de fluxo, conseguiram determinar

alguns raios extremos dos cones de projeção, conseguindo derivar algumas inequações correspondentes que definiam faces do poliedro do USAHLP.

Labbé e Yaman (2004) projetaram as variáveis de fluxo utilizando dois métodos distintos, sendo o primeiro deles baseado no trabalho de Mirchandani (2000), produzindo inequações conhecidas como *inequações métricas*. O segundo método de projeção das variáveis de fluxo foi baseado no trabalho de Rardin e Wolsey (1993) e consistiu na substituição das restrições de fluxo pelas restrições de corte correspondentes, para em seguida realizar a projeção das variáveis.

Topcuoglu et al. (2005) propuseram um novo AG para o USAHLP, apresentando desempenho superior em relação à heurística híbrida GATS de Abdinnour-Helm (1998), tanto no que diz respeito tanto na qualidade da solução final obtida, como também no tempo computacional necessário para se resolver os problemas utilizando os dados do CAB e do AP.

O AG desenvolvido pelos autores utilizou um cromossomo contendo dois vetores, sendo o primeiro deles com a informação da quantidade e localização de *hubs*, e no segundo vetor a alocação dos terminais não-*hub* aos *hubs* localizados. As operações tradicionais do AG, como por exemplo as operações de cruzamento, foram realizadas em ambos os vetores para simultaneamente explorar as duas partes do problema (localização / alocação).

O desempenho do AG de Topcuoglu et al. (2005) foi ligeiramente superior no que diz respeito à qualidade da solução final obtida, quando comparado com o GATS de Abdinnour-Helm (1998), mas não conseguindo ainda encontrar a solução ótima para todos os problemas estudados. Como exemplo, o AG de Topcuoglu et al. (2005) obteve melhores soluções em apenas 4 dos 80 problemas resolvidos com o conjunto de dados CAB.

Tanto o AG de Topcuoglu et al. (2005) como o GATS de Abdinnour-Helm (1998) possuem uma deficiência no método para geração da quantidade e localização de *hubs*, pois para alguns problemas, o AG não pôde obter a quantidade e localizações ótimas para os *hubs*. Como exemplo o problema do CAB contendo 25 terminais,

custo fixo igual a 100 e fator de desconto $\alpha = 1.0$, os autores reportam um custo de 1559,19 com dois hubs localizados nos terminais 7 e 19. A solução ótima desse problema possui custo de 1556,63 com três hubs localizados nos terminais 4, 8 e 20.

Cunha e Silva (2007) propuseram um novo AG combinado com uma heurística conhecida como Metropolis (METROPOLIS et al., 1953), superando os resultados obtidos nos trabalhos de Abdinnour-Helm (1998) e Abdinnour-Helm e Venkataramanan (1998).

A heurística híbrida, descrita em Cunha e Silva (2007), consistiu na utilização do AG para resolver a parte locacional do problema, ou seja, na definição da quantidade e localização de *hubs*, da mesma forma que em Abdinnour-Helm (1998) e Topcuoglu et al. (2005). A parte alocacional do problema, que define a alocação dos terminais aos *hubs*, foi resolvida utilizando-se uma heurística de busca local incorporada com o critério de Metropolis (METROPOLIS et al., 1953).

Uma diferença crucial, ao se comparar o trabalho de Cunha e Silva (2007) com o trabalho de Abdinnour-Helm (1998), diz respeito à busca local combinada com a heurística Metropolis, que foi utilizada em todos os novos indivíduos gerados pelo AG e não somente nos melhores indivíduos de cada geração. Com isso pôde-se obter um desempenho significativamente superior, sendo evidenciado nos experimentos computacionais apresentados.

Adicionalmente, Cunha e Silva (2007) resolveram o problema prático de uma empresa transportadora de carga parcelada no Brasil. Para representar corretamente a realidade do problema, o fator de desconto α na ligação entre *hubs* não foi fixo, mas sim dependente do volume de carga na ligação entre os *hubs*. Com isso, a função objetivo deixou de ser linear, inviabilizando a utilização direta de *solvers*, como o CPLEX, por exemplo, para obtenção da solução do problema.

Outra heurística híbrida para esse problema foi proposta por Chen (2007), que utilizou *Simulated Annealing* (SA), lista tabu e procedimentos de melhoria, para resolver o USAHLP, superando os resultados obtidos em Topcuoglu et al. (2005)

tanto em termos da qualidade da solução final obtida, como também no tempo de processamento necessário para encontrar as soluções.

No trabalho de Chen (2007) foi desenvolvido um mecanismo para definição de um limitante superior para a definição da quantidade de *hubs* a serem localizados, e criou um mecanismo baseado nos fluxos originados e destinados em cada terminal, e na distância relativa de um terminal aos outros terminais da rede, como critério para a seleção dos terminais que serão inicialmente escolhidos como *hubs*.

Na solução da parte alocaional do problema, inicialmente os terminais foram alocados ao *hub* mais próximo para em seguida testar diferentes alocações, permitindo que uma nova alocação seja aceita se esta melhorar o valor da função objetivo ou analisar, utilizando o critério da metaheurística Metropolis, se um movimento que piorasse o valor da função objetivo seria aceito.

Os experimentos computacionais de Chen (2007) demonstraram que a heurística desenvolvida teve um desempenho superior ao se comparar com a heurística apresentada no trabalho de Topcuoglu et al. (2005), especialmente no que diz respeito à qualidade das soluções finais obtidas para alguns problemas do conjunto de dados CAB, e também com relação aos tempos de processamento necessários para se resolver problemas de maior porte do conjunto de dados AP.

3.1.2 Outros problemas de projeto de redes do tipo *hub-and-spoke*

Nesta seção são apresentados os principais trabalhos desenvolvidos para os demais problemas que envolvem a localização de *hubs*, nas suas principais variantes. O objetivo aqui não é o de se esgotar a literatura relativa ao tema, mas sim dar uma direção do estado-da-arte no que diz respeito aos modelos matemáticos e aos métodos de solução desenvolvidos para cada tipo de problema. Maiores detalhes de cada um dos problemas, bem como uma revisão completa da literatura relativa ao projeto de redes *hub-and-spoke* podem ser encontrados em Alumur e Kara (2008).

3.1.2.1 USApHMP

No USApHMP, ao contrário do USAHLP, o número de *hubs* a serem localizados é pré-determinado, portanto a função objetivo não considera a parcela de custos fixos, uma vez que o número de *hubs* é fixo.

No que diz respeito ao número de variáveis e restrições, Ebery (2000) fornece a melhor formulação matemática para o problema. Contudo, a melhor formulação matemática, no aspecto relativo ao tempo de processamento necessário para a obtenção das soluções ótimas, é a apresentada em Ernst e Krishnamoorthy (1996).

O método exato considerado o mais eficiente foi proposto por Ernst e Krishnamoorthy (1998b), e consistiu na utilização do algoritmo do caminho mínimo combinado com algoritmo *branch-and-bound*, sendo que o maior problema resolvido obtendo a solução ótima foi o problema com 100 terminais.

A heurística que conseguiu obter melhores soluções para o USApHMP é baseada em relaxação lagrangiana apresentada em Pirkul e Schilling (1998). No que diz respeito às metaheurísticas desenvolvidas para o USApHMP, destacam-se a busca tabu desenvolvida por Skorin-Kapov, D e Skorin-Kapov, J (1994); e *simulated annealing* apresentada em Ernst e Krishnamoorthy (1996).

Maiores detalhes sobre os métodos de solução já desenvolvidos para o USApHMP podem ser encontrados em Klinecicz (1991, 1992), Sohn e Park (1997, 1998, 2000) e Abdinnour-Helm (2001).

3.1.2.2 UMApHMP

O UMApHMP, da mesma forma que o USApHMP, consiste em definir uma quantidade fixa e pré-determinada de *hubs* a serem localizados, sendo que para esse problema é permitida a alocação múltipla, ou seja, um terminal não-*hub* pode enviar e receber cargas por mais de um *hub*.

A formulação matemática que utiliza menor tempo de processamento para a obtenção de soluções ótimas para o UMApHMP foi proposta por Ernst e Krishnamoorthy (1998a), que utilizaram as mesmas idéias já desenvolvidas para o USApHLP, descritas em Ernst e Krishnamoorthy (1996).

O melhor método para solução do UMApHMP foi apresentado em Ernst e Krishnamoorthy (1998b), que consistiu na obtenção de limitantes inferiores para o algoritmo *branch-and-bound*, resolvendo o problema do caminho mínimo, em vez de se resolver o problema de programação linear resultante da relaxação das restrições de integralidade das variáveis do modelo matemático.

Os autores ainda destacam que, se a quantidade e localização de *hubs* for conhecida de antemão, o UMApHMP pode ser resolvido de forma trivial, utilizando-se o algoritmo do caminho mínimo sucessivo.

Outros trabalhos também trataram do UMApHMP, destacando Campbell (1992, 1996), Sasaki, Suzuki e Drezner (1999) e Boland et al. (2004).

3.1.2.3 UMAHLP

O UMAHLP é um problema similar ao USAHLP, diferenciando-se somente no que diz respeito à alocação dos terminais não-*hub* aos *hubs* localizados, que nesse caso permite que um terminal envie e receba cargas por mais de um *hub*.

Mayer e Wagner (2002) desenvolveram um novo método de solução do UMAHLP baseado no algoritmo *branch-and-bound*, denominado HubLocator. Foram resolvidos os problemas utilizando os conjuntos de dados CAB e AP, e os resultados obtidos com o HubLocator foram comparados com o CPLEX utilizando uma adaptação da formulação matemática proposta por Ernst e Krishnamoorthy (1998a).

O HubLocator se mostrou um método eficiente para solução do UMAHLP apesar do fato de nem sempre superar o tempo de processamento obtido ao se resolver o

problema utilizando o CPLEX, podendo também indiretamente confirmar a eficácia da formulação matemática proposta por Ernst e Krishnamoorthy (1998a).

A heurística mais eficiente, no que diz respeito ao tempo computacional necessário para obtenção de soluções, foi proposta por Cánovas, García e Marín (2007), que desenvolveram uma heurística baseada na técnica de ascensão dual. Foram realizados experimentos computacionais com os conjuntos de dados CAB e AP, sendo capazes de encontrar a solução ótima para problemas com até 120 terminais.

Para um maior aprofundamento, sugerem-se os trabalhos de Klincewicz (1996), Boland et al. (2004), Hamacher et al. (2004) e Marín, Cánovas e Landete (2006).

3.1.2.4 CSAHLP

O CSAHLP é muito similar ao USAHLP, diferenciando-se somente pelo fato dos terminais de consolidação possuírem restrições de capacidade, especificamente no que diz respeito à quantidade de carga a ser classificada nos *hubs*.

A formulação matemática mais eficiente, no que diz respeito ao tempo necessário para obtenção de soluções ótimas, foi proposta por Ernst e Krishnamoorthy (1999), utilizando o conceito de fluxos *multicommodity* para representar as variáveis de decisão do modelo.

A melhor estratégia para solução do CSAHLP foi também proposta em Ernst e Krishnamoorthy (1999), que utilizaram *simulated annealing* e uma busca local aleatória para a obtenção de soluções aproximadas para os problemas. As soluções obtidas com essas heurísticas foram utilizadas como limitante superior para a obtenção da solução ótima utilizando o algoritmo *branch-and-bound*. Os autores resolveram problemas do conjunto de dados AP com até 200 terminais, tendo esse conjunto de dados custos fixos e capacidades de dois tipos: *loose* e *tight*.

Para um melhor detalhamento sobre o CSAHLP, recomendam-se os trabalhos de Aykin (1994, 1995); Labbé, Yaman e Gourdin (2005) e Costa, Captivo e Climaco (2007).

3.1.2.5 CMAHLP

O CMAHLP é similar ao UMAHLP, diferenciando-se somente por permitir que um terminal não-*hub* seja designado a mais de um *hub*. É apropriado um custo fixo quando um terminal é escolhido para operar como um *hub*, possuindo também restrições de capacidade no que diz respeito à quantidade de carga a ser classificada.

O modelo matemático mais eficiente, do ponto de vista do tempo necessário para obtenção de soluções ótimas, para solução do CMAHLP foi proposta por Marín (2005). Marín (2005) apresenta os resultados obtidos dos experimentos computacionais realizados em problemas criados, utilizando dados do conjunto de dados AP, para redes com até 40 terminais.

A melhor estratégia para solução do CMAHLP foi proposta por Ebery et al. (2000), que desenvolveram uma heurística baseada no algoritmo do caminho mínimo. As soluções obtidas com a heurística foram utilizadas como limitantes superiores para o *branch-and-bound*.

Outras referências podem ser encontradas em Sasaki e Fukushima (2003) e Boland et al. (2004).

3.1.2.6 Problemas de centro

Campbell (1994) foi o primeiro trabalho a pesquisar e discutir o problema chamado de *p-hub center problem*. O melhor modelo matemático para representar o problema, no que diz respeito à quantidade de variáveis e restrições, é creditado ao trabalho de Ernst et al. (2002).

Ernst et al. (2002) estudaram o problema com alocação única e múltipla, desenvolvendo heurísticas para solução de ambos os problemas. O método proposto para solução do problema com alocação múltipla é considerado ainda a melhor estratégia para solução. A abordagem utilizada para solução do problema com alocação múltipla foi similar à utilizada em Ernst e Krishnamoorthy (1998b), utilizando o algoritmo do caminho mínimo sucessivo em conjunto com o algoritmo *branch-and-bound*.

Meyer, Ernst e Krishnamoorthy (2009) estudaram a versão com alocação única do problema e propuseram uma estratégia de solução em duas fases, utilizando conjuntamente a metaheurística colônia de formigas e B&B, sendo esse o método mais eficiente para solução do problema.

Para um maior aprofundamento, sugerem-se os trabalhos de Kara e Tansel (2000), Pamuk e Sepil (2001), Baumgartner (2003), Hamacher e Meyer (2006), Gavriliouk e Hamacher (2006) e Campbell, Lowe e Zhang (2007).

3.1.2.7 Problemas de cobertura

Campbell (1994) foi também o primeiro a apresentar na literatura o problema conhecido como *hub covering problem*, propondo o primeiro modelo matemático de programação inteira para representar o problema.

Ernst et al. (2005) apresentaram a melhor formulação matemática, tendo sucesso na obtenção de soluções ótimas para o problema. A melhor heurística para solução do *hub covering problem* foi proposta por Calik et al. (2009) que desenvolveram uma heurística baseada em busca tabu para solução do problema, apresentando testes computacionais com dados derivados do conjunto de dados CAB, e também de uma rede da Turquia contendo 81 nós.

Outras referencias podem ser encontradas em Kara e Tansel (2003), Wagner (2004) e Hamacher e Meyer (2006).

3.2 LITERATURA RELATIVA AO PROBLEMA DE CARREGAMENTO DE CARGAS EM UMA REDE DE TRANSPORTE

O problema do carregamento de cargas em uma rede de transporte tem sido largamente estudado na literatura, e conhecido com o nome de *network loading problem* (NLP). O NLP é considerado uma variante do problema do projeto de redes capacitado com múltiplas *commodities* (*capacitated network design problem*), e foi estudado pela primeira vez por Magnanti, Mirchandani e Vachani (1993).

O NLP consiste na definição dos arcos ou ligações a serem utilizados, dentre um conjunto de ligações possíveis entre nós ou terminais de uma rede, de tal forma a transportar todas as *commodities* (ou cargas parceladas) desde sua origem até seu destino, a um menor custo possível. Custo esse composto exclusivamente de um valor fixo proporcional à quantidade de recursos (no caso do transporte de carga parcelada, veículos) utilizados em uma determinada ligação.

O NLP pode surgir em diversas aplicações e contextos. Um exemplo é no setor de telecomunicações, em que pode representar o projeto de redes privadas que utilizam instalações de transmissão digital (chamados circuitos T1), para enviar o tráfego de voz e dados entre diferentes locais. No setor de transporte de cargas, estas instalações podem representar veículos de tamanho fixo, e uma ligeira variação desse problema pode representar o problema conhecido como *load plan*: a designação de veículos a rotas e o carregamento das cargas nos veículos, como em Powell e Sheffi (1983) (MAGNANTI; MIRCHANDANI; VACHANI, 1993).

O NLP modela situações em que o custo variável associado aos fluxos é igual a zero, e instalações de capacidade fixa estão disponíveis para o transporte do fluxo. Magnanti, Mirchandani e Vachani (1993) estudaram o problema de configuração de uma rede de telecomunicações, consistindo em determinar o número de instalações de transmissão digital a serem abertas em cada arco da rede de tal forma a atender toda a demanda, desde sua origem até o seu destino, a um mínimo custo. Segundo os autores, o NLP é fortemente NP-*hard* e há pouca esperança de desenvolvimento de algoritmos teoricamente eficientes para sua solução.

Magnanti, Mirchandani e Vachani (1993), derivaram uma família de faces de um envoltório convexo para dois subproblemas principais do NLP, e puderam caracterizar de forma completa o envoltório convexo de soluções viáveis do problema, fortalecendo o modelo matemático de programação inteira utilizado para representar o NLP, definindo uma classe exponencial de inequações válidas, chamadas *inequações de capacidade residual*.

Segundo os autores, N corresponde ao conjunto de nós da rede em estudo, K o conjunto de *commodities*, e A o conjunto de arcos candidatos para a definição da rede.

Para cada $k \in K$, seja R_k a quantidade de fluxo requerida para a *commodity* k a ser transportada do seu ponto de origem, definido como sendo $O(k)$, para o seu ponto de destino $D(k)$. O modelo contém dois tipos de variáveis, um conjunto de variáveis discretas representando escolha discreta (estrutural) de projeto da rede, e outro conjunto de variáveis contínuas modelando as decisões de fluxo.

x_{ij} uma variável inteira não negativa indicando se o arco $(i, j) \in A$ é utilizado e também quantos recursos serão alocados no arco (i, j) para atender toda a demanda; se o arco não for utilizado então $x_{ij} = 0$. f_{ij}^k uma variável contínua representando a quantidade da *commodity* k enviada pelo arco (i, j) para chegar ao seu destino, \mathcal{K} a capacidade dos arcos da rede, e a_{ij} o custo unitário ao se abrir um arco (i, j) na solução.

O modelo matemático proposto por Magnanti, Mirchandani e Vachani (1993) para representar o NLP foi:

$$\text{Min } \sum_{(i,j) \in A} a_{ij} x_{ij}, \quad (3.28)$$

sujeito às restrições:

$$\sum_{\{j \in N: (i,j) \in A\}} f_{ij}^k - \sum_{\{j \in N: (j,i) \in A\}} f_{ji}^k = \begin{cases} R_k, & \text{se } i = O(k) \\ -R_k, & \text{se } i = D(k) \\ 0, & \text{caso contrario} \end{cases} \quad \forall i \in N, \forall k \in K, (3.29)$$

$$\sum_{k \in K} (f_{ij}^k + f_{ji}^k) \leq \mathcal{K} x_{ij} \quad \forall (i,j) \in A, \quad (3.30)$$

$$x_{ij} \geq 0, \text{ inteiro}, \quad \forall (i,j) \in A, \quad (3.31)$$

$$f_{ij}^k, f_{ji}^k \geq 0, \quad \forall (i,j) \in A, \forall k \in K. \quad (3.32)$$

A função objetivo (3.28) visa a minimizar o custo associado ao se alocar um recurso (veículo) na ligação de i para j . As restrições de conservação de fluxo para cada uma das *commodities* em cada nó são representadas pela equação (3.29). A restrição de capacidade (3.30) visa garantir que o fluxo total em um arco não pode exceder a sua capacidade.

Já Magnanti, Mirchandani e Vachani (1995) estudaram o problema do carregamento em uma rede capacitada (NLP) com dois tipos distintos de recursos a serem alocados nos arcos, nesse caso dois tipos diferentes de cabos em uma rede de telecomunicações; considerando duas abordagens para solução do problema de programação inteira mista: uma estratégia baseada em relaxação lagrangiana, e outra baseada na definição de planos de corte utilizando três tipos de inequações válidas.

Os dois tipos de recursos estudados pelos autores possuíam capacidades distintas, sendo a primeira delas considerada de baixa capacidade e a segunda de alta capacidade.

Segundo os autores, sejam os parâmetros:

- a_{ij} : custo unitário do recurso de baixa capacidade no arco $(i, j) \in A$;
- b_{ij} : custo unitário do recurso de alta capacidade no arco $(i, j) \in A$;
- \mathcal{K} : capacidade unitária do recurso de baixa capacidade;
- \mathcal{C} : capacidade unitária do recurso de alta capacidade.

Utilizando a mesma nomenclatura de parâmetros e variáveis das formulações apresentadas anteriormente, têm-se que o modelo matemático proposto por Magnanti, Mirchandani e Vachani (1995) para representar o NLP com dois tipos diferentes de recursos foi:

$$\text{Min} \sum_{(i,j) \in A} (a_{ij}x_{ij} + b_{ij}y_{ij}), \quad (3.33)$$

sujeito às restrições:

$$\sum_{\{j \in N: (i,j) \in A\}} f_{ij}^k - \sum_{\{j \in N: (j,i) \in A\}} f_{ji}^k = \begin{cases} R_k, & \text{se } i = O(k) \\ -R_k, & \text{se } i = D(k) \\ 0, & \text{caso contrario} \end{cases} \quad \forall i \in N, \forall k \in K, (3.34)$$

$$\sum_{k \in K} (f_{ij}^k + f_{ji}^k) \leq \mathcal{K}x_{ij} + \mathcal{C}y_{ij} \quad \forall (i, j) \in A, \quad (3.35)$$

$$x_{ij}, y_{ij} \geq 0, \text{ inteiro}, \quad \forall (i, j) \in A, \quad (3.36)$$

$$f_{ij}^k, f_{ji}^k \geq 0, \quad \forall (i, j) \in A, \forall k \in K. \quad (3.37)$$

Esta formulação matemática visa minimizar o custo dos recursos alocados nos arcos, assumindo que é suficiente instalar somente capacidade suficiente para atender a demanda, sem a necessidade de se oferecer capacidade extra, sendo esta premissa válida também para o transporte de cargas.

A função objetivo (3.33) visa minimizar o custo para operação. As restrições de conservação de fluxo para cada uma das commodities em cada nó são representadas pela equação (3.34). A restrição de capacidade (3.35) visa garantir que o fluxo total em um arco não pode exceder a capacidade alocada no mesmo.

Magnanti, Mirchandani e Vachani (1995) mostraram que a solução obtida ao se resolver o problema de programação linear, com as inequações desenvolvidas, foi tão boa quanto a solução obtida do problema de programação inteira mista resolvido utilizando relaxação lagrangiana (medido pelo *gap* dos valores das funções objetivo), concluindo que os planos de corte desenvolvidos se mostraram robustos, podendo ser uma ferramenta eficaz para a solução de problemas de tamanho real, comuns em redes de telecomunicações.

Bienstock e Günlük (1996) estudaram o problema de expansão capacitado (*capacity expansion problem*) e estenderam dois tipos de inequações válidas apresentadas em Magnanti, Mirchandani e Vachani (1995). De um modo geral, a abordagem utilizada pelos autores se mostrou eficaz quando aplicado aos problemas teste utilizados, reduzindo consideravelmente o *gap* entre a solução do problema de programação linear e a solução inteira do problema. Dessa forma, com o *gap* reduzido, a solução inteira do problema pôde ser obtida em poucos segundos, utilizando o CPLEX. As redes testadas possuíam de 15 a 16 nós, e de 22 a 49 arcos.

Barahona (1996) trata do NLP em redes de telecomunicações e estuda o problema com e sem *bifurcação*. O autor define que o problema é *não bifurcado* se o fluxo para cada *commodity* deve seguir um único caminho até chegar ao seu destino. O problema foi resolvido utilizando-se uma relaxação baseada nos fluxos *multicommodity*, e a partir da solução do problema bifurcado, derivou também a solução do problema que não permite bifurcação dos fluxos. Para testar o método de solução proposto, Barahona (1996) utilizou dados de redes variando de 10 a 64 nós, e de 646 a 2016 *commodities*.

O modelo matemático utilizado por Barahona (1996) para representar o NLP que permite bifurcação nos fluxos corresponde ao mesmo proposto por Magnanti, Mirchandani e Vachani (1993). Utilizando a mesma nomenclatura de parâmetros e variáveis das formulações apresentadas anteriormente, o modelo matemático utilizado por Barahona (1996) para representar o NLP que não permite bifurcação dos fluxos foi:

$$\text{Min } \sum_{(i,j) \in A} a_{ij} x_{ij}, \quad (3.38)$$

sujeito às restrições:

$$\sum_{\{j \in N: (i,j) \in A\}} f_{ij}^k - \sum_{\{j \in N: (j,i) \in A\}} f_{ji}^k = \begin{cases} 1, & \text{se } i = O(k) \\ -1, & \text{se } i = D(k) \\ 0, & \text{caso contrario} \end{cases} \quad \forall i \in N, \forall k \in K, (3.39)$$

$$\sum_{k \in K} R_k (f_{ij}^k + f_{ji}^k) \leq \mathcal{K} x_{ij} \quad \forall (i, j) \in A, \quad (3.40)$$

$$x_{ij} \geq 0, \text{ inteiro}, \quad \forall (i, j) \in A, \quad (3.41)$$

$$f_{ij}^k, f_{ji}^k \in \{0, 1\}, \quad \forall (i, j) \in A, \forall k \in K. \quad (3.42)$$

Segundo o autor, esse problema é *NP-hard* e possui a rede de Steiner como um caso especial, possuindo uma dificuldade extra ao envolver fluxos *multicommodity* inteiros.

O foco do trabalho de Mirchandani (2000) foi na solução do NLP capacitado, com dois tipos de recursos a serem alocados nos arcos, da mesma forma que em Magnanti, Mirchandani e Vachani (1995), e considerou o problema com uma e múltiplas *commodities*. O autor desenvolveu formulações matemáticas equivalentes em um espaço dimensional menor, projetando as variáveis de fluxo e estudando as propriedades do poliedro para os cones de projeção correspondentes. E ainda caracterizou algumas classes de faces definindo inequações para esse poliedro de espaço dimensional menor.

No trabalho de Berger et al. (2000) foi estudado o NLP não bifurcado, em que a demanda para qualquer nó da rede deve ser satisfeita através de um único caminho. Foi desenvolvida uma heurística baseada em busca tabu para solução do problema, cujo desempenho foi comparado com duas outras heurísticas desenvolvidas: *1-opt* e *2-opt*.

Berger et al. (2000) utilizaram um modelo matemático baseado em caminhos (*path based*), equivalente ao modelo proposto por Magnanti, Mirchandani e Vachani (1995) para dois tipos de recursos, para representar o problema não bifurcado, e ainda generalizaram o modelo para representar problemas com mais de dois tipos de recursos.

Ainda segundo Berger et al. (2000), $G = \{V, E\}$ corresponde a um grafo não direcionado onde V seja o conjunto de nós da rede com cardinalidade n , E o conjunto de arcos de cardinalidade m , e $D \subseteq V$ o subconjunto de nós de demanda com cardinalidade r .

Utilizando a seguinte notação:

- T : conjunto de tipos de recursos;
- P_i : conjunto de caminhos partindo do terminal central até o terminal de demanda i ;
- d_i : demanda no nó i ;
- c_t : custo unitário do recurso do tipo t (por unidade de comprimento);
- w_t : capacidade do recurso do tipo t ;
- l_e : comprimento do arco e ;
- w_e : capacidade inicial no arco e ;
- δ_{ej} : igual a 1 se o arco e está no caminho j , ou 0 caso contrário,
- x_{ij} : variável binária que recebe valor igual a 1 se o caminho $j \in P_i$ é utilizado para servir a demanda do nó i , ou 0 caso contrário,
- y_{te} : variável estrutural inteira positiva igual à quantidade de recursos do tipo t utilizados no arco e .

O modelo proposto por Berger et al (2000) foi:

$$\text{Min} \sum_{e \in E} l_e \left(\sum_{t \in T} c_t y_{te} \right) \quad (3.43)$$

Sujeito às restrições:

$$\sum_{i \in D} \left(\sum_{j \in P_i} x_{ij} \delta_{ej} \right) d_i \leq w_e + \sum_{t \in T} w_t y_{te}, \quad \forall e \in E, \quad (3.44)$$

$$\sum_{j \in P_i} x_{ij} = 1, \quad \forall i \in D, \quad (3.45)$$

$$x_{ij} \in 0, 1, \quad \forall i \in D, \forall j \in P_i, \quad (3.46)$$

$$y_{te} \geq 0, \text{ inteiro}, \quad \forall t \in T, \forall e \in E. \quad (3.47)$$

Nesse modelo, o primeiro conjunto de restrições (3.44) visa assegurar a existência de capacidade suficiente na rede para comportar o fluxo em cada arco. O segundo conjunto de restrições (3.45) requer fluxos não bifurcados, isto é, um caminho único do nó central até cada nó de demanda. O objetivo é minimizar o custo de instalação de qualquer capacidade adicional para satisfazer a demanda em cada terminal.

Berger et al. (2000) realizaram experimentos computacionais com redes possuindo 50, 100 e 200 nós. Os resultados obtidos mostraram que a busca tabu obteve um desempenho superior no que diz respeito à qualidade da solução final obtida, mas necessitou em alguns casos oito vezes mais tempo de processamento para a obtenção das soluções, sendo um método de solução competitivo especialmente para instâncias maiores, acima de 100 nós.

Gendron, Potvin e Soriano (2002) propuseram uma heurística em duas etapas para solução do NLP não bifurcado. A primeira etapa da heurística consistiu na construção de uma solução inicial que em seguida foi melhorada, utilizando um

mecanismo de busca local e busca tabu. O modelo matemático utilizado por Gendron, Potvin e Soriano (2002) para representar o NLP não bifurcado foi o mesmo utilizado por Berger et al. (2000).

O mecanismo para geração de soluções iniciais proposto em Gendron, Potvin e Soriano (2002) foi também utilizado para reiniciar a heurística a partir de uma nova solução, visando diversificar a busca em diferentes regiões do espaço de soluções viáveis do problema. Quatro estratégias diferentes de diversificação foram testadas em problemas com 200 e 500 nós. Nenhuma comparação foi realizada para se verificar o quão distante as soluções obtidas estavam da solução ótima dos problemas testados.

Avella, Mattia e Sassano (2007) introduziram uma nova classe de inequações métricas justas para o NLP, que caracterizaram completamente o envoltório convexo de soluções inteiras viáveis para o problema, apresentando algoritmos de separação para as inequações métricas justas e algoritmos de plano de corte.

Os experimentos computacionais realizados por Avella, Mattia e Sassano (2007) mostraram que, para problemas de pequeno porte, com redes de até 64 nós, os autores puderam obter a solução ótima em 22 dos 35 problemas resolvidos.

Bartolini e Mingozzi (2009) estudaram a versão não bifurcada do NLP incorporando na função objetivo os custos relativos aos fluxos das *commodities*. Nesse trabalho os autores desenvolveram um método exato e quatro heurísticas diferentes para solução do problema. A primeira heurística consistiu em gerar uma solução inicial viável, que em seguida era melhorada até que uma condição necessária para otimalidade fosse satisfeita. Duas outras heurísticas foram baseadas na enumeração parcial do espaço de soluções, e a última heurística consistiu em aplicar busca tabu em diferentes soluções iniciais viáveis.

Os experimentos realizados por Bartolini e Mingozzi (2009) foram realizados em duas classes distintas de problemas. A primeira delas, chamada pelos autores de classe “A” consistiu na solução de cinco problemas diferentes, tendo de 70 a 93 *commodities*, de 18 a 29 nós, e de 29 a 61 arcos. A segunda classe de problemas

(classe “B”), consistiu na solução de um único problema com 435 *commodities*, 30 nós e 435 arcos.

Os resultados obtidos pelos autores evidenciaram a eficácia das heurísticas desenvolvidas especialmente no problema da classe “B”, de maior porte, tendo um resultado entre 14 e 15% superior ao se comparar com duas horas de processamento do CPLEX (versão 10.1). Já nos problemas da classe “A”, o CPLEX obteve resultados 1 a 3 % melhores que as heurísticas propostas, com uma hora de processamento.

No trabalho de Babonneau e Vial (2010) os autores utilizam uma abordagem inovadora para solução do NLP. O método de solução desenvolvido pelos mesmos pode ser considerado uma versão modificada do algoritmo de decomposição de Benders. O problema mestre consistiu em um problema de programação inteira puro, e o subproblema em um problema de otimização contínua responsável por testar se as capacidades inteiras geradas pelo problema mestre foram suficientes para suportar o fluxo para atender a demanda.

A diferença fundamental no algoritmo desenvolvido por esses autores, quando comparado com o esquema clássico de particionamento de Benders, foi de que o problema mestre não consistiu em buscar a melhor solução inteira do problema relaxado. Em vez disso, a busca foi por uma solução inteira melhor, próxima à melhor solução inteira gerada ao longo da execução do algoritmo, e o subproblema se resumiu a um problema de fluxo *multicommodity* não linear que foi resolvido utilizando um pacote de otimização de equações não diferenciáveis baseado em um método conhecido como ACCPM (*Analytic Center Cutting Plane Method*).

Os experimentos computacionais realizados mostraram que a abordagem utilizada pelos autores para solução do NLP se mostrou eficiente, especialmente para problemas de maior porte, com mais de 700 *commodities*, superando todos os resultados obtidos por outros autores para esta classe de problemas.

Altin, Yaman e Pinar (2010) estudaram o NLP em que as demandas entre os pares de nós da rede são assumidas como não sendo conhecidas de antemão. Os autores

propuseram uma nova formulação matemática mais compacta para o problema, e após um estudo de poliedros baseados na projeção das variáveis de fluxo do problema, resolveram o NLP utilizando *branch-and-cut* (B&C). Os experimentos computacionais realizados mostraram que o B&C foi eficaz na solução de problemas com até dois tipos de diferentes de recursos disponíveis para serem alocados nos arcos.

3.2.1 O problema de projeto de uma rede de serviços (PPRS)

O problema de roteamento de cargas em uma rede de transporte está fortemente ligado ao problema de projeto de uma rede de serviços (ou *service network design problem*). O projeto de uma rede de serviços consiste em decidir as características (frequência, número de paradas intermediárias etc.) das rotas a serem operadas, a designação do tráfego ao longo destas rotas, as regras de operação de cada terminal, e possivelmente a realocação de veículos vazios e contêineres (CRAINIC, 2000).

O PPRS é considerado mais abrangente que o NLP, por levar em conta outros fatores, sendo o foco principal a definição da frequência dos serviços a serem oferecidos (CRAINIC, 2000), sendo que o NLP está focado principalmente no atendimento das demandas por transporte e na definição do fluxo que cada carga deve percorrer para chegar até o seu destino, devendo para tal selecionar os arcos a serem abertos.

Crainic (2000) trata especificamente do problema de projeto da rede de serviços, apresentando uma revisão do estado-da-arte dos esforços para a modelagem matemática e solução do PPRS. É apresentada também uma nova classificação para o problema, incluindo os modelos matemáticos com suas diversas variantes.

O PPRS é um problema *NP-hard* sendo geralmente representado como um problema de programação inteira mista de otimização em uma rede capacitada com múltiplas *commodities*. Os modelos matemáticos usualmente utilizados para representar o PPRS possuem uma relaxação muito fraca, ou melhor, a solução obtida resolvendo-se o problema relaxando-se as restrições de integralidade das

variáveis possui uma grande quantidade de valores fracionários e muito distante da solução inteira do problema, dificultando assim todos os métodos de solução baseados em *branch-and-bound*. Dessa forma, a grande maioria dos métodos de solução propostos são baseados em heurísticas, como por exemplo, em Armacost, Barnhart e Ware (2002), Barnhart, Jin e Vance (2000), Barnhart e Schneur (1996), Kim et al. (1999), Crainic, Ferland e Rousseau (1984), Crainic e Rousseau (1986), Crainic e Roy (1988), Grunert e Sebastian (2000), Powell e Sheffi (1983), Powell (1986) e Powell e Sheffi (1989).

No trabalho de Powell e Sheffi (1983) é proposto um modelo matemático para representar o PPRS como um problema de projeto de redes com custo fixo, com restrições de nível de serviço representadas heurísticamente através de um conjunto de frequências mínimas nos arcos. Foi também apresentada uma heurística para solução do PPRS consistindo basicamente na inclusão e exclusão de arcos da rede de forma ordenada, juntamente com uma heurística de busca local para melhoria.

Crainic, Ferland e Rousseau (1984) examinaram o problema de roteamento do tráfego de cargas, programação dos serviços de transporte, e na alocação de tarefas para pátios de classificação em uma rede de transporte ferroviário. Foi descrito um modelo geral de otimização que levou em conta as interações entre estas atividades, e desenvolveram estratégias globais para seu gerenciamento em um horizonte de planejamento de médio prazo, propondo também uma heurística para solução.

Em Crainic e Rousseau (1986) foi estudado o problema do transporte de cargas que ocorre quando a mesma autoridade controla e planeja tanto o fornecimento de serviços de transporte, como também o roteamento da carga. É proposta uma estratégia para solução do problema baseada nos princípios de decomposição do problema e geração de colunas.

Powell (1986) utiliza um processo de melhorias locais para solução do PPRS, consistindo na inclusão e exclusão de arcos na solução. O nome “melhoria local” vem do fato de que as alterações da rede foram analisadas item a item, ou seja, foi analisada individualmente a contribuição que um determinado arco possa trazer, caso este venha a ser cancelado ou inserido da rede.

Crainic e Roy (1988) desenvolveram uma plataforma genérica para modelagem do problema de planejamento tático do transporte de cargas, utilizando técnicas de programação matemática. A abordagem desses autores consistiu na geração, avaliação e seleção de estratégias de operação considerando globalmente a rede de serviços de uma transportadora, e o roteamento das cargas através desta rede.

Em Powell e Sheffi (1989) foi descrito o projeto e a implementação de um sistema interativo de otimização para o roteamento das cargas a serem transportadas em uma rede de transporte de carga parcelada. Os autores propuseram uma estratégia interativa para solução do problema, que foi decomposto em problemas individuais mais simples de serem resolvidos, sendo aplicada com sucesso em uma grande empresa de transporte de carga parcelada dos Estados Unidos.

Barnhart e Schneur (1996) propõem a utilização do método de geração de colunas para solução do PPRS para o problema do transporte de cargas expressas pelo modal aéreo, sendo capazes de encontrar soluções aproximadas para uma frota fixa de aeronaves ou para uma frota de tamanho não especificado.

O foco da pesquisa apresentada em Kim et al. (1999) foi na modelagem e solução do PPRS em larga escala, envolvendo o transporte de cargas expressas. O objetivo foi definir a movimentação de encomendas das suas origens até os seus destinos, em uma dada janela de atendimento, muitas vezes curta, limitado pelas capacidades de classificação nos terminais intermediários, e um número finito de aeronaves e caminhões para entrega. Em síntese, os autores propuseram um método de solução baseado na técnica de geração de colunas e linhas para a obtenção de soluções de um problema de grande porte do mundo real.

Barnhart, Jin e Vance (2000) formularam o problema de blocagem de vagões ferroviários como um NDP, com restrições de fluxo e de grau máximo nos nós, e propuseram uma heurística baseada em relaxação lagrangiana para solução, decompondo o problema de programação linear inteira mista em dois subproblemas mais simples de serem resolvidos.

Grunert e Sebastian (2000) apresentaram modelos de planejamento para operações de transporte de longo curso para empresas de transporte de carga expressa, para os diferentes problemas, nos diferentes níveis de decisão, que surgem nesse segmento, tratando também do PPRS. É apresentada a forma com que esses modelos foram construídos e como estes se relacionam com outros modelos freqüentemente apresentados na literatura.

Armacost, Barnhart e Ware (2002) apresentaram uma nova abordagem para solução do PPRS para o serviço de cargas expressas, e desenvolveram uma nova relaxação para o modelo matemático, e com esse modelo puderam resolver o PPRS utilizando os dados fornecidos por uma empresa de transporte de encomendas expressas dos Estados Unidos, a UPS, demonstrando um ganho potencial na redução de custos de transporte.

Inspirado no trabalho de Powell (1986), Hellmuth (2004) utilizou um método iterativo para resolver o problema de planejamento da estrutura operacional de uma empresa de transporte de carga parcelada, envolvendo a solução do PPRS, juntamente com o reposicionamento de veículos vazios decorrentes do desbalanceamento entre o total de veículos expedidos e recebidos nos terminais.

Wieberneit (2008) faz um amplo levantamento dos trabalhos realizados sobre o PPRS, abordando as diferenças práticas para os diferentes níveis de planejamento estudados, apresentando ainda uma formulação matemática genérica para o problema. Esta representação matemática genérica para o problema é comparada com cinco problemas de planejamento tático encontrados na literatura:

1. o problema de transporte de carga expressa;
2. o problema de configuração de uma rede de transporte aéreo de encomendas postais;
3. a operação de transporte de carga parcelada na America do Norte;
4. a operação de transporte de carga parcelada na Europa;
5. a operação de transporte multimodal de carga parcelada na Europa.

A decomposição do PPRS em um problema de designação e outro de programação de veículos a rotas foi recentemente estudada por Teypaz (2010). O problema

original foi dividido em três etapas principais: construção da rede, roteamento das cargas e criação da programação dos veículos. Cada etapa do problema foi resolvida utilizando heurísticas, programação inteira mista, e técnicas de programação restrita.

3.2.2 Reposicionamento de veículos vazios

Uma característica comum de qualquer sistema de transporte de carga parcelada é a necessidade de movimentação de veículos vazios devido ao desbalanceamento que existe nos fluxos de negócios, o qual resulta em discrepâncias entre o fornecimento e a demanda por veículos nos terminais do sistema. Para corrigir estas diferenças, veículos precisam ser reposicionados, de tal forma que estejam prontos para atender a demanda em períodos futuros.

Em um nível um pouco mais agregado, o balanceamento de veículos vazios faz parte também do projeto da rede de serviços, contudo a decisão da quantidade e localização de veículos a serem enviados é muito complicada pela numerosa quantidade de possibilidades de movimento e as incertezas futuras de demanda e fornecimento.

A busca por uma estratégia mais econômica é um problema por si só muito significativo, possuindo modelagens matemáticas e estratégias de solução específicas. Devido às estas especificidades, esta pesquisa não contempla o estudo do reposicionamento de veículos vazios. Uma descrição mais detalhada desse problema pode ser vista nos trabalhos de Dejax e Crainic (1987), Powell, Jaillet e Odoni (1995), Cordeau, Toth e Vigo (1998) e Crainic (1998), entre outros.

3.3 CONCLUSÕES DO CAPÍTULO

Este capítulo tratou da revisão bibliográfica relativa ao projeto de redes de transporte de carga parcelada, analisando dois problemas comuns encontrados neste setor, em diferentes níveis de decisão: estratégico e tático.

Em nível de decisão estratégico, o problema consiste em: dado um conjunto de terminais de uma empresa transportadora de carga parcelada, o objetivo é definir dentre esse conjunto, quantos e quais desses terminais operarão como terminais de consolidação, ou *hubs*, e ainda na definição da alocação dos terminais não-*hub* aos *hubs* localizados.

Em nível de decisão tático, o problema de carregamento de carga parcelada consiste em, a partir de uma rede *hub-and-spoke* criada, definir as rotas a serem operadas para o transporte de cargas parceladas entre terminais, as possíveis paradas intermediárias em terminais de consolidação, e também no dimensionamento dos veículos envolvidos para a operação.

O problema estratégico de configuração de uma rede do tipo *hub-and-spoke* foi modelado como o problema conhecido na literatura por *uncapacitated single allocation hub location problem* (USAHLP), ou problema de localização de *hubs* não capacitado com alocação única. Nesse problema, a quantidade e localização de terminais de consolidação devem ser determinadas, simultaneamente com a alocação dos terminais não-*hub* aos *hubs* localizados. É apropriado um custo fixo ao se definir um terminal como um ponto para consolidação de cargas, e não há restrição de capacidade no volume de carga movimentado nos *hubs*.

Apesar de o USAHLP ter sido relativamente bem estudado na literatura, o problema ainda carece de um método de solução exato eficiente, e também de uma heurística com desempenho superior aos já estudados na literatura, pois os problemas do mundo real muitas vezes são de tamanho e complexidade superiores aos já estudados.

Até o presente momento, todos os autores deduziram a solução “ótima” do USAHLP tendo como ponto de partida a solução ótima do USApHMP apresentada em Skorin-Kapov, D., Skorin-Kapov, J, O’Kelly (1996). Como exemplo os trabalhos de Abdinnour-Helm e Venkataramanan (1998), Abdinnour-Helm (1998) e Topcuoglu et al. (2005).

A premissa nesses trabalhos foi que a quantidade de *hubs* obtida com os métodos de solução propostos estava correta, e correspondia com a quantidade ótima de *hubs*. Com isso, alguns enganos foram cometidos, ao se comparar o resultado final obtido com as heurísticas desenvolvidas com a solução dita “ótima” para esses problemas.

Deve-se notar ainda que os trabalhos apresentados na literatura consideram os mesmos conjuntos de dados: o conjunto de dados CAB possuindo uma quantidade máxima de 25 terminais na rede, e o conjunto de dados AP com até 200 terminais, e somente um único trabalho apresentou um estudo de caso analisando o problema real de uma empresa transportadora de carga parcelada, que foi em Cunha e Silva (2007).

Já em nível de decisão tático, o problema do carregamento de carga parcelada em uma rede de transporte foi modelado como um problema denominado na literatura de *network loading problem* (NLP). As raras aplicações práticas apresentadas na literatura para o NLP são todas relacionadas ao projeto de redes de telecomunicações, ou tratam o problema somente do ponto de vista matemático, sem apresentar uma aplicação prática para o mesmo.

O NLP é um problema *NP-hard* e todos os trabalhos apresentados na literatura, que se propuseram a tentar resolver problemas de grande porte desenvolveram uma estratégia para solução baseada em heurísticas, destacando a busca tabu. Para avaliar a qualidade das soluções obtidas com as heurísticas, diversos autores, como por exemplo, Bartolini e Mingozzi (2009), utilizaram o pacote de otimização CPLEX, fixando um tempo limite para processamento, e comparando a solução obtida do pacote com a solução obtida pela heurística, no mesmo tempo de processamento.

4 PROJETO DE REDES *HUB-AND-SPOKE* – MODELAGEM E HEURÍSTICAS

No projeto de redes *hub-and-spoke*, diferentes aspectos podem ser incluídos na definição do problema, especialmente no que diz respeito a:

1. quantidade de *hubs* a serem localizados;
2. alocação dos nós aos *hubs*;
3. capacidade dos *hubs*.

Nesta pesquisa é tratado o caso especial em que os *hubs* não possuem restrição de capacidade no fluxo a ser movimentado; a quantidade p de *hubs* a serem localizados deve ser definida, não sendo um dado de entrada para o problema; e os nós não-*hub* devem ser alocados a um único *hub*. Esse problema é conhecido na literatura como o problema de localização de *hubs* não capacitado com alocação única (*Uncapacitated Single Allocation Hub Location Problem* ou USAHLP).

Dada uma rede de transporte de carga parcelada composta por nós ligados entre si, o USAHLP consiste na definição simultânea da quantidade e localização de nós que operarão como ponto para consolidação de cargas (ou *hubs*), e na definição da alocação ou designação dos nós não-*hub* aos *hubs* localizados. Os nós de consolidação não possuem restrição de capacidade, ou seja, não há limite na quantidade de carga classificada nos *hubs*, e são apropriados custos fixos ao se selecionar um nó da rede como um *hub*. Adicionalmente, há economias de escala nos custos unitários de transporte nas ligações entre *hubs* em decorrência do maior fluxo consolidado.

Neste capítulo é proposto um novo modelo matemático para representar o USAHLP, e são descritas quatro heurísticas para sua solução. São apresentados ainda os resultados obtidos com os experimentos computacionais realizados utilizando dados comumente utilizados na literatura para *benchmark*, e também com novas instâncias geradas compostas por redes de até 400 nós, sendo a maior rede utilizada até o momento para solução do USAHLP.

4.1 MODELO MATEMÁTICO PARA O PROJETO DE REDES *HUB-AND-SPOKE*

Conforme visto no capítulo anterior, mais especificamente na Seção 3.1, o problema mais geral de configuração de redes *hub-and-spoke* foi bastante estudado na literatura, em suas diferentes variações, em especial o USAHLP, em que o número de *hubs* não é pré-definido, e o USApHMP, em que a quantidade p de *hubs* a serem localizados é dada de antemão.

Tendo como ponto de partida a formulação matemática desenvolvida por Ernst e Krishnamoorthy (1999) para o CSAHLP (isto é, o USAHLP com restrições de capacidade no fluxo movimentado nos *hubs*), é proposto neste trabalho um modelo matemático similar para representar o USAHLP. Esta formulação possui $(n^3 + n^2)$ variáveis, sendo destas n^2 binárias, representando um grande avanço ao se comparar a formulação matemática utilizada em O’Kelly (1992) com uma função objetivo quadrática, Campbell (1996) e Skorin-Kapov, D., Skorin-Kapov, J. e O’Kelly (1996) com um modelo matemático linear, porém com $(n^4 + n^2)$ variáveis. O modelo matemático aqui proposto reduz tanto a quantidade de variáveis como de restrições por um fator de aproximadamente n .

Sejam os parâmetros:

- α : fator de desconto na ligação entre *hubs*;
- χ : custo por unidade de fluxo na operação de coleta (no transporte nó de origem \rightarrow *hub*);
- δ : custo por unidade de fluxo na operação de distribuição (no transporte *hub* \rightarrow nó de destino);
- W_{ij} : quantidade de carga com origem no nó i e destino no nó j ;
- $O_i = \sum_j W_{ij}$ a somatória dos fluxos originados no nó i ;
- $D_i = \sum_j W_{ji}$ a somatória dos fluxos destinados ao nó i ;
- C_{ij} o custo por unidade de fluxo entre os nós i e j ;
- F_k custo fixo ao se estabelecer um *hub* no nó k .

e variáveis de decisão:

- Y_{kl}^i : quantidade de carga com origem no nó i (isto é, o tráfego partindo do nó i), que é enviado via *hubs* k e l ;
- X_{ik} : variável binária que recebe o valor 1 se o nó i é alocado ao *hub* localizado no nó k , ou 0 caso contrário.
- $X_{kk} = 1$: se o nó k é definido como *hub*, ou 0 caso contrário.

O modelo matemático utilizado para representar o USAHLP foi:

$$\text{Min} \sum_i \sum_k C_{ik} X_{ik} (\chi O_i + \delta D_i) + \sum_i \sum_k \sum_l \alpha C_{kl} Y_{kl}^i + \sum_k F_k X_{kk} \quad (4.1)$$

Sujeito às restrições

$$\sum_k X_{ik} = 1, \quad \forall i \in N, \quad (4.2)$$

$$X_{ik} \leq X_{kk}, \quad \forall i, k \in N, \quad (4.3)$$

$$\sum_l Y_{kl}^i - \sum_l Y_{lk}^i = O_i X_{ik} - \sum_j W_{ij} X_{jk}, \quad \forall i, k \in N, \quad (4.4)$$

$$X_{ik} \in \{0, 1\}, \quad \forall i, k \in N, \quad (4.5)$$

$$Y_{kl}^i \geq 0, \quad \forall i, k, l \in N. \quad (4.6)$$

Nesse modelo matemático, a função objetivo (4.1) visa minimizar os custos de coleta, transferência e distribuição, e os custos fixos associados à abertura de *hubs*. As restrições (4.2) impõem que cada nó i seja designado a exatamente um único *hub*, enquanto as restrições (4.3) asseguram que um nó seja alocado a um *hub* k somente se esse for um *hub*. As restrições (4.4) representam as equações de divergência para cada *commodity* i no nó k em um grafo completo, em que a oferta e a demanda nos nós são determinadas pelas variáveis de alocação X_{ik} . Em outras palavras, para um dado nó qualquer i , seja $Y_{kl}^i > 0$ ou $Y_{lk}^i > 0$, mas não ambos simultaneamente (para $k \neq l$) dado que cada nó i é designado a somente um *hub* k , como imposto pelas restrições (4.2).

Mais especificamente, a variável Y_{kl}^i não permite mais o acompanhamento do fluxo entre pares de nós separadamente. Esta abordagem não é intuitiva, e algumas explicações adicionais são apropriadas, dado que esta questão não é explicada em detalhes em Ernst e Krishnamoorthy (1999).

Deve-se destacar que nenhum dos trabalhos encontrados na literatura considerou esta formulação para o USAHLP, e sim a sua equivalente quadrática proposta por O'Kelly (1992). Esse modelo matemático nunca foi utilizado previamente para representar o USAHLP, outro ponto importante a ser destacado é que todas as soluções ótimas reportadas na literatura basearam-se na solução do USApHMP (*Uncapacitated Single Allocation p-Hub Median Problem*), em que o número de *hubs* é fixo, variando-se o número de *hubs* p .

4.2 ESTRATÉGIA PROPOSTA PARA SOLUÇÃO DO USAHLP

Nesta Seção são descritas duas abordagens principais para solução do USAHLP. A primeira delas é baseada na obtenção de soluções ótimas para o problema, e a segunda abordagem foi centrada no desenvolvimento de heurísticas, especialmente para problemas de grande porte (redes com mais de 100 nós). A primeira heurística utilizou a técnica de *multi-start*, ou multi-início, com procedimentos de melhoria utilizando busca tabu. A segunda heurística desenvolvida utilizou exclusivamente busca tabu para obtenção das soluções.

4.2.1 Heurísticas multi-início para solução do USAHLP

Em heurísticas multi-início, um número de diferentes soluções iniciais são geradas e em seguida melhoradas utilizando-se algum método de busca local. Heurísticas multi-início podem ser aplicadas a problemas em que soluções iniciais são facilmente construídas, mas heurísticas de melhoria não são capazes de explorar a vizinhança de soluções de uma maneira eficiente com o objetivo de se alcançar melhores soluções, dado que podem ser necessários vários movimentos, muitas vezes complexos, para poder explorar de forma razoável esta vizinhança de soluções dentro do espaço de soluções viáveis do problema (MARTÍ, 2002).

Algumas vezes o problema é altamente restrito, tornando-se difícil definir vizinhanças que mantenham a viabilidade; por outro lado, existem problemas que possuem restrições fracas, resultando em um espaço de soluções e vizinhança muito grandes para serem exploradas de maneira eficiente.

Uma alternativa para superar estas dificuldades, tentando evitar um ótimo local e também alcançar diversificação, é reiniciar a busca partindo de uma nova solução, depois que a vizinhança da solução corrente tenha sido extensivamente explorada.

Ainda, estratégias multi-início podem ser utilizadas para guiar a construção de novas soluções em um horizonte de longo prazo do processo de busca. O mecanismo de reinício pode ser sobreposto com muitos métodos de busca diferentes.

Em geral, o método multi-início apresenta duas fases básicas: a primeira no qual a solução é gerada, e a segunda em que a solução é tipicamente melhorada. Desta forma, cada iteração completa produz uma solução, e a heurística termina quando o critério de parada foi alcançado. A melhor solução encontrada em todas as iterações é a saída da heurística (MARTÍ, 2002).

A heurística multi-início combina uma estratégia de diversificação dada pela fase de construção com a intensificação fornecida pela fase de melhoria, resultando em um método simples e apropriado para resolver problemas difíceis de otimização (MARTÍ e VEGA, 2003).

A estratégia multi-início foi utilizada para definir a quantidade e localização de *hubs* (problema locacional), enquanto que a busca tabu foi utilizada para a definição da designação dos nós aos *hubs* localizados (problema alocacional). A motivação para a utilização da estratégia multi-início foi devido ao fato de se verificar que soluções viáveis para a parte locacional do problema, que consiste na definição da quantidade e localização de *hubs*, podem ser geradas facilmente, sem a necessidade de estratégias complexas, como as já utilizadas na literatura baseadas basicamente em algoritmos genéticos, consumindo um grande tempo de processamento que, conforme os resultados obtidos apresentados nas seções a seguir, se mostraram

desnecessários para se resolver de forma eficiente a primeira parte da solução do problema.

Como no USAHLP os *hubs* não possuem restrição de capacidade, e qualquer nó da rede é um candidato a se tornar um *hub*, nós que possuem um grande fluxo *inbound* e *outbound* e que estão com uma localização relativa boa, ao se comparar com os outros nós da rede, possuem uma maior chance de serem escolhidos para operarem como *hubs*.

Muitos autores na literatura geraram soluções iniciais para a parte alocaional do problema, que define a alocação dos nós não-*hub* aos *hubs* localizados, utilizando a estratégia de alocação do nó ao *hub* mais próximo introduzida por O'Kelly (1987). Contudo, a alocação exclusivamente com base na distância nem sempre resulta na alocação ótima para o problema por não levar em conta o fator de desconto na ligação entre *hubs* (α). A busca tabu desenvolvida neste trabalho para resolver a parte alocaional do problema, parte de uma solução inicial gerada utilizando uma estratégia de alocação dos nós ao *hub* mais próximo. Esta solução inicial é então melhorada, caso possível, utilizando a busca tabu.

Na Figura 4.1 é apresentado um exemplo de rede *hub-and-spoke* que corresponde à solução do problema do conjunto de dados do CAB contendo 15 nós, fator de desconto (α) na ligação entre *hubs* igual a 0,2, e custo fixo igual a 100. A solução ótima para esse problema possui 5 *hubs* localizados nos nós 3, 4, 7, 12 e 14 e estão sinalizados na cor verde na figura. A ligação entre *hubs* está representada por arcos na cor vermelha. Para esse exemplo, se a alocação for realizada baseando-se exclusivamente na distância, ou seja, um nó é alocado ao *hub* mais próximo, o custo da solução é de 1.183,12. Se for alterada a alocação do nó 1 do *hub* 14, que é o *hub* mais próximo de 1, para o *hub* 4, a solução final obtida, que é a solução ótima para o problema, possui um custo de 1.030,07.

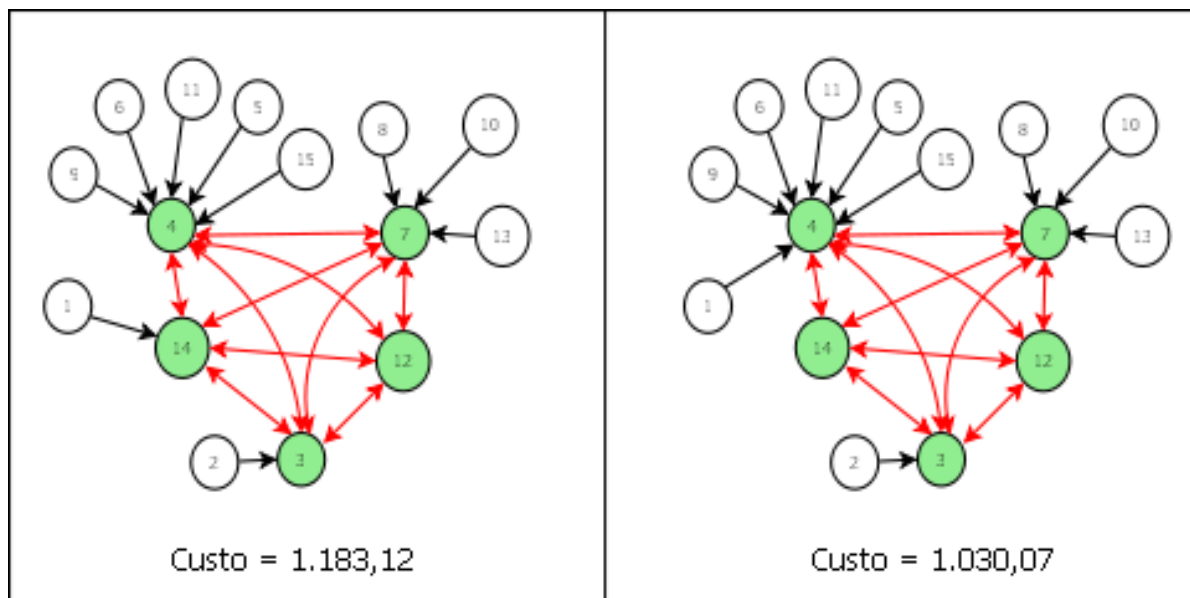


Figura 4.1: Exemplo de alocação dos nós aos *hubs*

São propostas três variantes da heurística multi-início, chamadas MST-1, MST-2 e MST-3, para resolver o USAHLP. (MST: *multi-start tabu search*). Estas três heurísticas seguem o mesmo esqueleto básico apresentado na Figura 4.2.

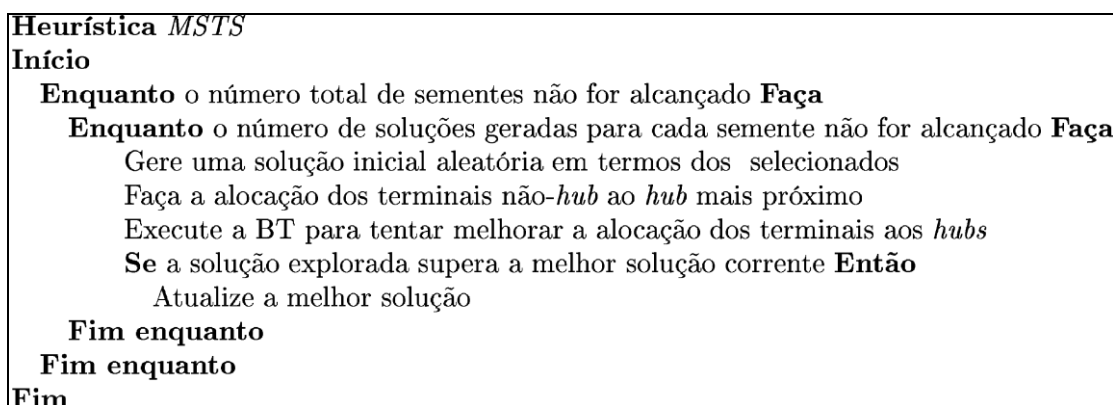


Figura 4.2: Esqueleto básico das heurísticas MST para o USAHLP

As principais entradas para as heurísticas são:

- O número total de sementes, ou rodadas independentes, a serem realizadas para cada problema. Cada semente é um número inteiro utilizado como entrada para o gerador de números aleatórios.

- O número total de soluções a serem exploradas a cada rodada independente (ou semente). Para cada solução são geradas aleatoriamente a quantidade e localização dos *hubs* de acordo com a probabilidade de cada nó se tornar um *hub*.

A principal diferença entre as três heurísticas propostas é no método para obtenção de uma solução inicial viável, como detalhado a seguir na Seção 4.2.1.1. Para cada solução inicial gerada é então aplicada uma heurística de melhoria baseada em busca tabu, com o objetivo de se melhorar cada nova solução gerada. Os detalhes desta heurística de melhoria, baseada em busca tabu, são apresentados mais adiante na Seção 4.2.1.2.

Todas as três variantes propostas derivam-se do fato de que uma vez que a quantidade e localização de *hubs* estão ambas definidas, uma boa solução em termos da alocação dos nós não-*hub* aos *hubs*, pode ser encontrada utilizando o critério de alocação ao *hub* mais próximo proposta pela primeira vez em O'Kelly (1987).

4.2.1.1 Geração de soluções iniciais

O conjunto de soluções iniciais é um fator importante que interfere no desempenho da heurística multi-início. Esse conjunto deve conter soluções de boa qualidade e ao mesmo tempo diversas, procurando levar a busca o mais próximo possível do ótimo global do problema. Uma vantagem da heurística proposta, e também das características do problema, é que soluções iniciais viáveis podem ser facilmente obtidas, com tempos de processamento muito reduzidos.

Para o MSTS-1, um conjunto de soluções iniciais é gerado baseado em uma probabilidade p fixa de um nó se tornar *hub*. Em outras palavras, a probabilidade p é a mesma para todos os nós da rede, e esse valor é um parâmetro de entrada para a heurística. Para cada solução gerada, o conjunto de *hubs* selecionados é dado como segue: para cada nó $i \in N$, um número r_i entre 0 e 1 é aleatoriamente

gerado. Se $r_i \leq p$, o nó i é selecionado como *hub*; caso contrário esse nó não se torna um *hub*.

No MSTS-2, a probabilidade de cada nó se tornar um *hub* não é a mesma para todos os nós, mas depende do fluxo total originado e destinado ao nó i . A hipótese é a de que nós com um grande tráfego enviado e recebido possuem uma maior probabilidade de se tornarem *hubs*, ou seja, a probabilidade de um nó i ser escolhido como *hub* é proporcional à parcela de fluxo total movimentado no nó em relação ao fluxo total. Usando os parâmetros já definidos, têm-se:

$$p(i) = \frac{(O_i + D_i)}{\sum_i (O_i + D_i)}, \quad \forall i \in N \quad (4.7)$$

De forma análoga ao MSTS-1, um número r_i no intervalo $[0,1]$ é aleatoriamente gerado e se $r_i \leq p(i)$, o nó i é selecionado como *hub*.

Finalmente, no caso do MSTS-3 a probabilidade $p(i)$ do nó i se tornar um *hub* depende não só do tráfego total originado e destinado ao nó i , mas também é afetado por um fator de penalidade, baseado na localização geográfica relativa (ou espacial) do nó i , medida em termos da distância de todos os outros nós, como mostrado abaixo:

$$p(i) = \frac{(O_i + D_i)}{\sum_i (O_i + D_i)} \times \left(1 - \frac{\aleph_i}{\sum_i \aleph_i} \right) \quad \forall i \in N \quad (4.8)$$

onde $\aleph_i = \sum_j (d_{ij} + d_{ji})$

Essa penalidade baseada na distância objetiva reduzir a probabilidade $p(i)$, levando-se em conta a localização relativa do nó i em relação aos nós restantes. Em outras palavras, um nó i , mesmo que gere e atraia muita carga, tem o seu potencial para se tornar um *hub* diminuído caso sua posição relativa aos demais nós não seja tão favorável. Foi assegurado também que, nesse caso, $p(i)$ não seja inferior a um dado $p(i)_{min}$, expressado como uma fração da probabilidade do nó i se tornar um *hub*, considerada no MSTS-2, e dada pela seguinte expressão:

$$p(i)_{min} = \frac{(O_i + D_i)}{\sum_i (O_i + D_i)} \times \varphi \quad (4.9)$$

onde φ é uma constante não negativa assumindo valor entre 0 e 1.

Dado que as três variantes da heurística multi-início propostas são baseadas em números gerados aleatoriamente, com o objetivo de se assegurar a diversidade das soluções, decidiu-se substituir a função para geração de números aleatórios fornecida pela linguagem de programação C (*rand ()*), por outra função chamada *Mersenne Twister* (MT) (Matsumoto e Nishimura, 1998).

Experimentos preliminares realizados mostraram que o MT proporciona melhores soluções utilizando um menor tempo de processamento quando comparado com a função *rand ()* embutida na linguagem de programação C. E também, a utilização do MT possibilita que as heurísticas apresentem o mesmo desempenho em diferentes plataformas, compiladores e sistemas operacionais (por exemplo Windows, Linux, etc.), diferente da função *rand ()*, que apresentou diferentes resultados em compiladores Windows e Linux.

4.2.1.2 Uma heurística de melhoria baseada em busca tabu

Nas três variantes da heurística MSTs desenvolvidas, cada solução inicial distinta gerada foi melhorada por um procedimento de busca local baseado em busca tabu. A busca tabu é um procedimento de busca local que utiliza estruturas de memória para guiar os movimentos de uma solução viável para outra, com o objetivo de se explorar regiões do espaço de busca que poderiam não ser explorados, tentando escapar do ótimo local. Os princípios fundamentais da busca tabu são apresentados em detalhes em Glover (1986, 1989).

Foi implementado um procedimento simples, porém eficaz, de movimento para buscar na vizinhança de uma dada solução para o USAHLP: um movimento chamado *shift-move* (ABDINNOUR-HELM, 1998), consistindo na troca da

designação de um único nó não-*hub* de um *hub* para outro. E ainda, a heurística de melhoria busca tabu proposta utilizou somente memória de curto prazo, e consistiu em restringir os nós candidatos para troca de alocação.

Experimentos computacionais realizados utilizando-se também o mecanismo de memória de longo prazo da busca tabu não apresentou melhorias significativas nas soluções finais obtidas, aumentando significativamente o tempo de processamento, sendo ainda um mecanismo difícil de ser calibrado. A implementação realizada consistiu em gravar as alocações realizadas e utilizar esta informação para a geração de soluções diferentes das já exploradas,

Verificou-se que apenas com estruturas e movimentos de curto prazo foi possível convergir para alocações ótimas, em tempos de processamento muito mais reduzidos, de forma compatível com os requerimentos de uma heurística multi-início, em que um número elevado de soluções são geradas, e posteriormente melhoradas, em termos da alocação dos nós não-*hub* aos *hubs*.

O foco desta busca em vizinhança na parte alocaional do problema, teve como objetivo superar as deficiências da alocação baseada na distância (O'KELLY, 1987) quando as soluções iniciais são geradas; esta deficiência é devido ao fato de que a alocação dos nós não-*hub* baseada exclusivamente na distância, não leva em consideração as economias de escala no tráfego entre *hubs*. Esta abordagem se mostrou um procedimento de melhoria simples, eficaz e fácil de ser implementado, em conjunto com a heurística multi-início, permitindo um grande número global de iterações, utilizando um curto tempo de processamento.

Alternativamente, poderiam ter sido consideradas outras opções de projeto de heurística multi-início, como por exemplo, uma rotina de busca local mais complexa, que poderia melhorar significativamente uma menor quantidade de soluções geradas; conseqüentemente seria necessário estender a busca para uma vizinhança maior, objetivando incluir movimentos que permitiriam também modificações na quantidade e localização dos *hubs*. Esta abordagem não somente aumentaria a complexidade na exploração da vizinhança de soluções, como também seria mais difícil de ser implementada, pois a mudança da localização de um *hub* implica a

realocação de todos os nós não-*hub*, no cálculo dos novos fluxos, e em uma busca tabu também para a parte locacional do problema, possivelmente requerendo sofisticados mecanismos adaptativos de memória de longo prazo, possivelmente fazendo com que a busca seja mais demorada e difícil de ser calibrada e controlada.

Dada a facilidade de se gerar boas soluções iniciais para o USAHLP, como já apresentado, os procedimentos MSTs visaram superar a dificuldade de se melhorar soluções, especialmente no que diz respeito à quantidade e localização de *hubs*, gerando soluções iniciais boas e diversificadas de uma maneira muito rápida e direta.

4.2.2 Uma busca tabu integrada para solução do USAHLP

Conforme apresentado na Seção 4.2.1 anterior, as heurísticas multi-início propostas para o USAHLP utilizaram a busca tabu para a parte alocacional do problema. Em outras palavras, uma vez que a quantidade e localização de *hubs* sejam determinadas, a busca tabu permite alcançar, de forma eficaz, soluções de alta qualidade no que diz respeito à designação dos nós aos *hubs* selecionados.

Essa abordagem guarda similaridades com a heurística híbrida desenvolvida por Abdinnour-Helm (1998), que utilizou AG e busca tabu. Em ambos os casos estas heurísticas utilizam primeiramente uma fase de diversificação (AG e multi-início), possibilitando gerar um número de soluções diversas tal que englobe a solução ótima em termos de quais nós são *hubs*.

A heurística integrada baseada em busca tabu para resolver o USAHLP, denominada nesse trabalho de HubTS, consistiu em dois estágios da busca tabu aplicados simultaneamente para determinar a quantidade e localização dos *hubs* e na definição dos *spokes* que farão a ligação aos nós não-*hub* da rede. A heurística HubTS foi inspirada na busca tabu de Skorin-Kapov, D. e Skorin-Kapov, J. (1994) para o USApHMP, e também na geração de vizinhanças de soluções para localização de *hubs* e na lista tabu para o USAHLP desenvolvido por Chen (2007).

Diferentemente da busca tabu desenvolvida por Skorin-Kapov, D. e Skorin-Kapov, J. (1994) para o USApHMP, no caso do USAHLP, a quantidade de *hubs* não é dada de antemão, mas sim esta quantidade de *hubs* deve ser determinada. É interessante notar que, no USAHLP, similar a outros problemas de localização, surge um *trade-off* entre os custos fixos de estabelecimento de *hubs* versus o custo de transporte. Em outras palavras, conforme o número de *hubs* selecionados aumenta, os custos de transporte, incluindo os custos de coleta e distribuição (devido à maior proximidade dos nós não-*hub*), bem como os custos de transferência (devido às economias de escala) tendem a diminuir.

Nesse contexto, a idéia central é que a heurística HubTS possibilita efetivamente determinar soluções de boa qualidade para o USAHLP em termos da localização dos *hubs* e da alocação dos nós não-*hub*. Tal afirmação baseia-se no fato de que para as instâncias do CAB e AP, o custo total resultante (dado pela soma dos custos de coleta, distribuição, transferência entre *hubs* e custos fixos), como uma função do número de *hubs* selecionados (p), exhibe um comportamento estritamente convexo, no qual o mínimo global pode ser encontrado.

Esse comportamento estritamente convexo foi evidenciado em todos os problemas resolvidos utilizando-se os dados do CAB e do AP, contudo não é possível afirmar com exatidão que esse comportamento será o mesmo para qualquer instância do problema.

Um exemplo desse comportamento convexo pode ser visto na Figura 4.3, em que são apresentadas soluções para uma instância do conjunto de dados CAB contendo 15 nós, fator de desconto na ligação entre *hubs* $\alpha = 0,2$, e custo fixo igual a 100. Esse problema foi resolvido variando-se a quantidade de *hubs* p de 1 até 11. A solução ótima para esse problema corresponde a uma configuração com cinco *hubs*, com custo total de 1.030,07 e pode ser determinada variando-se o número de nós *hubs* p .

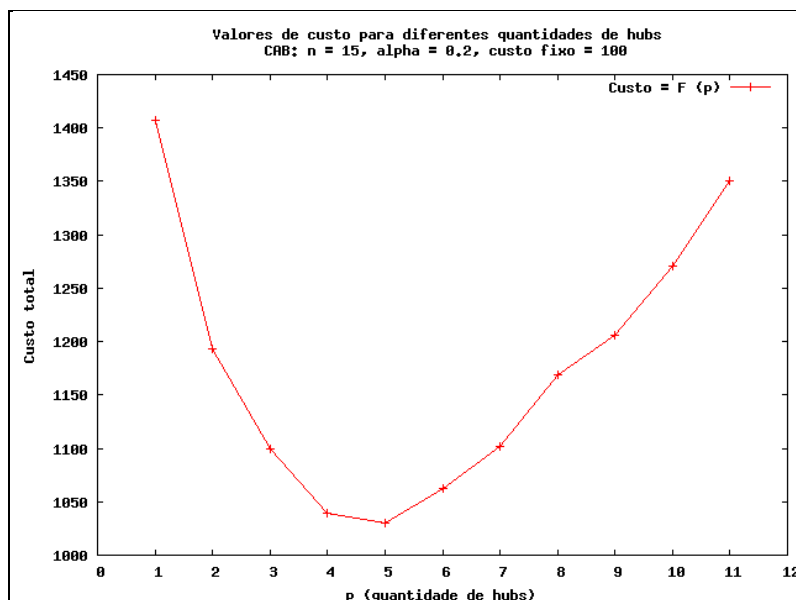


Figura 4.3: Custo da solução para diferentes números de *hubs* selecionados (p)

Em linhas gerais, a heurística HubTS pode ser brevemente descrita da seguinte forma: iniciando com uma configuração de rede com somente um *hub* ($p = 1$), e adicionando um *hub* por vez (isto é, fazendo $p = p + 1$), o objetivo é encontrar a melhor configuração correspondente para cada valor de p , cessando o procedimento quando o custo total, quando comparado com o custo correspondente do problema com $p - 1$ *hubs*, tiver aumentado.

Em outras palavras, a heurística HubTS desenvolvida é aplicada de forma iterativa para determinar, para diferentes e consecutivos valores de p , a melhor configuração correspondente, em termos das melhores p localizações dos *hubs* e a designação dos nós não-*hub*. O critério de parada é quando o custo total para um dado valor p de *hubs* é maior que o valor correspondente para $p - 1$.

O esqueleto básico para a heurística HubTS é mostrado na Figura 4.4.

Heurística <i>HubTS</i> Início Faça $p \leftarrow 1$ Faça $CurrentSol \leftarrow \infty$ Faça $BestSol \leftarrow \infty$ Repita Execute o procedimento <i>TabuLoc</i> Se $CurrentSol < BestSol$ Então Faça $CurrentSol \leftarrow BestSol$ Faça $p \leftarrow p + 1$. Até $CurrentSol > BestSol$ Fim

Figura 4.4: Esqueleto básico da heurística HubTS para o USAHLP.

Para cada valor de p , a melhor solução é determinada pelo procedimento TabuLoc (Figura 4.5). Uma vez que uma solução inicial viável é obtida, a busca tabu locacional tenta melhorar a solução corrente, examinando todas as possíveis possibilidades de substituição de um *hub* selecionado por um nó não-*hub*. A heurística TabuAlloc (Figura 4.6) é então aplicada para cada troca de alocação no qual o custo resultante da realocação dos nós não-*hub*, no que diz respeito à alocação ao *hub* mais próximo, não piore a solução acima de um determinado valor limite dado por $(1 + \lambda)$, onde λ é um valor pequeno não negativo.

A justificativa para não aplicar o procedimento TabuAlloc para todo movimento de troca tem a finalidade de tentar evitar que o TabuAlloc desperdiçasse tempo tentando melhorar soluções não promissoras em termos de localização de *hubs*. Em outras palavras, somente soluções promissoras, isto é, todas para as quais o custo não se deteriore acima de um valor limite, em relação à melhor solução corrente conhecida, são aceitos para o TabuAlloc tentar melhorar a realocação dos nós não-*hub* (inicialmente alocados ao *hub* mais próximo) ao novo conjunto p de *hubs* selecionados.

Dessa forma, uma iteração completa do TabuLoc consiste na avaliação de todas as trocas únicas de localização do atual conjunto de *hubs*. Em cada avaliação de troca, o TabuAlloc foi aplicado em soluções promissoras para tentar melhorar a alocação de cada nó não-*hub* (diferente do seu *hub* mais próximo). Esse procedimento foi

realizado examinando-se todas as trocas individuais únicas admissíveis (movimento não é tabu). A melhor alocação obtida, depois de um determinado número de iterações, foi utilizada na avaliação da troca de *hubs* corrente.

Heurística *TabuLoc*

Início

Selecione os p primeiros terminais em ordem decrescente da quant. fluxo *inbound* e *outbound* como *hubs*

Faça alocação dos terminais aos *hubs* mais próximos

Calcule o custo total da solução

Armazene a solução corrente como melhor solução

Enquanto o número máximo de iterações tabu não for alcançado **Faça**

Para cada troca única admissível entre um terminal não-*hub* e um *hub* **Faça**

Realoque cada terminal não-*hub* ao seu novo *hub* mais próximo

Determine o custo da solução corrente *CurrentCost*

Se $CurrentCost \leq (1 + \lambda) \times BestCost$ **Então**

Execute *TabuAlloc*

Fim Se

Fim Para cada

Realize a melhor troca de *hubs* permitida

Se a solução em estudo melhora a melhor solução corrente **Então**

Grave a solução em estudo como sendo a melhor solução corrente

Fim Se

Atualize a lista tabu alocacional

Fim Enquanto

Fim

Figura 4.5: Esqueleto básico do procedimento *TabuLoc* para o USAHLP.

O conjunto de movimentos tabu foi gravado em duas listas tabu separadas. No *TabuLoc* um nó não-*hub* que substitui um *hub* é incluído na lista tabu e não pode ser substituído durante um determinado número de iterações (*tenure*). De forma análoga, no *TabuAlloc* um nó não-*hub* alocado a um novo *hub* é feito tabu e assim não pode ser realocado para outro *hub* por um dado número de iterações. Em ambos os casos o critério de aspiração permite que um movimento envolvendo um nó na lista tabu seja realizado se este melhorar a melhor solução corrente.

Diferente da busca tabu desenvolvida por Skorin-Kapov, D. e Skorin-Kapov, J. (1994), a heurística *HubTS* não utiliza mecanismo de memória de longo prazo para reiniciar a busca partindo de uma solução inicial diferente. Os experimentos realizados mostraram que esse procedimento não foi necessário, dado que não foi

alcançada nenhuma melhoria relevante em termos da qualidade da solução final obtida, fazendo somente com que a heurística HubTS ficasse mais lenta.

Heurística *TabuAlloc*

Início

Enquanto o número máximo de iterações tabu não for alcançado **Faça**

Para cada realocação admissível de um terminal não-*hub* **Faça**

Calcule a melhoria na função objetivo dada pela redução do custo

Fim Para cada

Realize a melhor realocação admissível

Se a solução em análise melhora a melhor solução corrente **Então**

Armazene a solução em análise como sendo a melhor solução corrente

Fim Se

Atualize a lista tabu alocacional

Fim Enquanto

Fim

Figura 4.6: Descrição básica do procedimento TabuAlloc.

4.3 EXPERIMENTOS COMPUTACIONAIS

Todos os experimentos para resolução do USAHLP foram realizados em um computador Pentium IV 3.0 Ghz PC, com 1GB de memória RAM e sistema operacional Windows XP Professional. Todas as heurísticas foram codificadas utilizando a linguagem de programação C. Foi utilizando também o pacote comercial *ILOG CPLEX Concert Technology*, versão 9.1, para determinar a solução ótima para o USAHLP, considerando a formulação apresentada na Seção 4.1, representada pelas equações (4.1) a (4.6).

O conjunto de dados CAB (*Civil Aeronautics Board*) foi introduzido por O'Kelly (1987) e desde então tem sido comumente utilizado para comparar heurísticas para vários problemas de localização de *hubs*. São dados baseados no tráfego aéreo de passageiros entre 25 cidades dos Estados Unidos em 1970. Estas 25 cidades fazem parte de um conjunto de dados maior consistindo no fluxo entre 100 cidades. O subconjunto de 25 cidades foi escolhido por representar 51% do fluxo observado. A

distância entre as cidades satisfaz a igualdade triangular, e os fluxos entre qualquer par de cidades são simétricos, isto é, $W_{ij} = W_{ji}$.

Outro conjunto de dados utilizado na literatura é o do correio australiano conhecido como *Australian Post data set* (AP), utilizado pela primeira vez por Ernst e Krishnamoorthy (1996); e foi baseado na entrega de encomendas postais dos correios em Sidney, Austrália, consistindo de 200 nós, representando na verdade distritos postais. A principal diferença entre o CAB e o AP, além da quantidade de nós da rede, é que no caso do AP a matriz de fluxo não é simétrica, e também o fluxo para um mesmo distrito postal é diferente de zero ($W_{ii} \neq 0$).

Os resultados obtidos nos experimentos computacionais realizados para solução do USAHLP, utilizando os dados tanto do conjunto CAB, como também do conjunto AP, são apresentados nas Seções 4.3.1 e 4.3.2, respectivamente.

Analisando os resultados obtidos com os experimentos computacionais realizados com o conjunto de dados AP, verificou-se que a quantidade de *hubs* localizados foi muito pequena, contendo entre 1 ou 2 *hubs* localizados para a maioria das instâncias. Com isso, foi considerada também uma versão modificada dos dados do AP, no qual fatores de redução são aplicados nos custos fixos ao se estabelecer *hubs*, objetivando aumentar o número de *hubs* na solução ótima, para se testar o desempenho dos métodos de solução propostos em problemas de maior dificuldade para solução, dado que a quantidade de *hubs* a serem localizados foi maior ao se comparar com o conjunto de dados AP original. Adicionalmente, foi desenvolvido um novo conjunto de quatro novas instâncias de grande porte, baseado no conjunto AP, compreendido por problemas com 300 e 400 nós. Esses novos experimentos estão detalhados na Seção 4.5.

Um conjunto de experimentos preliminares foi conduzido a fim de se definirem os parâmetros de controle para as heurísticas multi-início. Os resultados indicaram que, utilizando os seguintes parâmetros, torna-se possível encontrar soluções de alta qualidade em um curto tempo de CPU:

- número de sementes (rodadas independentes) igual a 50;

- 50 soluções diferentes para cada semente, totalizando 2.500 soluções geradas e exploradas;
- período tabu (*tabu tenure*) igual a 5 iterações;
- quantidade de iterações da busca tabu igual a 10 iterações.

Esses parâmetros da busca tabu são similares aos utilizados por Abdinnour-Helm (1998). No MSTS-3, φ , parâmetro utilizado para se calcular a probabilidade mínima de um nó se tornar *hub*, assumiu os valores 0,2 e 0,5 para os dados do CAB e do AP, respectivamente.

Os mesmos experimentos foram aplicados a fim de determinar o melhor conjunto de parâmetros para o HubTS. A duração tabu (*tabu tenure*) foi fixada em três e cinco iterações para o TabuLoc e TabuAlloc, respectivamente, enquanto que o número máximo de iterações da busca tabu foi limitado a cinco iterações para o TabuLoc, e dez iterações para o TabuAlloc.

Conforme explicitado na seção anterior, o procedimento TabuAlloc é executado somente se o custo da nova localização de *hubs* não for pior que 5% da melhor solução corrente (ou $\lambda = 0,05$). Os experimentos realizados indicaram os parâmetros de duração tabu, e quantidade total de iterações, mesmo que ligeiramente menores daqueles utilizados por outros autores (Skorin-Kapov, D e Skorin-Kapov, J. 1994; Abdinnour-Helm, 1998), possibilitaram a obtenção de soluções de alta qualidade em curtos tempos de processamento. Esses parâmetros foram mantidos fixos para todos os problemas, independente de seu tamanho.

4.3.1 Resultados obtidos com o conjunto de dados CAB

O experimento consistiu em resolver o CAB em subconjuntos de 10, 15, 20 e o conjunto de dados completo, com 25 nós. O fator de desconto α nas ligações entre *hubs* foi fixado e considerado em quatro níveis: 1,0; 0,8; 0,6; 0,4 e 0,2, e mantendo $\chi = \delta = 1$. O custo fixo F_k utilizado ao se estabelecer um *hub* foi 100, 150, 200 e 250, e igual para todos os nós.

Na Figura 4.7 é apresentado o trecho do código fonte na linguagem C++ para representar o modelo matemático apresentado nas equações de (4.1) a (4.6), utilizando o pacote ILOG CPLEX, versão 9.1.

```
// Variaveis do modelo matematico
IloNumVarArray2 Z(env,n);
IloNumVarArray3 Y(env,n);
for (int i=0; i<n; i++)
{
    Z[i] = IloNumVarArray(env, n, 0, 1, ILOBOOL);
    Y[i] = IloNumVarArray2(env,n);
    for (int k=0; k<n; k++)
    {
        Z[i][k].setName(str);
        Y[i][k]=IloNumVarArray(env, n, 0, IloInfinity, ILOFLOAT);
        for (int l=0; l<n; l++)
            Y[i][k][l].setName(str);
    }
}
// criando o modelo
IloModel model(env);

// parcelas da FO
IloExpr cColDist(env), cTransf(env), cFixo(env);
// restricoes

// loops para construir FO e restricoes simultaneamente
for (int k=0; k<n; k++)
{
    cFixo+=fixo[k]*Z[k][k];
    IloExpr constr1(env);
    for (int i=0; i<n; i++)
    {
        cColDist+=dist[i][k]*Z[i][k]*(gama*O[i]+delta*D[i]);
        model.add(Z[i][k] <= Z[k][k]); // adicionando restricao 2
        constr1+=Z[k][i]; // construindo restricao 1 Zik=1
        IloExpr constr3l(env);
        IloExpr constr3r(env);
        for (int l=0; l<n; l++)
        {
            cTransf+=alpha*dist[k][l]*Y[i][k][l];
            constr3l+=(Y[i][k][l] - Y[i][l][k]);
            constr3r+=fluxo[i][l]*Z[l][k];
        }
        model.add(constr3l==O[i]*Z[i][k]-constr3r);
        constr3l.end();
        constr3r.end();
    }
    model.add(constr1 == 1);
    constr1.end();
}
model.add(IloMinimize(env, (((cColDist+cTransf)/divisor)+cFixo)));
IloCplex cplex(model);
cplex.solve();
```

Figura 4.7: Trecho de código em C++ - modelo matemático (CPLEX)

Como mencionado anteriormente, as soluções ótimas do CAB nunca tinham sido publicadas anteriormente. As melhores soluções apresentadas na literatura em trabalhos anteriores para o USAHLP foram derivadas da solução ótima do USApHMP, variando a quantidade p de *hubs*.

A formulação apresentada neste trabalho permitiu confirmar alguns desses resultados prévios reportados na literatura como ótimos, bem como verificar que outras soluções apresentadas como ótimas na literatura para alguns problemas, não estavam corretas. Adicionalmente, duas instâncias nas quais a solução ótima não era conhecida puderam ser obtidas. Estas soluções corrigidas, e novas soluções ótimas, estão destacadas na Tabela 4.1.

Tabela 4.1: Instâncias do CAB: soluções ótimas novas ou corrigidas

n	α	f_k	OptSol	Valor anterior	Referência
15	0,2	100	1030,07	nunca apresentado antes	Abdinnour-Helm (1998) Cunha e Silva (2007)
	0,6	150	1443,97	1456,66	
20	0,2	100	967,74	nunca apresentado antes	
25	1,0	100	1556,63	1559,19	Topcuoglu et al. (2005)

As soluções ótimas para os problemas do CAB obtidas com as formulações (4.1) a (4.6) são apresentados na Tabela 4.2. Para cada problema, n representa o número de nós e α o fator de desconto na ligação entre *hubs*; os valores ótimos da função objetivo estão listados na coluna com título “OptSol”, juntamente com o respectivo conjunto de *hubs* selecionados e tempos de processamento (em segundos) para alcançar a otimalidade.

Os resultados computacionais das três variantes da heurística multi-início para os dados do CAB com $n = 10, 15, 20$ e 25 nós são apresentados nas Tabelas 4.3 e Tabela 4.4. A notação utilizada nestas tabelas foi:

- BestSol - diferença percentual entre o valor da solução ótima e a melhor solução encontrada pela heurística;
- HubProb - somente para a heurística MSTs-1: probabilidade fixa p de um nó se tornar *hub*;
- CPUt - tempo total em segundos necessário para realizar todas as rodadas independentes (nesse caso, tempo total de CPU para 50 rodadas independentes, para cada problema resolvido);
- AvgSol - diferença percentual entre a média das soluções obtidas e a solução ótima;

- SRun - percentual de rodadas independentes no qual a solução ótima foi encontrada.

Os resultados mostraram que todas as três variantes da heurística MSTS obtiveram a solução ótima para todas as instâncias do CAB com tempos de processamento muito reduzidos. Foi possível também evidenciar que o MSTS-3 foi aproximadamente quatro vezes mais rápido que o MSTS-1 e aproximadamente duas vezes mais rápido que o MSTS-2.

As diferenças no tempo de processamento podem ser explicadas pelo número de *hubs* gerados em cada solução explorada; em outras palavras, quanto maior a quantidade de *hubs* selecionados em cada solução, maior é o tempo necessário para alocar os nós não-*hub* e para a busca tabu melhorar esta solução.

Esses tempos são também muito menores do que os tempos necessários para obtenção e prova da solução ótima utilizando o CPLEX, conforme mostrado na Tabela 4.2. A variante MSTS-3 de um modo geral apresentou um desempenho um pouco melhor em termos do número de vezes (isto é, rodadas independentes) em que as soluções ótimas foram alcançadas. Para algumas instâncias, no caso do MSTS-3, a diferença percentual da solução média obtida baseada em todas as soluções geradas e a solução ótima, denotada por “AvgSol” foi ligeiramente maior que o MSTS-2; entretanto, isto não necessariamente significa um desempenho inferior. Em vez disso, pode ser visto como o resultado de um procedimento de busca mais diversificado permitiu obter soluções de melhor qualidade em relação à variante MSTS-2.

Tabela 4.2: Soluções ótimas: conjunto de dados CAB

α	f_k	$n = 10$			$n = 15$			$n = 20$			$n = 25$		
		OptSol	Hubs	CPUt(s)	OptSol	Hubs	CPUt(s)	OptSol	Hubs	CPUt(s)	OptSol	Hubs	CPUt(s)
0,2	100	791,93	4,6,7	0,172	1030,07	3,4,7,12,14	0,265	967,74	4,7,12,14,17	0,407	1029,63	4,12,17,24	1,328
	150	915,99	7,9	0,016	1239,77	4,7,12,14	0,187	1174,53	4,12,17	0,703	1217,34	4,12,17	2,609
	200	1015,99	7,9	0,016	1381,28	4,12	0,140	1324,53	4,12,17	0,579	1367,34	4,12,17	2,047
	250	1115,99	7,9	0,032	1481,28	4,12	0,078	1474,53	4,12,17	1,266	1500,90	12,20	1,547
0,4	100	867,91	4,6,7	0,141	1179,71	4,7,12,14	0,547	1127,09	1,4,12,17	1,625	1187,51	1,4,12,17	5,578
	150	974,30	7,9	0,031	1355,09	4,7,12	0,532	1297,76	4,12,17	1,484	1351,69	4,12,18	5,000
	200	1074,30	7,9	0,046	1462,62	4,12	0,172	1442,56	4,17	2,031	1501,62	12,20	5,672
	250	1174,30	7,9	0,047	1556,66	4	0,109	1542,56	4,17	1,157	1601,62	12,20	3,140
0,6	100	932,62	7,9	0,172	1309,92	4,7,12	1,438	1269,15	1,4,12,17	4,985	1333,56	2,4,12	12,672
	150	1032,62	7,9	0,047	1443,97	4,12	1,094	1406,04	4,17	3,235	1483,56	2,4,12	9,015
	200	1131,05	4	0,032	1506,66	4	0,047	1506,04	4,17	3,063	1601,20	12,20	7,547
	250	1181,05	4	0,016	1556,66	4	0,047	1570,91	6	0,187	1701,20	12,20	5125
0,8	100	990,94	7,9	0,140	1390,76	4,11	1,157	1369,52	4,17	15,641	1458,83	2,4,12	33,359
	150	1081,05	4	0,047	1456,66	4	0,063	1469,52	4,17	4,688	1594,08	12,20	20,468
	200	1131,05	4	0,031	1506,66	4	0,047	1520,91	6	0,188	1690,57	5	11,531
	250	1181,05	4	0,016	1556,66	4	0,046	1570,91	6	0,125	1740,57	5	0,562
1,0	100	1031,05	4	0,156	1406,66	4	0,078	1410,07	4,20	5,328	1556,63	4,8,20	40,109
	150	1181,05	4	0,016	1456,66	4	0,062	1470,91	6	0,250	1640,57	5	13,688
	200	1131,05	4	0,016	1506,66	4	0,046	1520,91	6	0,141	1690,57	5	0,640
	250	1181,05	4	0,031	1556,66	4	0,047	1570,91	6	0,172	1740,57	5	0,406

Tabela 4.3: Heurísticas MSTs – conjunto de dados CAB ($n = 10, 15$)

CAB data set				MSTS-1					MSTS-2				MSTS-3			
n	α	f_k	OptSol	HubProb	BestSol	CPUt(s)	AvgSol	SRun	BestSol	CPUt(s)	AvgSol	SRun	BestSol	CPUt(s)	AvgSol	SRun
10	0,2	100	791,93	0,10	0,00	0,031	5,02	6,00	0,00	0,078	1,88	22,00	0,00	0,046	5,24	8,00
		150	915,99	0,10	0,00	0,015	7,88	12,00	0,00	0,077	2,81	18,00	0,00	0,046	3,33	22,00
		200	1015,99	0,10	0,00	0,015	6,44	12,00	0,00	0,078	3,69	18,00	0,00	0,015	3,13	22,00
		250	1115,99	0,10	0,00	0,015	4,08	12,00	0,00	0,078	3,16	18,00	0,00	0,031	2,73	22,00
10	0,4	100	867,91	0,10	0,00	0,046	3,71	6,00	0,00	0,078	1,86	22,00	0,00	0,031	3,09	6,00
		150	974,30	0,10	0,00	0,015	6,08	12,00	0,00	0,093	3,08	18,00	0,00	0,031	2,68	22,00
		200	1074,30	0,10	0,00	0,031	3,74	12,00	0,00	0,077	2,75	18,00	0,00	0,046	2,34	22,00
		250	1174,30	0,10	0,00	0,015	0,57	12,00	0,00	0,077	0,45	18,00	0,00	0,031	0,43	22,00
10	0,6	100	932,62	0,10	0,00	0,016	5,33	12,00	0,00	0,077	1,82	18,00	0,00	0,031	2,03	22,00
		150	1032,62	0,10	0,00	0,015	3,26	12,00	0,00	0,077	2,22	18,00	0,00	0,031	1,85	22,00
		200	1131,05	0,10	0,00	0,015	0,08	92,00	0,00	0,062	0,00	98,00	0,00	0,015	0,00	98,00
		250	1181,05	0,10	0,00	0,031	0,07	92,00	0,00	0,077	0,00	98,00	0,00	0,031	0,00	98,00
10	0,8	100	990,94	0,10	0,00	0,015	2,64	12,00	0,00	0,077	1,19	18,00	0,00	0,031	0,94	22,00
		150	1081,05	0,10	0,00	0,015	0,08	92,00	0,00	0,077	0,00	98,00	0,00	0,016	0,00	98,00
		200	1131,05	0,10	0,00	0,031	0,08	92,00	0,00	0,062	0,00	98,00	0,00	0,031	0,00	98,00
		250	1181,05	0,10	0,00	0,031	0,07	92,00	0,00	0,077	0,00	98,00	0,00	0,031	0,00	98,00
10	1,0	100	1031,05	0,10	0,00	0,015	0,09	92,00	0,00	0,077	0,00	98,00	0,00	0,031	0,00	98,00
		150	1081,05	0,10	0,00	0,031	0,08	92,00	0,00	0,077	0,00	98,00	0,00	0,031	0,00	98,00
		200	1131,05	0,10	0,00	0,015	0,08	92,00	0,00	0,062	0,00	98,00	0,00	0,031	0,00	98,00
		250	1181,05	0,10	0,00	0,015	0,07	92,00	0,00	0,077	0,00	98,00	0,00	0,015	0,00	98,00
15	0,2	100	1030,07	0,15	0,00	0,250	11,59	2,00	0,00	0,201	7,81	2,00	0,00	0,078	15,18	2,00
		150	1239,77	0,15	0,00	0,250	5,89	2,00	0,00	0,186	2,69	2,00	0,00	0,078	5,19	2,00
		200	1381,28	0,15	0,00	0,234	4,25	16,00	0,00	0,186	1,03	62,00	0,00	0,078	1,90	64,00
		250	1481,28	0,15	0,00	0,234	4,24	16,00	0,00	0,186	1,44	62,00	0,00	0,062	1,55	64,00
15	0,4	100	1179,71	0,15	0,00	0,234	7,16	2,00	0,00	0,201	4,64	2,00	0,00	0,078	7,53	2,00
		150	1355,09	0,15	0,00	0,234	3,74	4,00	0,00	0,186	1,08	16,00	0,00	0,062	1,98	2,00
		200	1462,62	0,15	0,00	0,234	3,15	16,00	0,00	0,186	1,03	62,00	0,00	0,062	0,97	64,00
		250	1556,66	0,15	0,00	0,234	1,48	62,00	0,00	0,201	0,00	98,00	0,00	0,078	0,00	98,00
15	0,6	100	1309,92	0,15	0,00	0,234	3,81	4,00	0,00	0,186	2,03	16,00	0,00	0,062	3,07	2,00
		150	1443,97	0,15	0,00	0,234	1,49	16,00	0,00	0,186	0,31	62,00	0,00	0,062	0,29	64,00
		200	1506,66	0,15	0,00	0,234	1,79	62,00	0,00	0,186	0,00	98,00	0,00	0,062	0,00	98,00
		250	1556,66	0,15	0,00	0,250	1,95	62,00	0,00	0,201	0,00	98,00	0,00	0,063	0,00	98,00
15	0,8	100	1390,76	0,15	0,00	0,235	1,68	12,00	0,00	0,186	0,83	24,00	0,00	0,078	0,71	34,00
		150	1456,66	0,15	0,00	0,234	1,86	62,00	0,00	0,186	0,00	98,00	0,00	0,062	0,00	98,00
		200	1506,66	0,15	0,00	0,234	2,08	62,00	0,00	0,186	0,00	98,00	0,00	0,063	0,00	98,00
		250	1556,66	0,15	0,00	0,234	2,06	62,00	0,00	0,186	0,00	98,00	0,00	0,078	0,00	98,00
15	1,0	100	1406,66	0,15	0,00	0,235	1,71	62,00	0,00	0,186	0,00	98,00	0,00	0,078	0,00	98,00
		150	1456,66	0,15	0,00	0,234	2,17	62,00	0,00	0,201	0,00	98,00	0,00	0,062	0,00	98,00
		200	1506,66	0,15	0,00	0,234	2,13	62,00	0,00	0,201	0,00	98,00	0,00	0,062	0,00	98,00
		250	1556,66	0,15	0,00	0,234	2,06	62,00	0,00	0,186	0,00	98,00	0,00	0,078	0,00	98,00
Média					0,00	0,129	2,89	41,45	0,00	0,133	1,20	59,45	0,00	0,050	1,65	59,35

Tabela 4.4: Heurísticas MSTs – conjunto de dados CAB ($n = 20, 25$)

CAB data set				MSTS-1					MSTS-2				MSTS-3			
n	α	f_k	OptSol	HubProb	BestSol	CPUt(s)	AvgSol	SRun	BestSol	CPUt(s)	AvgSol	SRun	BestSol	CPUt(s)	AvgSol	SRun
20	0,2	100	967,74	0,20	0,00	0,828	12,85	2,00	0,00	0,496	9,94	2,00	0,00	0,203	17,80	2,00
		150	1174,53	0,15	0,00	0,796	8,18	2,00	0,00	0,481	5,23	8,00	0,00	0,218	8,03	6,00
		200	1324,53	0,15	0,00	0,781	6,20	2,00	0,00	0,450	3,77	8,00	0,00	0,218	4,19	6,00
		250	1474,53	0,15	0,00	0,781	2,96	2,00	0,00	0,496	1,35	8,00	0,00	0,218	0,66	6,00
20	0,4	100	1127,09	0,20	0,00	0,828	7,71	2,00	0,00	0,449	5,37	6,00	0,00	0,187	8,61	2,00
		150	1297,76	0,15	0,00	0,781	5,61	2,00	0,00	0,480	3,06	8,00	0,00	0,218	3,55	6,00
		200	1442,56	0,15	0,00	0,781	3,14	8,00	0,00	0,434	1,13	66,00	0,00	0,187	0,75	72,00
		250	1542,56	0,15	0,00	0,796	2,20	8,00	0,00	0,542	0,76	66,00	0,00	0,187	0,39	72,00
20	0,6	100	1269,15	0,20	0,00	0,828	4,23	2,00	0,00	0,434	2,21	6,00	0,00	0,203	2,80	2,00
		150	1406,04	0,15	0,00	0,796	2,98	8,00	0,00	0,449	0,98	66,00	0,00	0,203	0,26	86,00
		200	1506,04	0,15	0,00	0,796	1,79	8,00	0,00	0,434	0,49	66,00	0,00	0,203	0,10	86,00
		250	1570,91	0,15	0,00	0,796	1,74	30,00	0,00	0,465	0,53	36,00	0,00	0,203	0,08	74,00
20	0,8	100	1369,52	0,15	0,00	0,796	2,10	8,00	0,00	0,434	0,64	66,00	0,00	0,218	0,14	86,00
		150	1469,52	0,15	0,00	0,796	1,13	8,00	0,00	0,573	0,20	66,00	0,00	0,203	0,02	86,00
		200	1520,91	0,15	0,00	0,796	1,92	30,00	0,00	0,496	0,58	36,00	0,00	0,234	0,08	74,00
		250	1570,91	0,15	0,00	0,796	2,38	30,00	0,00	0,418	0,62	36,00	0,00	0,218	0,08	74,00
20	1,0	100	1410,07	0,15	0,00	0,796	1,64	6,00	0,00	0,418	0,93	14,00	0,00	0,203	0,83	10,00
		150	1470,91	0,15	0,00	0,781	1,87	30,00	0,00	0,418	0,61	36,00	0,00	0,234	0,08	74,00
		200	1520,91	0,15	0,00	0,781	2,40	30,00	0,00	0,403	0,64	36,00	0,00	0,218	0,08	74,00
		250	1570,91	0,15	0,00	0,796	2,61	30,00	0,00	0,418	0,62	36,00	0,00	0,218	0,08	74,00
25	0,2	100	1029,63	0,20	0,00	2,140	10,11	2,00	0,00	0,791	8,83	4,00	0,00	0,375	20,18	2,00
		150	1217,34	0,15	0,00	2,110	7,35	2,00	0,00	0,775	5,37	20,00	0,00	0,406	13,41	4,00
		200	1367,34	0,15	0,00	2,125	7,16	2,00	0,00	0,899	4,26	20,00	0,00	0,406	10,07	4,00
		250	1500,90	0,15	0,00	2,109	6,66	2,00	0,00	0,868	3,53	4,00	0,00	0,375	7,17	2,00
25	0,4	100	1187,51	0,15	0,00	2,203	7,80	2,00	0,00	0,899	4,64	4,00	0,00	0,437	10,75	2,00
		150	1351,69	0,15	0,00	2,156	6,45	4,00	0,00	0,806	4,32	6,00	0,00	0,406	9,53	4,00
		200	1501,62	0,15	0,00	2,125	5,36	2,00	0,00	0,806	2,86	4,00	0,00	0,390	5,90	2,00
		250	1601,62	0,15	0,00	2,125	6,00	2,00	0,00	0,791	3,99	4,00	0,00	0,375	5,85	2,00
25	0,6	100	1333,56	0,15	0,00	2,250	6,08	2,00	0,00	0,837	3,64	2,00	0,00	0,406	8,85	2,00
		150	1483,56	0,15	0,00	2,234	5,16	2,00	0,00	0,837	2,74	2,00	0,00	0,421	5,62	2,00
		200	1601,20	0,15	0,00	2,187	4,46	2,00	0,00	0,791	3,05	4,00	0,00	0,375	4,02	2,00
		250	1701,20	0,15	0,00	2,344	3,64	2,00	0,00	0,791	2,75	4,00	0,00	0,390	2,87	2,00
25	0,8	100	1458,83	0,15	0,00	2,296	4,58	2,00	0,00	0,868	2,83	2,00	0,00	0,406	4,77	2,00
		150	1594,08	0,15	0,00	2,140	2,79	2,00	0,00	0,791	1,79	4,00	0,00	0,390	2,19	2,00
		200	1690,57	0,15	0,00	2,125	1,92	10,00	0,00	0,807	0,99	24,00	0,00	0,437	0,59	50,00
		250	1740,57	0,15	0,00	2,125	2,87	10,00	0,00	0,791	1,16	24,00	0,00	0,437	0,57	50,00
25	1,0	100	1556,63	0,15	0,00	2,140	2,22	4,00	0,00	0,853	1,64	2,00	0,00	0,406	1,79	2,00
		150	1640,57	0,15	0,00	2,203	2,20	10,00	0,00	0,791	1,12	24,00	0,00	0,484	0,61	50,00
		200	1690,57	0,15	0,00	2,109	3,15	10,00	0,00	0,791	1,19	24,00	0,00	0,406	0,59	50,00
		250	1740,57	0,15	0,00	2,109	3,84	10,00	0,00	0,806	1,16	24,00	0,00	0,391	0,57	50,00
Média					0,00	1,482	4,39	8,3	0,00	0,639	2,54	21,95	0,00	0,307	4,11	31,45

Nas Tabelas 4.5 e 4.6 são apresentados os resultados para a heurística HubTS; essas tabelas também permitem a comparação com a variante MSTS-3, que foi a que apresentou o melhor desempenho dentre as três variantes da heurística multi-início.

Analisando-se os resultados apresentados nas Tabelas 4.5 e 4.6, pôde-se verificar que a heurística HubTS também alcançou a solução ótima em todos os problemas resolvidos do conjunto de dados CAB, porém requerendo tempos de processamento inferiores ao se comparar com a heurística MSTS-3 (em média três vezes mais rápido).

Os resultados também evidenciaram que, conforme a quantidade de *hubs* obtidos cresce, a heurística HubTS não se comporta tão bem no que diz respeito ao tempo de processamento, quando o custo fixo ao se estabelecer um *hub* está no menor valor (100).

Isto pode ser explicado pelo fato de que, quanto maior o número de *hubs* na solução ótima correspondente, maior esforço computacional é necessário para o HubTS determinar o correto número de *hubs* p e para a busca tabu melhorar a alocação dos nós não-*hub* na presença de uma quantidade maior de *hubs* selecionados.

Foi ainda realizada a comparação das duas melhores heurísticas propostas neste trabalho, HubTS e MSTS-3, com a heurística SATLUHLP proposta por Chen (2007). De acordo com o autor, SATLUHLP (uma heurística híbrida baseada em *simulated annealing*, busca tabu e procedimentos de melhoria), supera as heurísticas previamente desenvolvidas apresentadas na literatura e fornece os melhores resultados conhecidos com menores tempos de processamento.

Dado que as heurísticas HubTS, MSTS-3 e SATLUHLP foram capazes de encontrar a solução ótima em todos os 80 problemas do conjunto CAB, a comparação foi centrada somente no que diz respeito ao desempenho computacional, medido em termos do tempo total de processamento.

Apesar de não garantir a mesma igualdade de condições, foram resolvidos todos os problemas do conjunto de dados CAB utilizando o HubTS e o MSTS-3 em um computador com a mesma configuração utilizada em Chen (2007), isto é, um PC Pentium-IV 1,6 Ghz. Os tempos apresentados para a heurística SATLUHLP foram obtidos diretamente do artigo do autor. A comparação pode ser vista na Tabela 4.7.

Os resultados claramente evidenciaram que ambas as heurísticas HubTS e MSTS-3 superaram o SATLUHLP em termos do tempo de processamento em todos os problemas, e que a heurística HubTS foi, em média, mais de seis vezes mais rápida que o SATLUHLP.

4.3.2 Resultados obtidos com o conjunto de dados AP

O conjunto de dados denominado AP (*Australian Post data set*) foi derivado de uma aplicação real de uma rede de entregas postais (ERNST; KRISHNAMOORTHY, 1996), possuindo 200 nós, que representam distritos postais contendo suas coordenadas, volumes de tráfego, bem como χ , α e δ . Os valores dos custos de coleta (nó de origem \rightarrow *hub*), transferência entre *hubs* (*hub* \leftrightarrow *hub*), e de distribuição (*hub* \rightarrow nó de destino) são constantes e dados por $\chi = 3$, $\alpha = 0,75$ e $\delta = 2$, respectivamente.

Em outras palavras, no AP o custo unitário de coleta (de um nó de origem para um *hub*) é maior que o custo de distribuição (dos *hubs* para os nós de destino), que por sua vez é maior que o custo de transferência entre *hubs*. Os volumes de tráfego não são simétricos (isto é, $W_{ij} \neq W_{ji}$), e adicionalmente encomendas postais podem possuir a sua origem e destino no mesmo distrito postal (isto é, $W_{ii} \neq 0$).

O conjunto AP também considera dois tipos de custos fixos nos *hubs*: *tight* e *loose*. De acordo com Ernst e Krishnamoorthy (1999), problemas *tight* são mais difíceis de serem resolvidos, dado que possuem maiores custos fixos em nós com grande fluxo, tornando assim mais difícil para esses nós com alto volume de tráfego serem escolhidos como *hubs*, ao contrário dos problemas *loose* que possuem custos fixos menores, possibilitando a localização de uma maior quantidade de *hubs*.

Tabela 4.5: Resultados para o HubTS – conjunto de dados CAB ($n = 10, 15$)

n	α	f_k	OptSol	HubTS		MSTS-3		n	α	f_k	OptSol	HubTS		MSTS-3	
				BestSol	CPUt(s)	BestSol	CPUt(s)					BestSol	CPUt(s)	BestSol	CPUt(s)
10	0,2	100	791,93	0,00	0,015	0,00	0,046	15	0,2	100	1030,07	0,00	0,109	0,00	0,078
		150	915,99	0,00	0,000	0,00	0,046			150	1239,77	0,00	0,062	0,00	0,078
		200	1015,99	0,00	0,000	0,00	0,015			200	1381,28	0,00	0,000	0,00	0,078
		250	1115,99	0,00	0,000	0,00	0,031			250	1481,28	0,00	0,015	0,00	0,062
10	0,4	100	867,91	0,00	0,000	0,00	0,031	15	0,4	100	1179,71	0,00	0,062	0,00	0,078
		150	974,30	0,00	0,000	0,00	0,031			150	1355,09	0,00	0,031	0,00	0,062
		200	1074,30	0,00	0,000	0,00	0,046			200	1462,62	0,00	0,015	0,00	0,062
		250	1174,30	0,00	0,000	0,00	0,031			250	1556,66	0,00	0,015	0,00	0,078
10	0,6	100	932,62	0,00	0,000	0,00	0,031	15	0,6	100	1309,92	0,00	0,031	0,00	0,062
		150	1032,62	0,00	0,000	0,00	0,031			150	1443,97	0,00	0,000	0,00	0,062
		200	1131,05	0,00	0,000	0,00	0,015			200	1506,66	0,00	0,000	0,00	0,062
		250	1181,05	0,00	0,000	0,00	0,031			250	1556,66	0,00	0,000	0,00	0,063
10	0,8	100	990,94	0,00	0,000	0,00	0,031	15	0,8	100	1390,76	0,00	0,015	0,00	0,078
		150	1081,05	0,00	0,000	0,00	0,016			150	1456,66	0,00	0,000	0,00	0,062
		200	1131,05	0,00	0,000	0,00	0,031			200	1506,66	0,00	0,000	0,00	0,063
		250	1181,05	0,00	0,000	0,00	0,031			250	1556,66	0,00	0,000	0,00	0,078
10	1,0	100	1031,05	0,00	0,000	0,00	0,031	15	1,0	100	1406,66	0,00	0,000	0,00	0,078
		150	1081,05	0,00	0,000	0,00	0,031			150	1456,66	0,00	0,000	0,00	0,062
		200	1131,05	0,00	0,000	0,00	0,031			200	1506,66	0,00	0,015	0,00	0,062
		250	1181,05	0,00	0,000	0,00	0,015			250	1556,66	0,00	0,000	0,00	0,078
Média				0,00	0,001	0,00	0,030	Média				0,00	0,019	0,00	0,069

Tabela 4.6: Resultados para o HubTS – conjunto de dados CAB ($n = 20, 25$)

n	α	f_k	OptSol	HubTS		MSTS-3		n	α	f_k	OptSol	HubTS		MSTS-3	
				BestSol	CPUt(s)	BestSol	CPUt(s)					BestSol	CPUt(s)	BestSol	CPUt(s)
20	0,2	100	967,74	0,00	0,266	0,00	0,203	25	0,2	100	1029,63	0,00	0,437	0,00	0,375
		150	1174,53	0,00	0,062	0,00	0,218			150	1217,34	0,00	0,203	0,00	0,406
		200	1324,53	0,00	0,078	0,00	0,218			200	1367,34	0,00	0,203	0,00	0,406
		250	1474,53	0,00	0,078	0,00	0,218			250	1500,90	0,00	0,062	0,00	0,375
20	0,4	100	1127,09	0,00	0,14	0,00	0,187	25	0,4	100	1187,51	0,00	0,546	0,00	0,437
		150	1297,76	0,00	0,078	0,00	0,218			150	1351,69	0,00	0,234	0,00	0,406
		200	1442,56	0,00	0,015	0,00	0,187			200	1501,62	0,00	0,078	0,00	0,390
		250	1542,56	0,00	0,031	0,00	0,187			250	1601,62	0,00	0,093	0,00	0,375
20	0,6	100	1269,15	0,00	0,172	0,00	0,203	25	0,6	100	1333,56	0,00	0,218	0,00	0,406
		150	1406,04	0,00	0,031	0,00	0,203			150	1483,56	0,00	0,25	0,00	0,421
		200	1506,04	0,00	0,046	0,00	0,203			200	1601,20	0,00	0,078	0,00	0,375
		250	1570,91	0,00	0,015	0,00	0,203			250	1701,20	0,00	0,093	0,00	0,390
20	0,8	100	1369,52	0,00	0,062	0,00	0,218	25	0,8	100	1458,83	0,00	0,265	0,00	0,406
		150	1469,52	0,00	0,062	0,00	0,203			150	1594,08	0,00	0,078	0,00	0,390
		200	1520,91	0,00	0,015	0,00	0,234			200	1690,57	0,00	0,031	0,00	0,437
		250	1570,91	0,00	0,015	0,00	0,218			250	1740,57	0,00	0,046	0,00	0,437
20	1,0	100	1410,07	0,00	0,078	0,00	0,203	25	1,0	100	1556,63	0,00	0,343	0,00	0,406
		150	1470,91	0,00	0,015	0,00	0,234			150	1640,57	0,00	0,031	0,00	0,484
		200	1520,91	0,00	0,015	0,00	0,218			200	1690,57	0,00	0,031	0,00	0,406
		250	1570,91	0,00	0,015	0,00	0,218			250	1740,57	0,00	0,031	0,00	0,391
Média				0,00	0,064	0,00	0,210	Média				0,00	0,168	0,00	0,406

Tabela 4.7: Comparação do desempenho das heurísticas HubTS, MSTS-3 e SATLUHLP (CHEN, 2007)

Tempos de processamento – conjunto de dados CAB

α	f_k	$n = 10$			$n = 15$			$n = 20$			$n = 25$		
		SATLUHLP*	HubTS	MSTS-3									
0,2	100	0,16	0,000	0,040	0,63	0,140	0,100	1,25	0,296	0,340	1,79	0,484	0,610
	150	0,11	0,000	0,040	0,46	0,109	0,100	0,61	0,078	0,330	1,10	0,218	0,550
	200	0,12	0,000	0,040	0,22	0,015	0,100	0,63	0,078	0,340	1,10	0,234	0,550
	250	0,11	0,000	0,040	0,23	0,016	0,100	0,62	0,093	0,330	0,70	0,078	0,550
0,4	100	0,16	0,015	0,040	0,46	0,093	0,100	0,94	0,140	0,320	1,90	0,609	0,550
	150	0,10	0,015	0,030	0,34	0,046	0,100	0,64	0,093	0,330	1,19	0,250	0,600
	200	0,11	0,000	0,040	0,22	0,015	0,100	0,35	0,031	0,310	0,76	0,093	0,550
	250	0,11	0,000	0,040	0,08	0,015	0,100	0,33	0,031	0,320	0,76	0,078	0,550
0,6	100	0,11	0,000	0,030	0,35	0,046	0,100	0,95	0,203	0,320	1,30	0,250	0,520
	150	0,11	0,000	0,040	0,22	0,015	0,100	0,36	0,046	0,310	1,28	0,281	0,530
	200	0,03	0,000	0,040	0,08	0,000	0,100	0,35	0,031	0,310	0,84	0,093	0,550
	250	0,03	0,000	0,040	0,07	0,000	0,100	0,09	0,015	0,310	0,84	0,109	0,550
0,8	100	0,12	0,000	0,040	0,23	0,015	0,100	0,38	0,047	0,320	1,44	0,296	0,530
	150	0,03	0,000	0,040	0,07	0,000	0,090	0,37	0,062	0,310	0,89	0,093	0,550
	200	0,03	0,015	0,030	0,07	0,000	0,090	0,09	0,015	0,320	0,43	0,031	0,550
	250	0,03	0,000	0,040	0,07	0,015	0,100	0,08	0,015	0,320	0,42	0,031	0,550
1,0	100	0,04	0,000	0,040	0,07	0,015	0,100	0,47	0,078	0,310	1,52	0,390	0,580
	150	0,04	0,000	0,040	0,06	0,015	0,100	0,13	0,015	0,320	0,24	0,016	0,550
	200	0,04	0,000	0,040	0,06	0,015	0,100	0,13	0,015	0,320	0,24	0,031	0,550
	250	0,04	0,000	0,040	0,06	0,000	0,100	0,13	0,015	0,320	0,24	0,031	0,550
	Média	0,08	0,002	0,040	0,20	0,029	0,100	0,44	0,070	0,320	0,95	0,185	0,550

(*) tempos obtidos diretamente em Chen (2007)

Nesta seção foram resolvidos problemas de tamanho $n = 10, 20, 25, 40, 50, 100$ e 200 nós, a partir dos dados obtidos diretamente de Andreas T. Ernst, um dos autores que introduziram pela primeira vez esse conjunto de dados na literatura (ERNST; KRISHNAMOORTHY, 1996), uma vez que não estão disponíveis na OR-Library (BEASLEY, 1990) os custos fixos para as instâncias maiores do AP com 100 e 200 nós.

As soluções ótimas para os problemas do conjunto AP foram obtidas utilizando-se também o CPLEX, sendo os problemas gerados com programa em C++ apresentado na Figura 4.7. As soluções ótimas para todas as instâncias do conjunto AP são apresentadas na Tabela 4.8. Como mencionado anteriormente, tais soluções ótimas nunca haviam sido publicadas anteriormente. As instâncias do AP com 200 nós continuam ainda sendo um desafio, dado que não foi possível encontrar a solução ótima para esses problemas devido ao limite de memória dos computadores de 32 *bits*. Para os problemas de 200 nós foi estimado ser necessário mais de 4 *gigabytes* de memória para a árvore de enumeração. Adicionalmente, após 24 horas consecutivas de processamento (CPU) e mais de 2 *gigabytes* de memória alocada, o gap entre a melhor solução inteira encontrada e a de relaxação linear dos nós da árvore *branch-and-bound*, estava ainda acima de 20%. Para todos os outros problemas do conjunto AP a solução ótima pôde ser obtida em um tempo de processamento considerado razoável, pois todos os tempos foram inferiores a 25 segundos, exceto para a instância de 100 nós com custo fixo *loose*, que necessitou em torno de cinco minutos para que a solução ótima fosse encontrada.

Tabela 4.8: Soluções ótimas para os problemas do conjunto de dados AP

n	Loose			Tight		
	OptSol	Hubs	CPUt(s)	OptSol	Hubs	CPUt(s)
10	224250,05	3,4,7	0,078	263399,94	4,5,10	0,125
20	234690,95	7,14	0,220	271128,18	7,19	0,250
25	236650,62	8,18	0,563	295667,84	13	0,251
40	240986,23	14,28	12,364	293164,83	19	1,002
50	237421,98	15,36	15,512	300420,98	24	22,771
100	238016,28	29,73	275,976	305097,96	52	23,139

Deve-se destacar que as maiores instâncias do AP, com custo fixo *tight*, apresentaram somente um *hub* na solução ótima final, dado que nós com maior tráfego, que seriam naturais candidatos a *hub*, possuem maior custo fixo, sendo assim inviável, do ponto de vista de custo, que estes fossem selecionados como *hubs*.

A Tabela 4.9 apresenta os resultados computacionais obtidos ao se resolver os problemas do conjunto de dados AP com custos fixos *loose* e *tight* utilizando as heurísticas propostas: MSTS (nas suas três variantes) e HubTS. A notação utilizada nestas tabelas seguiu o mesmo padrão que nos resultados apresentados na Seção 4.3.1 para os problemas do conjunto CAB.

Quando se comparam os resultados das três variantes da heurística MSTS, pode se verificar que todas estas heurísticas puderam obter a solução ótima para todos os 12 problemas do AP em que a solução ótima é conhecida (isto é, para $n \leq 100$).

De forma similar aos resultados obtidos para os problemas do conjunto CAB, a heurística MSTS-3 exibiu desempenho ligeiramente superior à MSTS-2, no que diz respeito à qualidade das soluções obtidas e aos menores tempos de processamento, notadamente para as instâncias de maior porte. Um exemplo é o caso do problema com 200 nós e custo fixo *loose*: a heurística MSTS-2 não conseguiu obter a melhor solução para esse problema.

Contudo, tanto a heurística MSTS-2 como a heurística MSTS-3 apresentam um desempenho superior quando comparadas com a heurística MSTS-1. Um ponto importante a se destacar é que as instâncias do conjunto AP com custos fixos *tight* tendem a ser mais difíceis de serem resolvidas, entretanto, isto não afetou o desempenho computacional: o tempo total necessário para resolver cada problema foi considerado pequeno para todas as três variantes da heurística MSTS.

A fim de se avaliar a qualidade das soluções obtidas pelas heurísticas MSTS para os problemas de 200 nós, em que as soluções ótimas não puderam ser determinadas utilizando o CPLEX, utilizou-se a formulação matemática já apresentada para se resolver o subproblema de alocação dos nós aos *hubs* localizados, admitindo que as

melhores soluções em termos da quantidade e localização dos *hubs*, determinadas pelas heurísticas MSTS, estão corretas. Em outras palavras, definidos os *hubs* como dado de entrada, utilizou-se a formulação matemática para determinar a alocação dos nós não-*hub*.

Com base nos resultados obtidos das alocações ótimas para os problemas de 200 nós, resolvidas utilizando o CPLEX, pôde-se comprovar que a busca tabu implementada nas três variantes MSTS obteve sucesso na determinação da alocação ótima dos nós não-*hub* para esses problemas. Para essas duas instâncias, MSTS-3 obteve melhores resultados tanto em termos da qualidade da solução final obtida como também em termos de tempos de processamento. Os melhores resultados obtidos com os problemas de 200 nós foram todos obtidos com a heurística MSTS-3.

A heurística HubTS, quando comparada com as três variantes MSTS, obteve os melhores resultados em termos da qualidade da solução final obtida, como pode ser visto na Tabela 4.9. Entretanto, os tempos de processamento foram ligeiramente maiores quando comparados, por exemplo, com os tempos obtidos com a heurística MSTS-3, notadamente para as instâncias com 200 nós.

O desempenho apresentado pela heurística HubTS é, de certa forma, esperado, pois uma etapa do método que consome grande parte do tempo de processamento é relativa a solução da parte locacional do problema, que define a quantidade e localização dos *hubs*. Assim, os tempos de processamento tendem a se deteriorar mais que nas outras heurísticas, particularmente MSTS-3 para o USAHLP, conforme o tamanho do problema, e a quantidade de *hubs* localizados, aumentam.

Foi possível também notar que as soluções ótimas e aproximadas obtidas para as instâncias do AP não puderam ser diretamente comparadas com os resultados publicados na literatura (TOPCUOGLU et al., 2005 e CHEN, 2007), dado que existem algumas diferenças em termos dos valores das melhores soluções reportadas nos trabalhos desses autores.

Essas diferenças podem ser devido a alguma divergência em termos dos dados de entrada; em particular, diferentes considerações em termos dos custos fixos utilizados para as maiores instâncias do AP, que não estão disponíveis na OR-Library, como mencionado anteriormente (os dados utilizados nesse trabalho foram obtidos diretamente com o Dr. Andreas T. Ernst). Essas diferenças estão detalhadas abaixo:

- Para o caso de $n = 200$ e custo fixo do tipo *loose*, Topcuoglu et al. (2005) reportaram um custo total de 228.944,77 com dois *hubs* localizados nos nós 53 e 184. Entretanto, se esses dois nós (53,184) fossem definidos como *hubs*, a alocação ótima determinada utilizando a formulação matemática já apresentada, resultaria em um custo total de 352.383,37, que é superior à solução aqui apresentada (223.803,00) selecionando os *hubs* nos nós 44 e 149.
- A mesma diferença ocorre para $n = 200$ e custo fixo *tight*. O melhor custo reportado por Topcuoglu et al. (2005) para esse problema foi 233.537,93 com dois *hubs* localizados nos nós 53 e 184. Entretanto, se esses dois nós (53, 184) fossem definidos como *hubs*, a alocação ótima resultaria em um custo de 356.976,52, muito maior que a solução obtida pelas heurísticas MSTs (272.237,78) com *hubs* localizados nos nós 55 e 123.

Finalmente, deve se relatar que os resultados aqui apresentados coincidem com alguns resultados reportados em Ernst e Krishnamoorthy (1999) para o CSAHLP (isto é, a versão capacitada do USAHLP) para problemas com folga de capacidade (*loose*), no qual as restrições de capacidade nos *hubs* são altas e possivelmente não alcançadas, confirmando assim a coerência dos resultados aqui apresentados, que possivelmente podem ser ótimos.

Tabela 4.9: Resultados das Heurísticas MTS e HubTS – conjunto de dados AP

AP data set			MTS-1				MTS-2				MTS-3				HubTS	
<i>n</i>	<i>f_k</i> -type	OptSol	BestSol	CPUt(s)	AvgSol	SRun	BestSol	CPUt(s)	AvgSol	SRun	BestSol	CPUt(s)	AvgSol	SRun	BestSol	CPUt(s)
10	<i>loose</i>	224250,05	0,00	0,016	8,09	2,00	0,00	0,015	5,12	2,00	0,00	0,016	7,88	4,00	0,00	0,015
20	<i>loose</i>	234690,95	0,00	0,422	7,14	2,00	0,00	0,109	5,52	10,00	0,00	0,062	9,87	6,00	0,00	0,046
25	<i>loose</i>	236650,62	0,00	1,234	7,52	2,00	0,00	0,203	6,65	4,00	0,00	0,125	9,31	8,00	0,00	0,125
40	<i>loose</i>	240986,23	0,00	0,125	12,21	2,00	0,00	0,812	5,71	6,00	0,00	0,375	8,75	4,00	0,00	0,781
50	<i>loose</i>	237421,98	0,00	0,422	13,45	2,00	0,00	1,688	8,73	2,00	0,00	0,703	11,16	2,00	0,00	1,891
100	<i>loose</i>	238016,28	0,00	13,219	10,91	2,00	0,00	11,906	9,06	2,00	0,00	4,484	7,95	2,00	0,00	28,515
200	<i>loose</i>	233803,02*	1,94	1147,515	13,92	0,00	3,39	743,328	11,78	0,00	0,00	678,469	10,27	2,00	0,00	310,875
	Média		0,28	166,136	10,46	1,71	0,48	108,294	7,51	3,71	0,00	97,747	9,31	4,00	0,00	48,893
10	<i>tight</i>	263399,94	0,00	0,031	3,02	4,00	0,00	0,015	4,42	2,00	0,00	0,015	4,31	2,00	0,00	0,015
20	<i>tight</i>	271128,18	0,00	0,422	3,57	6,00	0,00	0,109	4,21	2,00	0,00	0,062	4,85	2,00	0,00	0,062
25	<i>tight</i>	295667,84	0,00	1,156	3,99	40,00	0,00	0,218	2,97	60,00	0,00	0,094	3,32	58,00	0,00	0,031
40	<i>tight</i>	293164,83	0,00	0,140	3,59	54,00	0,00	0,812	4,78	44,00	0,00	0,344	4,95	44,00	0,00	0,188
50	<i>tight</i>	300420,98	0,00	0,438	3,63	44,00	0,00	1,578	4,14	36,00	0,00	0,719	4,84	40,00	0,00	0,469
100	<i>tight</i>	305097,96	0,00	12,281	20,99	20,00	0,00	11,781	23,71	14,00	0,00	5,187	24,23	12,00	0,00	7,141
200	<i>tight</i>	272237,78*	0,69	1112,360	31,67	0,00	0,00	742,203	26,41	2,00	0,00	693,922	20,13	2,00	0,00	536,688
	Média		0,10	160,975	10,07	24,00	0,00	108,102	10,09	22,85	0,00	100,049	9,52	22,86	0,00	77,799

*otimalidade não provada.

4.4 NOVAS INSTÂNCIAS COM CUSTOS FIXOS REDUZIDOS

Baseado na informação de que o número de *hubs* na solução ótima pode afetar a desempenho das heurísticas multi-início e busca tabu desenvolvidas, no que diz respeito ao tempo de processamento e qualidade das soluções obtidas, e também no fato de que o número de *hubs* na solução ótima para as instâncias do AP é pequeno (especialmente instâncias grandes com custos fixos *tight* para os quais a solução ótima compreende somente um *hub*), decidiu-se estender os experimentos computacionais para também considerar versões modificadas do AP, aplicando um fator de redução θ aos custos fixos ao se estabelecer *hubs*. Os valores utilizados para θ foram 0,9 e 0,8.

De forma análoga às instâncias originais do AP, foi possível encontrar a solução ótima para estas instâncias modificadas para problemas com até 100 nós, sendo que as soluções ótimas para esses problemas são apresentadas na Tabela 4.10. Os resultados mostram que o número de *hubs* aumentou para a maioria dos problemas. Pode se evidenciar também que, para algumas instâncias, especialmente quando $n = 100$ e custos fixos *loose*, os tempos de processamento aumentam significativamente, refletindo a grande dificuldade para resolver problemas com mais *hubs* na solução ótima respectiva.

Os resultados computacionais das três variantes da heurística MSTS e do HubTS para os novos dados do AP são apresentados na Tabela 4.11. Foram mantidos os mesmos parâmetros utilizados nas heurísticas MSTS e HubTS para solução dos problemas anteriores.

Analisando-se os resultados obtidos ao se resolver estas instâncias modificadas, utilizando as heurísticas MSTS e HubTS, pode se verificar uma leve superioridade do MSTS-3 frente às outras duas variantes da heurística MSTS, tanto no que diz respeito à qualidade final das soluções obtidas como também no menor tempo de processamento. Entretanto, a solução ótima não pode ser obtida para algumas instâncias. Para o MSTS-3 o desvio ficou abaixo de 2% e 3% para custos fixos *loose* e *tight* respectivamente.

Os resultados também mostraram que o HubTS foi capaz de encontrar a solução ótima, ou a melhor solução (no caso de 200 nós), para todas estas instâncias modificadas. Por outro lado, de forma análoga aos resultados prévios, os tempos de processamento do HubTS foram maiores do que a heurística MSTS-3, mas estas diferenças são maiores que as observadas nas instâncias originais do AP.

Novamente, isso pode ser explicado pelo fato de que quanto maior a quantidade de *hubs* na solução ótima, maior será o esforço computacional necessário para a heurística HubTS determinar o correto número de *hubs*, e em seguida para a busca tabu melhorar a alocação dos nós não-*hub* na presença de uma quantidade maior de *hubs* selecionados.

Tabela 4.10: Soluções ótimas – conjunto de dados AP com $\theta = 0,9$ e $\theta = 0,8$

n	θ	Loose			Tight		
		Opt, Sol	Hubs	CPUt(s)	Opt, Sol	Hubs	CPUt(s)
10	0,9	215425,88	3,4,7	0,062	253798,41	3,4,10	0,125
20	0,9	228785,69	7,14	0,390	263350,03	7,19	0,297
25	0,9	230539,77	8,18	0,922	288066,69	9,24	0,812
40	0,9	234013,75	11,22,28	10,469	289382,06	19	1,422
50	0,9	231658,98	15,36	17,954	295239,13	17,48	13,501
100	0,9	232712,97	29,73	390,111	301719,69	52	249,777
10	0,8	206555,04	1,4,5,7	0,110	242936,29	1,4,5,10	0,078
20	0,8	222085,76	6,11,14	0,313	255571,86	7,19	0,265
25	0,8	224428,91	8,18	1,000	279548,44	9,24	0,765
40	0,8	226032,08	11,22,28	6,703	285599,31	19	7,000
50	0,8	225895,98	15,36	27,141	281803,93	17,48	7,234
100	0,8	227409,66	29,73	890,090	29764626	5,52	88,345

Em contrapartida, o fato do MSTS-3 não conseguir obter, em algumas instâncias, a solução ótima para os problemas, pode também sugerir que o número de rodadas independentes deva ser aumentado para conseguir uma maior diversidade devido ao maior número de *hubs*, o que pode acarretar um maior tempo de processamento para execução.

Tabela 4.11: Heurísticas MSTs e HubTs – conjunto de dados $\theta = 0,9$ e $\theta = 0,8$

AP data set				MSTS-1				MSTS-2				MSTS-3				HubTS	
<i>n</i>	<i>f_k</i> -type	θ	OptSol	BestSol	CPUt(s)	AvgSol	SRun	BestSol	CPUt(s)	AvgSol	SRun	BestSol	CPUt(s)	AvgSol	SRun	BestSol	CPUt(s)
10	<i>loose</i>	0,9	215425,88	0,00	0,015	9,18	2,00	0,00	0,015	6,12	2,00	0,00	0,015	9,31	4,00	0,00	0,015
20	<i>loose</i>	0,9	228785,69	0,00	0,422	6,72	2,00	0,00	0,125	5,23	10,00	0,00	0,078	9,89	6,00	0,00	0,046
25	<i>loose</i>	0,9	230539,77	0,00	1,172	7,07	2,00	0,00	0,203	6,59	4,00	0,00	0,140	9,55	4,00	0,00	0,109
40	<i>loose</i>	0,9	234013,75	0,65	0,125	13,94	0,00	0,66	0,813	6,21	0,00	0,00	0,484	9,72	2,00	0,00	2,047
50	<i>loose</i>	0,9	231658,98	0,00	0,422	14,65	2,00	0,00	1,688	8,71	2,00	0,00	1,078	11,51	2,00	0,00	1,860
100	<i>loose</i>	0,9	232712,97	0,00	13,266	11,36	2,00	0,00	12,282	8,91	2,00	0,00	43,860	12,09	2,00	0,00	28,094
200*	<i>loose</i>	0,9	228753,70	1,85	1165,890	13,45	0,00	3,19	742,921	11,13	0,00	0,00	690,734	14,09	2,00	0,00	467,829
			Média	0,36	168,759	10,91	1,43	0,55	108,292	7,56	2,86	0,00	106,198	10,88	3,14	0,00	71,429
10	<i>loose</i>	0,8	206555,04	0,02	0,016	10,31	0,00	0,02	0,016	6,98	0,00	0,00	0,015	10,36	4,00	0,00	0,000
20	<i>loose</i>	0,8	222085,76	0,35	0,421	6,55	0,00	0,00	0,108	5,15	10,00	0,00	0,078	10,74	2,00	0,00	0,140
25	<i>loose</i>	0,8	224428,91	0,00	1,172	6,58	2,00	0,00	0,202	6,45	4,00	0,00	0,141	9,88	4,00	0,00	0,125
40	<i>loose</i>	0,8	226032,08	1,71	0,140	16,29	0,00	1,71	0,793	7,11	0,00	0,00	0,486	11,11	2,00	0,00	2,016
50	<i>loose</i>	0,8	225895,98	0,00	0,437	15,78	2,00	0,00	1,679	8,59	2,00	0,00	1,081	11,81	2,00	0,00	1,843
100	<i>loose</i>	0,8	227409,66	0,00	13,312	11,68	2,00	0,00	11,759	8,47	2,00	1,39	13,312	11,92	0,00	0,00	27,828
200*	<i>loose</i>	0,8	223704,44	1,75	1173,314	12,86	0,00	2,85	742,478	10,28	0,00	0,00	679,706	14,28	2,00	0,00	463,047
			Média	0,55	169,830	11,44	0,86	0,65	108,148	7,58	2,57	0,20	99,260	11,44	2,29	0,00	70,714
10	<i>tight</i>	0,9	253798,41	0,00	0,016	4,27	4,00	0,12	0,015	6,06	0,00	0,00	0,031	6,74	2,00	0,00	0,000
20	<i>tight</i>	0,9	263350,03	0,00	0,438	5,03	6,00	0,00	0,109	5,85	2,00	0,00	0,094	6,71	2,00	0,00	0,047
25	<i>tight</i>	0,9	288066,69	0,00	1,156	4,43	6,00	0,59	0,218	4,01	0,00	0,00	0,187	5,41	2,00	0,00	0,140
40	<i>tight</i>	0,9	289382,06	0,00	0,140	3,32	54,00	0,00	0,796	4,33	44,00	0,00	0,562	4,59	44,00	0,00	0,188
50	<i>tight</i>	0,9	295239,13	0,00	0,437	3,51	0,00	0,00	1,563	3,96	0,00	0,00	1,141	4,67	40,00	0,00	2,266
100	<i>tight</i>	0,9	301719,69	0,00	12,406	19,32	20,00	0,00	11,719	21,56	14,00	0,00	6,937	22,16	12,00	0,00	7,140
200*	<i>tight</i>	0,9	266275,22	0,84	1121,704	30,79	0,00	0,00	743,438	26,41	2,00	1,58	50,109	17,56	0,00	0,00	625,097
			Média	0,12	162,328	10,10	12,86	0,10	108,265	10,31	8,86	0,23	8,437	9,69	14,57	0,00	90,697
10	<i>tight</i>	0,8	242936,29	0,12	0,015	5,84	0,00	0,77	0,015	7,99	0,00	0,00	0,016	10,16	2,00	0,12	0,015
20	<i>tight</i>	0,8	255571,86	0,00	0,421	6,18	6,00	0,00	0,110	7,38	2,00	0,00	0,062	8,49	2,00	0,00	0,062
25	<i>tight</i>	0,8	279548,44	0,00	1,170	5,08	6,00	0,12	0,220	5,25	0,00	0,00	0,110	6,86	2,00	0,00	0,156
40	<i>tight</i>	0,8	285599,31	0,00	0,155	3,03	54,00	0,00	0,818	3,87	44,00	0,00	0,343	4,21	44,00	0,00	0,187
50	<i>tight</i>	0,8	281803,93	2,92	0,452	6,31	0,00	2,93	1,591	6,73	0,00	0,00	0,750	6,83	2,00	0,00	2,281
100	<i>tight</i>	0,8	297646,26	0,23	12,662	17,75	0,00	0,23	12,141	19,62	0,00	0,23	5,015	20,26	0,00	0,00	36,032
200*	<i>tight</i>	0,8	260312,67	1,01	1129,026	29,42	0,00	0,00	747,145	26,18	2,00	1,62	39,625	18,27	0,00	0,00	623,297
			Média	0,61	163,414	10,52	9,43	0,58	108,863	11	6,86	0,26	6,560	10,73	7,43	0,02	94,576

*otimalidade não provada.

4.5 NOVAS INSTÂNCIAS BASEADAS NO CONJUNTO AP

Como sugerido por alguns autores, (por exemplo, Ernst e Krishnamoorthy (1996, 1999) e Ebery et al. (2000)), o grande desafio da atualidade na solução do problema de configuração de redes *hub-and-spoke* é resolver, de forma eficiente, instâncias cada vez maiores que são comuns em situações práticas. Dessa forma, com base nos dados completos do conjunto AP com 200 nós, foram geradas quatro novas instâncias de grande porte correspondentes a 300 e 400 nós.

De forma análoga às instâncias do conjunto de dados AP, para cada tamanho de problema, dois tipos de custos fixos foram considerados: *loose* e *tight*, ambos compartilhando os mesmos dados geográficos (isto é, as localizações dos nós) e fluxos. As instâncias com custos fixos *loose* e *tight* com 400 nós foram geradas de acordo com o seguinte procedimento:

1. Duas constantes d_{min} e d_{max} foram definidas, com valores 500 e 2000 respectivamente. Esses valores foram escolhidos com base na distância média e máxima entre dois nós no problema AP original com 200 nós.
2. Para cada nó i da instância AP com os 200 nós cujas coordenadas são (X_i, Y_i) , foram gerados dois novos nós i' e i'' com as coordenadas $(X_{i'}, Y_{i'})$ e $(X_{i''}, Y_{i''})$, sendo as mesmas determinadas de acordo com as seguintes expressões:

$$X_{i'} = X_i + [d_{min} + r_i (d_{max} - d_{min})] \cos(\phi) \quad (4.10)$$

$$Y_{i'} = Y_i + [d_{min} + r_i (d_{max} - d_{min})] \sin(\phi) \quad (4.11)$$

$$X_{i''} = X_i + [d_{min} + r_i (d_{max} - d_{min})] \cos(\phi + \pi) \quad (4.12)$$

$$Y_{i''} = Y_i + [d_{min} + r_i (d_{max} - d_{min})] \sin(\phi + \pi) \quad (4.13)$$

onde r é um número aleatório no intervalo entre $[0, 1]$ e ϕ é um ângulo aleatório no intervalo $[0, \pi]$.

3. Para qualquer par de nós (i, j) dado no AP original, a quantidade correspondente de fluxo W_{ij} foi igualmente distribuída entre os quatro novos nós gerados, isto é: $W_{i'j'} = W_{i'j''} = W_{i''j'} = W_{i''j''} = 0.25W_{ij}$.
4. O custo fixo para os novos nós i' e i'' são diferentes e dados por:

$$f_{i'} = (1 - r_i) f_i \quad (4.14)$$

$$f_{i''} = (1 - \bar{r}_i) f_i \quad (4.15)$$

onde r_i e \bar{r}_i são dois números aleatórios dentro do intervalo $[0; 0, 3]$.

Dessa forma, para cada nó i da instância AP de 200 nós, os dois nós i' e i'' estão simetricamente localizados e a mesma distância no que diz respeito à i . É interessante também notar que estas novas instâncias são intrinsecamente mais difíceis de serem resolvidas, dado que os custos fixos ao se estabelecer *hubs* são proporcionalmente baixos, levando assim não somente a uma maior quantidade de *hubs* na solução ótima, mas também para combinações mais promissoras em termos da seleção de *hubs*, levando a soluções de alta qualidade a serem exploradas.

Foi utilizado um programa escrito em C, disponível eletronicamente na OR-Library (BEASLEY, 1990), para gerar as duas instâncias de 300 nós a partir das instâncias de 400 nós. Esse programa foi criado e utilizado por Ernst e Krishnamoorthy (1996) para gerar instâncias menores a partir do conjunto de dados AP completo com 200 nós, e consistiu em combinar nós e fluxos, com o objetivo de se assegurar que as novas instâncias geradas sejam uma aproximação razoável do problema original.

Na Tabela 4.12 são apresentados os resultados obtidos com as heurísticas MSTS-3 e HubTS para as novas instâncias de grande porte geradas. Decidiu-se não avaliar as heurísticas MSTS-1 e MSTS-2, dado que MSTS-3 conseguiu alcançar melhores resultados em todos os experimentos conduzidos.

As colunas “Referência” e “# hubs” da Tabela 4.12 denotam, respectivamente, a melhor solução obtida resolvendo-se os problemas com o HubTS e o número de

hubs encontrados na melhor solução obtida por cada heurística. Para os problemas com 300 e 400 nós, a heurística HubTS conseguiu alcançar melhores resultados, ambos em termos da qualidade da solução final obtida, como também no menor tempo de processamento.

Tabela 4.12: Resultados para o conjunto de dados AP com 300 e 400 nós

n	Tipo	fk	Referência	HubTS			MSTS-3		
				# <i>hubs</i>	CPUt(s)	Gap (%)	# <i>hubs</i>	CPUt(s)	Gap (%)
300	<i>loose</i>		264.837,88	4	4.605,078	0,00	3	6.221,969	2,79
400	<i>loose</i>		268.164,13	4	8.447,437	0,00	2	15.116,031	3,84
300	<i>tight</i>		276.047,75	3	3.483,375	0,00	2	6.266,391	5,67
400	<i>tight</i>		284.212,47	3	9.530,828	0,00	2	15.225,438	3,08

4.6 CONCLUSÕES DO CAPÍTULO

O modelo matemático proposto se mostrou eficiente na obtenção da solução ótima dos 92 problemas resolvidos, sendo 80 problemas do conjunto de dados CAB e 12 problemas do conjunto de dados AP, para redes com até 100 nós, em um razoável tempo de processamento.

Para os problemas com 100 nós do AP, o tempo de processamento necessário para se obter a solução ótima utilizando o CPLEX variou de aproximadamente 5 minutos até 15 minutos, tempo esse que se mostrou diretamente relacionado à quantidade de *hubs* localizados. De acordo com os trabalhos já apresentados na literatura, que estudaram especificamente o USAHLP, esta pesquisa foi o primeiro esforço de sucesso para a obtenção de soluções exatas para o USAHLP.

As heurísticas desenvolvidas apresentaram um bom desempenho, podendo obter a solução ótima em todos os 80 problemas do conjunto de dados CAB, e nos 12 problemas do conjunto de dados AP, em um tempo de processamento muito pequeno. Um exemplo é o problema de 100 nós e custo fixo *loose* do AP que pôde ser resolvido pela heurística MSTS-3 em menos de 5 segundos.

Tanto a heurística MSTS (nas suas três variantes), como também a heurística HubTS, se mostraram muito eficientes para solução dos problemas, sendo

heurísticas simples e fáceis de serem implementadas, e ainda robustas no que diz respeito à qualidade das soluções obtidas em todos os problemas testados, não necessitando de calibrações específicas de parâmetros para obtenção de soluções de qualidade.

A heurística HubTS, de um modo geral, obteve as melhores soluções para os problemas utilizando um tempo de processamento menor. Esse melhor desempenho ficou significativamente evidenciado nos quatro problemas de grande porte gerados, com 300 e 400 nós, obtendo soluções 3 a 6% melhores que a heurística MSTS-3, necessitando tempos de processamento 35 a 80% menores.

À partir dos resultados apresentados, conclui-se que as heurísticas aqui descritas para solução do USAHLP constituem o estado-da-arte no que diz respeito à obtenção de soluções ótimas ou aproximadas para o problema.

5 CARREGAMENTO DE CARGAS PARCELADAS EM UMA REDE DE TRANSPORTE

Este capítulo trata do problema de carregamento de cargas parceladas em uma rede transporte do tipo *hub-and-spoke*. É proposta uma formulação matemática e, tendo em vista a dificuldade para sua solução, é proposta também uma heurística baseada em busca tabu para se resolver problemas de tamanho como o encontrado na prática.

O capítulo anterior tratou da decisão em nível de planejamento estratégico relacionada à configuração de redes do tipo *hub-and-spoke*. Mais especificamente, busca-se determinar o número e a localização dos terminais concentradores de carga (*hubs*) e a alocação dos demais terminais aos *hubs*.

Conforme visto anteriormente no Capítulo 2, um despacho é composto por um único documento fiscal conhecido por Conhecimento de Transporte Rodoviário de Cargas (CTRC), e corresponde a um embarque único contendo uma origem, um destino e dimensões (peso e volume) definidos, um único cliente remetente e um único cliente destinatário. Da mesma forma, uma carga corresponde ao agrupamento de todos os despachos que possuem o mesmo terminal de origem e destino, enquanto que uma rota representa uma ligação entre dois terminais para o transporte de cargas, sendo operada por um ou mais veículos, não necessariamente do mesmo tamanho no que diz respeito à capacidade em peso e volume transportado.

No projeto de redes *hub-and-spoke*, especificamente para o USAHLP aqui tratado, como solução do problema, tem-se uma rede em que não são permitidas rotas diretas entre terminais não-*hub*, sem paradas intermediárias para consolidação. E ainda, dada a alocação única dos terminais não-*hub* aos *hubs* localizados, o roteamento da carga se torna trivial, pois todo o tráfego recebido e enviado é sempre direcionado ao *hub* alocado.

Entretanto, não é o que ocorre na prática, pois na operação diária de empresas de transporte rodoviário de carga parcelada, carregamentos diretos são não só

realizados, como também incentivados devido ao menor custo para operação. Em algumas situações são realizadas modificações no padrão apresentado acima para o fluxo da carga, visando também reduzir o trabalho de manuseio nos *hubs* intermediários, além de melhorar o nível de serviço.

Conforme visto no Capítulo 2, a forma como as cargas são despachadas para os seus destinos nem sempre seguem o fluxos de uma estrutura / configuração do tipo *hub-and-spoke*. Isso não significa que a modelagem do problema estratégico de configuração da rede do tipo *hub-and-spoke* seja inadequada para representar corretamente o problema encontrado em transportadoras de carga parcelada, mas sim que no dia-a-dia podem ocorrer situações que levam a decisões que não podem ser representadas no nível estratégico. Uma das mais relevantes é a variação na demanda de carga entre terminais; a outra é a consideração da capacidade dos veículos que realizam o transporte entre terminais.

Às vezes, se toda a carga originada em um terminal for enviada ao *hub* ao qual está alocado e daí para os demais *hubs*, isso pode acarretar ociosidade dos veículos, ou ainda pode comprometer, dependendo do caso, o prazo de entrega, pois, cada parada intermediária em um terminal de consolidação adiciona em média um dia no prazo total para a carga chegar ao seu terminal de destino, que será responsável pela entrega final. Assim, em algumas situações é melhor despachar parte das cargas diretamente para os destinos ao invés de passar por dois *hubs*, caso exista carga suficiente para ocupar razoavelmente um veículo direto para algum terminal de destino, ou então com somente uma parada intermediária em um único *hub*.

Na Figura 5.1 são apresentadas quatro alternativas possíveis de rotas para um fluxo originado no terminal i com destino o terminal j , e que os terminais i e j estejam alocados respectivamente aos *hubs* K e L. Existem, portanto quatro alternativas básicas de percurso para que estas cargas cheguem ao seu destino:

1. Carregamento direto de i para j . O carregamento direto de i para j somente é justificado se existir quantidade de carga suficiente para ocupar razoavelmente a capacidade de um veículo;
2. Carregamento via *hub* de origem K, onde o terminal i está alocado. No carregamento de i para o *hub* K, além das cargas destinadas ao terminal j ,

podem ser enviadas também cargas para outros terminais ligados ao *hub* K, ou outro hub da rede, dado que em uma rede hub-and-spoke, todos os hubs estão interconectados;

3. Carregamento via *hub* de destino L, onde o terminal *j* está alocado. No carregamento de *i* para o *hub* L, além das cargas destinadas ao terminal *j*, da mesma forma que na situação anterior, podem ser enviadas cargas para todos os terminais alocados ao *hub* L, ou para outros *hubs* da rede;
4. A última alternativa seria o envio das cargas de *i* para *j* estritamente via *hubs*, sendo então enviadas do terminal *i* para o *hub* K, do *hub* K para o *hub* L, e do *hub* L para o terminal de destino *j*.

Todas as quatro alternativas de rotas apresentadas são diretamente dependentes da quantidade total de cargas entre os terminais *i* e *j*, e também das cargas originadas no terminal *i* para os outros terminais / hubs da rede de transporte.

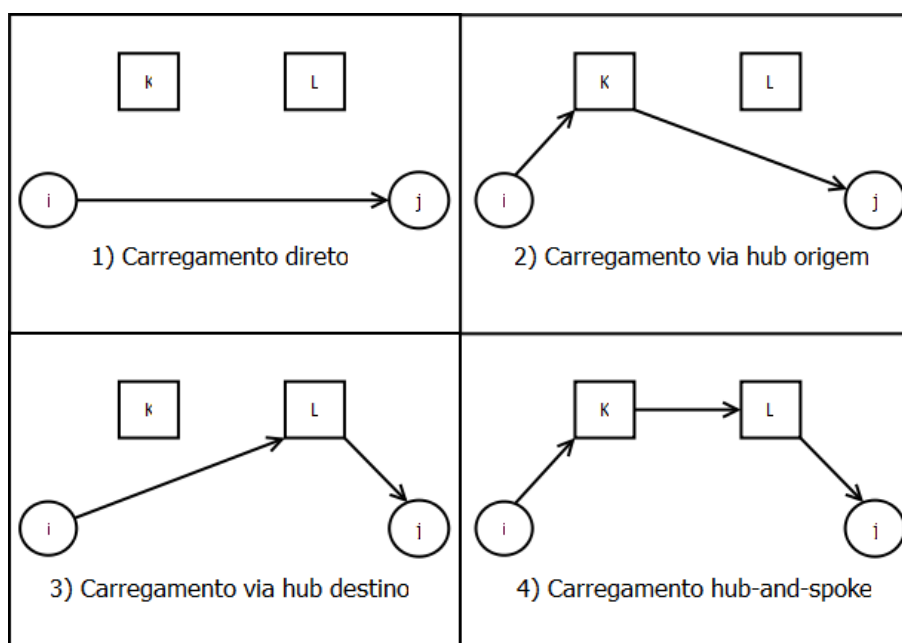


Figura 5.1: Possíveis rotas entre os terminais *i* e *j* alocados aos *hubs* K e L

Uma última alternativa de rota consideraria uma parada intermediária em um *hub* diferente dos *hubs* ao quais os terminais *i* e *j* estão alocados. Esse tipo de rota é mais raro de se ocorrer, mas deve ser prevista na modelagem. Um exemplo desse tipo de rota pode ser visto na Figura 5.2 em que a carga de *i* para *j* é enviada para o

seu *hub* de origem K, e em seguida para o *hub* intermediário 'M' para aí sim alcançar o terminal de destino *j*.

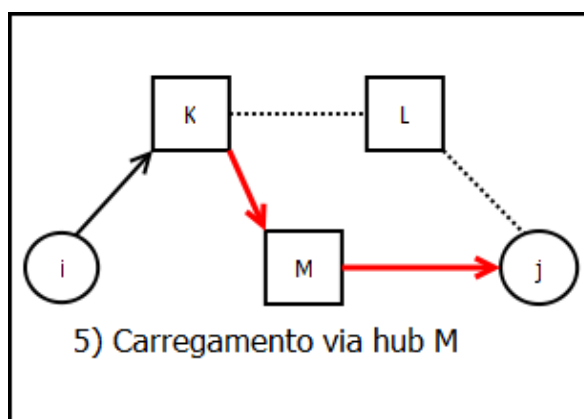


Figura 5.2: Alternativa de rota entre os terminais *i* e *j* utilizando um *hub* 'M'

Empresas transportadoras de carga parcelada utilizam basicamente dois tipos de veículos para o transporte de cargas entre terminais, que são:

3. *Truck*: veículo com até 12.000 kg de capacidade líquida de carga em peso, e 40 a 50 m³ de capacidade em volume, com uma carroceria do tipo baú.
4. *Carreta*: veículo composto por um cavalo trator e um semi-reboque, também com carroceria do tipo baú, tendo o conjunto a capacidade líquida de carga, em peso, de 25.000 kg, e em volume de 90 a 110 m³.

Nesta pesquisa, para efeito de estudo, foram considerados esses dois tipos de veículo, sendo que muitas vezes, em situações práticas, as ligações entre *hubs* são realizadas utilizando principalmente carretas, e nas ligações entre *hubs* e terminais, em alguns casos, são utilizados também veículos menores, do tipo truck.

Busca-se propor um método para solução do problema da definição de uma programação de carregamento entre terminais no transporte de carga parcelada, que pode ser sintetizado como: dada uma rede *hub-and-spoke* criada, definir as rotas a serem operadas, e o dimensionamento da quantidade e tipo de veículos necessários em cada rota, para que todas as cargas sejam transportadas até o seu

terminal de destino a um menor custo possível, valendo-se da possibilidade de consolidação de cargas nos *hubs*.

Esse problema é comumente tratado em nível de decisão tático, e está centrado especificamente na definição do fluxo (percurso ou caminho) que cada carga deve percorrer até chegar ao seu destino, tendo como dado de entrada uma rede de transporte do tipo *hub-and-spoke* com as possíveis ligações entre terminais já pré-definidas. Dado um conjunto de cargas a serem transportadas, deseja-se, portanto decidir como essas cargas serão movimentadas nessa rede, estabelecendo as rotas a serem operadas, incluindo as possíveis paradas intermediárias, e também na definição da quantidade e tipo de veículo utilizado em cada rota.

Esse problema possui grande importância prática, pois o objetivo consiste em definir diferentes formas de consolidação e as rotas a serem operadas, tentando acompanhar a variação na demanda por transporte de carga parcelada, sendo essa variação comum no Brasil, em certas semanas do mês, e em certos meses do ano.

Conforme visto na revisão bibliográfica, o problema de carregamento de cargas em uma rede de uma transportadora, conhecido na literatura específica como *network loading problem* (NLP), é um problema *NP-hard* (MAGNANTI; MIRCHANDANI; VACHANI, 1995), portanto não existem métodos exatos eficientes para solução de problemas de tamanho prático.

O restante desse capítulo está organizado da seguinte forma: na Seção 5.1 é apresentado o modelo matemático proposto para representar o problema de carregamento de carga parcelada em uma rede de transporte.

Dada a dificuldade, evidenciada nos experimentos computacionais, para se obter a solução ótima do modelo matemático formulado para o problema através do pacote de otimização CPLEX, é proposta uma estratégia de solução baseada em busca tabu, que é descrita na Seção 5.2.

A fim de facilitar o entendimento do problema, e também do modelo matemático e da heurística de solução baseada em busca tabu, é apresentado na Seção 5.3 um

problema exemplo de pequeno porte contendo 16 terminais, 14 cargas, 89 rotas alternativas e dois tipos de veículos (truck e carreta).

Na Seção 5.4 são apresentados os experimentos computacionais utilizando dados reais de uma empresa transportadora de carga parcelada pelo modal rodoviário no Brasil. Finalmente, na Seção 5.5 são apresentadas as conclusões deste capítulo.

5.1 MODELO MATEMÁTICO

O modelo matemático proposto para representar o problema de carregamento de carga parcelada em uma rede de transporte foi inspirado no problema conhecido na literatura como o *network loading problem* (NLP).

O NLP modela situações em que o custo variável unitário (\$/t) associado à quantidade de carga a ser transportada é igual a zero, e veículos com capacidade fixa, e custos que independem da sua ocupação, estão disponíveis para o transporte de cargas. Esses veículos podem ser alocados a rotas de um conjunto pré-definido de rotas candidatas que ligam os terminais, sendo que mais de um veículo, não necessariamente do mesmo tipo, pode ser alocado a uma rota. Conforme visto no capítulo 2, esse problema corresponde a uma variante do problema do projeto de redes capacitado com múltiplas *commodities*

Mais especificamente, esse problema consiste na definição dos arcos ou ligações a serem utilizados, dentre um conjunto de ligações possíveis entre nós ou terminais de uma rede, de tal forma a atender toda a demanda de transporte, de cada origem para cada destino, ao menor custo possível. O custo nos arcos corresponde a um valor fixo proporcional ao número de veículos utilizados, caso o mesmo seja selecionado.

O modelo matemático aqui proposto utilizou os conceitos apresentados na revisão bibliográfica para o problema “não bifurcado” do *network loading problem* (NLP), estudado pela primeira vez por Barahona (1996), e consiste em restringir que cada carga deva percorrer um único caminho até chegar ao seu destino, não permitindo o seu particionamento (ou fracionamento) entre dois caminhos que ligam dois nós.

Essa consideração é muito relevante em termos práticos, em razão da forma como operam as transportadoras de carga parcelada, pois é fundamental que o gerente operacional local de cada terminal de origem tenha rotas pré-definidas como uma regra única a ser seguida no que diz respeito à forma com que as cargas devam ser carregadas, especialmente com relação às possíveis paradas em terminais intermediários, até chegarem aos seus destinos. Em outras palavras, é indesejável que uma carga, de um dado terminal de origem para um terminal de destino, seja fracionada em veículos que seguem rotas distintas, com tempos de viagem diferentes, dificultando o rastreamento das encomendas dos clientes que compõem a carga.

Para a modelagem do problema, define-se N como o conjunto de terminais (nós) da rede em estudo, K o conjunto de cargas a serem transportadas, T o conjunto de tipos de veículos disponíveis (em geral dois tipos), e ainda A o conjunto de arcos candidatos para a seleção das rotas da rede aos quais serão alocados veículos. Como explicado anteriormente, esses arcos são pré-definidos, e podem ser de um dos cinco tipos apresentados anteriormente com base no percurso que uma carga pode percorrer para chegar ao seu destino (carregamento direto, carregamento via hub de origem, carregamento via hub de destino, carregamento passando por dois hubs e carregamento via outro hub intermediário), tendo em vista a configuração resultante de uma rede do tipo *hub-and-spoke*.

Deve-se salientar que a definição das alternativas de percurso das cargas, que determinam os arcos candidatos que compõem o conjunto A , é decisão da empresa, com base na sua experiência e em restrições, condicionantes e regras de negócio que não podem ser modeladas.

Em geral consideram-se, por exemplo, arcos correspondentes a ligações diretas para os pares de terminais cujas demandas de carga superem a capacidade de um veículo carreta; no entanto, como essas demandas quase nunca permitem ocupar totalmente, na prática, um número de veículos inteiros (por exemplo, a demanda direta entre dois terminais lota 1,3 carretas), é necessário considerar também ligações entre esses dois terminais via *hub* de origem, via *hub* de destino e, entre os

dois *hubs*. Essa é a lógica que os gerentes operacionais utilizam na definição das alternativas de envio das cargas.

Definem-se ainda os seguintes parâmetros de entrada para o problema:

- R^k : peso da carga k , $k \in K$, a ser transportada;
- $O(k)$: origem da carga k , $k \in K$;
- $D(k)$: destino da carga k , $k \in K$;
- a_{ij}^t : custo de cada veículo do tipo t , $t \in T$ alocado ao arco $(i, j) \in A$. Esse custo é fixo para um determinado veículo, independente da quantidade de carga carregada no mesmo.
- \mathcal{K}^t : capacidade do veículo do tipo t , $t \in T$;

As variáveis de decisão para o problema são:

- x_{ij}^t : variáveis de fluxo nos arcos, do tipo inteira não negativa, indicando o número de veículos do tipo t , $t \in T$, alocados ao arco $(i, j) \in A$;
- f_{ij}^{kt} : variável binária que recebe o valor 1 se a carga k , $k \in K$, é transportada por um veículo do tipo t , $t \in T$, no arco $(i, j) \in A$ e zero caso contrário

O modelo matemático proposto para representar o problema de carregamento de carga parcelada em uma rede de transporte pode ser formulado como segue:

$$\text{Min} \sum_{t \in T} \sum_{(i,j) \in A} a_{ij}^t x_{ij}^t, \quad (5.1)$$

sujeito às restrições:

$$\sum_{t \in T} \left(\sum_{\{j \in N: (i,j) \in A\}} f_{ij}^{kt} - \sum_{\{l \in N: (l,i) \in A\}} f_{li}^{kt} \right) = \begin{cases} 1, & \text{se } i = O(k) \\ -1, & \text{se } i = D(k) \\ 0, & \text{caso contrario} \end{cases} \quad i \in N, k \in K, \quad (5.2)$$

$$\sum_{k \in K} R^k f_{ij}^{kt} \leq \mathcal{K}^t x_{ij}^t \quad \forall (i, j) \in A, t \in T, \quad (5.3)$$

$$x_{ij}^t \geq 0, \text{ inteiro}, \quad \forall (i, j) \in A, t \in T, \quad (5.4)$$

$$f_{ij}^{kt} \in \{0, 1\}, \quad \forall (i, j) \in A, k \in K, t \in T. \quad (5.5)$$

A função objetivo (5.1) visa minimizar o custo resultante das decisões de criação de rotas e da definição da quantidade de veículos alocados em cada rota. As restrições de conservação de fluxo para cada uma das cargas em cada terminal são representadas pelas restrições (5.2). Já as restrições (5.3) asseguram que a quantidade total de cargas alocadas a um dado tipo de veículo, em um determinado percurso, não deve exceder a capacidade disponível.

Embora não necessárias para a viabilidade do problema, verificou-se que, se forem adicionadas à formulação matemática as restrições (5.6) e (5.7), elas tornam a formulação mais robusta, melhorando a qualidade da relaxação linear, e acarretando um menor número de iterações do *branch-and-bound* para se atingir a solução ótima, conforme evidenciado em experimentos computacionais com o CPLEX em problemas de pequeno porte, que podem ser resolvidos até a sua otimalidade.

$$\sum_{t \in T} f_{ij}^{kt} \leq \sum_{t \in T} x_{ij}^t, \quad \forall (i, j) \in A, k \in K, \quad (5.6)$$

$$R^k f_{ij}^{kt} \leq \mathcal{K}^t, \quad \forall (i, j) \in A, k \in K, t \in T, \quad (5.7)$$

$$\sum_{t \in T} f_{ij}^{kt} \leq 1, \quad \forall (i, j) \in A, k \in K. \quad (5.8)$$

As restrições (5.6) são similares às utilizadas por Barahona (1996) para o problema “não bifurcado”, com somente um tipo de veículo. Já as restrições (5.7) visam garantir que nenhuma carga individual exceda a capacidade de um veículo disponível (de qualquer tipo), ou seja, a maior carga deve possuir um peso menor que a capacidade do menor veículo disponível para transporte (menor capacidade em peso); dessa forma, restringe-se que veículos de menor capacidade sejam

alocados a arcos cuja somatória de fluxo supere a sua capacidade. As restrições (5.8) ajudam a limitar a variável, já declarada como binária em (5.5), a designar uma carga a somente um tipo de veículo em um dado percurso.

Como apresentado na Seção 3.2 da revisão bibliográfica, o NLP é um problema fortemente *NP-hard* e há pouca esperança de desenvolvimento de algoritmos teoricamente eficientes para sua solução (MAGNANTI; MIRCHANDANI; VACHANI, 1995). A versão não bifurcada adiciona ainda mais complexidade ao problema, pois impõe que as variáveis de fluxos no modelo matemático sejam declaradas como binárias. O NLP que permite bifurcação nos fluxos possui somente $|A|$ variáveis inteiras, enquanto que o problema não bifurcado possui, além da mesma quantidade de variáveis inteiras, $|A| \times |K| \times |T|$ variáveis binárias.

Experimentos computacionais realizados, utilizando o CPLEX versão 9.1, indicaram que esta formulação é capaz de resolver apenas problemas de pequeno porte, com número muito reduzido de terminais, arcos e cargas, significativamente inferiores às instâncias de problemas encontrados na prática das transportadoras de carga fracionada, o que exige a proposição de uma estratégia de solução heurística, conforme apresentado a seguir.

5.2 ESTRATÉGIA DE SOLUÇÃO BASEADA EM BUSCA TABU

Dada a complexidade para resolução do problema de carregamento de carga parcelada em uma rede de transporte, é proposto neste trabalho um método de solução baseado na metaheurística busca tabu. Conforme visto no capítulo anterior, a busca tabu é um procedimento de busca local que utiliza estruturas de memória para guiar os movimentos de uma solução viável para outra, com o objetivo de se explorar regiões do espaço de busca que poderiam não ser explorados, tentando escapar do ótimo local. Os princípios fundamentais da busca tabu são apresentados em detalhes em Glover (1986, 1989).

A descrição básica da heurística desenvolvida para se resolver o problema de carregamento de carga parcelada em uma rede de transporte pode ser visualizada

na Figura 5.6. Os principais componentes envolvidos na estratégia baseada em busca tabu aqui proposta são:

1. procedimento para geração de solução inicial;
2. função para cálculo da quantidade e tipo de veículos utilizados em cada rota;
3. função para cálculo do custo da solução;
4. a busca tabu propriamente dita.

Cada um deles é detalhado a seguir.

5.2.1 Geração da solução inicial

Para a geração da solução inicial do problema, é necessário propor um método para selecionar os arcos a serem utilizados e, concomitantemente, determinar o número de veículos de cada tipo que será alocado ao arco.

Para tanto, seja $A = \{1, \dots, m\}$ cada um dos arcos do conjunto de arcos possíveis de serem utilizados para a definição das rotas a serem operadas para o carregamento de carga parcelada na rede de transporte. Isso permite utilizar um vetor binário de tamanho igual à cardinalidade do conjunto A (ou simplesmente $|A|$), para representar uma solução para o problema.

A Figura 5.3 ilustra, de forma gráfica, o vetor criado para armazenar os arcos selecionados na solução. A posição com valor igual a 1 nesse vetor significa que o arco correspondente a esta posição foi inserido na solução inicial, ou zero caso contrário. De acordo com a figura, por exemplo, os arcos de número 2, 4, m-2, m-1 e m foram escolhidos para fazerem parte da solução.

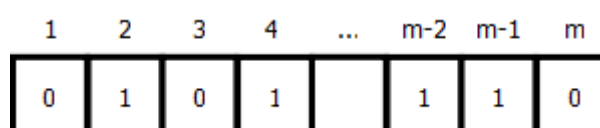


Figura 5.3: Representação da solução

Para a obtenção da solução inicial, inicialmente são ordenadas todas as cargas a serem transportadas, por par origem-destino, em ordem decrescente de peso total. O algoritmo de ordenação utilizado foi uma versão modificada do *quicksort* descrita em Singleton (1969).

Em seguida, iniciando com a carga de maior peso, determina-se o caminho mínimo partindo do terminal de origem da carga, até o seu terminal de destino, tendo como entrada uma rede fictícia contendo todos os arcos disponíveis no conjunto A , tendo como atributo dos arcos a distância entre terminais. Se fôssemos representar esta rede fictícia da mesma forma que na Figura 5.3, todas as posições do vetor solução teriam o valor 1.

Uma vez encontrado o caminho mínimo para a carga de maior peso, atribui-se o valor zero para a distância em cada um dos arcos que compõem o caminho mínimo. Em seguida, encontra-se o novo caminho mínimo para a carga de maior peso ainda não examinada, considerando-se esse grafo com distâncias nos arcos modificados. O procedimento é repetido até que todas as cargas tenham sido examinadas, em ordem decrescente de peso total.

Nesta etapa o peso de cada uma das cargas não é levado em consideração, pois primeiramente são definidas as ligações a serem abertas entre os terminais da rede e, em seguida, conforme descrito na etapa seguinte, é realizado o cálculo da quantidade e tipo de veículo utilizado em cada uma dessas ligações.

O objetivo da atribuição de custo igual a zero é incentivar novas cargas a utilizarem os mesmos arcos já abertos por cargas previamente avaliadas, resultando assim em um menor custo total da solução.

Esse procedimento é executado até que todas as cargas tiverem as rotas definidas para chegarem ao seu destino, sendo em seguida calculado o custo da solução inicial. O algoritmo do caminho mínimo utilizado foi o mesmo apresentado em Gallo e Pallottino (1988) baseado no método de Dijkstra com a fila de prioridades, sendo implementada computacionalmente como um *heap* binário.

Assim, como resultado parcial da geração de uma solução inicial para o problema, obtém-se um vetor solução conforme a Figura 5.3, que indica quais arcos foram selecionados, e uma estrutura de dados contendo os arcos utilizados por cada carga para chegar até o seu terminal de destino.

Note-se que no vetor solução são representados somente quais arcos serão utilizados na solução, não apresentando nenhuma indicação da quantidade e tipo de veículo utilizado em cada arco.

Tendo como dados: (i) a lista de cargas que utilizam cada um dos arcos abertos, resultante da geração da solução inicial; (ii) o peso de cada uma dessas cargas; e (iii) a capacidade dos veículos disponíveis para operação; e com base na somatória total de peso que cada arco necessita transportar, é realizado então o cálculo da quantidade de veículos a serem utilizados.

Dado que cada arco transporta uma ou mais cargas, que podem ser alocadas a um ou mais veículos, a ordem com que as cargas são selecionadas para serem alocadas nos veículos é de extrema importância, e esse subproblema é por si só muito difícil de ser resolvido. Em suma, esse problema consiste em determinar o número de veículos que represente a solução de mínimo custo, e quais cargas alocar a cada veículo. Esse problema pode ser modelado como um problema conhecido na literatura de *bin packing problem* (BPP).

O problema de *bin-packing* (BPP) pode ser descrito da seguinte forma: dados $j = 1, \dots, n$ objetos ou cargas com seus respectivos pesos w_j , e $i = 1, \dots, n$ bins (ou veículos) idênticos de capacidade finita c , determinar a alocação (ou designação) das n cargas aos veículos (sendo $w_j \leq c, \forall j$), de tal modo que o número de veículos utilizados seja mínimo, e respeitando-se as restrições de capacidade em cada um dos veículos. O BPP é *NP-hard* (GAREY; JOHNSON, 1979).

No caso especial da determinação de uma solução inicial para o problema do carregamento de cargas parceladas em uma rede de transporte, com T tipos

diferentes de veículos (em geral, $T=2$, como visto anteriormente), a quantidade de veículos utilizados de cada tipo é armazenada em um vetor específico, sendo que cada posição desse vetor corresponde à quantidade de veículos utilizados em cada arco da solução.

Um exemplo pode ser visto na Figura 5.4. Nesta figura tem-se o vetor solução e, conforme já apresentado, as posições desse vetor com valor igual a 1 sinalizam que o respectivo arco foi inserido na solução. Supondo dois tipos de veículo, T1 e T2, têm-se, de acordo com a referida figura, que o arco de número 2 será operado por dois veículos, sendo um de cada tipo (T1 e T2). Já no arco $m-1$ serão utilizados três veículos, sendo dois veículos do tipo T1 e um veículo do tipo T2.

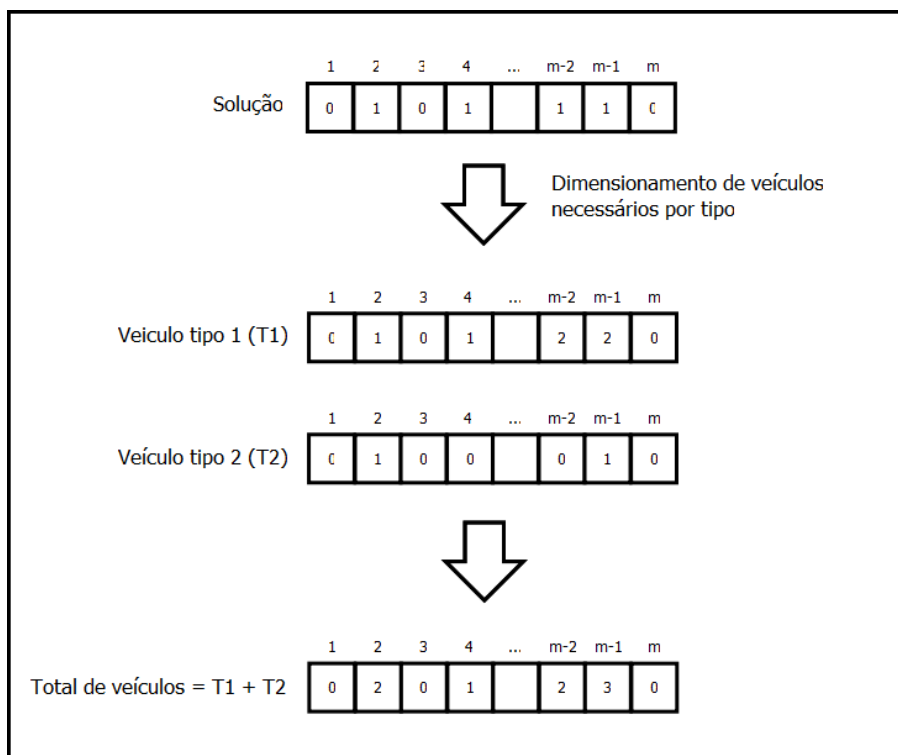


Figura 5.4: Definição da quantidade de veículos em cada arco

Desta forma, dado que o BPP é NP-hard, o mesmo é utilizado para determinar o menor número de veículos para cada arco aberto na solução, utilizando também uma heurística baseada em busca tabu. Para representar a solução do BPP é criado um vetor de tamanho igual à quantidade de cargas que utilizam um determinado arco e, em cada posição desse vetor, são colocados os índices das cargas. Deve-se

notar que essa heurística baseada em busca tabu para o BPP é executada somente se a somatória do peso das cargas que utilizam o arco for maior que a capacidade do menor veículo do problema. Observa-se, na prática, que para muitos arcos selecionados na solução inicial, não é necessária a solução do BPP.

Na Figura 5.5 é apresentado um exemplo para a definição da quantidade de veículos utilizados em um dado arco. Conforme o exemplo, o arco é utilizado por quatro cargas, sendo três delas com 8.000 kg de peso a ser transportado, e a última com 12.000 kg. Existem dois tipos de veículos disponíveis: carretas e trucks, possuindo 24.000 kg e 12.000 kg de capacidade em peso, respectivamente.

Na geração da solução inicial, a primeira etapa consiste na ordenação das cargas por ordem decrescente de peso. Em seguida é alocado primeiramente o veículo de maior capacidade (no caso a carreta), e as cargas são designadas seqüencialmente aos veículos de acordo com o vetor solução, até atingir a sua capacidade limite. As decisões de escolha da ordenação das cargas em ordem decrescente de peso, e também a decisão de se iniciar a alocação com o veículo de maior capacidade, foram tomadas com base nos experimentos computacionais realizados que apresentaram melhores soluções para problemas de grande porte.

Dado que esse procedimento para dimensionamento da quantidade de veículos foi realizado em cada arco da rede, e a cada iteração da busca tabu, o objetivo foi criar uma heurística simples, e que pudesse obter resultados satisfatórios em um curto tempo de processamento.

De acordo com o problema exemplo apresentado na Figura 5.5, após a ordenação das cargas em ordem decrescente, e utilizando primeiramente carretas, uma solução inicial é gerada utilizando-se duas carretas. Após o movimento de troca de posições do vetor solução, a nova solução gerada necessita de uma carreta e um truck para transportar as mesmas cargas no arco, resultando em um custo menor.

Ainda de acordo com o exemplo, as posições 1 e 4 do vetor solução são feitas “tabu”, não permitindo que a mesma alteração seja realizada por um determinado número fixo de iterações.

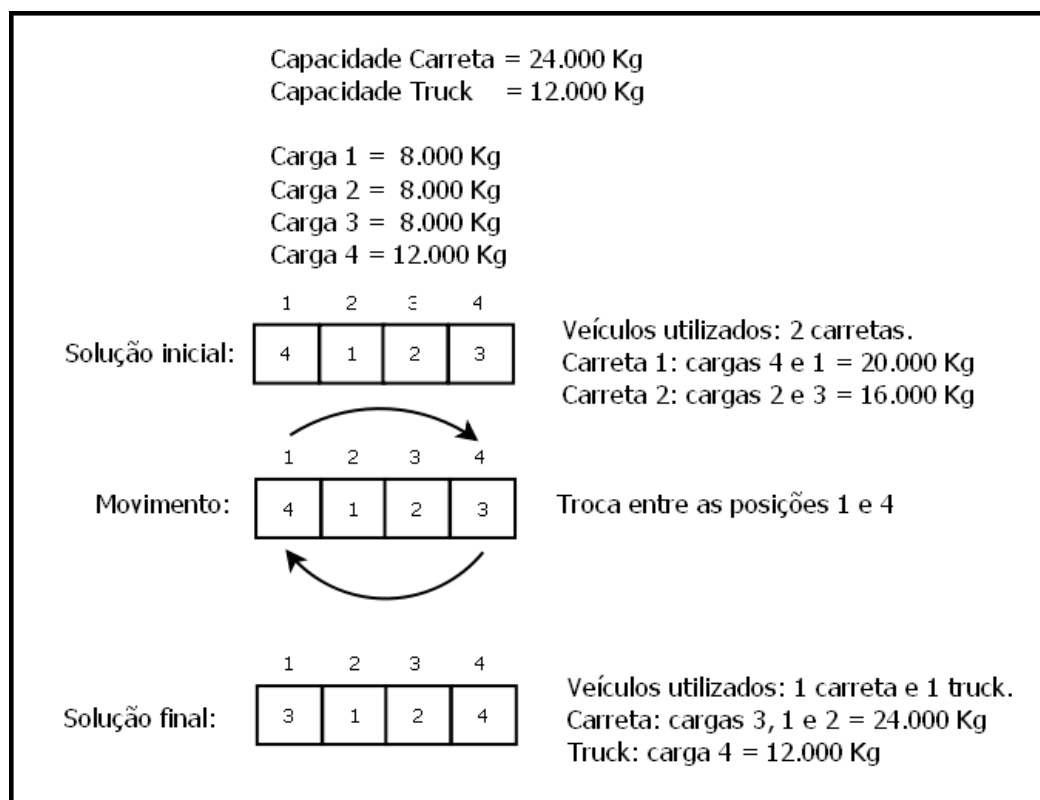


Figura 5.5: Exemplo de definição da quantidade de veículos em cada arco

Uma vez definida a quantidade e tipo de veículos alocados em cada arco aberto na rede, o cálculo do custo total da solução se torna trivial, conforme a função objetivo representada pela equação (5.1) apresentada no modelo matemático para o problema.

5.2.2 Busca tabu para a criação da rede

A descrição formal da heurística de melhoria baseada em busca tabu é apresentada na Figura 5.6. Uma vez determinada uma solução inicial contendo a configuração inicial da rede e seu custo, conforme descrito anteriormente, o próximo passo consiste na execução da rotina principal da heurística busca tabu, que primeiramente visa encontrar movimentos que modificam a solução corrente com o objetivo de se obter uma solução final de melhor qualidade. O movimento básico utilizado é o de inclusão e exclusão de arcos da solução, sendo permitidos somente movimentos que explorem o espaço de soluções viáveis do problema.

Em linhas gerais, a cada iteração da busca tabu, a heurística consiste em primeiramente selecionar a modificação na solução corrente a ser realizada, ou melhor, um movimento a ser executado, entendendo como movimento a inclusão ou exclusão de um determinado arco da rede. Todos os arcos existentes, inclusos ou não na solução corrente, são testados sequencialmente, sendo escolhido o arco que resulta na obtenção de uma solução de melhor qualidade ao se comparar com a solução corrente. O arco selecionado para movimento é feito tabu por uma quantidade fixa de iterações.

A cada avaliação de movimento a ser realizado é calculado o custo da nova solução, que consiste em: (i) definir o caminho que cada carga deve percorrer, utilizando o algoritmo do caminho mínimo, armazenando os arcos utilizados por cada carga para chegar até o seu destino e, em seguida, (ii) resolver o BPP para dimensionar a quantidade de veículos (por tipo) utilizado em cada arco da rede, tendo como entrada as cargas que utilizarão cada um dos arcos dessa nova solução.

É explorado somente o espaço de soluções viáveis do problema, entendendo como uma solução viável aquela que possui uma quantidade definida de arcos abertos, de tal forma a possibilitar que, com esse conjunto de arcos, todas as cargas possam ser transportadas desde o seu terminal de origem até o seu terminal de destino (existe um caminho possível a ser percorrido). Sendo assim, um movimento não é escolhido para ser realizado se resultar em uma solução inviável para o problema.

O “critério de aspiração”, que faz parte de toda implementação da heurística busca tabu, consistiu para esse problema em, se um dado arco não pode ser modificado na solução corrente por ser “tabu”, mas sua alteração melhora a melhor solução obtida até o momento, esse movimento, apesar de tabu, é executado.

Dois mecanismos simples são utilizados para tentar evitar que a heurística fique presa em um ótimo local. O primeiro mecanismo implementado tem como referência o trabalho de Battiti e Tecchiolli (1994), que desenvolveram uma busca tabu reativa (*reactive tabu search*).

A busca tabu reativa possui um mecanismo de memória que tem como objetivo armazenar soluções previamente visitadas, e dinamicamente alterar os parâmetros da busca tabu para tentar explorar diferentes regiões do espaço de soluções do problema.

Neste trabalho é utilizado um mecanismo simples que armazena o valor da função objetivo, e em qual iteração da busca tabu ela foi encontrada, permitindo com isso que o parâmetro que define a quantidade de iterações que um movimento permanece tabu (conhecido como duração tabu ou *tabu tenure*), seja alterado dinamicamente a fim de tentar inibir a visita de uma mesma solução, em um dado intervalo mínimo de iterações.

O segundo mecanismo utilizado para se explorar diferentes regiões do espaço de soluções é baseado no conceito que alguns autores denominam por diversificação forte (*strong diversification*) (DELL'AMICO; LODI; MAFFIOLI, 1999; STECCO; CORDEAU; MORETTI, 2009), e consiste na geração de uma nova solução inicial, escolhendo-se aleatoriamente arcos a serem inseridos na solução, até que esta se torne viável. Esse procedimento é aplicado após um número fixo de iterações sem melhoria na busca tabu.

Heurística Busca Tabu

Início
 Ler dados de entrada
 Criar uma lista \mathcal{L} de tamanho igual a cardinalidade do conjunto A de rotas candidatas

Para cada posição i de \mathcal{L} **Faça**
 $\mathcal{L}[i] = 0$

Fim Para cada

Ordenar as cargas em ordem decrescente de peso
 Armazenar as cargas ordenadas em uma estrutura de dados do tipo pilha \mathcal{P} mantendo a carga de maior peso no topo da pilha.
 Criar uma rede artificial \mathcal{R} contendo todas as rotas candidatas contidas no conjunto A

Enquanto houver elementos na pilha \mathcal{P} **Faça**
 Remova a carga c do topo da pilha \mathcal{P}
 Calcular o caminho mínimo desde a origem até o destino da carga, na rede \mathcal{R}
 Inserir as rotas utilizadas pela carga c na solução inicial do problema (equivalente a $\mathcal{L}[i] = 1$ para todas as rotas i utilizadas pela carga c)
 Definir custo igual a zero para as rotas utilizadas pela carga c na rede \mathcal{R}

Fim Enquanto

Calcular o custo da solução inicial

Enquanto a quantidade máxima de iterações da tabu não for alcançada **Faça**
Para cada posição i da lista \mathcal{L} **Faça**
 $\mathcal{L}[i] = 1 - \mathcal{L}[i]$
 Verificar viabilidade da solução
Se solução inviável **Então**
 desfazer o movimento ($\mathcal{L}[i] = 1 - \mathcal{L}[i]$)
 testar a próxima rota ($i = i + 1$)
Senão
 Calcular o custo da solução após o movimento
 Armazenar a rota alterada no movimento corrente
Se a rota alterada não é tabu **ou** solução corrente $<$ melhor solução **Então**
Se solução corrente $<$ melhor movimento **Então**
 Gravar como melhor movimento a ser executado
 Grava rota a ser alterada
Fim Se
Fim Se
Fim Se

Fim Para cada

Se foi possível encontrar movimento viável **Então**
 Executar melhor movimento encontrado
 Fazer rota alterada como tabu
Se o custo do melhor movimento encontrado for igual a melhor solução corrente **Então**
 aumentar a quantidade que um dado movimento permanece tabu em λ iterações
Fim Se
Se não foi possível encontrar um movimento que melhore a solução corrente após uma quantidade fixa de iterações **Então**
 Gerar uma nova solução inicial aleatória
Fim Se
Fim Se

Fim Enquanto

Fim Heurística Busca Tabu

Figura 5.6: Esqueleto básico da busca tabu para solução do problema

5.3 PROBLEMA EXEMPLO

A fim de facilitar o entendimento da modelagem e da solução do problema de carregamento de carga parcelada em uma rede de transporte, é apresentado nessa seção um exemplo de pequeno porte composto por 16 terminais, 14 cargas a serem transportadas, 89 arcos disponíveis para utilização, e dois tipos distintos de veículos: carreta e truck.

Os municípios envolvidos nesse exemplo estão relacionados na Tabela 5.1, juntamente com seu respectivo número e sigla, que serão utilizados para facilitar a representação do problema. Na Tabela 5.2 são apresentadas as cargas a serem transportadas, contendo para cada uma delas a origem, destino e peso. Os arcos disponíveis na rede para serem utilizados como rotas estão apresentados na Tabela 5.3, que contém para cada arco, a origem, o destino, a distância entre terminais e ainda o custo tanto para o truck como para a carreta.

Tabela 5.1: Terminais envolvidos no problema exemplo

Número	Sigla	Município
1	CON	Contagem - MG
2	MCL	Montes Claros - MG
3	SSA	Salvador - BA
4	RIB	Rio Bonito - RJ
5	QBN	Barra Mansa - RJ
6	RIO	Rio de Janeiro - RJ
7	RAO	Ribeirão Preto - SP
8	VIX	Vitória - ES
9	PPY	Pouso Alegre - MG
10	SJK	São José dos Campos - SP
11	BAU	Bauru - SP
12	NVF	Nova Friburgo - RJ
13	CTN	Colatina - ES
14	SAO	São Paulo - SP
15	QCF	Birigüi - SP
16	CPQ	Campinas - SP

Para esse exemplo os *hubs* estão localizados nos terminais de São Paulo, Contagem, Vitória, Campinas, Salvador e Rio de Janeiro. Os arcos candidatos foram criados conforme as cinco possibilidades de rotas a serem operadas em uma rede

hub-and-spoke, conforme descrito no início desse capítulo. Os terminais envolvidos na criação dos arcos candidatos são todos aqueles (*hubs* ou não) que são origem de uma ou mais cargas. As alternativas para a criação de rotas são:

- (i) carregamento direto entre os terminais de origem e destino;
- (ii) carregamento via *hub* onde o terminal de origem está alocado (*hub* origem);
- (iii) carregamento via *hub* onde o terminal de destino está alocado (*hub* destino);
- (iv) carregamento típico *hub-and-spoke*, sendo a carga transferida do terminal de origem para o *hub* origem, do *hub* origem para o *hub* destino, e finalmente do *hub* destino para o terminal de destino da carga;
- (v) via um *hub* qualquer da rede.

A rede *hub-and-spoke* para o problema exemplo está representada na Figura 5.7. Os nós de cor vermelha representam os *hubs* da rede e os arcos também na cor vermelha representam a ligação entre *hubs*. Os nós e arcos de cor azul representam os terminais não-*hub*, e a ligação *hub* – terminal, respectivamente.

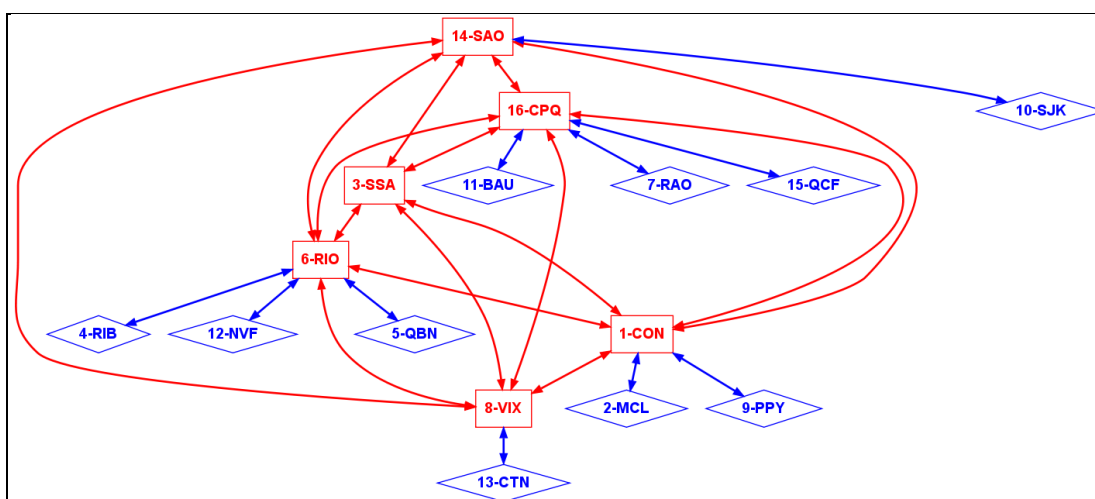


Figura 5.7: Rede *hub-and-spoke* para o problema exemplo

Dois tipos de veículo são considerados nesse exemplo: truck e carreta. A capacidade disponível para a carreta foi fixada em 24.000 kg por veículo com um custo de \$ 1,40 / km. Já para o truck, a capacidade de cada veículo foi fixada em 12.000 kg, e custo de \$ 1,00 / km. É importante lembrar que os custos dos veículos não dependem da quantidade de carga transportada nos mesmos. Com

base nesses custos unitários, é possível determinar o custo de cada tipo de veículo em cada um dos arcos, como mostrado na Tabela 5.3.

Uma representação gráfica das demandas, e das rotas disponíveis na rede, é apresentada nas Figura 5.8 e 5.9, respectivamente. Os arcos de cor azul da Figura 5.8 representam os arcos disponíveis para serem utilizados na criação de rotas, tendo como atributo a distância em quilômetros entre os terminais. Já os arcos de cor vermelha da Figura 5.9 representam a demanda de cargas a serem transportadas, com suas respectivas origem e destino, tendo como atributo desses arcos o peso (em kg) a ser transportado e, entre parênteses, o número identificador da carga.

Tabela 5.2: Cargas a serem transportadas

Carga nº	Origem	Destino	Peso (Kg)
1	9-PPY	5-QBN	8.000
2	1-CON	2-MCL	18.000
3	11-BAU	13-CTN	8.000
4	16-CPQ	3-SSA	6.000
5	15-QCF	13-CTN	8.000
6	9-PPY	4-RIB	8.000
7	15-QCF	2-MCL	6.000
8	10-SJK	13-CTN	8.000
9	14-SAO	3-SSA	12.000
10	7-RAO	3-SSA	18.000
11	11-BAU	1-CON	24.000
12	9-PPY	6-RIO	12.000
13	9-PPY	12-NVF	8.000
14	11-BAU	3-SSA	12.000

Com os dados aqui apresentados, e utilizando o modelo matemático apresentado na Seção 5.1, foi construído o modelo matemático correspondente utilizando-se a linguagem algébrica AMPL com a sintaxe descrita em Fourer, Gay e Kernighan (1990). O modelo matemático em AMPL, juntamente com os dados de entrada utilizados para representar o problema exemplo, podem ser vistos nas Figura 5.10 e Figura 5.11, respectivamente.

Existem diversos pacotes comerciais que possuem interface para solução de problemas de otimização, representados utilizando a linguagem AMPL, como por exemplo, o CPLEX, o Gurobi, o Mosek, o XpressMP, entre outros. O problema exemplo aqui apresentado pôde ser facilmente resolvido, devido ao seu pequeno porte, utilizando o CPLEX.

Tabela 5.3: Arcos disponíveis para transporte

n°	Origem	Destino	Distância	Custo (\$)		n°	Origem	Destino	Distância	Custo (\$)	
			(Km)	Truck	Carreta				(Km)	Truck	Carreta
1	1-CON	12-NVF	442	442,00	618,8	46	9-PPY	4-RIB	443	443,00	620,20
2	1-CON	6-RIO	445	445,00	623,00	47	9-PPY	16-CPQ	198	198,00	277,20
3	1-CON	14-SAO	573	573,00	802,20	48	10-SJK	16-CPQ	153	153,00	214,20
4	1-CON	5-QBN	443	443,00	620,20	49	10-SJK	13-CTN	894	894,00	1.251,60
5	1-CON	2-MCL	416	416,00	582,40	50	10-SJK	6-RIO	341	341,00	477,40
6	1-CON	13-CTN	533	533,00	746,20	51	10-SJK	14-SAO	104	104,00	145,60
7	1-CON	3-SSA	1373	1.373,00	1.922,20	52	10-SJK	8-VIX	778	778,00	1.089,20
8	1-CON	8-VIX	524	524,00	733,60	53	10-SJK	1-CON	512	512,00	716,80
9	1-CON	16-CPQ	567	567,00	793,80	54	11-BAU	6-RIO	762	762,00	1.066,80
10	1-CON	4-RIB	498	498,00	697,20	55	11-BAU	8-VIX	1199	1.199,00	1.678,60
11	1-CON	1-CON	0	0,00	0,00	56	11-BAU	3-SSA	2053	2.053,00	2.874,20
12	6-RIO	2-MCL	851	851,00	1.191,40	57	11-BAU	13-CTN	1315	1.315,00	1.841,00
13	6-RIO	4-RIB	76	76,00	106,40	58	11-BAU	14-SAO	336	336,00	470,40
14	6-RIO	13-CTN	644	644,00	901,60	59	11-BAU	1-CON	765	765,00	1.071,00
15	6-RIO	3-SSA	1625	1.625,00	2.275,00	60	11-BAU	16-CPQ	265	265,00	371,00
16	6-RIO	1-CON	440	440,00	616,00	61	14-SAO	6-RIO	441	441,00	617,40
17	6-RIO	16-CPQ	489	489,00	684,60	62	14-SAO	1-CON	574	574,00	803,60
18	6-RIO	14-SAO	444	444,00	621,60	63	14-SAO	16-CPQ	99	99,00	138,60
19	6-RIO	6-RIO	0	0,00	0,00	64	14-SAO	5-QBN	313	313,00	438,20
20	6-RIO	5-QBN	129	129,00	180,60	65	14-SAO	4-RIB	512	512,00	716,80
21	6-RIO	12-NVF	136	136,00	190,40	66	14-SAO	3-SSA	1938	1.938,00	2.713,20
22	6-RIO	8-VIX	511	511,00	715,40	67	14-SAO	8-VIX	878	878,00	1.229,20
23	7-RAO	14-SAO	318	318,00	445,20	68	14-SAO	14-SAO	0	0,00	0,00
24	7-RAO	3-SSA	1839	1.839,00	2.574,60	69	14-SAO	13-CTN	994	994,00	1.391,60
25	7-RAO	8-VIX	1019	1.019,00	1.426,60	70	14-SAO	12-NVF	562	562,00	786,80
26	7-RAO	1-CON	504	504,00	705,60	71	14-SAO	2-MCL	991	991,00	1.387,40
27	7-RAO	16-CPQ	225	225,00	315,00	72	15-QCF	8-VIX	1336	1.336,00	1.870,40
28	7-RAO	6-RIO	749	749,00	1.048,60	73	15-QCF	2-MCL	1030	1.030,00	1.442,00
29	8-VIX	1-CON	521	521,00	729,40	74	15-QCF	14-SAO	514	514,00	719,60
30	8-VIX	5-QBN	562	562,00	786,80	75	15-QCF	13-CTN	1345	1.345,00	1.883,00
31	8-VIX	16-CPQ	994	994,00	1.391,60	76	15-QCF	16-CPQ	444	444,00	621,60
32	8-VIX	13-CTN	130	130,00	182,00	77	15-QCF	1-CON	821	821,00	1.149,40
33	8-VIX	2-MCL	922	922,00	1.290,80	78	15-QCF	6-RIO	941	941,00	1.317,40
34	8-VIX	3-SSA	1173	1.173,00	1.642,20	79	16-CPQ	1-CON	569	569,00	796,60
35	8-VIX	12-NVF	445	445,00	623,00	80	16-CPQ	2-MCL	985	985,00	1.379,00
36	8-VIX	8-VIX	0	0,00	0,00	81	16-CPQ	13-CTN	1043	1.043,00	1.460,20
37	8-VIX	4-RIB	436	436,00	610,40	82	16-CPQ	5-QBN	362	362,00	506,80
38	8-VIX	14-SAO	949	949,00	1.328,60	83	16-CPQ	6-RIO	490	490,00	686,00
39	8-VIX	6-RIO	512	512,00	716,80	84	16-CPQ	14-SAO	102	102,00	142,80
40	9-PPY	14-SAO	204	204,00	285,60	85	16-CPQ	3-SSA	1932	1.932,00	2.704,80
41	9-PPY	5-QBN	244	244,00	341,60	86	16-CPQ	12-NVF	611	611,00	855,40
42	9-PPY	1-CON	380	380,00	532,00	87	16-CPQ	8-VIX	927	927,00	1.297,80
43	9-PPY	12-NVF	493	493,00	690,20	88	16-CPQ	4-RIB	561	561,00	785,40
44	9-PPY	8-VIX	820	820,00	1.148,00	89	16-CPQ	16-CPQ	0	0,00	0,00
45	9-PPY	6-RIO	373	373,00	522,20						

```

param n, integer, >= 2; # quantidade de nós da rede
set V, default {1..n}; # conjunto de nós da rede
set A, within V cross V; # conjunto de arcos da rede
set K; # conjunto de cargas a serem transportadas
set T; # conjunto de tipos de veículos disponíveis

param O {k in K}; # nó de origem da carga k
param D {k in K}; # nó de destino da carga k
param R {k in K} >= 0; # peso da carga k
param U {t in T}, >= 0; # capacidade do veículo do tipo t
param c {t in T}, >= 0; # custo por km de um veículo do tipo t
param distancia {(i,j) in A}; # distância de i para j.

var f {(i,j) in A, k in K, t in T}, binary;
# =1 se um veíc. do tipo t é utilizado para transportar a carga k no arco ij

var x {(i,j) in A, t in T}, integer, >= 0; # qtd. veíc. do tipo t no arco ij

minimize z : sum{t in T} sum{(i,j) in A} distancia[i,j] * c[t] * x[i,j,t];

s.t. r1 {i in V, k in K} : sum{t in T} ( sum{j in V: (i,j) in A} f[i,j,k,t]
    - sum{l in V: (l,i) in A} f[l,i,k,t] )
    = (if i=O[k] then 1 else (if i=D[k] then -1 else 0));

s.t. r2 {(i,j) in A, t in T} :
    sum{k in K} f[i,j,k,t] * R[k] <= U[t] * x[i,j,t];

s.t. r3 {(i,j) in A, k in K} : sum{t in T} f[i,j,k,t] <= 1;

s.t. r4 {(i,j) in A, k in K, t in T} : f[i,j,k,t] * R[k] <= U[t];
end;

```

Figura 5.10: Modelo matemático em AMPL para o problema exemplo

A solução do problema exemplo é apresentada na Tabela 5.4, e também de forma gráfica na Figura 5.12. Na solução final são alocados 16 veículos para operação, sendo 10 carretas e 6 trucks. A rota partindo de Contagem para Salvador utiliza duas carretas, e a rota de Pouso Alegre para o Rio de Janeiro utiliza uma carreta e um truck. As demais rotas são operadas por um único veículo.

As rotas representadas de cor azul na Figura 5.12 possuem um atributo (em verde e vermelho) que diz respeito ao peso total transportado (em kg), o tipo de veículo utilizado e, entre parênteses, o número indicativo de quais cargas estão sendo transportadas em cada rota.

```

data;
param n := 16;
set T := truck carreta;
param U := truck 12000, carreta 24000;
param c := truck 1.0, carreta 1.4;
set V := 1 2 3 4 5 6 7 8 9 10 11 12 13 14 15 16;
set A := 15 8, 10 16, 16 1, 8 1, 1 12, 15 2, 10 13, 7 14, 6 2, 1 6, 14 6, 14 1, 11
6, 14 16, 10 6, 7 3, 9 14, 16 2, 9 5, 8 5, 16 13, 14 5, 16 5, 10 14, 15 14, 14 4,
15 13, 15 16, 6 4, 10 8, 14 3, 1 14, 15 1, 11 8, 1 5, 11 3, 7 8, 1 2, 11 13, 16 6,
1 13, 7 1, 8 16, 1 3, 6 13, 10 1, 8 13, 6 3, 16 14, 14 8, 6 1, 16 3, 8 2, 16 12, 6
16, 8 3, 14 14, 7 16, 16 8, 9 1, 14 13, 7 6, 11 14, 8 12, 1 8, 15 6, 11 1, 8 8, 14
12, 9 12, 8 4, 6 14, 9 8, 6 6, 1 16, 6 5, 11 16, 8 14, 9 6, 16 4, 6 12, 16 16, 1 4,
9 4, 1 1, 8 6, 9 16, 6 8, 14 2;
param: K:      R      O      D:=
1      8000  9      5
2      18000 1      2
3      8000  11     13
4      6000  16     3
5      8000  15     13
6      8000  9      4
7      6000  15     2
8      8000  10     13
9      12000 14     3
10     18000 7      3
11     24000 11     1
12     12000 9      6
13     8000  9      12
14     12000 11     3;
param distancia default 0 := [15, 8] 1336 [10, 16] 153 [16, 1] 569 [8, 1] 521 [1,
12] 442 [15, 2] 1030 [10, 13] 894 [7, 14] 318 [6, 2] 851 [1, 6] 445 [14, 6] 441
[14, 1] 574 [11, 6] 762 [14, 16] 99 [10, 6] 341 [7, 3] 1839 [9, 14] 204 [16, 2] 985
[9, 5] 244 [8, 5] 562 [16, 13] 1043 [14, 5] 313 [16, 5] 362 [10, 14] 104 [15, 14]
514 [14, 4] 512 [15, 13] 1345 [15, 16] 444 [6, 4] 76 [10, 8] 778 [14, 3] 1938 [1,
14] 573 [15, 1] 821 [11, 8] 1199 [1, 5] 443 [11, 3] 2053 [7, 8] 1019 [1, 2] 416
[11, 13] 1315 [16, 6] 490 [1, 13] 533 [7, 1] 504 [8, 16] 994 [1, 3] 1373 [6, 13]
644 [10, 1] 512 [8, 13] 130 [6, 3] 1625 [16, 14] 102 [14, 8] 878 [6, 1] 440 [16, 3]
1932 [8, 2] 922 [16, 12] 611 [6, 16] 489 [8, 3] 1173 [14, 14] 0 [7, 16] 225 [16, 8]
927 [9, 1] 380 [14, 13] 994 [7, 6] 749 [11, 14] 336 [8, 12] 445 [1, 8] 524 [15, 6]
941 [11, 1] 765 [8, 8] 0 [14, 12] 562 [9, 12] 493 [8, 4] 436 [6, 14] 444 [9, 8] 820
[6, 6] 0 [1, 16] 567 [6, 5] 129 [11, 16] 265 [8, 14] 949 [9, 6] 373 [16, 4] 561 [6,
12] 136 [16, 16] 0 [1, 4] 498 [9, 4] 443 [1, 1] 0 [8, 6] 512 [9, 16] 198 [6, 8] 511
[14, 2] 991 ;
end;

```

Figura 5.11: Dados de entrada em AMPL do problema exemplo

Por exemplo, na Figura 5.12, que apresenta a solução do problema exemplo, entre Pouso Alegre-MG (sigla PPY, número 9), e Rio de Janeiro-RJ (sigla RIO, número 6), são utilizados dois veículos: um veículo do tipo truck transportando somente a carga número 12 contendo 12.000 kg, e o segundo veículo do tipo carreta, transportando 24.000 kg, que corresponde à soma em peso das cargas número 1, 6 e 13, possuindo cada uma delas 8.000 kg, destinadas respectivamente a Barra Mansa (5-QBN), Rio Bonito-RJ (4-RIB) e Nova Friburgo-RJ (12-NVF).

Como a carga 12 é transportada sozinha em um truck e possui destino final o próprio terminal do Rio de Janeiro, o veículo é descarregado e a carga preparada para a entrega local de todos os despachos. Já as cargas 1, 6 e 13, transportadas na carreta, possuem como destino municípios que são atendidos por rotas individuais partindo do Rio de Janeiro, e, portanto, essa carreta que fez o transporte partindo de Pouso Alegre deve ser completamente descarregada, e as cargas reclassificadas e preparadas para seguirem, em carregamentos individuais utilizando veículos trucks, até os seus terminais de destino finais.

Tabela 5.4: Solução do problema exemplo

Veículo nº	Origem	Destino	Veículo Tipo	Peso Total (Kg)	Cargas
1	11-BAU	16-CPQ	Carreta	20000	(3, 14)
2	1-CON	2-MCL	Carreta	24000	(2, 7)
3	15-QCF	16-CPQ	Carreta	14000	(5, 7)
4	11-BAU	1-CON	Carreta	24000	(11)
5	7-RAO	1-CON	Carreta	18000	(10)
6	16-CPQ	1-CON	Carreta	24000	(4, 7, 14)
7	1-CON	3-SSA	Carreta	24000	(4, 10)
8	1-CON	3-SSA	Carreta	24000	(9, 14)
9	16-CPQ	13-CTN	Carreta	24000	(3, 5, 8)
10	9-PPY	6-RIO	Carreta	24000	(1, 6, 13)
11	9-PPY	6-RIO	Truck	12000	(12)
12	6-RIO	5-QBN	Truck	8000	(1)
13	6-RIO	4-RIB	Truck	8000	(6)
14	10-SJK	16-CPQ	Truck	8000	(8)
15	14-SAO	1-CON	Truck	12000	(9)
16	6-RIO	12-NVF	Truck	8000	(13)

Em linhas gerais, a solução obtida apresentou: (i) rotas diretas entre terminais; (ii) rotas com uma única parada em um hub para consolidação; e (iii) rotas tipicamente *hub-and-spoke* contendo duas paradas intermediárias em dois *hubs* distintos para consolidação.

Um exemplo de rota direta é o caso da carga número 11, que corresponde a 24.000 kg de Bauru para Contagem. A quantidade de carga transportada justificou o envio direto de uma carreta para o terminal de destino, sem paradas intermediárias.

Já as cargas 3, 5 e 8, com origens Bauru, Birigüi e São José dos Campos, respectivamente, possuem cada uma delas 8.000Kg para serem transportados para Colatina. De acordo com a solução do problema, a melhor estratégia, do ponto de vista de custo, é consolidar estas três cargas no *hub* localizado em Campinas para

em seguida enviar um único carregamento direto, utilizando uma carreta, para Colatina.

Esse é um exemplo de uma rota com uma única parada em um *hub* na origem, e ainda apresenta a possibilidade de consolidação de uma carga em um *hub* diferente do qual o terminal de origem está alocado, que é o caso da carga número 8 com origem São José dos Campos, que, na configuração estrita de uma rede *hub-and-spoke*, deveria ser enviado para São Paulo, em vez de Campinas.

Um exemplo típico de rota do tipo *hub-and-spoke* é o transporte da carga de número 7 contendo 6.000 kg que deve ser transportada de Birigüi para Montes Claros. A carga 7 primeiramente é enviada, juntamente com a carga número 5, para seu *hub* de origem localizado em Campinas. Em Campinas esse veículo é descarregado, e a carga 7 consolidada com as cargas 4 e 14, é então enviada para o *hub* de destino localizado em Contagem. Em Contagem a carga 7, juntamente com a carga 2, atinge o seu destino, que corresponde ao terminal em Montes Claros.

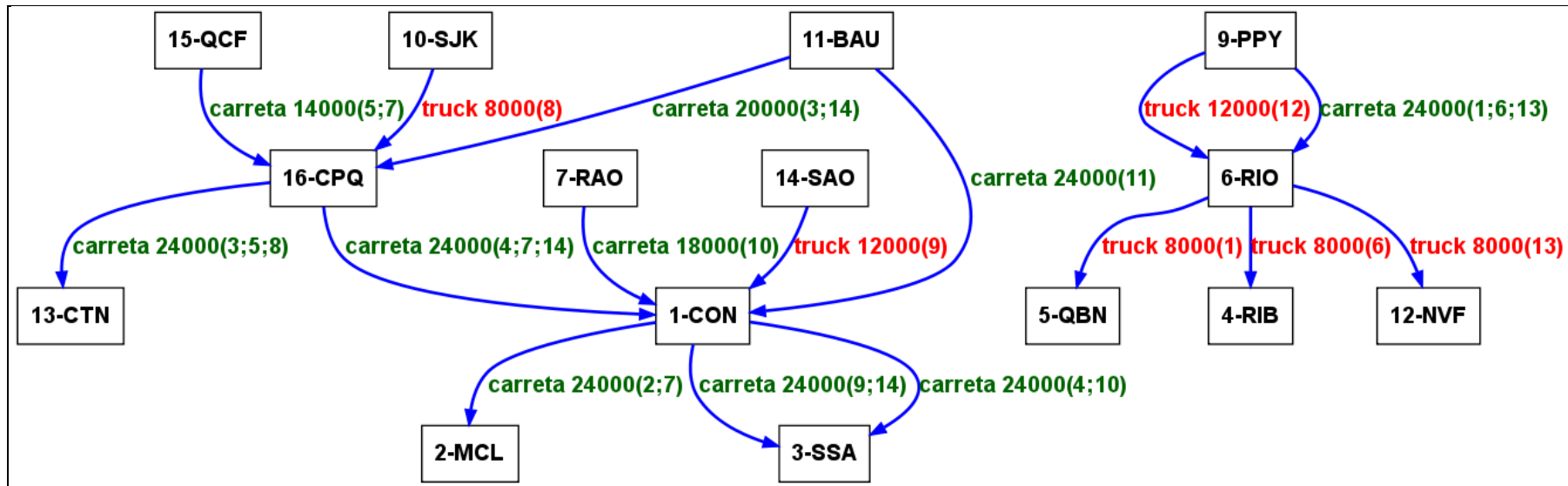


Figura 5.12: Representação gráfica da solução do problema exemplo

5.4 EXPERIMENTOS COMPUTACIONAIS

A fim de avaliar o desempenho do método de solução proposto para o problema de carregamento de carga parcelada em uma rede de transporte, foram realizados experimentos computacionais com dados reais fornecidos pela empresa Patrus Transportes Urgentes Ltda.

Ao contrário do USAHLP, não existem na literatura instâncias de teste para avaliação comparativa do desempenho da heurística proposta, e ainda, apesar das similaridades já descritas, o problema aqui tratado é de natureza diferente do NLP (*network loading problem*), pois o NLP trata da solução de problemas de rede de telecomunicações, tendo proporções de custo, volume de tráfego, e quantidade de arcos bem diferentes dos dados de uma empresa transportadora de carga parcelada, podendo levar a interpretações incorretas, caso esses dados sejam utilizados para avaliação. Sendo assim, optou-se por utilizar diretamente dados reais de uma empresa transportadora de carga parcelada.

A Patrus Transportes² é uma empresa especializada no transporte de carga parcelada, e atende as regiões sul e sudeste do Brasil, incluindo os estados da Bahia e Sergipe. Fundada em 1973 em Minas Gerais, a empresa possui atualmente 53 terminais, e dentre esses terminais 10 deles operam, em maior ou menor escala, como um terminal para consolidação de cargas (*hub*). A lista de terminais da Patrus Transportes pode ser vista na Tabela 5.5.

O principal *hub* fica localizado em Contagem-MG, onde está também localizada a matriz da empresa, possuindo 7.500 m² e 60 docas em *cross-docking* para carga e descarga. Na Figura 5.13 é apresentada uma foto aérea desse *hub*.

² Maiores de talhes sobre a Patrus Transportes podem ser obtidos no endereço:
<http://www.patrus.com.br/>



Figura 5.13: Hub Patrus Transportes em Contagem-MG

Foram obtidos junto à empresa os dados do fluxo de carga parcelada de todo o ano de 2009, a fim de serem utilizados os experimentos computacionais. Esses dados foram manipulados apropriadamente e resultaram em 12 instâncias de teste, uma para cada mês do ano.

Um resumo das instâncias geradas pode ser visto na Tabela 5.6. O significado das colunas dessa tabela são:

- *Terminais*: indica a quantidade de terminais envolvidos em cada problema, correspondendo a um ponto de origem e/ou destino de carga;
- *Cargas*: a quantidade total de cargas a serem transportadas;
- *Peso (Kg)*: peso total de todas as cargas a serem transportadas;
- *Rotas*: número de rotas ou ligações disponíveis para serem utilizadas;
- *Var. Inteiras*: número de variáveis inteiras do problema, para um único tipo de veículo;
- *Var. binárias*: número de variáveis binárias do problema de programação inteira, para um único tipo de veículo;
- *Restrições*: número de restrições de cada problema, para um único tipo de veículo;
- *Não-zeros*: número de elementos diferentes de zero da matriz de restrições, no caso de um único tipo de veículo.

É possível também verificar, na Tabela 5.6, as diferenças no peso médio por carga transportada ao longo do ano, confirmando a usual sazonalidade da demanda por transporte de carga parcelada no Brasil. Analisando os dados fornecidos, observa-se no início do ano uma forte queda na demanda, tendo um peso médio por carga transportada aproximadamente 30% menor, ao se comparar com o último trimestre do ano.

Tabela 5.5: Lista de terminais da Patrus Transportes

Terminal Nº	Localidade	Terminal Nº	Localidade
1	Aracaju, SE	28	Montes Claros, MG
2	Barra Mansa, RJ	29	Nova Serrana, MG
3	Barreiras, BA	30	Novo Hamburgo, RS
4	Bauru, SP	31	Passos, MG
5	Birigüi, SP	32	Patos de Minas, MG
6	Blumenau, SC	33	Petrolina, PE
7	Cachoeiro de Itapemirim, ES	34	Pouso Alegre, MG
8	Campinas, SP	35	Presidente Prudente, SP
9	Campos, RJ	36	Ribeirão Preto, SP
10	Colatina, ES	37	Rio de Janeiro, RJ
11	Contagem, MG	38	Salvador, BA
12	Curitiba, PR	39	Santo Antônio de Jesus, BA
13	Divinópolis, MG	40	Santos, SP
14	Eunápolis, BA	41	São José do Rio Preto, SP
15	Extrema, MG	42	São José dos Campos, SP
16	Feira de Santana, BA	43	São Paulo, SP
17	Franca, SP	44	Senhor do Bonfim, BA
18	Governador Valadares, MG	45	Sete Lagoas, MG
19	Ipatinga, MG	46	Sorocaba, SP
20	Irecê, BA	47	Teixeira de Freitas, BA
21	Itabuna, BA	48	Teófilo Otoni, MG
22	Jequié, BA	49	Uberaba, MG
23	Joinville, SC	50	Uberlândia, MG
24	Juiz de Fora, MG	51	Varginha, MG
25	Londrina, PR	52	Vitória da Conquista, BA
26	Manhuaçu, MG	53	Vitória, ES
27	Marília, SP		

O experimento computacional consistiu em resolver cada um dos 12 problemas gerados, utilizando tanto o pacote de otimização CPLEX versão 9.1, como também com a heurística proposta baseada em busca tabu, a qual foi implementada computacionalmente em linguagem de programação C++. Foram considerados dois tipos de veículos para os experimentos: truck e carreta. As rotas alternativas foram

obtidas conforme descrito na seção anterior, tendo cada carga cinco alternativas básicas para envio/utilização de rotas:

- (i) carregamento direto entre os terminais;
- (ii) carregamento via *hub* origem;
- (iii) carregamento via *hub* destino;
- (iv) carregamento típico *hub-and-spoke*;
- (v) via um *hub* qualquer da rede.

Na Figura 5.14 é apresentado um exemplo de uma rede contendo três terminais de origem, representados pelos nós de número 1,2 e 3; dois *hubs* representados por h1 e h2; e dois terminais de destino 4 e 5. Nesta rede estão representadas todas as rotas possíveis para os terminais de origem chegarem aos terminais de destino, admitindo que todos os terminais de origem possuam cargas a serem transportadas para ambos os terminais de destino. Para exemplificar as alternativas de percurso, seja uma carga do nó 2 para o nó 5, as alternativas seriam: (i) diretamente de 2 para 5; (ii) com uma parada em um *hub*, h1 ou h2, (iii) com uma parada em ambos os *hubs* h1 e h2, ou na ordem inversa, h2 e em seguida h1.

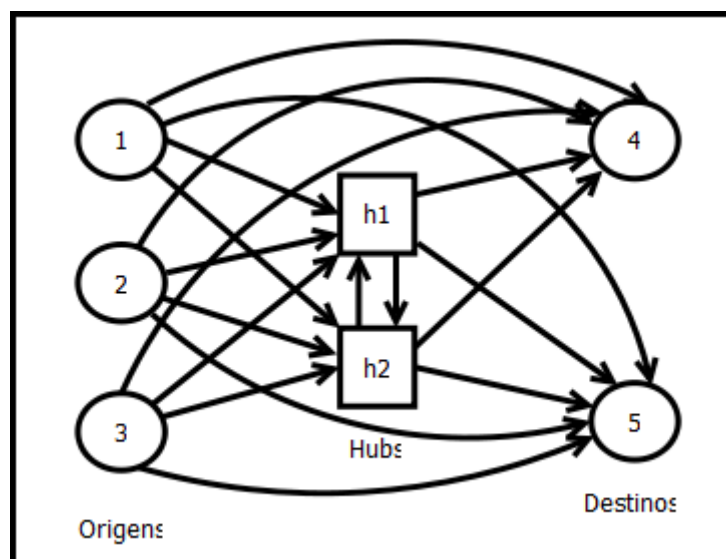


Figura 5.14: Alternativas de rotas entre os terminais da rede

O computador utilizado para os experimentos computacionais foi um laptop com sistema operacional Windows Vista, com processador Intel Core 2 Duo 2,20 GHz e 4

GB de memória RAM, sendo que somente um processador foi utilizado nos experimentos computacionais.

Tabela 5.6: Instâncias Patrus Transportes

Mês	Terminais	Cargas	Peso (Kg)	Rotas	Var. Inteiras	Var. binárias	Restrições	Não-zeros
JAN	51	195	854.929	725	725	141.375	152.045	562.325
FEV	51	198	845.244	737	737	145.926	156.761	580.481
MAR	51	191	948.822	736	736	140.576	151.053	559.220
ABR	51	203	982.572	741	741	150.423	161.517	598.373
MAI	51	192	1.009.790	731	731	140.352	150.875	558.299
JUN	51	200	1.047.962	730	730	146.000	156.930	580.730
JUL	52	200	1.011.689	756	756	151.200	162.356	601.556
AGO	52	208	1.065.274	763	763	158.704	170.283	631.419
SET	51	207	1.091.068	767	767	158.769	170.093	631.703
OUT	52	207	1.144.837	784	784	162.288	173.836	645.796
NOV	52	221	1.207.605	795	795	175.695	187.982	699.155
DEZ	53	217	1.128.746	805	805	174.685	186.991	695.205

Uma etapa usualmente trabalhosa de ser realizada na preparação de dados para solução de problemas de transporte é na preparação de uma tabela de distância entre localidades, e no caso desse problema, a distância entre terminais. No presente trabalho, o cálculo da distância entre terminais, das mais de 800 rotas disponíveis no estudo de caso, foi automatizado utilizando um programa implementado computacionalmente utilizando a linguagem de programação Perl, responsável pela interface com a ferramenta Google Maps.

O Google Maps é um serviço gratuito de pesquisa e visualização de mapas e imagens de satélite da Terra via web, fornecido e desenvolvido pela empresa americana Google. Atualmente, o serviço disponibiliza mapas e rotas para qualquer ponto nos Estados Unidos, Canadá, na União Européia, Austrália, Brasil, entre outros. E ainda disponibiliza também imagens via satélite do mundo todo, com possibilidade de um *zoom* nas grandes cidades, como por exemplo Nova Iorque, Paris e São Paulo. A função em Perl que foi utilizada para cálculo de distância entre localidades é apresentada na Figura 5.15.

```

sub calculaDistancia{
    my @argumento = @_;
    my $distancia = -7;
    $distancia++; $distancia--;

    my $origem = $argumento[0];
    my $destino = $argumento[1];
    my $url =
"http://maps.google.com.br/maps?saddr=$origem&daddr=$destino&hl=en&z=1";
    my $page = get($url);
    my @dados = split(/,distance:"/, $page);
    my @dist = split(/ km",/, $dados[1]);
    $dist[0] =~ s/,//g;
    $distancia = $dist[0];
    return $distancia;
}

```

Figura 5.15: Código fonte em Perl para cálculo de distância entre terminais

Os experimentos iniciais realizados ao se tentar resolver quaisquer dos 12 problemas com o CPLEX puderam confirmar a dificuldade em se obter a solução ótima para esses problemas. Por exemplo, ao se tentar resolver a instância correspondente ao mês de janeiro (a menor dentre as 12 instâncias), na sua versão simplificada, considerando apenas um único tipo de veículo, não se conseguiu atingir a solução ótima após 18 horas de processamento, e o *gap* no momento da interrupção do processamento ainda era de 17,61%. Já para o mesmo mês (janeiro), porém considerando os dois tipos de veículos (truck e carreta), não foi possível ao CPLEX encontrar nenhuma solução viável após 18 horas de processamento,

Assim, dada a dificuldade para a obtenção da solução ótima para cada uma das 12 instâncias, e também devido à restrição imposta do tempo aceitável para se obter uma solução para o problema prático, optou-se por realizar os experimentos considerando-se um tempo limite máximo para processamento, tanto para o CPLEX como também para a heurística baseada em busca tabu, de 30 minutos.

Esse tempo limite de 30 minutos condiz com a expectativa da Patrus Transportes, que pretende não só utilizar o modelo como uma ferramenta de planejamento tático, mas também diariamente avaliar possíveis modificações na sua estrutura de rotas, adicionando e/ou excluindo novas rotas, ou ainda alterando o tipo de veículo alocado em cada rota, de acordo com o volume de cargas no dia.

Adicionalmente, foram adotados os seguintes parâmetros para a heurística de melhoria baseada em busca tabu: o número de iterações que cada movimento permanece tabu (*tabu tenure*) foi fixado em 5 iterações; o mecanismo de diversificação é ativado após 100 iterações sem melhoria na solução incumbente. Já para a heurística de resolução do problema de *bin packing*, também baseada em busca tabu, e que permite determinar o número de veículos de cada tipo utilizados em cada rota, a duração tabu também foi fixada em 5 iterações, de um total de 10 iterações realizadas, sendo esse o critério de parada.

Na Tabela 5.7 são apresentados os resultados obtidos com os experimentos computacionais realizados. A coluna com o nome ‘CPLEX’ corresponde à melhor solução inteira obtida pelo software após 30 minutos de processamento, para o problema, considerando somente um tipo de veículo, o veículo maior (carreta). Na coluna ‘CPLEX GAP (%)’ é apresentado o gap do CPLEX no momento da interrupção do processamento. Os resultados da busca tabu são apresentados na coluna ‘Tabu’. A coluna ‘Desvio Tabu (%)’, refere-se à diferença percentual obtida ao se comparar as soluções obtidas com o CPLEX e com a busca tabu, calculada como:

$$Desvio\ Tabu\ (\%) = \frac{(Tabu - CPLEX)}{CPLEX} \times 100.$$

Essa comparação só pôde ser realizada com os problemas resolvidos com somente um único tipo de veículo (carreta), dado que o CPLEX não conseguiu obter nenhuma solução inteira para os problemas com dois tipos de veículos (truck e carreta), mesmo após um período de tempo 36 vezes maior que o máximo definido, ou seja, 18 horas de processamento. As soluções obtidas com a busca tabu para o problema com dois tipos de veículo (truck e carreta) são apresentadas na última coluna da tabela, com o título ‘Tabu?’.

Tabela 5.7: Resultados obtidos – Patrus Transportes

Mês	CPLEX ¹	CPLEX GAP (%) ¹	Tabu ¹	Desvio Tabu (%) ¹	Tabu ²
JAN	51.241,4	22,2%	47.678,4	-7,0%	44.908,2
FEV	48.214,6	22,3%	46.999,4	-2,5%	42.790,0
MAR	50.591,8	17,8%	49.193,2	-2,8%	47.768,8
ABR	56.277,2	24,8%	49.648,2	-11,8%	49.329,0
MAI	54.451,6	18,5%	53.422,6	-1,9%	51.408,6
JUN	54.093,2	18,9%	52.348,8	-3,2%	50.483,2
JUL	54.385,8	22,0%	51.371,6	-5,5%	50.573,0
AGO	55.281,8	19,3%	54.733,0	-1,0%	53.030,2
SET	59.563,0	23,0%	57.120,4	-4,1%	54.262,2
OUT	61.901,0	19,5%	59.788,4	-3,4%	58.642,4
NOV	65.699,2	23,6%	61.663,0	-6,1%	63.092,4
DEZ	60.303,6	22,9%	56.998,2	-5,5%	56.020,6

Analisando os resultados obtidos apresentados na Tabela 5.7, é possível verificar que a busca tabu foi capaz de obter as melhores soluções em todos os problemas, obtendo um desvio percentual médio, em relação às melhores soluções obtidas através do CPLEX, de -4,6%, tendo como desvio mínimo de -1,0% com o problema do mês de agosto, e máximo de -11,8% no problema de mês de abril. A comparação de forma gráfica das soluções obtidas com o CPLEX e com a busca tabu, para um único tipo de veículo (carreta), é apresentada na Figura 5.16.

As soluções obtidas com o CPLEX, mesmo para somente um único tipo de veículo, apresentaram um *gap* médio de 21,2%, confirmando a dificuldade de se resolver esta classe de problemas. Verificou-se também que, mesmo após 18 horas de processamento, o *gap* estava ainda acima de 15%. Como relatado anteriormente, para a instância correspondente ao mês de janeiro, após 18 horas de processamento, o *gap* estava em 17,61%.

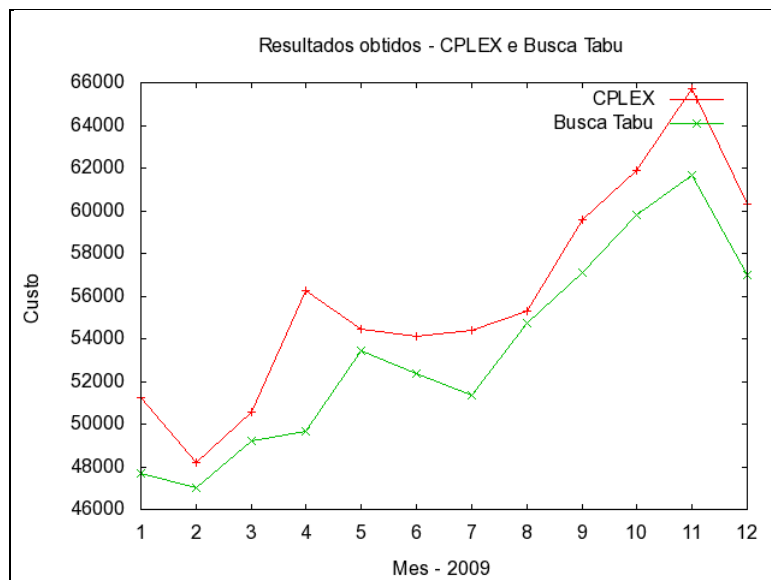


Figura 5.16: Resultados obtidos para um único tipo de veículo

5.5 CONCLUSÕES DO CAPÍTULO

Esse capítulo tratou do problema de carregamento de carga parcelada em uma rede de transporte do tipo *hub-and-spoke*. Foi proposto um modelo matemático para representar o problema, que foi inspirado em uma formulação apresentada para um problema similar conhecido na literatura como *network loading problem*, que trata especificamente da modelagem de problemas de configuração de redes de telecomunicações.

O modelo matemático proposto para representar o problema possui somente variáveis binárias e inteiras, dificultando a utilização de métodos exatos tradicionais, como pacotes comerciais de otimização, para sua solução. Com isso foi desenvolvida uma heurística baseada em busca tabu visando à obtenção de soluções de forma rápida e eficiente para o problema.

Foram realizados experimentos computacionais utilizando dados de um ano de operação de uma empresa transportadora de carga parcelada no Brasil chamada Patrus Transportes Urgentes Ltda. Os dados fornecidos resultaram em 12

problemas, que foram resolvidos tanto utilizando o pacote comercial CPLEX (versão 9.1), como também com a heurística busca tabu proposta.

Os resultados obtidos com os experimentos computacionais evidenciaram a dificuldade de se obter soluções de qualidade, em um tempo de processamento aceitável, para esta classe de problemas. Com isso, o tempo de processamento foi limitado em 30 minutos, tanto para o CPLEX como para a busca tabu, sendo condizente com a expectativa da Patrus Transportes, que pretende não só utilizar o modelo como uma ferramenta de planejamento tático, mas também diariamente avaliar possíveis modificações nas rotas a serem operadas em cada terminal, adicionando e/ou excluindo novas rotas, ou ajustando o tipo de veículo adequado para cada rota, de acordo com o volume de cargas no dia.

A busca tabu foi capaz de obter as melhores soluções em todos os problemas resolvidos, obtendo em média uma solução final 4,6% melhor ao se comparar com os resultados obtidos utilizando o CPLEX, mostrando ser uma alternativa interessante para solução desta classe de problemas, sendo simples de ser implementada computacionalmente, não necessitando de calibrações específicas de parâmetros para a obtenção de soluções de boa qualidade.

É importante destacar ainda que, para o caso especial em que são tratados mais de um tipo de veículo para a operação, no estudo de caso veículos do tipo truck e carreta, o CPLEX, mesmo após 18 horas de processamento, não pôde obter nenhuma solução inteira para nenhuma das 12 instâncias aqui estudadas.

Um ponto importante a ressaltar é que o problema do dimensionamento da quantidade e tipo de veículos utilizados em cada rota, modelados como o problema conhecido na literatura como BPP, por si só já é um problema complexo e o esforço para sua solução poderia ser um objeto de pesquisa.

6 CONCLUSÕES E RECOMENDAÇÕES

Esta pesquisa foi centrada no projeto de redes de distribuição de carga parcelada. Mais especificamente foram tratados dois tipos de problemas que são comuns no planejamento desse tipo de sistema. O primeiro deles corresponde ao problema estratégico de configuração de redes do tipo *hub-and-spoke*, consistindo na definição simultânea da quantidade e localização de terminais para consolidação de carga (ou *hubs*), e na definição da alocação dos terminais aos *hubs* localizados. Uma vez determinada a configuração da rede, o segundo problema, no nível de decisão tático, corresponde na definição do caminho que cada carga parcelada deve percorrer desde sua origem até alcançar seu terminal de destino, a um mínimo custo, tendo a rede *hub-and-spoke* como um dado de entrada do problema.

A configuração da rede tratada na presente pesquisa considerou *hubs* não capacitados com alocação única, tendo sido propostas quatro heurísticas para sua solução, cujos experimentos computacionais proporcionaram resultados que superaram todos os métodos já desenvolvidos e apresentados na literatura. Foi ainda proposto um novo modelo matemático para representar o problema, permitindo a obtenção da solução ótima para instâncias com redes de até 100 terminais.

Já em nível de decisão tático, o estudo foi centrado na definição do fluxo (percurso ou caminho) que cada carga deve percorrer até chegar ao seu destino, tendo como dado de entrada uma rede de transporte do tipo *hub-and-spoke* com as possíveis ligações entre terminais já pré-definidas. Dado um conjunto de cargas a serem transportadas, deseja-se, portanto decidir como estas cargas serão movimentadas nesta rede, definindo as possíveis paradas intermediárias, e também o dimensionamento da frota de veículos necessários para cada rota a ser operada.

Esse problema é de grande importância prática, pois o objetivo consiste em definir diferentes formas de consolidação e as rotas a serem operadas, tentando acompanhar a variação na demanda por transporte de carga parcelada, sendo comum no Brasil, em certas semanas do mês, e em certos meses do ano.

As contribuições desse trabalho podem ser sumarizadas no que diz respeito à (i) modelagem matemática proposta para os problemas tratados, (ii) no desenvolvimento de métodos de solução eficientes, e (iii) aplicação prática dos métodos de solução propostos para tentar verificar a aderência dos modelos matemáticos e métodos de solução desenvolvidos com problemas reais de empresas transportadoras de carga parcelada no Brasil.

6.1 CONCLUSÕES GERAIS

Para o problema estratégico de configuração de redes do tipo *hub-and-spoke*, foi proposto um novo modelo matemático para representar o problema reduzindo tanto a quantidade de variáveis como de restrições, permitindo reportar pela primeira vez a solução ótima para problemas gerados utilizando conjuntos de dados comumente utilizados na literatura como *benchmark*, conhecidos como CAB (*Civil Aeronautics Board*) e AP (*Australian Post*).

Todos os problemas do CAB (80 problemas), e do AP (12 problemas) com até 100 nós, puderam ser resolvidos até a otimalidade, em um razoável tempo de processamento, sendo esta pesquisa a primeira abordagem de sucesso na obtenção de soluções ótimas para o USAHLP utilizando métodos exatos. Foram também geradas instâncias de grande porte e modificadas partindo-se do conjunto de dados AP, com custos fixos menores, sendo intrinsecamente mais difíceis de serem resolvidos, dada a maior quantidade de *hubs* presente na solução final.

Quatro heurísticas foram propostas para solução do problema estratégico de configuração de uma rede do tipo *hub-and-spoke*, Três delas baseadas em uma estratégia multi-início para a definição da quantidade e localização de *hubs*, nomeadas MSTS, e a busca tabu para a definição da alocação de cada terminal da rede aos *hubs* localizados. A última heurística desenvolvida foi baseada exclusivamente na utilização da busca tabu, denominada neste trabalho de HubTS, que foi utilizada tanto para a definição da quantidade e localização de *hubs*, como também na solução do problema de alocação dos terminais aos *hubs*.

Tanto a heurística MSTS (nas suas três variantes), como também a heurística HubTS, se mostraram eficientes para solução do problema, obtendo a solução ótima em todos os problemas testados, possuindo mecanismos simples e fáceis de serem implementadas, e ainda robustas no que diz respeito à qualidade das soluções obtidas, evidenciado pelos experimentos computacionais realizados, não necessitando de calibrações específicas de parâmetros para obtenção de soluções de qualidade.

Em nível de decisão tático, a pesquisa foi centrada no problema de carregamento de cargas parceladas em uma rede de transporte do tipo *hub-and-spoke*. O modelo matemático proposto foi derivado da representação matemática de um problema conhecido na literatura como *network loading problem* (NLP), que trata especificamente do problema de configuração de redes de telecomunicações.

A maior contribuição relativa ao modelo matemático foi justamente a abordagem inédita utilizada para representar o problema. Contudo, esse modelo possui somente variáveis binárias e inteiras, dificultando a utilização de métodos exatos tradicionais, como pacotes comerciais de otimização, para a solução de problemas de tamanho comparável aos encontrados na prática. Com isso, foi desenvolvido um método de solução utilizando a metaheurística busca tabu.

A busca tabu foi utilizada tanto na definição das rotas a serem operadas, como também na quantidade e tipo de veículos utilizados em cada percurso. O problema do dimensionamento da quantidade de veículos utilizados em cada rota na heurística proposta para solução foi modelado como um problema conhecido na literatura com o nome de *bin packing problem* (BPP), sendo por si só muito difícil de ser resolvido.

Os experimentos computacionais realizados consistiram em se resolver o problema tático de carregamento de cargas parceladas tanto utilizando a busca tabu, como também o pacote de otimização CPLEX. Os problemas estudados foram gerados utilizando dados reais fornecidos por uma empresa transportadora de carga parcelada no Brasil pelo modal rodoviário. Dada a dificuldade para a obtenção de

soluções ótimas para o problema de tamanho igual ao encontrado na prática, o tempo de processamento tanto para a busca tabu, como também para o CPLEX, foi limitado em 30 minutos. Assim, a busca tabu foi capaz de obter as melhores soluções em todos os problemas resolvidos, mostrando ser uma alternativa interessante para solução desta classe de problemas, sendo também simples de ser implementada computacionalmente, não necessitando de calibrações específicas de parâmetros para a obtenção de soluções.

6.2 SUGESTÕES PARA ESTUDOS FUTUROS

Dada a natureza das heurísticas multi-início propostas para solução do problema estratégico de configuração de redes do tipo *hub-and-spoke*, uma implementação paralela, seja utilizando arquiteturas de memória distribuída ou compartilhada, seria muito interessante para reduzir o tempo de processamento necessário para solução de problemas de grande porte.

Uma possibilidade também promissora seria definir um limitante inferior para determinar a quantidade de *hubs* a serem localizados, sendo esta alternativa especialmente útil para a heurística HubTS, evitando iniciar a busca com somente um único *hub*.

Finalmente, seria interessante alternativamente investigar também a aplicação das heurísticas desenvolvidas para outras variantes do problema de configuração de redes *hub-and-spoke*, como por exemplo, o problema que possui restrições de capacidade no que diz respeito à quantidade de carga classificada nos *hubs*, e ainda o problema que permite alocação múltipla, ou seja, um terminal não-*hub* alocado a mais de um *hub*.

Já para o problema tático de carregamento de cargas parceladas em uma rede de transporte, uma tarefa imediata seria definir uma forma mais precisa de se avaliar e validar a heurística proposta para solução do problema, talvez utilizando diferentes conjuntos de dados para testes, incluindo talvez instâncias de menor porte.

Outra possibilidade seria também o desenvolvimento de métodos alternativos para solução do problema, como por exemplo, heurísticas baseadas em algoritmos evolucionários, busca em vizinhança variável e de grande porte, heurísticas híbridas, dentre outras.

REFERÊNCIAS

ABDINNOUR-HELM, S. A hybrid heuristic for the uncapacitated hub location problem. **European Journal of Operations Research**, v.106, p.489-499, 1998.

_____. Using simulated annealing to solve the p-hub median problem. **International Journal of Physical Distribution & Logistics Management**, v. 31 (3), p. 203–220, 2001.

ABDINNOUR-HELM, S., VENKATARAMANAN, M.A., Solution approaches to hub location problems. **Annals of Operations Research**, v. 78, p. 31–50, 1998.

ALAMO, J.A.T. **Modelagem para a localização de hubs no transporte de encomendas expressas**. 2005. Dissertação (Mestrado) – Escola Politécnica da Universidade de São Paulo, São Paulo, 2005.

ALTIN, A.; YAMAN, H.; PINAR, M.C. **A Hybrid Polyhedral Uncertainty Model for The Robust Network Loading Problem**, April 2009, forthcoming in *Performance Models and Risk Management in Communication Systems*, Gulpinar, Harrison and Rustem (Eds.), Springer-Verlag, 2010.

ALUMUR, S.; KARA, B.Y. Network hub location problems: The state of the art. **European Journal of Operational Research**, v. 190, p. 1-21, 2008.

ARMACOST, A.P.; BARNHART, C.; WARE, K.A. Composite variable formulations for express shipment service network design. **Transportation Science**, v. 36(1), p. 1-20, 2002.

AVELLA, P.; MATTIA, S.; SASSANO, A. Metric inequalities and the network loading problem. **Discrete Optimization**, v. 4, p. 103-114, 2007.

AYKIN, T., Lagrangean relaxation based approaches to capacitated hub-and-spoke network design problem. **European Journal of Operational Research**, v. 79 (3), 501–523, 1994.

_____. Network policies for hub-and-spoke systems with application to the air transportation system. **Transportation Science**, v. 29(3), 1995.

_____. On the location of hub facilities. **Transportation Science**, v. 22 (2), p. 155–157, 1988.

AYKIN, T., BROWN, G.F., Interacting new facilities and location-allocation problem. **Transportation Science**, v. 26 (3), 212–222, 1992.

BABONNEAU, F.; VIAL, J.-P. A partitioning algorithm for the network loading problem. **European Journal of Operational Research**, v. 204, p. 173-179, 2010.

BALLOU, R.H. **Business logistics management: planning, organizing and controlling the supply chain**. N.J.: Prentice-Hall, 1999, 681p.

BARAHONA, F. Network design using cut inequalities, **SIAM Journal of Optimization**, v. 6(3), p. 823-837, 1996.

BARNHART, C.; JIN, H.; VANCE, P.H. Railroad blocking: a network design application. **Operations Research**, v. 48(4), p. 603-614, 2000.

BARNHART, C.; SCHNEUR, R.R. Air network design for express shipment service. **Operations Research**, v. 44, p. 852-863, 1996.

BARTOLINI, E.; MINGOZZI, A. Algorithms for the non-bifurcated network design problem. **Journal of Heuristics**, v. 15, p. 259-281, 2009.

BATTITI, R.; TECCHIOLLI, G. The reactive tabu search. **ORSA Journal on Computing**, v. 6(2), p. 126-140, 1994.

BAUMGARTNER, S., **Polyhedral analysis of hub center problems**. Diploma thesis, Universität Kaiserslautern, 2003.

BEASLEY, J. E. OR-library: distributing test problems by electronic mail. **Journal of the Operational Research**, v. 41, p. 1069-1072, 1990.

BENATTI, F. Dificuldades operacionais e necessidades de investimentos exigem reajuste imediato de 18% no frete, **NTC&Logística**, 5 fev. 2010. Disponível em: < http://www.ntcelogistica.org.br/noticias/materia_completa.asp?CodNoti=38847>, Acesso em 10 fev. 2010.

BERGER, D.; GENDRON, B.; POTVIN, J-Y, RAGHAVAN, S.; SORIANO, P. Tabu search for a network loading problem with multiple facilities. **Journal of Heuristics**, v. 6, p. 253-267, 2000.

BIENSTOCK, D.; GÜNLÜK, O. Computational experience with a difficult mixed-integer multicommodity flow problem. **Mathematical Programming**, v. 68(2), p. 213-237, 1995.

_____. Capacitated Network Design – polyhedral structure and computation. **INFORMS Journal on Computing**, v.8(3), p. 243-259, 1996.

BOLAND, N.; KRISHNAMOORTHY, M., ERNST, A.T.; EBERY, J. Preprocessing and cutting for multiple allocation hub location problems. **European Journal of Operational Research**, v. 155 (3), p. 638–653, 2004.

BRAKLOW, J.W.; GRAHAM, W. W.; HASSLER, S. M.; PECK, K. E.; POWELL, W. B. Interactive optimization improves service and performance for Yellow Freight Systems. **Interfaces**, v. 22(1), p. 147-172, 1992.

BRANDEAU, M.L.; CHIU, S.S. An overview of representative problems in location research. **Management Science**, 1989, p.645-667.

CALIK, H.; ALUMUR, S.A.; KARA, B.Y.; KARASAN, O.E. A tabu search based heuristic for the hub covering problem over incomplete hub networks. **Computers & Operations Research**, v. 36, p. 3088-3096, 2009.

CAMPBELL, J. F., Locating transportation terminals to serve an expanding demand. **Transportation Research B**, v. 24 (3), p. 173–192, 1990.

_____. Location and allocation for distribution systems with transshipments and transportation economies of scale. **Annals of Operations Research**, v. 40, p. 77–99, 1992.

_____. A survey of network hub location. **Studies in Locational Analysis**, v. 6, p. 31–49, 1994.

_____. Hub location problem and the p-hub median problem. **Operations Research**, v.44, p.923-936, 1996.

CAMPBELL, A.M., LOWE, T.J., ZHANG, L., 2007. The p-hub center allocation problem. **European Journal of Operational Research**, v. 176 (2), p. 819–835, 2007.

CÁNOVAS, L.; GARCÍA, S.; MARÍN, A. Solving the uncapacitated multiple allocation hub location problem by means of a dual-ascent technique. **European Journal of Operational Research**, v. 179, p. 990–1007, 2007.

CHAN, Y.; PONDER, R.J. The small package air freight industry in the United States: A review of the federal express experience, **Transportation Research Part A: General**, v. 13, n. 4, p. 221-229, Agosto, 1979.

CHEN, J.F., A hybrid heuristic for the uncapacitated single allocation hub location problem. **Omega**, 35, p. 211–220, 2007.

CORDEAU, J., TOTH, P., and VIGO, D. A Survey of Optimization Models for Train Routing and Scheduling. **Transportation Science**, V. 32(4), p. 380-404, 1998.

COSTA, M.G.; CAPTIVO, M.E.; CLÍMACO, J. Capacitated single allocation hub location problem – A bi-criteria approach. **Computers & Operations Research**, v. 35, p. 3671-3695, 2008.

CRAINIC, T.G. **A survey of optimization models for long-haul freight transportation**. Quebec: Département des sciences administratives, Université du Québec à Montreal, 1998.

_____. Service network design in freight transportation, **European Journal of Operational Research**, v. 122, p. 272-288, 2000.

CRAINIC, T.G.; FERLAND, J.A.; ROUSSEAU, J.M. A tactical planning model for rail freight transportation. **Transportation Science**, v. 18(2), p. 165-184, 1984.

CRAINIC, T.G.; ROUSSEAU, J.M. Multicommodity, multimode freight transportation: a general modeling and algorithmic framework. **Transportation Research Part B: Methodological**, v. 20, p. 225-242, 1986.

CRAINIC, T.G.; ROY, J. O.R. tools for tactical freight transportation planning. **European Journal of Operational Research**, v. 33(3), p. 209-297, 1988.

CUNHA, C.B. **Contribuição à modelagem de problemas de logística e transportes**. 2006. 315p. Tese (Livre Docência) – Escola Politécnica, Universidade de São Paulo. São Paulo, 2006.

CUNHA, C.B., SILVA, M.R., A genetic algorithm for the problem of configuring a hub-and-spoke network for a LTL trucking company in Brazil. **European Journal of Operational Research**, v. 179, p. 747–758, 2007.

DEJAX, P.J.; CRAINIC, T.G. A review of empty flows and fleet management models in freight transportation, **Transportation Science**, v. 21(4), p. 227-247, 1987.

DELL'AMICO, M.; LODI, A; MAFFIOLI, F. Solution of the cumulative assignment problem with a well-structured tabu search method. **Journal of Heuristics**, v. 5, p. 123-143, 1999.

EBERY, J. et al. The capacitated multiple allocation hub location problem: formulations and algorithms. **European Journal of Operations Research**, n. 120, 2000, p.614-631.

EBERY, J., KRISHNAMOORTHY, M., ERNST, A., BOLAND, N., The capacitated multiple allocation hub location problem: Formulations and algorithms. **European Journal of Operational Research**, v. 120, p. 614–631, 2000.

ERNST, A., HAMACHER, H., JIANG, H., KRISHNAMOORTHY, M., WOEGINGER, G., Heuristic algorithms for the uncapacitated hub Center single allocation problem. **Unpublished Report, CSIRO Mathematical and Information Sciences**, Australia, 2002.

ERNST, A.T., JIANG, H., KRISHNAMOORTHY, M., Reformulations and computational results for uncapacitated single and multiple allocation hub covering problems. **Unpublished Report, CSIRO Mathematical and Information Sciences**, Australia, 2005.

ERNST, A. T.; KRISHNAMOORTHY, M. Efficient algorithms for the uncapacitated single allocation p-hub median problem. **Location Science**, v.24, n. 104, p.139-154, 1996.

_____. Exact and heuristic algorithms for the uncapacitated multiple allocation p-hub median problem. **European Journal of Operational Research**, v. 104, p. 100–112, 1998a.

_____. Exact and heuristic algorithms for the uncapacitated multiple allocation p-hub median problem. **European Journal of Operations Research**, n.104, p.100-112, 1998b.

_____. Solution algorithms for the capacitated single allocation hub location problem. **Annals of Operations Research**, v. 86, p. 141–159, 1999.

FOURER, R.; GAY, D.; KERNIGHAN, B. W. A Modeling Language for Mathematical Programming. **Management Science**, v. 36, p. 519-554, 1990.

GALLO, G.; PALLOTTINO, S. Shortest path algorithms **Annals of Operations Research** 13, p.3-79,1988.

GAREY, M.R. e JOHNSON, D.S. **Computers and Intractability: A Guide to the Theory of NP-Completeness**. New York, NY: W. H. Freeman e Co, 1979.

GAVRILIOUK, E.O., HAMACHER, H.W., **Aggregation for hub location problems**. Working paper. Department of Mathematics, University of Kaiserslautern, Gottlieb-Daimler-Strasse, 67663 Kaiserslautern, Germany, 2006.

GENDRON, B.; POTVIN, J-Y; SORIANO, P. Diversification strategies in local search for a nonbifurcated network loading problem. **European Journal of Operational Research**, v. 142, p. 231-241, 2002.

GLOVER, F. Future paths for integer programming and links to artificial intelligence. **Computers & Operations Research**, v. 13, p. 533–49, 1986.

_____. Tabu search. Part i. **ORSA Journal on Computing**, v. 1, p. 1-190, 1989.

GOLDMAN, A.J., Optimal location for centers in a network. **Transportation Science**, v. 3, 352–360, 1969.

GRÜNERT, T.; SEBASTIAN, H.J. Planning models for long-haul operations of postal and express shipment companies, **European Journal of Operational Research**, v. 122, p. 289-309, 2000.

GUALDA, N.D.F **Terminais de transportes: contribuição ao planejamento e ao dimensionamento operacional**. 1995. 277p. Tese (Livre Docência) – Escola Politécnica, Universidade de São Paulo. São Paulo.

HAKIMI, S. Optimal location of switching centers and the absolute centers and medians of a graph. **Operations Research**, v. 12, p.450-559, 1964.

HAMACHER, H.W., LABBÉ, M., NICKEL, S., SONNEBORN, T. Adapting polyhedral properties from facility to hub location problems. **Discrete Applied Mathematics**, v. 145 (1), p. 104–116, 2004.

HAMACHER, H.W., MEYER, T., **Hub cover and hub center problems**. Working paper. Department of Mathematics, University of Kaiserslautern, Gottlieb-Daimler-Strasse, 67663 Kaiserslautern, Germany, 2006.

HAMAD, R. **Modelo para localização de instalações em escala global envolvendo vários elos da cadeia logística**. 2006. 62p. Dissertação (Mestrado) – Escola Politécnica da Universidade de São Paulo, São Paulo, 2004.

HELLMUTH, B.R. **Uma contribuição ao estudo do planejamento de transporte rodoviário de cargas fracionadas**. 2004. 199p. Dissertação (Mestrado) – Escola Politécnica da Universidade de São Paulo, São Paulo, 2004.

KARA, B.Y., TANSEL, B.C., On the single-assignment p-hub center problem. **European Journal of Operational Research**, v. 125, p. 648–655, 2000.

_____. The single-assignment hub covering problem: Models and linearizations. **Journal of the Operational Research Society**, v. 54, p. 59–64, 2003.

KAWAMURA, K. Commercial vehicle value of time and perceived benefit of congestion pricing. 1999. 107p. Tese (Doutorado) – University of California – Berkley.

KIM, D.; BARNHART, C.; WARE, K.; REINHARDT, G. Multimodal express package delivery: a service network design application. **Transportation Science**, v. 33(4), p. 391-407, 1999.

KLINCEWICZ, J.G. Heuristics for the p-hub location problem. **European Journal of Operations Research**, n.53, p.25-37, 1991.

_____. Avoiding local optima in the p-hub location problem using tabu search and GRASP. **Annals of Operations Research**, n.40, p.283-302, 1992.

_____. A dual algorithm for the uncapacitated hub location problem. **Location Science**, v.4, p.173-184, 1996.

KUBY, M.J.; GRAY, R.G., The hub network design problem with stopovers and feeders: The case of Federal Express. **Transportation Research A**, v. 27 (1), p. 1–12, 1993.

LABBÉ, M., YAMAN, H., Projecting flow variables for hub location problems. **Networks**, v. 44 (2), p. 84–93, 2004.

LABBÉ, M., YAMAN, H., GOURDIN, E. A branch-and-cut algorithm for the hub location problems with single assignment. **Mathematical Programming**, v. 102, p. 371–405, 2005.

LARSON, R.; ODoni, A. **Urban operations research**. Englewood Cliffs, N.J.: Prentice-Hall, 1981.

MACHADO, S. B. **Estratégias de atendimento em redes logísticas e dimensionamento de terminais**. 1989. 139p. Dissertação (Mestrado) – Escola Politécnica da Universidade de São Paulo, Departamento de Engenharia de Transportes, São Paulo, 1989.

MAGNANTI, T.L.; MIRCHANDANI, P.; VACHANI, R. The convex hull of two core capacitated network design problems. **Mathematical Programming**, v. 26(2), p. 233-250, 1993.

_____. Modeling and solving the two-facility capacitated network loading problem. **Operations Research**, v. 43(1), p. 142-157, 1995.

MARÍN, A. Formulating and solving splittable capacitated multiple allocation hub location problems. **Computers & Operations Research**, v. 32 (12), p. 3093–3109, 2005.

MARÍN, A; CÁNOVAS, L; LANDETE, M. New formulations for the uncapacitated multiple allocation hub location problem. **European Journal of Operational Research**, v. 172 (1), p. 274–292, 2006.

MARTÍ, R. Multi-start methods. In: Glover F, Kochenberger G, editors. **Handbook of metaheuristics. International series in operations research and management science**, vol. 57. Dordrecht: Kluwer Academic Publishers, p. 321–53, 2002.

MARTÍ, R; VEJA, M. M. Multistart methods. **Inteligencia Artificial**, v. 19, p. 49–60, 2003.

MATSUMOTO, M; NISHIMURA, T. Mersenne twister: a 623-dimensionally equidistributed uniform pseudo-random number generator. **ACM Transactions on Modeling and Computer Simulation**, v. 8(1), p. 3–30, 1998.

MAYER, G.; WAGNER, B. Hublocator: an exact solution method for the multiple allocation hub location problem. **Computers & Operations Research**, n.29, p.715-739, 2002.

METROPOLIS, N.; ROSENBLUTH, A.W.; ROSENBLUTH, M.N.; TELLER, A.H.; TELLER, E. Equation of state calculation by fast computer machines. **Journal of Chemical Physics**, n.20, 1953.

MEYER, T.; ERNST, A.T.; KRISHNAMOORTHY, M. A 2-phase algorithm for solving the single allocation p-hub center problem. **Computers & Operations Research**, v. 36, p. 3143-3151, 2009.

MIRCHANDANI, P. Projections of the capacitated network loading problem. **European Journal of Operational Research**, v. 122(3), p. 534-560, 2000.

MUTARELLI, F. **Modelagem de redes de distribuição aplicada ao caso de uma editora de revistas**. 2004. 108p. Dissertação (Mestrado) – Escola Politécnica da Universidade de São Paulo, Departamento de Engenharia de Transportes, São Paulo, 2004.

NOVAES, A.G. **Sistemas logísticos: transporte, armazenagem, e distribuição física de produtos**. São Paulo: Edgard Blücher Ltda., 1989, 372p.

O'KELLY, M.E., The location of interacting hub facilities. **Transportation Science**, 20 (2), 92–105, 1986.

_____. A quadratic integer program for the location of interacting hub facilities. **European Journal of Operations Research**, n. 32, p.393-404, 1987.

_____. Hub facility location with fixed costs. **The Journal of the Regional Science Association International**, n.71, v.3, p.293-306, 1992.

O'KELLY, M. E.; MILLER, H. J. Solution strategies for the single facility minimax hub location problem. **Papers in Regional Science**, v. 70 (4), p. 367–380, 1991.

PAMUK, F.S., SEPIL, C., A solution to the hub center problem via a single-relocation algorithm with tabu search. **IIE Transactions**, v. 33 (5), p. 399–411, 2001.

PIRES, T. **Configuração de uma rede de distribuição capacitada com restrição de cobertura**. 2006. 111p. Dissertação (Mestrado) – Escola Politécnica da Universidade de São Paulo, São Paulo, 2006.

PIRKUL, H.; SCHILLING, D. A. An efficient procedure for designing single allocation hub and spoke systems. **Management Science**, v. 44 (12), p. 235-242, 1998.

POWELL, W. B. A local improvement heuristic for the design of less-than-truckload motor carrier networks, **Transportation Science**, v. 20 (4), 246-357, 1986.

POWELL, W.B.; JAILLET, P.; ODoni, A. **Stochastic and dynamic networks and routing**, Handbook in Operations Research and Management Science, Networks, v. 4, (M.O. Ball, T.L. Magnanti, C.L. Monma e G.L. Nemhauser, eds.), p. 141-295, 1995.

POWELL, W.B.; SHEFFI, Y. The load-planning problem of motor carriers: problem description and a proposed solution approach, **Transportation Research A: Policy and Practice**, v. 17(6), p. 471-480, 1983.

_____. Design and implementation of an interactive optimization system for the network design in the motor carrier industry, **Operations Research**, v. 37(1), p. 12-29, 1989.

RARDIN, R.L.; WOLSEY, L.A. Valid Inequalities and Projecting the Multicommodity Extended Formulation for Uncapacitated Fixed Charge Network Flow Problems, **European Journal of Operational Research**, v. 71, p. 95-109, 1993.

ROMERO, B.C. **Análise da localização de plataformas logísticas: aplicação ao caso do ETSP – Entrepasto do Terminal São Paulo – da CEAGESP.** 2006. 144p. Dissertação (Mestrado) – Escola Politécnica da Universidade de São Paulo, São Paulo, 2006.

SASAKI, M., FUKUSHIMA, M., On the hub-and-spoke model with arc capacity constraints. **Journal of the Operations Research Society of Japan**, v. 46 (4), p. 409–428, 2003.

SASAKI, M.; SUZUKI, A.; DREZNER, Z. On the selection of hub airports for an airline hub-and-spoke system. **Computers & Operations Research**, n.26, p.1411-1422, 1999.

SILVA, M.R. **Uma contribuição ao problema de localização de terminais de consolidação no transporte de carga parcelada.** 2004. 85p. Dissertação (Mestrado) – Escola Politécnica da Universidade de São Paulo, Departamento de Engenharia de Transportes, São Paulo, 2004.

SINGLETON, R. C. (1969) An efficient algorithm for sorting with minimal storage: Algorithm 347. **Communications of the ACM 12**, p. 185–187, 1969.

SKORIN-KAPOV, D.; SKORIN-KAPOV, J. On tabu search for the location of interacting hub facilities. **European Journal of Operations Research**, n.73, p.502-509, 1994.

SKORIN-KAPOV, D.; SKORIN-KAPOV, J.; O'KELLY, M. Tight linear programming relaxations of uncapacitated p-hub median problem. **European Journal of Operations Research**, n.94, p.582-593, 1996.

SOHN, J.; PARK, S., A linear program for the two-hub location problem. **European Journal of Operational Research**, v. 100 (3), p. 617–622, 1997.

_____. Efficient solution procedure and reduced size formulations for p-hub location problems. **European Journal of Operations Research**, n.108, p.118-126, 1998.

_____. The single allocation problem in the interacting three-hub network. **Networks**, v. 35 (1), p. 17–25, 2000.

STARR, R. M.; STINCHCOMBE, M. B. Efficient transportation planning and natural monopoly in the airline industry: An economic analysis of hub-spoke and related systems. Discussion Paper 92-25, University of California, San Diego, Department of Economics, 1992.

STECCO, G.; CORDEAU, J-F.; MORETTI, E. A tabu search heuristic for a sequence-dependent and time-dependent scheduling problem on a single machine. **Journal of Scheduling**, v. 12 (1), p. 3-16, 2009.

TEYPAZ, N.; SCHRENK, S.; CUNG, V.-D. A decomposition scheme for large-scale service network design with asset management, **Transportation Research Part E**, v. 46, p. 156-170, 2010.

TONDO, C.M. **Um modelo matemático para a localização estratégica de terminais de contêineres no interior: aplicação ao estado de São Paulo**. 1992. Tese (Doutorado) – Escola Politécnica, Universidade de São Paulo. São Paulo, 1992.

TOPCUOGLU, H., CORUT, F., ERMIS, M., YILMAZ, G., Solving the uncapacitated hub location problem using genetic algorithms. **Computers & Operations Research**, v. 32 (4), p. 967–984, 2005.

VALLIN FILHO, A.R.A. **U**Localização de centros de distribuição de carga: contribuições a modelagem matemática. 2004. Tese (Doutorado) – Escola Politécnica, Universidade de São Paulo. São Paulo, 2004.

WAGNER, B. **Model formulations for hub covering problems**. Working paper, Institute of Operations Research, Darmstadt University of Technology, Hochschulstrasse 1, 64289 Darmstadt, Germany, 2004.

WIEBERNEIT, N. Service network design for freight transportation: a review, **OR Spectrum**, v. 30, p. 77-112, 2008.

APÊNDICE A – DADOS UTILIZADOS PARA O ESTUDO DE CASO PATRUS TRANSPORTES

Neste apêndice são apresentados os dados fornecidos pela empresa Patrus Transportes Urgentes Ltda., para os experimentos computacionais relativos ao problema tático de carregamento de cargas parceladas em uma rede *hub-and-spoke*.

Os dados fornecidos foram manipulados apropriadamente e resultou em 12 instâncias, uma para cada mês do ano, contendo o valor médio diário do peso das cargas transportadas.

Por solicitação da Patrus Transportes, a localidade de cada terminal foi preservada, sendo substituída por um número seqüencial de 1 até a quantidade de terminais de cada problema.

As 12 instâncias aqui apresentadas estão representadas na linguagem algébrica AMPL. A notação utilizada para representar os conjuntos, parâmetros e variáveis de decisão do modelo matemático, bem como os resultados obtidos com os experimentos computacionais realizados, estão detalhados no Capítulo 5.

```
janeiro.dat
data;
param n := 51;
set T := truck carreta;
param U := truck 12000, carreta 24000;
param c := truck 1.0, carreta 1.4;
set V := 1 2 3 4 5 6 7 8 9 10 11 12 13 14 15 16 17 18 19 20 21 22 23 24 25 26 27 28
29 30 31 32 33 34 35 36 37 38 39 40 41 42 43 44 45 46 47 48 49 50 51 ;
set A := 43 24, 6 27, 43 29, 23 27, 21 49, 29 7, 21 46, 7 46, 29 18, 37 7, 15 37,
16 43, 16 15, 15 46, 7 42, 25 24, 36 7, 45 29, 15 19, 30 24, 18 21, 16 18, 6 36, 23
20, 31 27, 7 15, 7 50, 15 42, 15 40, 17 16, 17 27, 44 6, 32 21, 21 12, 19 36, 32 6,
23 47, 21 2, 30 15, 15 13, 20 27, 32 27, 29 39, 24 12, 30 19, 25 7, 17 15, 37 16,
15 29, 45 6, 16 9, 24 31, 5 16, 33 19, 29 29, 27 29, 21 11, 33 7, 21 51, 24 25, 49
27, 27 12, 36 23, 49 21, 15 2, 29 47, 44 7, 46 21, 27 39, 23 25, 19 43, 21 20, 24
23, 23 2, 27 15, 23 39, 19 23, 23 50, 23 21, 44 16, 20 16, 7 8, 24 21, 15 14, 15 7,
6 26, 19 16, 30 6, 27 16, 6 47, 49 29, 4 23, 31 24, 7 36, 21 23, 21 34, 19 8, 15
22, 21 25, 46 24, 16 31, 27 34, 15 3, 6 23, 7 12, 45 19, 47 15, 44 37, 33 29, 19
32, 49 24, 29 1, 6 50, 43 46, 7 2, 16 11, 23 31, 48 24, 16 10, 27 36, 7 3, 35 7, 18
23, 24 2, 12 7, 23 51, 6 8, 7 39, 6 1, 16 37, 48 6, 21 40, 43 23, 27 37, 27 33, 23
49, 31 15, 48 23, 7 41, 24 30, 29 6, 43 16, 15 20, 19 18, 21 1, 24 20, 7 29, 15 9,
47 16, 7 27, 44 29, 47 24, 15 23, 24 17, 21 10, 36 21, 2 15, 27 23, 24 24, 29 46,
33 16, 6 51, 7 21, 27 9, 29 35, 16 34, 2 49, 2 19, 44 15, 29 38, 29 10, 7 7, 24 13,
23 45, 29 27, 16 35, 24 10, 16 13, 19 2, 21 15, 29 51, 36 16, 37 23, 15 6, 15 47,
19 14, 16 8, 16 24, 15 25, 23 36, 31 21, 15 44, 12 29, 5 21, 15 11, 15 50, 21 27,
45 15, 29 28, 16 38, 48 29, 19 28, 21 42, 21 13, 48 21, 6 20, 16 42, 20 15, 16 19,
5 23, 29 23, 35 16, 29 34, 36 19, 27 49, 29 24, 7 51, 23 38, 27 3, 30 21, 24 29, 27
50, 19 22, 24 14, 16 27, 47 21, 4 27, 25 21, 6 28, 29 17, 33 27, 16 28, 15 27, 23
43, 49 16, 12 21, 24 37, 15 45, 15 49, 2 27, 5 19, 35 19, 48 19, 16 46, 30 27, 16
7, 24 1, 19 51, 6 32, 21 50, 6 10, 19 5, 6 19, 21 9, 27 19, 6 35, 21 19, 7 9, 16 1,
6 41, 19 11, 21 17, 6 14, 6 43, 29 22, 15 43, 23 3, 37 27, 27 2, 27 27, 29 11, 2
29, 30 23, 2 16, 37 29, 29 25, 15 41, 7 45, 16 33, 19 44, 25 6, 30 29, 15 38, 6 40,
7 23, 23 7, 21 7, 6 25, 24 32, 19 19, 6 42, 49 7, 12 24, 6 33, 44 21, 6 12, 23 5,
29 21, 7 38, 27 46, 15 8, 47 27, 16 22, 23 14, 16 5, 27 21, 31 7, 25 29, 46 6, 31
16, 29 16, 24 47, 15 31, 19 20, 6 7, 37 15, 16 25, 46 16, 29 32, 33 23, 24 28, 17
19, 23 10, 21 24, 6 29, 44 23, 30 16, 12 19, 23 15, 33 6, 17 7, 17 21, 15 1, 2 24,
12 27, 29 33, 32 23, 12 15, 29 37, 21 44, 49 23, 23 19, 27 45, 7 49, 25 15, 35 29,
23 8, 24 19, 15 15, 30 11, 44 27, 15 51, 27 17, 4 29, 16 50, 47 6, 15 10, 19 9, 43
19, 37 19, 24 7, 46 29, 7 19, 18 7, 43 7, 12 6, 32 24, 27 38, 16 29, 15 5, 21 30,
27 26, 32 15, 45 21, 16 49, 49 15, 29 19, 19 13, 32 19, 7 43, 49 19, 7 11, 24 42,
15 34, 16 20, 15 21, 29 3, 32 16, 21 38, 36 24, 19 46, 27 28, 21 5, 6 9, 29 36, 24
33, 23 12, 21 14, 16 26, 29 8, 45 24, 6 21, 5 7, 33 24, 49 6, 19 39, 46 7, 24 22, 5
6, 7 44, 23 37, 21 39, 25 27, 23 46, 19 7, 21 35, 32 7, 19 42, 25 23, 19 40, 36 30,
23 35, 30 7, 21 36, 29 43, 27 44, 7 28, 16 2, 19 47, 49 2, 7 5, 46 27, 24 16, 21 3,
19 25, 16 32, 48 27, 23 17, 30 36, 27 14, 7 24, 7 17, 48 7, 16 6, 19 30, 19 10, 21
43, 29 9, 29 2, 7 1, 19 38, 29 15, 16 12, 21 32, 7 10, 17 24, 25 16, 20 24, 15 36,
23 18, 15 26, 27 51, 7 35, 24 44, 21 6, 17 29, 19 29, 31 29, 47 19, 23 29, 20 6, 6
```

37, 23 26, 36 13, 27 11, 2 23, 7 18, 21 18, 19 24, 24 3, 19 35, 7 33, 27 20, 16 39,
 23 32, 23 16, 16 30, 43 21, 2 6, 19 15, 18 15, 21 28, 4 21, 27 35, 24 36, 33 15, 16
 41, 23 22, 46 23, 29 13, 6 15, 32 29, 37 21, 36 15, 4 7, 16 40, 15 12, 6 16, 37 24,
 19 12, 24 34, 23 9, 19 50, 27 24, 47 7, 2 7, 15 32, 15 39, 19 34, 16 45, 24 18, 15
 16, 23 1, 18 16, 29 14, 15 18, 35 2, 29 20, 19 26, 45 41, 7 13, 16 16, 45 7, 19 1,
 23 42, 16 36, 19 33, 23 40, 23 34, 29 40, 24 50, 23 11, 21 33, 6 11, 27 7, 43 6, 24
 15, 16 44, 23 24, 48 15, 45 27, 18 29, 23 13, 46 19, 19 37, 15 28, 43 27, 20 21, 5
 29, 24 8, 35 6, 21 8, 6 13, 19 41, 27 47, 29 26, 20 7, 21 29, 31 19, 16 51, 27 8,
 36 29, 24 51, 25 19, 24 46, 7 47, 35 27, 18 24, 7 16, 7 20, 23 28, 2 21, 24 38, 47
 23, 31 23, 6 2, 23 30, 27 40, 7 34, 4 19, 7 6, 37 44, 24 35, 6 17, 16 21, 20 19, 19
 3, 23 44, 27 30, 36 3, 19 6, 6 24, 24 45, 21 37, 27 25, 29 41, 12 16, 7 32, 15 30,
 27 42, 24 40, 16 14, 12 23, 19 49, 6 39, 47 29, 27 6, 6 44, 36 6, 29 5, 29 45, 29
 12, 18 19, 7 14, 46 43, 19 17, 24 11, 27 18, 44 19, 35 24, 21 47, 24 49, 43 45, 21
 45, 23 23, 24 27, 5 24, 4 16, 21 26, 7 26, 4 24, 4 15, 19 21, 15 35, 7 22, 19 45,
 27 31, 44 24, 33 21, 29 31, 29 42, 6 31, 27 41, 6 46, 19 31, 16 47, 6 22, 27 32, 16
 3, 29 49, 27 5, 30 12, 24 41, 23 41, 17 23, 7 40, 5 27, 20 29, 21 41, 35 15, 16 23,
 29 44, 27 43, 6 3, 35 21, 43 15, 27 22, 45 16, 48 16, 6 30, 19 27, 23 33, 24 6, 7
 31, 7 37, 24 26, 17 6, 6 49, 29 50, 18 6, 21 31, 21 21, 45 23, 6 38, 5 15, 27 13, 6
 34, 46 15, 6 5, 27 1, 24 5, 36 27, 24 9, 7 30, 4 6, 15 24, 15 33, 27 10, 6 45, 24
 43, 15 17, 31 6, 6 6, 37 6, 6 18, 21 16, 18 27, 16 17, 20 23, 7 25, 29 30, 24 39,
 35 23, 23 6, 21 22;

param:	K:	R	O	D:=	1	3456	43	29	2	12002	23	27	3	664	21	
	49	4	2407	23	34	5	1076	7	46	6	4123	21	33	7	1192	37
	7	8	7026	21	30	9	15648	27	7	10	2396	27	26	11	2020	31
	21	12	3931	23	24	13	13991	36	7	14	492	7	43	15	650	45
	27	16	406	6	36	17	4457	43	27	18	3232	7	15	19	13042	15
	21	20	2765	17	27	21	16624	48	21	22	725	24	8	23	2659	21
	8	24	1719	29	26	25	16151	21	2	26	891	21	29	27	3018	32
	27	28	2829	29	39	29	18313	29	23	30	318	30	19	31	2185	25
	7	32	1522	27	49	33	231	35	27	34	942	2	21	35	5808	6
	21	36	10814	6	2	37	915	49	6	38	10063	27	40	39	3131	27
	3	40	4237	49	27	41	1182	30	21	42	9784	7	6	43	379	37
	44	44	3440	24	29	45	5053	24	14	46	2245	16	21	47	3468	16
	27	48	3654	47	21	49	1814	25	21	50	6335	27	30	51	177	44
	7	52	625	36	3	53	873	19	6	54	5217	33	27	55	514	23
	37	56	17477	6	24	57	1968	21	20	58	17542	15	27	59	5465	23
	43	60	1784	21	37	61	12777	24	23	62	5890	25	27	63	8431	27
	25	64	2492	24	37	65	302	12	21	66	4147	27	15	67	3158	2
	27	68	123	15	30	69	438	36	30	70	684	21	36	71	10291	29
	43	72	6885	30	27	73	599	23	21	74	6180	27	44	75	1756	21
	50	76	261	19	49	77	1611	6	19	78	6617	27	6	79	329	49
	2	80	1797	6	44	81	3573	7	8	82	20043	24	21	83	3914	46
	27	84	3729	27	19	85	5203	15	7	86	5010	29	45	87	2460	21
	19	88	589	30	6	89	4808	48	27	90	242	19	17	91	586	46
	43	92	545	19	11	93	5670	27	18	94	193	30	36	95	170	37
	27	96	8463	27	2	97	10133	21	25	98	4183	46	24	99	2187	21

```

47 100 8378 7 24 101 403 43 45 102 1985 48 7 103 650 19
30 104 314 21 43 105 23538 24 27 106 980 25 6 107 2018 29
9 108 3438 44 37 109 7169 7 23 110 4388 44 24 111 1146 20
24 112 6116 23 7 113 6508 6 25 114 500 15 36 115 3960 27
51 116 2522 29 42 117 2148 24 44 118 1751 6 33 119 7456 43
46 120 6777 21 6 121 506 7 2 122 2360 27 36 123 13477 23
29 124 506 27 46 125 1012 27 32 126 2927 6 37 127 8675 27
5 128 783 30 12 129 2332 6 8 130 760 47 27 131 128 5
27 132 1809 6 1 133 473 36 13 134 3719 23 14 135 3128 27
11 136 22408 27 21 137 13935 27 43 138 1695 6 3 139 1866 43
23 140 16430 27 22 141 3214 27 33 142 10497 27 20 143 4988 6
30 144 160 29 6 145 8109 19 27 146 655 24 6 147 152 17
19 148 360 2 6 149 3332 7 37 150 8901 24 20 151 4975 7
29 152 22031 21 24 153 2330 21 28 154 4333 6 49 155 6895 27
35 156 310 4 21 157 22518 7 27 158 1331 21 31 159 368 33
15 160 675 46 23 161 6634 6 15 162 371 45 23 163 3283 36
15 164 761 37 24 165 4786 24 34 166 3422 36 21 167 836 12
27 168 5202 27 23 169 11954 36 27 170 432 47 7 171 2128 29
46 172 2493 21 44 173 7051 7 21 174 7604 27 45 175 4068 15
33 176 515 2 49 177 2928 29 38 178 5866 27 10 179 433 23
45 180 10017 29 27 181 409 24 43 182 425 30 11 183 3455 44
27 184 429 6 18 185 1889 21 16 186 1051 27 17 187 362 19
2 188 5483 21 15 189 252 35 2 190 132 18 27 191 2349 45
41 192 11889 24 7 193 319 46 29 194 321 15 6 195 4636 7
25 ;

```

```

param distancia default 0 := [43, 24] 1092 [6, 27] 569 [43, 29] 118 [23, 27] 1061
[21, 49] 483 [29, 7] 1625 [21, 46] 2127 [7, 46] 1814 [29, 18] 909 [37, 7] 274 [15,
37] 643 [16, 43] 2225 [16, 15] 611 [15, 46] 1933 [7, 42] 1875 [25, 24] 460 [36, 7]
762 [45, 29] 526 [15, 19] 320 [30, 24] 622 [18, 21] 1030 [16, 18] 1437 [6, 36] 267
[23, 20] 704 [31, 27] 1190 [7, 15] 371 [7, 50] 502 [15, 42] 1994 [15, 40] 601 [17,
16] 781 [17, 27] 444 [44, 6] 878 [32, 21] 514 [21, 12] 549 [19, 36] 218 [32, 6] 444
[23, 47] 2693 [21, 2] 587 [30, 15] 317 [15, 13] 519 [20, 27] 529 [32, 27] 821 [29,
39] 480 [24, 12] 631 [30, 19] 398 [25, 7] 178 [17, 15] 368 [37, 16] 1119 [15, 29]
1744 [45, 6] 1412 [16, 9] 2465 [24, 31] 1585 [5, 16] 1305 [33, 19] 326 [29, 29] 0
[27, 29] 1373 [21, 11] 443 [33, 7] 395 [21, 51] 754 [24, 25] 459 [49, 27] 468 [27,
12] 114 [36, 23] 1762 [49, 21] 487 [15, 2] 590 [29, 47] 3001 [44, 7] 396 [46, 21]
2128 [27, 39] 1168 [23, 25] 1187 [19, 43] 1717 [21, 20] 994 [24, 23] 735 [23, 2]
1334 [27, 15] 377 [23, 39] 684 [19, 23] 1549 [23, 50] 1694 [23, 21] 1630 [44, 16]
1240 [20, 16] 1397 [7, 8] 129 [24, 21] 949 [15, 14] 1251 [15, 7] 373 [6, 26] 1562
[19, 16] 699 [30, 6] 507 [27, 16] 981 [6, 47] 1137 [49, 29] 1675 [4, 23] 2154 [31,
24] 1494 [7, 36] 762 [21, 23] 1630 [21, 34] 1288 [19, 8] 621 [15, 22] 797 [21, 25]
458 [46, 24] 1362 [16, 31] 253 [27, 34] 723 [15, 3] 253 [6, 23] 1624 [7, 12] 532
[45, 19] 1318 [47, 15] 1267 [44, 37] 122 [33, 29] 1667 [19, 32] 314 [49, 24] 982
[29, 1] 2029 [6, 50] 176 [43, 46] 307 [7, 2] 942 [16, 11] 650 [23, 31] 2267 [48,
24] 905 [16, 10] 1050 [27, 36] 763 [7, 3] 604 [35, 7] 812 [18, 23] 602 [24, 2] 1040

```

[12, 7] 532 [23, 51] 926 [6, 8] 362 [7, 39] 1603 [6, 1] 88 [16, 37] 1120 [48, 6] 106 [21, 40] 796 [43, 23] 361 [27, 37] 536 [27, 33] 300 [23, 49] 1365 [31, 15] 819 [48, 23] 1521 [7, 41] 1550 [24, 30] 623 [29, 6] 1932 [43, 16] 2225 [15, 20] 903 [19, 18] 959 [21, 1] 102 [24, 20] 130 [7, 29] 1625 [15, 9] 1862 [47, 16] 662 [7, 27] 440 [44, 29] 1313 [47, 24] 1942 [15, 23] 1435 [24, 17] 958 [21, 10] 642 [36, 21] 336 [2, 15] 593 [27, 23] 1065 [24, 24] 0 [29, 46] 322 [33, 16] 726 [6, 51] 803 [7, 21] 444 [27, 9] 1492 [29, 35] 1421 [16, 34] 1696 [2, 49] 107 [2, 19] 280 [44, 15] 715 [29, 38] 193 [29, 10] 1352 [7, 7] 0 [24, 13] 1396 [23, 45] 235 [29, 27] 1369 [16, 35] 1124 [24, 10] 577 [16, 13] 458 [19, 2] 278 [21, 15] 203 [29, 51] 1234 [36, 16] 498 [37, 23] 976 [15, 6] 198 [15, 47] 1267 [19, 14] 1375 [16, 8] 721 [16, 24] 1286 [15, 25] 345 [23, 36] 1760 [31, 21] 617 [15, 44] 703 [12, 29] 1466 [5, 21] 896 [15, 11] 483 [15, 50] 268 [21, 27] 574 [45, 15] 1222 [29, 28] 1851 [16, 38] 2153 [48, 29] 1830 [19, 28] 378 [21, 42] 2189 [21, 13] 459 [48, 21] 112 [6, 20] 1043 [16, 42] 2597 [20, 15] 902 [16, 19] 697 [5, 23] 737 [29, 23] 440 [35, 16] 1125 [29, 34] 809 [36, 19] 221 [27, 49] 463 [29, 24] 1172 [7, 51] 419 [23, 38] 248 [27, 3] 337 [30, 21] 513 [24, 29] 1173 [27, 50] 637 [19, 22] 840 [24, 14] 522 [16, 27] 983 [47, 21] 1066 [4, 27] 1099 [25, 21] 461 [6, 28] 153 [29, 17] 1724 [33, 27] 303 [16, 28] 509 [15, 27] 380 [23, 43] 362 [49, 16] 867 [12, 21] 549 [24, 37] 238 [15, 45] 1221 [15, 49] 485 [2, 27] 528 [5, 19] 827 [35, 19] 433 [48, 19] 330 [16, 46] 2536 [30, 27] 108 [16, 7] 850 [24, 1] 1039 [19, 51] 787 [6, 32] 448 [21, 50] 81 [6, 10] 636 [19, 5] 825 [6, 19] 225 [21, 9] 2057 [27, 19] 504 [6, 35] 651 [21, 19] 317 [7, 9] 1743 [16, 1] 373 [6, 41] 1477 [19, 11] 205 [21, 17] 398 [6, 14] 1440 [6, 43] 1811 [29, 22] 999 [15, 43] 1622 [23, 3] 1384 [37, 27] 532 [27, 2] 523 [27, 27] 0 [29, 11] 1917 [2, 29] 1628 [30, 23] 1163 [2, 16] 972 [37, 29] 1414 [29, 25] 1495 [15, 41] 1496 [7, 45] 1102 [16, 33] 725 [19, 44] 929 [25, 6] 506 [30, 29] 1471 [15, 38] 1551 [6, 40] 790 [7, 23] 1248 [23, 7] 1249 [21, 7] 441 [6, 25] 534 [24, 32] 1338 [19, 19] 0 [6, 42] 2183 [49, 7] 860 [12, 24] 630 [6, 33] 311 [44, 21] 833 [6, 12] 544 [23, 5] 736 [29, 21] 1938 [7, 38] 1432 [27, 46] 1563 [15, 8] 244 [47, 27] 1639 [16, 22] 1400 [23, 14] 213 [16, 5] 1304 [27, 21] 573 [31, 7] 1057 [25, 29] 1496 [46, 6] 2122 [31, 16] 224 [29, 16] 2346 [24, 47] 2011 [15, 31] 841 [19, 20] 1027 [6, 7] 490 [37, 15] 639 [16, 25] 866 [46, 16] 2536 [29, 32] 2054 [33, 23] 1359 [24, 28] 845 [17, 19] 89 [23, 10] 1044 [21, 24] 878 [6, 29] 1932 [44, 23] 875 [30, 16] 921 [12, 19] 436 [23, 15] 1434 [33, 6] 311 [17, 7] 710 [17, 21] 401 [15, 1] 295 [2, 24] 1043 [12, 27] 116 [29, 33] 1665 [32, 23] 1739 [12, 15] 354 [29, 37] 1413 [21, 44] 762 [49, 23] 1385 [23, 19] 1548 [27, 45] 851 [7, 49] 858 [25, 15] 347 [35, 29] 1422 [23, 8] 1299 [24, 19] 1021 [15, 15] 0 [30, 11] 555 [44, 27] 492 [15, 51] 663 [27, 17] 441 [4, 29] 2462 [16, 50] 411 [47, 6] 1136 [15, 10] 447 [19, 9] 1957 [43, 19] 1717 [37, 19] 897 [24, 7] 512 [46, 29] 324 [7, 19] 713 [18, 7] 716 [43, 7] 1503 [12, 6] 543 [32, 24] 1336 [27, 38] 1180 [16, 29] 2346 [15, 5] 701 [21, 30] 512 [27, 26] 1003 [32, 15] 585 [45, 21] 1418 [16, 49] 864 [49, 15] 487 [29, 19] 1838 [19, 13] 269 [32, 19] 313 [7, 43] 1503 [49, 19] 175 [7, 11] 839 [24, 42] 1492 [15, 34] 1093 [16, 20] 1403 [15, 21] 204 [29, 3] 1693 [32, 16] 606 [21, 38] 1745 [36, 24] 1199 [19, 46] 2028 [27, 28] 510 [21, 5] 896 [6, 9] 2051 [29, 36] 2051 [24, 33] 754 [23, 12] 1157 [21, 14] 1445 [16, 26] 1976 [29, 8] 1643 [45, 24] 812 [6, 21] 102 [5, 7] 583 [33, 24] 755 [49, 6] 393 [19, 39] 1598 [46, 7] 1814 [24, 22] 922 [5, 6]

890 [7, 44] 394 [23, 37] 975 [21, 39] 1744 [25, 27] 269 [23, 46] 631 [19, 7] 749
[21, 35] 743 [32, 7] 941 [19, 42] 2090 [25, 23] 1187 [19, 40] 726 [36, 30] 610 [23,
35] 1131 [30, 7] 496 [21, 36] 330 [29, 43] 118 [27, 44] 496 [7, 28] 339 [16, 2] 968
[19, 47] 1354 [49, 2] 105 [7, 5] 582 [46, 27] 1559 [24, 16] 1356 [21, 3] 397 [19,
25] 637 [16, 32] 608 [48, 27] 466 [23, 17] 1434 [30, 36] 611 [27, 14] 881 [7, 24]
511 [7, 17] 708 [48, 7] 459 [16, 6] 480 [19, 30] 396 [19, 10] 547 [21, 43] 1817
[29, 9] 384 [29, 2] 1624 [7, 1] 533 [19, 38] 1646 [29, 15] 1742 [16, 12] 958 [21,
32] 511 [7, 10] 501 [17, 24] 958 [25, 16] 869 [20, 24] 130 [15, 36] 398 [23, 18]
629 [15, 26] 1373 [27, 51] 293 [7, 35] 812 [24, 44] 138 [21, 6] 99 [17, 29] 1725
[19, 29] 1839 [31, 29] 2554 [47, 19] 1353 [23, 29] 442 [20, 6] 1092 [6, 37] 760
[23, 26] 186 [36, 13] 106 [27, 11] 684 [2, 23] 1337 [7, 18] 716 [21, 18] 1029 [19,
24] 1019 [24, 3] 854 [19, 35] 434 [7, 33] 394 [27, 20] 533 [16, 39] 2152 [23, 32]
1764 [23, 16] 2038 [16, 30] 921 [43, 21] 1817 [2, 6] 498 [19, 15] 321 [18, 15] 834
[21, 28] 101 [4, 21] 526 [27, 35] 393 [24, 36] 1267 [33, 15] 122 [16, 41] 1949 [23,
22] 708 [46, 23] 630 [29, 13] 2099 [6, 15] 197 [32, 29] 2029 [37, 21] 712 [36, 15]
407 [4, 7] 966 [16, 40] 1204 [15, 12] 355 [6, 16] 482 [37, 24] 238 [19, 12] 435
[24, 34] 364 [23, 9] 628 [19, 50] 392 [27, 24] 524 [47, 7] 1506 [2, 7] 944 [15, 32]
579 [15, 39] 1549 [19, 34] 1218 [16, 45] 1824 [24, 18] 436 [15, 16] 612 [23, 1]
1720 [18, 16] 1438 [29, 14] 651 [15, 18] 835 [35, 2] 219 [29, 20] 1142 [19, 26]
1469 [45, 41] 635 [7, 13] 891 [16, 16] 0 [45, 7] 1104 [19, 1] 304 [23, 42] 760 [16,
36] 495 [19, 33] 328 [23, 40] 835 [23, 34] 371 [29, 40] 1143 [24, 50] 1007 [23, 11]
1626 [21, 33] 317 [6, 11] 351 [27, 7] 445 [43, 6] 1811 [24, 15] 831 [16, 44] 1170
[23, 24] 734 [48, 15] 94 [45, 27] 849 [18, 29] 910 [23, 13] 1809 [46, 19] 2028 [19,
37] 896 [15, 28] 146 [43, 27] 1247 [20, 21] 990 [5, 29] 1045 [24, 8] 562 [35, 6]
651 [21, 8] 313 [6, 13] 387 [19, 41] 1260 [27, 47] 1636 [29, 26] 369 [20, 7] 645
[21, 29] 1938 [31, 19] 905 [16, 51] 1163 [27, 8] 443 [36, 29] 2053 [24, 51] 232
[25, 19] 639 [24, 46] 1362 [7, 47] 1506 [35, 27] 396 [18, 24] 435 [7, 16] 851 [7,
20] 644 [23, 28] 1543 [2, 21] 592 [24, 38] 979 [47, 23] 2694 [31, 23] 2245 [6, 2]
496 [23, 30] 1163 [27, 40] 231 [7, 34] 878 [4, 19] 813 [7, 6] 489 [37, 44] 122 [24,
35] 910 [6, 17] 306 [16, 21] 410 [20, 19] 1029 [19, 3] 168 [23, 44] 875 [27, 30]
106 [36, 3] 382 [19, 6] 225 [6, 24] 927 [24, 45] 812 [21, 37] 712 [27, 25] 274 [29,
41] 852 [12, 16] 958 [7, 32] 943 [15, 30] 318 [27, 42] 1624 [24, 40] 396 [16, 14]
1854 [12, 23] 1157 [19, 49] 174 [6, 39] 1738 [47, 29] 3002 [27, 6] 567 [6, 44] 811
[36, 6] 265 [29, 5] 1045 [29, 45] 525 [29, 12] 1465 [18, 19] 961 [7, 14] 1035 [46,
43] 307 [19, 17] 89 [24, 11] 1201 [27, 18] 464 [44, 19] 930 [35, 24] 910 [21, 47]
1060 [24, 49] 979 [43, 45] 404 [21, 45] 1415 [23, 23] 0 [24, 27] 521 [5, 24] 346
[4, 16] 132 [21, 26] 1568 [7, 26] 1254 [4, 24] 1402 [4, 15] 727 [19, 21] 318 [15,
35] 560 [7, 22] 851 [19, 45] 1316 [27, 31] 1210 [44, 24] 137 [33, 21] 317 [29, 31]
2575 [29, 42] 516 [6, 31] 711 [27, 41] 1115 [6, 46] 2121 [19, 31] 928 [16, 47] 663
[6, 22] 985 [27, 32] 821 [16, 3] 778 [29, 49] 1655 [27, 5] 331 [30, 12] 44 [24, 41]
1444 [23, 41] 864 [17, 23] 1434 [7, 40] 554 [5, 27] 327 [20, 29] 1142 [21, 41] 1569
[35, 15] 559 [16, 23] 2038 [29, 44] 1312 [27, 43] 1252 [6, 3] 291 [35, 21] 745 [43,
15] 1621 [27, 22] 416 [45, 16] 1826 [48, 16] 520 [6, 30] 507 [19, 27] 504 [23, 33]
1356 [24, 6] 994 [7, 31] 1080 [7, 37] 275 [24, 26] 918 [17, 6] 307 [6, 49] 391 [29,
50] 2002 [18, 6] 1024 [21, 31] 633 [21, 21] 0 [45, 23] 236 [6, 38] 1739 [5, 15] 701

```

[27, 13] 772 [6, 34] 1282 [46, 15] 1932 [6, 5] 890 [27, 1] 664 [24, 5] 346 [36, 27]
765 [24, 9] 1360 [7, 30] 495 [4, 6] 596 [15, 24] 820 [15, 33] 122 [27, 10] 66 [6,
45] 1410 [24, 43] 1093 [15, 17] 366 [31, 6] 687 [6, 6] 0 [37, 6] 756 [6, 18] 1023
[21, 16] 405 [18, 27] 461 [16, 17] 779 [20, 23] 704 [7, 25] 178 [29, 30] 1471 [24,
39] 1323 [35, 23] 1131 [23, 6] 1624 [21, 22] 991 ;
end;

```

```
fevereiro.dat
```

```
data;
```

```
param n := 51;
```

```
set T := truck carreta;
```

```
param U := truck 12000, carreta 24000;
```

```
param c := truck 1.0, carreta 1.4;
```

```
set V := 1 2 3 4 5 6 7 8 9 10 11 12 13 14 15 18 17 16 19 20 21 22 23 24 26 25 27 28
29 30 31 32 33 34 35 36 37 38 39 40 41 42 43 44 45 46 47 49 48 50 51 ;
```

```
set A := 43 24, 51 15, 6 27, 43 29, 23 27, 21 49, 29 7, 21 46, 7 46, 29 18, 37 7,
15 37, 16 43, 21 48, 16 15, 15 46, 7 42, 25 24, 36 7, 45 29, 15 19, 30 24, 18 21,
16 18, 6 36, 23 20, 31 27, 7 15, 7 50, 15 42, 15 40, 17 16, 17 27, 44 6, 32 21, 21
12, 19 36, 32 6, 23 47, 21 2, 30 15, 15 13, 20 27, 32 27, 29 39, 24 12, 30 19, 25
7, 17 15, 37 16, 15 29, 45 6, 16 9, 24 31, 33 19, 29 29, 27 29, 21 11, 33 7, 21 51,
24 25, 49 27, 27 12, 36 23, 49 21, 15 2, 29 47, 44 7, 46 21, 27 39, 23 25, 19 43,
21 20, 24 23, 23 2, 27 15, 23 39, 19 23, 23 50, 23 21, 44 16, 20 16, 25 44, 7 8, 24
21, 15 14, 15 7, 6 26, 19 16, 30 6, 27 16, 6 47, 49 29, 4 23, 31 24, 7 36, 21 23,
21 34, 19 8, 15 22, 21 25, 46 24, 16 31, 27 34, 15 3, 6 23, 7 12, 45 19, 47 15, 44
37, 33 29, 19 32, 49 24, 29 1, 6 50, 43 46, 7 2, 16 11, 23 31, 48 24, 16 10, 27 36,
7 3, 35 7, 18 23, 7 48, 24 2, 12 7, 23 51, 6 8, 7 39, 6 1, 16 37, 48 6, 21 40, 25
30, 43 23, 27 37, 27 33, 23 49, 31 15, 48 23, 7 41, 24 30, 29 6, 43 16, 19 18, 15
20, 21 1, 24 20, 7 29, 15 9, 47 16, 7 27, 44 29, 47 24, 15 23, 24 17, 21 10, 36 21,
2 15, 27 23, 24 24, 29 46, 33 16, 6 51, 7 21, 27 9, 29 35, 16 34, 2 49, 2 19, 44
15, 29 38, 29 10, 7 7, 24 13, 23 45, 29 27, 16 35, 24 10, 16 13, 19 2, 21 15, 29
51, 36 16, 37 23, 15 6, 15 47, 19 14, 16 8, 16 24, 15 25, 23 36, 31 21, 15 44, 12
29, 15 11, 15 50, 21 27, 45 15, 29 28, 16 38, 51 19, 48 29, 19 28, 21 42, 21 13, 48
21, 6 20, 16 42, 20 15, 16 19, 29 23, 35 16, 29 34, 36 19, 27 49, 29 24, 7 51, 23
38, 27 3, 30 21, 24 29, 27 50, 19 22, 24 14, 16 27, 47 21, 4 27, 25 21, 6 28, 16
48, 29 17, 33 27, 16 28, 15 27, 23 43, 49 16, 12 21, 24 37, 15 45, 15 49, 2 27, 35
19, 48 19, 16 46, 30 27, 16 7, 24 1, 19 51, 6 32, 21 50, 51 7, 6 10, 19 5, 6 19, 21
9, 27 19, 6 35, 21 19, 7 9, 16 1, 6 41, 19 11, 21 17, 6 14, 6 43, 29 22, 15 43, 23
3, 37 27, 27 2, 27 27, 29 11, 2 29, 30 23, 2 16, 37 29, 29 25, 15 41, 7 45, 16 33,
19 44, 25 6, 30 29, 15 38, 6 40, 7 23, 23 7, 21 7, 6 25, 24 32, 19 19, 6 42, 49 7,
12 24, 6 33, 44 21, 6 12, 23 5, 29 21, 7 38, 27 46, 15 8, 47 27, 16 22, 23 14, 16
5, 27 21, 31 7, 25 29, 46 6, 31 16, 29 16, 24 47, 15 31, 19 20, 6 7, 37 15, 16 25,
46 16, 29 32, 33 23, 24 28, 17 19, 23 10, 21 24, 6 29, 44 23, 30 16, 12 19, 23 15,
33 6, 17 7, 17 21, 51 6, 15 1, 2 24, 12 27, 29 33, 32 23, 12 15, 29 37, 21 44, 49
23, 23 19, 27 45, 7 49, 25 15, 35 29, 23 8, 24 19, 15 15, 30 11, 44 27, 15 51, 27
```

17, 4 29, 16 50, 47 6, 15 10, 19 9, 43 19, 37 19, 24 7, 46 29, 7 19, 18 7, 43 7, 12
6, 32 24, 27 38, 16 29, 15 5, 21 30, 27 26, 32 15, 45 21, 16 49, 49 15, 29 19, 19
13, 32 19, 7 43, 49 19, 7 11, 24 42, 15 34, 16 20, 15 21, 29 3, 32 16, 21 38, 36
24, 19 46, 27 28, 21 5, 6 9, 29 36, 24 33, 23 12, 21 14, 16 26, 29 8, 45 24, 6 21,
33 24, 49 6, 19 39, 46 7, 24 22, 24 48, 7 44, 23 37, 21 39, 25 27, 23 46, 19 7, 21
35, 32 7, 19 42, 25 23, 19 40, 36 30, 23 35, 30 7, 21 36, 29 43, 51 29, 27 44, 7
28, 23 48, 16 2, 19 47, 49 2, 7 5, 46 27, 24 16, 21 3, 19 25, 16 32, 15 48, 48 27,
23 17, 30 36, 51 24, 27 14, 7 24, 7 17, 48 7, 16 6, 19 30, 19 10, 30 32, 21 43, 29
9, 29 2, 7 1, 19 38, 29 15, 16 12, 21 32, 7 10, 17 24, 25 16, 20 24, 15 36, 23 18,
15 26, 27 51, 7 35, 24 44, 21 6, 17 29, 19 29, 51 27, 31 29, 29 48, 47 19, 23 29,
20 6, 6 37, 23 26, 36 13, 27 11, 2 23, 7 18, 21 18, 19 24, 24 3, 19 35, 7 33, 27
20, 16 39, 23 32, 23 16, 16 30, 43 21, 2 6, 19 15, 18 15, 21 28, 4 21, 27 35, 24
36, 33 15, 16 41, 23 22, 46 23, 29 13, 6 15, 32 29, 37 21, 36 15, 4 7, 16 40, 15
12, 6 16, 37 24, 19 12, 24 34, 23 9, 19 50, 27 24, 47 7, 2 7, 15 32, 15 39, 19 34,
16 45, 24 18, 15 16, 23 1, 18 16, 29 14, 15 18, 29 20, 19 26, 45 41, 7 13, 16 16,
45 7, 19 1, 23 42, 16 36, 19 33, 23 40, 23 34, 29 40, 24 50, 23 11, 21 33, 6 11, 27
7, 43 6, 24 15, 16 44, 23 24, 48 15, 45 27, 18 29, 23 13, 46 19, 51 21, 19 37, 15
28, 43 27, 20 21, 24 8, 35 6, 21 8, 6 13, 19 41, 27 47, 29 26, 20 7, 21 29, 31 19,
16 51, 27 8, 36 29, 24 51, 25 19, 24 46, 27 48, 7 47, 35 27, 18 24, 7 16, 7 20, 23
28, 2 21, 24 38, 47 23, 31 23, 6 2, 23 30, 27 40, 7 34, 4 19, 7 6, 37 44, 19 48, 24
35, 6 17, 16 21, 20 19, 19 3, 23 44, 27 30, 36 3, 19 6, 6 24, 24 45, 21 37, 27 25,
29 41, 12 16, 7 32, 15 30, 27 42, 12 30, 24 40, 16 14, 51 23, 12 23, 19 49, 6 39,
47 29, 27 6, 6 44, 36 6, 29 5, 29 45, 29 12, 6 48, 18 19, 7 14, 46 43, 19 17, 24
11, 27 18, 44 19, 35 24, 21 47, 24 49, 21 45, 23 23, 24 27, 4 16, 21 26, 7 26, 4
24, 4 15, 19 21, 15 35, 7 22, 19 45, 27 31, 44 24, 33 21, 29 31, 29 42, 6 31, 27
41, 6 46, 19 31, 16 47, 51 16, 6 22, 27 32, 16 3, 29 49, 27 5, 30 12, 24 41, 23 41,
17 23, 7 40, 20 29, 21 41, 35 15, 16 23, 29 44, 27 43, 6 3, 35 21, 43 15, 27 22, 45
16, 48 16, 6 30, 19 27, 23 33, 24 6, 7 31, 7 37, 24 26, 17 6, 6 49, 29 50, 18 6, 21
31, 21 21, 45 23, 6 38, 27 13, 6 34, 46 15, 6 5, 27 1, 24 5, 36 27, 24 9, 7 30, 4
6, 15 24, 15 33, 27 10, 6 45, 24 43, 15 17, 31 6, 6 6, 37 6, 6 18, 21 16, 18 27, 16
17, 20 23, 7 25, 29 30, 24 39, 35 23, 23 6, 21 22;

param: K:	R	O	D:=	1	5081	43	29	2	11119	23	27	3	988	21		
	49	4	806	29	7	5	2034	23	34	6	5003	21	33	7	628	37
	7	8	6538	21	30	9	13575	27	7	10	2412	27	26	11	2734	31
	21	12	5771	23	24	13	9500	36	7	14	191	7	43	15	1354	45
	27	16	661	6	36	17	4388	43	27	18	2854	7	15	19	14334	15
	21	20	3976	17	27	21	17385	48	21	22	565	24	8	23	3333	21
	8	24	149	32	21	25	1713	29	26	26	17421	21	2	27	856	21
	29	28	4210	32	27	29	2922	29	39	30	17766	29	23	31	478	30
	19	32	2405	25	7	33	278	36	19	34	2406	27	49	35	292	45
	6	36	723	27	48	37	196	35	27	38	1343	2	21	39	5000	6
	21	40	11138	6	2	41	671	49	6	42	1236	46	7	43	10430	27
	40	44	4157	27	3	45	5500	49	27	46	453	30	21	47	7112	7
	6	48	398	37	44	49	6148	24	29	50	4220	24	14	51	739	49
	21	52	3498	16	21	53	3550	16	27	54	5161	47	21	55	1582	25
	21	56	9524	27	30	57	285	36	3	58	1016	19	6	59	4767	33

```

27 60 881 23 37 61 19184 6 24 62 1060 21 20 63 16176 15
27 64 4489 23 43 65 1677 21 37 66 6895 24 23 67 6329 25
27 68 7822 27 25 69 2352 24 37 70 2169 12 21 71 5175 27
15 72 4423 2 27 73 202 36 30 74 779 21 36 75 893 12
30 76 8031 29 43 77 4974 30 27 78 5579 27 44 79 1886 21
50 80 361 19 49 81 2043 6 19 82 6692 27 6 83 747 49
2 84 227 25 44 85 1819 6 44 86 3679 7 8 87 16683 24
21 88 7341 46 27 89 2279 27 19 90 4063 15 7 91 5827 29
45 92 2818 21 19 93 292 6 26 94 688 30 6 95 282 27
16 96 1575 48 27 97 3500 46 43 98 766 19 11 99 8331 27
18 100 216 30 36 101 13016 27 2 102 10427 21 25 103 1210 21
47 104 6919 7 24 105 722 48 7 106 209 30 32 107 728 19
30 108 304 21 43 109 23086 24 27 110 906 25 6 111 2560 29
9 112 3954 44 37 113 7484 7 23 114 3669 44 24 115 267 20
24 116 8446 23 7 117 6937 6 25 118 159 15 36 119 5823 27
51 120 2828 29 42 121 2783 24 44 122 397 49 7 123 305 6
33 124 7011 43 46 125 6793 21 6 126 532 7 2 127 904 29
21 128 2599 27 36 129 107 51 27 130 10643 23 29 131 487 27
46 132 985 27 32 133 2737 6 37 134 10333 27 5 135 172 30
12 136 1832 6 8 137 764 47 27 138 1697 6 1 139 438 36
13 140 3277 23 14 141 3565 27 11 142 21527 27 21 143 14628 27
43 144 455 25 30 145 1293 6 3 146 2628 43 23 147 15861 27
22 148 4539 27 33 149 10279 27 20 150 4317 6 30 151 7390 19
27 152 526 24 6 153 150 17 19 154 374 2 6 155 2733 7
37 156 7892 24 20 157 1678 7 29 158 2694 21 28 159 4857 6
49 160 22219 7 27 161 6939 27 35 162 702 4 21 163 983 21
31 164 684 46 23 165 6897 6 15 166 956 45 23 167 956 36
15 168 312 37 24 169 4574 24 34 170 2701 36 21 171 4844 12
27 172 6227 27 23 173 9005 36 27 174 3595 47 7 175 262 29
46 176 3793 21 44 177 5121 7 21 178 9051 27 45 179 3864 15
33 180 781 2 49 181 3343 29 38 182 6100 27 10 183 426 23
45 184 12520 29 27 185 3028 24 43 186 490 30 11 187 3698 44
27 188 1782 21 16 189 638 27 17 190 538 19 2 191 6802 21
15 192 213 18 27 193 2484 45 41 194 11506 24 7 195 980 46
29 196 1784 15 6 197 5473 7 25 198 959 43 7 ;

param distancia default 0 := [43, 24] 1092 [51, 15] 663 [6, 27] 569 [43, 29] 118
[23, 27] 1061 [21, 49] 483 [29, 7] 1625 [21, 46] 2127 [7, 46] 1814 [29, 18] 909
[37, 7] 274 [15, 37] 643 [16, 43] 2225 [21, 48] 110 [16, 15] 611 [15, 46] 1933 [7,
42] 1875 [25, 24] 460 [36, 7] 762 [45, 29] 526 [15, 19] 320 [30, 24] 622 [18, 21]
1030 [16, 18] 1437 [6, 36] 267 [23, 20] 704 [31, 27] 1190 [7, 15] 371 [7, 50] 502
[15, 42] 1994 [15, 40] 601 [17, 16] 781 [17, 27] 444 [44, 6] 878 [32, 21] 514 [21,
12] 549 [19, 36] 218 [32, 6] 444 [23, 47] 2693 [21, 2] 587 [30, 15] 317 [15, 13]
519 [20, 27] 529 [32, 27] 821 [29, 39] 480 [24, 12] 631 [30, 19] 398 [25, 7] 178
[17, 15] 368 [37, 16] 1119 [15, 29] 1744 [45, 6] 1412 [16, 9] 2465 [24, 31] 1585
[33, 19] 326 [29, 29] 0 [27, 29] 1373 [21, 11] 443 [33, 7] 395 [21, 51] 754 [24,
25] 459 [49, 27] 468 [27, 12] 114 [36, 23] 1762 [49, 21] 487 [15, 2] 590 [29, 47]

```

3001 [44, 7] 396 [46, 21] 2128 [27, 39] 1168 [23, 25] 1187 [19, 43] 1717 [21, 20]
994 [24, 23] 735 [23, 2] 1334 [27, 15] 377 [23, 39] 684 [19, 23] 1549 [23, 50] 1694
[23, 21] 1630 [44, 16] 1240 [20, 16] 1397 [25, 44] 343 [7, 8] 129 [24, 21] 949 [15,
14] 1251 [15, 7] 373 [6, 26] 1562 [19, 16] 699 [30, 6] 507 [27, 16] 981 [6, 47]
1137 [49, 29] 1675 [4, 23] 2154 [31, 24] 1494 [7, 36] 762 [21, 23] 1630 [21, 34]
1288 [19, 8] 621 [15, 22] 797 [21, 25] 458 [46, 24] 1362 [16, 31] 253 [27, 34] 723
[15, 3] 253 [6, 23] 1624 [7, 12] 532 [45, 19] 1318 [47, 15] 1267 [44, 37] 122 [33,
29] 1667 [19, 32] 314 [49, 24] 982 [29, 1] 2029 [6, 50] 176 [43, 46] 307 [7, 2] 942
[16, 11] 650 [23, 31] 2267 [48, 24] 905 [16, 10] 1050 [27, 36] 763 [7, 3] 604 [35,
7] 812 [18, 23] 602 [7, 48] 457 [24, 2] 1040 [12, 7] 532 [23, 51] 926 [6, 8] 362
[7, 39] 1603 [6, 1] 88 [16, 37] 1120 [48, 6] 106 [21, 40] 796 [25, 30] 324 [43, 23]
361 [27, 37] 536 [27, 33] 300 [23, 49] 1365 [31, 15] 819 [48, 23] 1521 [7, 41] 1550
[24, 30] 623 [29, 6] 1932 [43, 16] 2225 [19, 18] 959 [15, 20] 903 [21, 1] 102 [24,
20] 130 [7, 29] 1625 [15, 9] 1862 [47, 16] 662 [7, 27] 440 [44, 29] 1313 [47, 24]
1942 [15, 23] 1435 [24, 17] 958 [21, 10] 642 [36, 21] 336 [2, 15] 593 [27, 23] 1065
[24, 24] 0 [29, 46] 322 [33, 16] 726 [6, 51] 803 [7, 21] 444 [27, 9] 1492 [29, 35]
1421 [16, 34] 1696 [2, 49] 107 [2, 19] 280 [44, 15] 715 [29, 38] 193 [29, 10] 1352
[7, 7] 0 [24, 13] 1396 [23, 45] 235 [29, 27] 1369 [16, 35] 1124 [24, 10] 577 [16,
13] 458 [19, 2] 278 [21, 15] 203 [29, 51] 1234 [36, 16] 498 [37, 23] 976 [15, 6]
198 [15, 47] 1267 [19, 14] 1375 [16, 8] 721 [16, 24] 1286 [15, 25] 345 [23, 36]
1760 [31, 21] 617 [15, 44] 703 [12, 29] 1466 [15, 11] 483 [15, 50] 268 [21, 27] 574
[45, 15] 1222 [29, 28] 1851 [16, 38] 2153 [51, 19] 789 [48, 29] 1830 [19, 28] 378
[21, 42] 2189 [21, 13] 459 [48, 21] 112 [6, 20] 1043 [16, 42] 2597 [20, 15] 902
[16, 19] 697 [29, 23] 440 [35, 16] 1125 [29, 34] 809 [36, 19] 221 [27, 49] 463 [29,
24] 1172 [7, 51] 419 [23, 38] 248 [27, 3] 337 [30, 21] 513 [24, 29] 1173 [27, 50]
637 [19, 22] 840 [24, 14] 522 [16, 27] 983 [47, 21] 1066 [4, 27] 1099 [25, 21] 461
[6, 28] 153 [16, 48] 518 [29, 17] 1724 [33, 27] 303 [16, 28] 509 [15, 27] 380 [23,
43] 362 [49, 16] 867 [12, 21] 549 [24, 37] 238 [15, 45] 1221 [15, 49] 485 [2, 27]
528 [35, 19] 433 [48, 19] 330 [16, 46] 2536 [30, 27] 108 [16, 7] 850 [24, 1] 1039
[19, 51] 787 [6, 32] 448 [21, 50] 81 [51, 7] 419 [6, 10] 636 [19, 5] 825 [6, 19]
225 [21, 9] 2057 [27, 19] 504 [6, 35] 651 [21, 19] 317 [7, 9] 1743 [16, 1] 373 [6,
41] 1477 [19, 11] 205 [21, 17] 398 [6, 14] 1440 [6, 43] 1811 [29, 22] 999 [15, 43]
1622 [23, 3] 1384 [37, 27] 532 [27, 2] 523 [27, 27] 0 [29, 11] 1917 [2, 29] 1628
[30, 23] 1163 [2, 16] 972 [37, 29] 1414 [29, 25] 1495 [15, 41] 1496 [7, 45] 1102
[16, 33] 725 [19, 44] 929 [25, 6] 506 [30, 29] 1471 [15, 38] 1551 [6, 40] 790 [7,
23] 1248 [23, 7] 1249 [21, 7] 441 [6, 25] 534 [24, 32] 1338 [19, 19] 0 [6, 42] 2183
[49, 7] 860 [12, 24] 630 [6, 33] 311 [44, 21] 833 [6, 12] 544 [23, 5] 736 [29, 21]
1938 [7, 38] 1432 [27, 46] 1563 [15, 8] 244 [47, 27] 1639 [16, 22] 1400 [23, 14]
213 [16, 5] 1304 [27, 21] 573 [31, 7] 1057 [25, 29] 1496 [46, 6] 2122 [31, 16] 224
[29, 16] 2346 [24, 47] 2011 [15, 31] 841 [19, 20] 1027 [6, 7] 490 [37, 15] 639 [16,
25] 866 [46, 16] 2536 [29, 32] 2054 [33, 23] 1359 [24, 28] 845 [17, 19] 89 [23, 10]
1044 [21, 24] 878 [6, 29] 1932 [44, 23] 875 [30, 16] 921 [12, 19] 436 [23, 15] 1434
[33, 6] 311 [17, 7] 710 [17, 21] 401 [51, 6] 852 [15, 1] 295 [2, 24] 1043 [12, 27]
116 [29, 33] 1665 [32, 23] 1739 [12, 15] 354 [29, 37] 1413 [21, 44] 762 [49, 23]
1385 [23, 19] 1548 [27, 45] 851 [7, 49] 858 [25, 15] 347 [35, 29] 1422 [23, 8] 1299
[24, 19] 1021 [15, 15] 0 [30, 11] 555 [44, 27] 492 [15, 51] 663 [27, 17] 441 [4,

29] 2462 [16, 50] 411 [47, 6] 1136 [15, 10] 447 [19, 9] 1957 [43, 19] 1717 [37, 19]
897 [24, 7] 512 [46, 29] 324 [7, 19] 713 [18, 7] 716 [43, 7] 1503 [12, 6] 543 [32,
24] 1336 [27, 38] 1180 [16, 29] 2346 [15, 5] 701 [21, 30] 512 [27, 26] 1003 [32,
15] 585 [45, 21] 1418 [16, 49] 864 [49, 15] 487 [29, 19] 1838 [19, 13] 269 [32, 19]
313 [7, 43] 1503 [49, 19] 175 [7, 11] 839 [24, 42] 1492 [15, 34] 1093 [16, 20] 1403
[15, 21] 204 [29, 3] 1693 [32, 16] 606 [21, 38] 1745 [36, 24] 1199 [19, 46] 2028
[27, 28] 510 [21, 5] 896 [6, 9] 2051 [29, 36] 2051 [24, 33] 754 [23, 12] 1157 [21,
14] 1445 [16, 26] 1976 [29, 8] 1643 [45, 24] 812 [6, 21] 102 [33, 24] 755 [49, 6]
393 [19, 39] 1598 [46, 7] 1814 [24, 22] 922 [24, 48] 917 [7, 44] 394 [23, 37] 975
[21, 39] 1744 [25, 27] 269 [23, 46] 631 [19, 7] 749 [21, 35] 743 [32, 7] 941 [19,
42] 2090 [25, 23] 1187 [19, 40] 726 [36, 30] 610 [23, 35] 1131 [30, 7] 496 [21, 36]
330 [29, 43] 118 [51, 29] 1235 [27, 44] 496 [7, 28] 339 [23, 48] 1520 [16, 2] 968
[19, 47] 1354 [49, 2] 105 [7, 5] 582 [46, 27] 1559 [24, 16] 1356 [21, 3] 397 [19,
25] 637 [16, 32] 608 [15, 48] 94 [48, 27] 466 [23, 17] 1434 [30, 36] 611 [51, 24]
231 [27, 14] 881 [7, 24] 511 [7, 17] 708 [48, 7] 459 [16, 6] 480 [19, 30] 396 [19,
10] 547 [30, 32] 692 [21, 43] 1817 [29, 9] 384 [29, 2] 1624 [7, 1] 533 [19, 38]
1646 [29, 15] 1742 [16, 12] 958 [21, 32] 511 [7, 10] 501 [17, 24] 958 [25, 16] 869
[20, 24] 130 [15, 36] 398 [23, 18] 629 [15, 26] 1373 [27, 51] 293 [7, 35] 812 [24,
44] 138 [21, 6] 99 [17, 29] 1725 [19, 29] 1839 [51, 27] 289 [31, 29] 2554 [29, 48]
1828 [47, 19] 1353 [23, 29] 442 [20, 6] 1092 [6, 37] 760 [23, 26] 186 [36, 13] 106
[27, 11] 684 [2, 23] 1337 [7, 18] 716 [21, 18] 1029 [19, 24] 1019 [24, 3] 854 [19,
35] 434 [7, 33] 394 [27, 20] 533 [16, 39] 2152 [23, 32] 1764 [23, 16] 2038 [16, 30]
921 [43, 21] 1817 [2, 6] 498 [19, 15] 321 [18, 15] 834 [21, 28] 101 [4, 21] 526
[27, 35] 393 [24, 36] 1267 [33, 15] 122 [16, 41] 1949 [23, 22] 708 [46, 23] 630
[29, 13] 2099 [6, 15] 197 [32, 29] 2029 [37, 21] 712 [36, 15] 407 [4, 7] 966 [16,
40] 1204 [15, 12] 355 [6, 16] 482 [37, 24] 238 [19, 12] 435 [24, 34] 364 [23, 9]
628 [19, 50] 392 [27, 24] 524 [47, 7] 1506 [2, 7] 944 [15, 32] 579 [15, 39] 1549
[19, 34] 1218 [16, 45] 1824 [24, 18] 436 [15, 16] 612 [23, 1] 1720 [18, 16] 1438
[29, 14] 651 [15, 18] 835 [29, 20] 1142 [19, 26] 1469 [45, 41] 635 [7, 13] 891 [16,
16] 0 [45, 7] 1104 [19, 1] 304 [23, 42] 760 [16, 36] 495 [19, 33] 328 [23, 40] 835
[23, 34] 371 [29, 40] 1143 [24, 50] 1007 [23, 11] 1626 [21, 33] 317 [6, 11] 351
[27, 7] 445 [43, 6] 1811 [24, 15] 831 [16, 44] 1170 [23, 24] 734 [48, 15] 94 [45,
27] 849 [18, 29] 910 [23, 13] 1809 [46, 19] 2028 [51, 21] 0 [19, 37] 896 [15, 28]
146 [43, 27] 1247 [20, 21] 990 [24, 8] 562 [35, 6] 651 [21, 8] 313 [6, 13] 387 [19,
41] 1260 [27, 47] 1636 [29, 26] 369 [20, 7] 645 [21, 29] 1938 [31, 19] 905 [16, 51]
1163 [27, 8] 443 [36, 29] 2053 [24, 51] 232 [25, 19] 639 [24, 46] 1362 [27, 48] 463
[7, 47] 1506 [35, 27] 396 [18, 24] 435 [7, 16] 851 [7, 20] 644 [23, 28] 1543 [2,
21] 592 [24, 38] 979 [47, 23] 2694 [31, 23] 2245 [6, 2] 496 [23, 30] 1163 [27, 40]
231 [7, 34] 878 [4, 19] 813 [7, 6] 489 [37, 44] 122 [19, 48] 329 [24, 35] 910 [6,
17] 306 [16, 21] 410 [20, 19] 1029 [19, 3] 168 [23, 44] 875 [27, 30] 106 [36, 3]
382 [19, 6] 225 [6, 24] 927 [24, 45] 812 [21, 37] 712 [27, 25] 274 [29, 41] 852
[12, 16] 958 [7, 32] 943 [15, 30] 318 [27, 42] 1624 [12, 30] 44 [24, 40] 396 [16,
14] 1854 [51, 23] 926 [12, 23] 1157 [19, 49] 174 [6, 39] 1738 [47, 29] 3002 [27, 6]
567 [6, 44] 811 [36, 6] 265 [29, 5] 1045 [29, 45] 525 [29, 12] 1465 [6, 48] 104
[18, 19] 961 [7, 14] 1035 [46, 43] 307 [19, 17] 89 [24, 11] 1201 [27, 18] 464 [44,
19] 930 [35, 24] 910 [21, 47] 1060 [24, 49] 979 [21, 45] 1415 [23, 23] 0 [24, 27]

```

521 [4, 16] 132 [21, 26] 1568 [7, 26] 1254 [4, 24] 1402 [4, 15] 727 [19, 21] 318
[15, 35] 560 [7, 22] 851 [19, 45] 1316 [27, 31] 1210 [44, 24] 137 [33, 21] 317 [29,
31] 2575 [29, 42] 516 [6, 31] 711 [27, 41] 1115 [6, 46] 2121 [19, 31] 928 [16, 47]
663 [51, 16] 1158 [6, 22] 985 [27, 32] 821 [16, 3] 778 [29, 49] 1655 [27, 5] 331
[30, 12] 44 [24, 41] 1444 [23, 41] 864 [17, 23] 1434 [7, 40] 554 [20, 29] 1142 [21,
41] 1569 [35, 15] 559 [16, 23] 2038 [29, 44] 1312 [27, 43] 1252 [6, 3] 291 [35, 21]
745 [43, 15] 1621 [27, 22] 416 [45, 16] 1826 [48, 16] 520 [6, 30] 507 [19, 27] 504
[23, 33] 1356 [24, 6] 994 [7, 31] 1080 [7, 37] 275 [24, 26] 918 [17, 6] 307 [6, 49]
391 [29, 50] 2002 [18, 6] 1024 [21, 31] 633 [21, 21] 0 [45, 23] 236 [6, 38] 1739
[27, 13] 772 [6, 34] 1282 [46, 15] 1932 [6, 5] 890 [27, 1] 664 [24, 5] 346 [36, 27]
765 [24, 9] 1360 [7, 30] 495 [4, 6] 596 [15, 24] 820 [15, 33] 122 [27, 10] 66 [6,
45] 1410 [24, 43] 1093 [15, 17] 366 [31, 6] 687 [6, 6] 0 [37, 6] 756 [6, 18] 1023
[21, 16] 405 [18, 27] 461 [16, 17] 779 [20, 23] 704 [7, 25] 178 [29, 30] 1471 [24,
39] 1323 [35, 23] 1131 [23, 6] 1624 [21, 22] 991 ;
end;

```

```

março.dat

```

```

data;

```

```

param n := 51;

```

```

set T := truck carreta;

```

```

param U := truck 12000, carreta 24000;

```

```

param c := truck 1.0, carreta 1.4;

```

```

set V := 1 2 3 4 5 6 7 8 9 10 11 12 13 14 15 18 17 16 19 20 21 22 23 24 25 26 27 28
29 30 31 32 33 34 35 36 37 38 39 40 41 42 43 44 45 46 47 49 48 50 51 ;

```

```

set A := 43 24, 51 15, 6 27, 43 29, 23 27, 21 49, 29 7, 21 46, 7 46, 29 18, 37 7,
15 37, 16 43, 21 48, 16 15, 15 46, 7 42, 25 24, 36 7, 45 29, 15 19, 30 24, 18 21,
16 18, 6 36, 23 20, 31 27, 7 15, 7 50, 15 42, 15 40, 17 16, 17 27, 44 6, 32 21, 21
12, 19 36, 32 6, 23 47, 21 2, 30 15, 15 13, 20 27, 32 27, 29 39, 24 12, 30 19, 25
7, 17 15, 37 16, 15 29, 45 6, 16 9, 24 31, 33 19, 29 29, 27 29, 21 11, 33 7, 21 51,
24 25, 49 27, 27 12, 36 23, 49 21, 15 2, 29 47, 44 7, 46 21, 27 39, 23 25, 19 43,
21 20, 24 23, 23 2, 27 15, 23 39, 19 23, 23 50, 23 21, 44 16, 20 16, 7 8, 24 21, 15
14, 15 7, 6 26, 19 16, 30 6, 27 16, 6 47, 49 29, 4 23, 31 24, 7 36, 21 23, 21 34,
19 8, 15 22, 21 25, 46 24, 16 31, 27 34, 15 3, 6 23, 7 12, 45 19, 47 15, 44 37, 33
29, 19 32, 49 24, 29 1, 6 50, 43 46, 7 2, 16 11, 23 31, 48 24, 16 10, 27 36, 7 3,
35 7, 18 23, 7 48, 24 2, 12 7, 23 51, 6 8, 7 39, 6 1, 16 37, 48 6, 21 40, 43 23, 27
37, 27 33, 23 49, 31 15, 48 23, 7 41, 24 30, 29 6, 43 16, 19 18, 15 20, 21 1, 24
20, 7 29, 15 9, 47 16, 7 27, 44 29, 47 24, 15 23, 24 17, 21 10, 36 21, 2 15, 27 23,
24 24, 29 46, 33 16, 6 51, 7 21, 27 9, 29 35, 16 34, 2 19, 44 15, 29 38, 29 10, 7
7, 24 13, 23 45, 29 27, 16 35, 24 10, 16 13, 19 2, 21 15, 29 51, 36 16, 37 23, 15
6, 15 47, 19 14, 16 8, 16 24, 15 25, 23 36, 31 21, 15 44, 12 29, 15 11, 15 50, 21
27, 45 15, 29 28, 16 38, 51 19, 48 29, 19 28, 21 42, 21 13, 48 21, 6 20, 16 42, 20
15, 16 19, 29 23, 35 16, 29 34, 36 19, 27 49, 29 24, 7 51, 23 38, 27 3, 30 21, 24
29, 27 50, 19 22, 24 14, 16 27, 47 21, 4 27, 25 21, 6 28, 16 48, 29 17, 33 27, 16
28, 15 27, 23 43, 49 16, 12 21, 24 37, 15 45, 15 49, 2 27, 35 19, 48 19, 16 46, 30

```

27, 16 7, 24 1, 19 51, 6 32, 21 50, 51 7, 6 10, 19 5, 6 19, 21 9, 27 19, 6 35, 21
 19, 7 9, 16 1, 6 41, 19 11, 21 17, 6 14, 6 43, 29 22, 15 43, 23 3, 37 27, 27 2, 27
 27, 29 11, 2 29, 30 23, 2 16, 37 29, 29 25, 15 41, 7 45, 16 33, 19 44, 25 6, 30 29,
 15 38, 6 40, 7 23, 23 7, 21 7, 6 25, 24 32, 19 19, 6 42, 49 7, 12 24, 6 33, 44 21,
 6 12, 23 5, 29 21, 7 38, 27 46, 15 8, 47 27, 16 22, 23 14, 16 5, 27 21, 31 7, 25
 29, 46 6, 31 16, 29 16, 24 47, 15 31, 19 20, 6 7, 37 15, 16 25, 46 16, 29 32, 33
 23, 24 28, 17 19, 23 10, 21 24, 6 29, 44 23, 30 16, 12 19, 23 15, 33 6, 17 7, 17
 21, 51 6, 15 1, 2 24, 12 27, 29 33, 32 23, 12 15, 29 37, 21 44, 49 23, 23 19, 27
 45, 7 49, 25 15, 35 29, 23 8, 24 19, 15 15, 30 11, 44 27, 15 51, 27 17, 4 29, 16
 50, 47 6, 15 10, 19 9, 43 19, 37 19, 24 7, 46 29, 7 19, 18 7, 43 7, 12 6, 32 24, 27
 38, 16 29, 15 5, 21 30, 27 26, 32 15, 45 21, 16 49, 49 15, 29 19, 19 13, 32 19, 7
 43, 49 19, 7 11, 24 42, 15 34, 16 20, 15 21, 29 3, 32 16, 21 38, 36 24, 19 46, 27
 28, 21 5, 6 9, 29 36, 24 33, 23 12, 21 14, 16 26, 29 8, 45 24, 6 21, 33 24, 49 6,
 19 39, 46 7, 24 22, 24 48, 7 44, 23 37, 21 39, 25 27, 23 46, 19 7, 21 35, 32 7, 19
 42, 25 23, 19 40, 36 30, 23 35, 30 7, 21 36, 29 43, 51 29, 27 44, 7 28, 23 48, 16
 2, 19 47, 49 2, 7 5, 46 27, 24 16, 21 3, 19 25, 16 32, 15 48, 48 27, 23 17, 30 36,
 51 24, 27 14, 7 24, 7 17, 48 7, 16 6, 19 30, 19 10, 21 43, 29 9, 29 2, 7 1, 19 38,
 29 15, 16 12, 21 32, 7 10, 17 24, 25 16, 20 24, 15 36, 23 18, 15 26, 27 51, 7 35,
 24 44, 21 6, 17 29, 19 29, 51 27, 31 29, 29 48, 47 19, 23 29, 20 6, 6 37, 23 26, 36
 13, 27 11, 2 23, 7 18, 21 18, 19 24, 24 3, 19 35, 7 33, 27 20, 16 39, 23 32, 23 16,
 16 30, 43 21, 2 6, 19 15, 18 15, 21 28, 4 21, 27 35, 24 36, 33 15, 16 41, 23 22, 46
 23, 29 13, 6 15, 32 29, 37 21, 36 15, 4 7, 16 40, 15 12, 6 16, 37 24, 19 12, 24 34,
 23 9, 19 50, 27 24, 47 7, 2 7, 15 32, 15 39, 19 34, 16 45, 24 18, 15 16, 23 1, 18
 16, 29 14, 15 18, 29 20, 19 26, 45 41, 7 13, 16 16, 45 7, 19 1, 23 42, 16 36, 19
 33, 23 40, 23 34, 29 40, 24 50, 23 11, 21 33, 6 11, 27 7, 43 6, 24 15, 16 44, 23
 24, 48 15, 45 27, 18 29, 23 13, 46 19, 51 21, 19 37, 15 28, 43 27, 20 21, 24 8, 35
 6, 21 8, 6 13, 19 41, 27 47, 29 26, 20 7, 21 29, 31 19, 16 51, 27 8, 36 29, 24 51,
 25 19, 24 46, 27 48, 7 47, 35 27, 18 24, 7 16, 7 20, 23 28, 2 21, 24 38, 47 23, 31
 23, 6 2, 23 30, 27 40, 7 34, 35 49, 4 19, 7 6, 37 44, 19 48, 24 35, 6 17, 16 21, 20
 19, 19 3, 23 44, 27 30, 36 3, 19 6, 6 24, 24 45, 21 37, 27 25, 29 41, 12 16, 7 32,
 15 30, 27 42, 12 30, 24 40, 16 14, 51 23, 12 23, 19 49, 6 39, 47 29, 27 6, 6 44, 36
 6, 29 5, 29 45, 29 12, 6 48, 18 19, 7 14, 46 43, 19 17, 24 11, 27 18, 44 19, 35 24,
 21 47, 24 49, 21 45, 23 23, 24 27, 4 16, 21 26, 7 26, 4 24, 4 15, 19 21, 15 35, 7
 22, 19 45, 27 31, 44 24, 33 21, 29 31, 29 42, 6 31, 17 30, 27 41, 6 46, 19 31, 16
 47, 51 16, 6 22, 27 32, 16 3, 29 49, 27 5, 30 12, 24 41, 23 41, 17 23, 7 40, 20 29,
 21 41, 35 15, 16 23, 29 44, 27 43, 6 3, 35 21, 43 15, 27 22, 45 16, 48 16, 6 30, 19
 27, 23 33, 24 6, 7 31, 7 37, 24 26, 17 6, 6 49, 29 50, 18 6, 21 31, 21 21, 45 23, 6
 38, 27 13, 6 34, 46 15, 6 5, 27 1, 24 5, 36 27, 24 9, 7 30, 4 6, 15 24, 15 33, 27
 10, 6 45, 24 43, 15 17, 31 6, 32 30, 6 6, 37 6, 6 18, 21 16, 18 27, 16 17, 20 23, 7
 25, 29 30, 24 39, 35 23, 23 6, 21 22;

param: K:	R	O	D:=	1	187	43	24	2	5273	43	29	3	12948	23		
	27	4	2013	21	49	5	2504	23	34	6	6063	21	33	7	1673	37
	7	8	9243	21	30	9	22914	27	7	10	3153	27	26	11	3735	31
	21	12	6949	23	24	13	6142	36	7	14	1965	7	43	15	1398	45
	27	16	653	6	36	17	4863	43	27	18	6109	7	15	19	13235	15
	21	20	7058	17	27	21	539	24	8	22	3444	21	8	23	1826	29

```

26 24 19267 21    2 25  860  21    29 26 6760 32    27 27 3479 29
39 28 22298 29    23 29 341  30    19 30 3511 25    7 31  237 36
19 32 2558 27    49 33 3396 27    48 34 182  35    27 35 429  2
21 36 6669 6     21 37 12001 6    2 38  1051 49    6 39  13460 27
40 40 5105 27    3 41  8050 49    27 42 196  35    49 43 758  30
21 44 7702 7     6 45  561  37    44 46 6830 24    29 47 467  7
44 48 3933 24    14 49 1079 49    21 50 6049 16    21 51 4503 16
27 52 4014 47    21 53 2456 25    21 54 9694 27    30 55 312  36
3 56  2111 19    6 57  5579 33    27 58 1123 23    37 59 14101 6
24 60 21371 15   27 61 2871 23    43 62 2217 21    37 63 6752 24
23 64 7433 25   27 65 9803 27    25 66 3180 24    37 67 2782 12
21 68 8276 27   15 69 280  32    7 70  5509 2     27 71 563  36
30 72 1611 21   36 73 1509 12    30 74 11764 29   43 75 5059 30
27 76 400  23   21 77 8634 27    44 78 2187 21    50 79 424  19
49 80 2065 6    19 81 8590 27    6 82  879  49    2 83  2098  6
44 84 5488 7    8 85  9813 46    27 86 4006 27    19 87 6459 15
7 88  6408 29   45 89 3153 21    19 90 536  27    16 91 669  48
27 92 621  19   17 93 387  46    43 94 1135 19    11 95 9777 27
18 96 397  30   36 97 12787 27  2 98  14164 21    25 99 1686 21
47 100 9592 7   24 101 1940 48  7 102 815  19    30 103 1037 25
6 104 2938 29   9 105 396  19    21 106 4835 44    37 107 10080 7
23 108 4973 44  24 109 986  20    24 110 9911 23    7 111 9670  6
25 112 418  15   36 113 7427 27  51 114 4139 29   42 115 4619 24
44 116 552  49   7 117 4018 6    33 118 6571 43   46 119 8593 21
6 120 1363 7    2 121 160  17    30 122 1707 29   21 123 3670 27
36 124 138  51   27 125 13586 23  29 126 879  27   46 127 1122 27
32 128 1768 6   37 129 12868 27  5 130 110  30    12 131 1735  6
8 132 5187 47   27 133 2664 6    1 134 770  36    13 135 3112 23
14 136 3375 27  11 137 21189 27  21 138 16039 27  43 139 1281  6
3 140 388  27   37 141 1242 43   23 142 19426 27  22 143 5470 27
33 144 284  19   35 145 17659 27  20 146 5217  6    30 147 9377 19
27 148 3084 24   6 149 235  2     6 150 3581  7    37 151 8167 24
20 152 1420 7   29 153 3028 21  28 154 4827  6    49 155 9224 27
35 156 2659 4   21 157 1534 21  31 158 443  47    24 159 5721  6
15 160 232  45   23 161 2674 36   15 162 242  37    24 163 5670 24
34 164 3618 36  21 165 7901 12   27 166 6839 27   23 167 13947 36
27 168 5248 47   7 169 2682 29   46 170 4848 21   44 171 7849  7
21 172 9766 27  45 173 3189 15  33 174 4216 29   38 175 7184 27
10 176 427  23   45 177 16553 29  27 178 3329 24   43 179 517  30
11 180 5209 44  27 181 184  32   30 182 3008 21   16 183 828  27
17 184 987  19   2 185 8062 21   15 186 155  18    27 187 4335 45
41 188 16009 24  7 189 5874 46   29 190 623  15    6 191 8646  7
25 ;

```

```

param distancia default 0 := [43, 24] 1092 [51, 15] 663 [6, 27] 569 [43, 29] 118
[23, 27] 1061 [21, 49] 483 [29, 7] 1625 [21, 46] 2127 [7, 46] 1814 [29, 18] 909
[37, 7] 274 [15, 37] 643 [16, 43] 2225 [21, 48] 110 [16, 15] 611 [15, 46] 1933 [7,

```

42] 1875 [25, 24] 460 [36, 7] 762 [45, 29] 526 [15, 19] 320 [30, 24] 622 [18, 21]
1030 [16, 18] 1437 [6, 36] 267 [23, 20] 704 [31, 27] 1190 [7, 15] 371 [7, 50] 502
[15, 42] 1994 [15, 40] 601 [17, 16] 781 [17, 27] 444 [44, 6] 878 [32, 21] 514 [21,
12] 549 [19, 36] 218 [32, 6] 444 [23, 47] 2693 [21, 2] 587 [30, 15] 317 [15, 13]
519 [20, 27] 529 [32, 27] 821 [29, 39] 480 [24, 12] 631 [30, 19] 398 [25, 7] 178
[17, 15] 368 [37, 16] 1119 [15, 29] 1744 [45, 6] 1412 [16, 9] 2465 [24, 31] 1585
[33, 19] 326 [29, 29] 0 [27, 29] 1373 [21, 11] 443 [33, 7] 395 [21, 51] 754 [24,
25] 459 [49, 27] 468 [27, 12] 114 [36, 23] 1762 [49, 21] 487 [15, 2] 590 [29, 47]
3001 [44, 7] 396 [46, 21] 2128 [27, 39] 1168 [23, 25] 1187 [19, 43] 1717 [21, 20]
994 [24, 23] 735 [23, 2] 1334 [27, 15] 377 [23, 39] 684 [19, 23] 1549 [23, 50] 1694
[23, 21] 1630 [44, 16] 1240 [20, 16] 1397 [7, 8] 129 [24, 21] 949 [15, 14] 1251
[15, 7] 373 [6, 26] 1562 [19, 16] 699 [30, 6] 507 [27, 16] 981 [6, 47] 1137 [49,
29] 1675 [4, 23] 2154 [31, 24] 1494 [7, 36] 762 [21, 23] 1630 [21, 34] 1288 [19, 8]
621 [15, 22] 797 [21, 25] 458 [46, 24] 1362 [16, 31] 253 [27, 34] 723 [15, 3] 253
[6, 23] 1624 [7, 12] 532 [45, 19] 1318 [47, 15] 1267 [44, 37] 122 [33, 29] 1667
[19, 32] 314 [49, 24] 982 [29, 1] 2029 [6, 50] 176 [43, 46] 307 [7, 2] 942 [16, 11]
650 [23, 31] 2267 [48, 24] 905 [16, 10] 1050 [27, 36] 763 [7, 3] 604 [35, 7] 812
[18, 23] 602 [7, 48] 457 [24, 2] 1040 [12, 7] 532 [23, 51] 926 [6, 8] 362 [7, 39]
1603 [6, 1] 88 [16, 37] 1120 [48, 6] 106 [21, 40] 796 [43, 23] 361 [27, 37] 536
[27, 33] 300 [23, 49] 1365 [31, 15] 819 [48, 23] 1521 [7, 41] 1550 [24, 30] 623
[29, 6] 1932 [43, 16] 2225 [19, 18] 959 [15, 20] 903 [21, 1] 102 [24, 20] 130 [7,
29] 1625 [15, 9] 1862 [47, 16] 662 [7, 27] 440 [44, 29] 1313 [47, 24] 1942 [15, 23]
1435 [24, 17] 958 [21, 10] 642 [36, 21] 336 [2, 15] 593 [27, 23] 1065 [24, 24] 0
[29, 46] 322 [33, 16] 726 [6, 51] 803 [7, 21] 444 [27, 9] 1492 [29, 35] 1421 [16,
34] 1696 [2, 19] 280 [44, 15] 715 [29, 38] 193 [29, 10] 1352 [7, 7] 0 [24, 13] 1396
[23, 45] 235 [29, 27] 1369 [16, 35] 1124 [24, 10] 577 [16, 13] 458 [19, 2] 278 [21,
15] 203 [29, 51] 1234 [36, 16] 498 [37, 23] 976 [15, 6] 198 [15, 47] 1267 [19, 14]
1375 [16, 8] 721 [16, 24] 1286 [15, 25] 345 [23, 36] 1760 [31, 21] 617 [15, 44] 703
[12, 29] 1466 [15, 11] 483 [15, 50] 268 [21, 27] 574 [45, 15] 1222 [29, 28] 1851
[16, 38] 2153 [51, 19] 789 [48, 29] 1830 [19, 28] 378 [21, 42] 2189 [21, 13] 459
[48, 21] 112 [6, 20] 1043 [16, 42] 2597 [20, 15] 902 [16, 19] 697 [29, 23] 440 [35,
16] 1125 [29, 34] 809 [36, 19] 221 [27, 49] 463 [29, 24] 1172 [7, 51] 419 [23, 38]
248 [27, 3] 337 [30, 21] 513 [24, 29] 1173 [27, 50] 637 [19, 22] 840 [24, 14] 522
[16, 27] 983 [47, 21] 1066 [4, 27] 1099 [25, 21] 461 [6, 28] 153 [16, 48] 518 [29,
17] 1724 [33, 27] 303 [16, 28] 509 [15, 27] 380 [23, 43] 362 [49, 16] 867 [12, 21]
549 [24, 37] 238 [15, 45] 1221 [15, 49] 485 [2, 27] 528 [35, 19] 433 [48, 19] 330
[16, 46] 2536 [30, 27] 108 [16, 7] 850 [24, 1] 1039 [19, 51] 787 [6, 32] 448 [21,
50] 81 [51, 7] 419 [6, 10] 636 [19, 5] 825 [6, 19] 225 [21, 9] 2057 [27, 19] 504
[6, 35] 651 [21, 19] 317 [7, 9] 1743 [16, 1] 373 [6, 41] 1477 [19, 11] 205 [21, 17]
398 [6, 14] 1440 [6, 43] 1811 [29, 22] 999 [15, 43] 1622 [23, 3] 1384 [37, 27] 532
[27, 2] 523 [27, 27] 0 [29, 11] 1917 [2, 29] 1628 [30, 23] 1163 [2, 16] 972 [37,
29] 1414 [29, 25] 1495 [15, 41] 1496 [7, 45] 1102 [16, 33] 725 [19, 44] 929 [25, 6]
506 [30, 29] 1471 [15, 38] 1551 [6, 40] 790 [7, 23] 1248 [23, 7] 1249 [21, 7] 441
[6, 25] 534 [24, 32] 1338 [19, 19] 0 [6, 42] 2183 [49, 7] 860 [12, 24] 630 [6, 33]
311 [44, 21] 833 [6, 12] 544 [23, 5] 736 [29, 21] 1938 [7, 38] 1432 [27, 46] 1563
[15, 8] 244 [47, 27] 1639 [16, 22] 1400 [23, 14] 213 [16, 5] 1304 [27, 21] 573 [31,

7] 1057 [25, 29] 1496 [46, 6] 2122 [31, 16] 224 [29, 16] 2346 [24, 47] 2011 [15, 31] 841 [19, 20] 1027 [6, 7] 490 [37, 15] 639 [16, 25] 866 [46, 16] 2536 [29, 32] 2054 [33, 23] 1359 [24, 28] 845 [17, 19] 89 [23, 10] 1044 [21, 24] 878 [6, 29] 1932 [44, 23] 875 [30, 16] 921 [12, 19] 436 [23, 15] 1434 [33, 6] 311 [17, 7] 710 [17, 21] 401 [51, 6] 852 [15, 1] 295 [2, 24] 1043 [12, 27] 116 [29, 33] 1665 [32, 23] 1739 [12, 15] 354 [29, 37] 1413 [21, 44] 762 [49, 23] 1385 [23, 19] 1548 [27, 45] 851 [7, 49] 858 [25, 15] 347 [35, 29] 1422 [23, 8] 1299 [24, 19] 1021 [15, 15] 0 [30, 11] 555 [44, 27] 492 [15, 51] 663 [27, 17] 441 [4, 29] 2462 [16, 50] 411 [47, 6] 1136 [15, 10] 447 [19, 9] 1957 [43, 19] 1717 [37, 19] 897 [24, 7] 512 [46, 29] 324 [7, 19] 713 [18, 7] 716 [43, 7] 1503 [12, 6] 543 [32, 24] 1336 [27, 38] 1180 [16, 29] 2346 [15, 5] 701 [21, 30] 512 [27, 26] 1003 [32, 15] 585 [45, 21] 1418 [16, 49] 864 [49, 15] 487 [29, 19] 1838 [19, 13] 269 [32, 19] 313 [7, 43] 1503 [49, 19] 175 [7, 11] 839 [24, 42] 1492 [15, 34] 1093 [16, 20] 1403 [15, 21] 204 [29, 3] 1693 [32, 16] 606 [21, 38] 1745 [36, 24] 1199 [19, 46] 2028 [27, 28] 510 [21, 5] 896 [6, 9] 2051 [29, 36] 2051 [24, 33] 754 [23, 12] 1157 [21, 14] 1445 [16, 26] 1976 [29, 8] 1643 [45, 24] 812 [6, 21] 102 [33, 24] 755 [49, 6] 393 [19, 39] 1598 [46, 7] 1814 [24, 22] 922 [24, 48] 917 [7, 44] 394 [23, 37] 975 [21, 39] 1744 [25, 27] 269 [23, 46] 631 [19, 7] 749 [21, 35] 743 [32, 7] 941 [19, 42] 2090 [25, 23] 1187 [19, 40] 726 [36, 30] 610 [23, 35] 1131 [30, 7] 496 [21, 36] 330 [29, 43] 118 [51, 29] 1235 [27, 44] 496 [7, 28] 339 [23, 48] 1520 [16, 2] 968 [19, 47] 1354 [49, 2] 105 [7, 5] 582 [46, 27] 1559 [24, 16] 1356 [21, 3] 397 [19, 25] 637 [16, 32] 608 [15, 48] 94 [48, 27] 466 [23, 17] 1434 [30, 36] 611 [51, 24] 231 [27, 14] 881 [7, 24] 511 [7, 17] 708 [48, 7] 459 [16, 6] 480 [19, 30] 396 [19, 10] 547 [21, 43] 1817 [29, 9] 384 [29, 2] 1624 [7, 1] 533 [19, 38] 1646 [29, 15] 1742 [16, 12] 958 [21, 32] 511 [7, 10] 501 [17, 24] 958 [25, 16] 869 [20, 24] 130 [15, 36] 398 [23, 18] 629 [15, 26] 1373 [27, 51] 293 [7, 35] 812 [24, 44] 138 [21, 6] 99 [17, 29] 1725 [19, 29] 1839 [51, 27] 289 [31, 29] 2554 [29, 48] 1828 [47, 19] 1353 [23, 29] 442 [20, 6] 1092 [6, 37] 760 [23, 26] 186 [36, 13] 106 [27, 11] 684 [2, 23] 1337 [7, 18] 716 [21, 18] 1029 [19, 24] 1019 [24, 3] 854 [19, 35] 434 [7, 33] 394 [27, 20] 533 [16, 39] 2152 [23, 32] 1764 [23, 16] 2038 [16, 30] 921 [43, 21] 1817 [2, 6] 498 [19, 15] 321 [18, 15] 834 [21, 28] 101 [4, 21] 526 [27, 35] 393 [24, 36] 1267 [33, 15] 122 [16, 41] 1949 [23, 22] 708 [46, 23] 630 [29, 13] 2099 [6, 15] 197 [32, 29] 2029 [37, 21] 712 [36, 15] 407 [4, 7] 966 [16, 40] 1204 [15, 12] 355 [6, 16] 482 [37, 24] 238 [19, 12] 435 [24, 34] 364 [23, 9] 628 [19, 50] 392 [27, 24] 524 [47, 7] 1506 [2, 7] 944 [15, 32] 579 [15, 39] 1549 [19, 34] 1218 [16, 45] 1824 [24, 18] 436 [15, 16] 612 [23, 1] 1720 [18, 16] 1438 [29, 14] 651 [15, 18] 835 [29, 20] 1142 [19, 26] 1469 [45, 41] 635 [7, 13] 891 [16, 16] 0 [45, 7] 1104 [19, 1] 304 [23, 42] 760 [16, 36] 495 [19, 33] 328 [23, 40] 835 [23, 34] 371 [29, 40] 1143 [24, 50] 1007 [23, 11] 1626 [21, 33] 317 [6, 11] 351 [27, 7] 445 [43, 6] 1811 [24, 15] 831 [16, 44] 1170 [23, 24] 734 [48, 15] 94 [45, 27] 849 [18, 29] 910 [23, 13] 1809 [46, 19] 2028 [51, 21] 750 [19, 37] 896 [15, 28] 146 [43, 27] 1247 [20, 21] 990 [24, 8] 562 [35, 6] 651 [21, 8] 313 [6, 13] 387 [19, 41] 1260 [27, 47] 1636 [29, 26] 369 [20, 7] 645 [21, 29] 1938 [31, 19] 905 [16, 51] 1163 [27, 8] 443 [36, 29] 2053 [24, 51] 232 [25, 19] 639 [24, 46] 1362 [27, 48] 463 [7, 47] 1506 [35, 27] 396 [18, 24] 435 [7, 16] 851 [7, 20] 644 [23, 28] 1543 [2, 21] 592 [24, 38] 979 [47, 23] 2694 [31, 23] 2245 [6, 2] 496 [23, 30] 1163 [27, 40] 231 [7, 34] 878 [35, 49] 250 [4, 19] 813

```

[7, 6] 489 [37, 44] 122 [19, 48] 329 [24, 35] 910 [6, 17] 306 [16, 21] 410 [20, 19]
1029 [19, 3] 168 [23, 44] 875 [27, 30] 106 [36, 3] 382 [19, 6] 225 [6, 24] 927 [24,
45] 812 [21, 37] 712 [27, 25] 274 [29, 41] 852 [12, 16] 958 [7, 32] 943 [15, 30]
318 [27, 42] 1624 [12, 30] 44 [24, 40] 396 [16, 14] 1854 [51, 23] 926 [12, 23] 1157
[19, 49] 174 [6, 39] 1738 [47, 29] 3002 [27, 6] 567 [6, 44] 811 [36, 6] 265 [29, 5]
1045 [29, 45] 525 [29, 12] 1465 [6, 48] 104 [18, 19] 961 [7, 14] 1035 [46, 43] 307
[19, 17] 89 [24, 11] 1201 [27, 18] 464 [44, 19] 930 [35, 24] 910 [21, 47] 1060 [24,
49] 979 [21, 45] 1415 [23, 23] 0 [24, 27] 521 [4, 16] 132 [21, 26] 1568 [7, 26]
1254 [4, 24] 1402 [4, 15] 727 [19, 21] 318 [15, 35] 560 [7, 22] 851 [19, 45] 1316
[27, 31] 1210 [44, 24] 137 [33, 21] 317 [29, 31] 2575 [29, 42] 516 [6, 31] 711 [17,
30] 336 [27, 41] 1115 [6, 46] 2121 [19, 31] 928 [16, 47] 663 [51, 16] 1158 [6, 22]
985 [27, 32] 821 [16, 3] 778 [29, 49] 1655 [27, 5] 331 [30, 12] 44 [24, 41] 1444
[23, 41] 864 [17, 23] 1434 [7, 40] 554 [20, 29] 1142 [21, 41] 1569 [35, 15] 559
[16, 23] 2038 [29, 44] 1312 [27, 43] 1252 [6, 3] 291 [35, 21] 745 [43, 15] 1621
[27, 22] 416 [45, 16] 1826 [48, 16] 520 [6, 30] 507 [19, 27] 504 [23, 33] 1356 [24,
6] 994 [7, 31] 1080 [7, 37] 275 [24, 26] 918 [17, 6] 307 [6, 49] 391 [29, 50] 2002
[18, 6] 1024 [21, 31] 633 [21, 21] 0 [45, 23] 236 [6, 38] 1739 [27, 13] 772 [6, 34]
1282 [46, 15] 1932 [6, 5] 890 [27, 1] 664 [24, 5] 346 [36, 27] 765 [24, 9] 1360 [7,
30] 495 [4, 6] 596 [15, 24] 820 [15, 33] 122 [27, 10] 66 [6, 45] 1410 [24, 43] 1093
[15, 17] 366 [31, 6] 687 [32, 30] 690 [6, 6] 0 [37, 6] 756 [6, 18] 1023 [21, 16]
405 [18, 27] 461 [16, 17] 779 [20, 23] 704 [7, 25] 178 [29, 30] 1471 [24, 39] 1323
[35, 23] 1131 [23, 6] 1624 [21, 22] 991 ;
end;

```

```

abril.dat
data;
param n := 51;
set T := truck carreta;
param U := truck 12000, carreta 24000;
param c := truck 1.0, carreta 1.4;
set V := 1 2 3 4 5 6 7 8 9 10 11 12 13 14 15 16 18 17 19 20 21 22 23 24 25 26 27 28
29 30 31 32 33 34 35 36 37 39 38 40 41 42 43 44 45 46 47 48 49 50 51 ;
set A := 43 24, 51 15, 6 27, 43 29, 23 27, 21 49, 29 7, 21 46, 7 46, 29 18, 37 7,
16 43, 15 37, 16 15, 15 46, 7 42, 25 24, 36 7, 45 29, 15 19, 30 24, 18 21, 16 18, 6
36, 23 20, 31 27, 7 15, 7 50, 15 42, 15 40, 17 16, 17 27, 44 6, 32 21, 21 12, 19
36, 32 6, 21 2, 23 47, 30 15, 15 13, 20 27, 32 27, 29 39, 50 16, 24 12, 30 19, 25
7, 17 15, 37 16, 15 29, 45 6, 16 9, 24 31, 33 19, 29 29, 27 29, 21 11, 33 7, 21 51,
24 25, 49 27, 27 12, 36 23, 49 21, 15 2, 29 47, 50 6, 44 7, 46 21, 27 39, 19 43, 23
25, 21 20, 24 23, 23 2, 27 15, 23 39, 19 23, 23 50, 23 21, 44 16, 20 16, 7 8, 24
21, 15 14, 15 7, 6 26, 19 16, 30 6, 27 16, 6 47, 49 29, 4 23, 31 24, 7 36, 21 23,
21 34, 19 8, 15 22, 21 25, 46 24, 27 34, 16 31, 15 3, 6 23, 7 12, 45 19, 47 15, 44
37, 33 29, 19 32, 49 24, 29 1, 6 50, 7 2, 16 11, 48 24, 23 31, 16 10, 27 36, 7 3,
35 7, 18 23, 24 2, 12 7, 23 51, 6 8, 7 39, 6 1, 47 44, 16 37, 48 6, 21 40, 43 23,
27 37, 27 33, 46 14, 50 29, 23 49, 31 15, 48 23, 7 41, 24 30, 29 6, 43 16, 19 18,

```

15 20, 21 1, 24 20, 7 29, 15 9, 47 16, 7 27, 44 29, 47 24, 15 23, 24 17, 21 10, 44
47, 36 21, 2 15, 27 23, 24 24, 29 46, 33 16, 6 51, 7 21, 27 9, 29 35, 16 34, 2 19,
44 15, 29 38, 29 10, 7 7, 24 13, 23 45, 29 27, 16 35, 24 10, 16 13, 19 2, 21 15, 29
51, 36 16, 37 23, 15 6, 15 47, 19 14, 16 8, 16 24, 50 21, 15 25, 23 36, 31 21, 15
44, 12 29, 15 11, 15 50, 21 27, 45 15, 29 28, 16 38, 51 19, 48 29, 19 28, 21 42, 21
13, 48 21, 6 20, 16 42, 20 15, 16 19, 29 23, 35 16, 29 34, 36 19, 27 49, 29 24, 7
51, 23 38, 27 3, 30 21, 24 29, 27 50, 32 36, 19 22, 16 27, 24 14, 47 21, 4 27, 25
21, 6 28, 29 17, 33 27, 16 28, 23 43, 15 27, 49 16, 12 21, 24 37, 15 45, 15 49, 2
27, 35 19, 48 19, 16 46, 30 27, 16 7, 43 38, 24 1, 19 51, 6 32, 21 50, 51 7, 6 10,
19 5, 6 19, 21 9, 27 19, 6 35, 21 19, 7 9, 16 1, 6 41, 19 11, 21 17, 6 43, 6 14, 29
22, 15 43, 23 3, 37 27, 27 2, 27 27, 29 11, 2 29, 30 23, 2 16, 37 29, 29 25, 15 41,
7 45, 16 33, 19 44, 25 6, 30 29, 15 38, 6 40, 7 23, 23 7, 21 7, 6 25, 24 32, 19 19,
6 42, 49 7, 12 24, 6 33, 44 21, 6 12, 23 5, 29 21, 7 38, 27 46, 15 8, 47 27, 16 22,
23 14, 16 5, 27 21, 31 7, 25 29, 46 6, 31 16, 29 16, 15 31, 19 20, 6 7, 24 47, 37
15, 16 25, 45 43, 46 16, 29 32, 33 23, 24 28, 17 19, 23 10, 21 24, 6 29, 44 23, 30
16, 12 19, 23 15, 33 6, 17 7, 17 21, 51 6, 15 1, 2 24, 12 27, 29 33, 32 23, 12 15,
29 37, 21 44, 49 23, 23 19, 27 45, 7 49, 25 15, 35 29, 23 8, 24 19, 15 15, 30 11,
44 27, 15 51, 27 17, 4 29, 16 50, 47 6, 15 10, 19 9, 43 19, 37 19, 24 7, 46 29, 7
19, 18 7, 43 7, 12 6, 32 24, 50 7, 50 19, 27 38, 16 29, 15 5, 21 30, 27 26, 32 15,
45 21, 16 49, 49 15, 29 19, 19 13, 32 19, 7 43, 49 19, 7 11, 24 42, 15 34, 16 20,
15 21, 29 3, 50 24, 32 16, 21 38, 36 24, 19 46, 27 28, 21 5, 6 9, 29 36, 24 33, 23
12, 21 14, 16 26, 29 8, 45 24, 6 21, 33 24, 49 6, 19 39, 46 7, 24 22, 7 44, 23 37,
21 39, 25 27, 23 46, 19 7, 21 35, 32 7, 19 42, 25 23, 19 40, 36 30, 23 35, 30 7, 21
36, 29 43, 51 29, 27 44, 7 28, 16 2, 19 47, 49 2, 7 5, 46 27, 24 16, 21 3, 19 25,
16 32, 48 27, 23 17, 30 36, 51 24, 27 14, 7 24, 7 17, 48 7, 16 6, 19 30, 19 10, 30
32, 21 43, 29 9, 29 2, 7 1, 19 38, 29 15, 16 12, 17 24, 21 32, 7 10, 25 16, 20 24,
15 36, 23 18, 15 26, 27 51, 7 35, 24 44, 21 6, 17 29, 19 29, 51 27, 31 29, 47 19,
23 29, 50 23, 20 6, 6 37, 23 26, 36 13, 27 11, 2 23, 7 18, 21 18, 19 24, 24 3, 19
35, 7 33, 27 20, 16 39, 23 32, 23 16, 16 30, 43 21, 2 6, 19 15, 18 15, 21 28, 4 21,
27 35, 24 36, 33 15, 16 41, 23 22, 46 23, 29 13, 6 15, 32 29, 37 21, 36 15, 4 7, 16
40, 15 12, 6 16, 37 24, 19 12, 24 34, 23 9, 19 50, 27 24, 47 7, 2 7, 15 32, 15 39,
19 34, 16 45, 24 18, 15 16, 23 1, 18 16, 29 14, 15 18, 29 20, 19 26, 45 41, 7 13,
16 16, 45 7, 19 1, 23 42, 16 36, 19 33, 23 40, 23 34, 29 40, 24 50, 23 11, 21 33, 6
11, 43 6, 27 7, 24 15, 16 44, 23 24, 48 15, 45 27, 18 29, 23 13, 46 19, 51 21, 19
37, 15 28, 43 27, 20 21, 24 8, 35 6, 21 8, 6 13, 19 41, 27 47, 29 26, 20 7, 21 29,
31 19, 16 51, 27 8, 36 29, 24 51, 25 19, 24 46, 35 27, 7 47, 18 24, 7 16, 7 20, 23
28, 2 21, 47 23, 24 38, 31 23, 6 2, 23 30, 27 40, 7 34, 4 19, 7 6, 37 44, 24 35, 6
17, 16 21, 20 19, 19 3, 23 44, 27 30, 36 3, 19 6, 6 24, 24 45, 21 37, 27 25, 29 41,
12 16, 7 32, 15 30, 27 42, 12 30, 24 40, 16 14, 51 23, 12 23, 19 49, 6 39, 47 29,
27 6, 6 44, 36 6, 29 5, 29 45, 29 12, 18 19, 7 14, 19 17, 24 11, 27 18, 44 19, 35
24, 21 47, 24 49, 43 45, 21 45, 23 23, 24 27, 4 16, 21 26, 7 26, 4 24, 4 15, 19 21,
15 35, 7 22, 19 45, 44 24, 27 31, 33 21, 29 42, 29 31, 6 31, 17 30, 27 41, 6 46, 19
31, 51 16, 16 47, 6 22, 27 32, 16 3, 29 49, 27 5, 30 12, 24 41, 23 41, 17 23, 7 40,
50 27, 20 29, 21 41, 35 15, 16 23, 29 44, 27 43, 6 3, 35 21, 43 15, 27 22, 45 16,
48 16, 6 30, 19 27, 23 33, 24 6, 7 31, 7 37, 24 26, 17 6, 6 49, 29 50, 18 6, 21 31,
21 21, 45 23, 6 38, 27 13, 6 34, 46 15, 6 5, 27 1, 24 5, 36 27, 24 9, 7 30, 4 6, 15

24, 15 33, 27 10, 6 45, 24 43, 15 17, 50 15, 31 6, 32 30, 6 6, 37 6, 6 18, 21 16,
18 27, 16 17, 20 23, 7 25, 29 30, 24 39, 35 23, 23 6, 21 22;

param:	K:	R	O	D:=	1	4557	43	29	2	16144	23	27	3	3218	21	
	49	4	501	29	7	5	2349	23	34	6	4733	21	33	7	1699	37
	7	8	7461	21	30	9	118	50	21	10	2882	27	26	11	3970	31
	21	12	6735	23	24	13	5509	36	7	14	482	45	29	15	896	7
	43	16	1013	45	27	17	968	6	36	18	5267	43	27	19	4618	7
	15	20	9376	15	21	21	7459	17	27	22	22259	48	21	23	1351	24
	8	24	3528	21	8	25	2135	29	26	26	116	19	36	27	16446	21
	2	28	889	21	29	29	8926	32	27	30	2374	29	39	31	20657	29
	23	32	575	30	19	33	3402	25	7	34	273	36	19	35	3987	27
	49	36	878	24	46	37	296	35	27	38	435	29	24	39	464	2
	21	40	5245	6	21	41	12609	6	2	42	308	49	6	43	1949	46
	7	44	14248	27	40	45	5232	27	3	46	8325	49	27	47	269	30
	21	48	6098	7	6	49	600	37	44	50	7114	24	29	51	130	7
	44	52	193	32	36	53	4633	24	14	54	5079	16	21	55	7586	16
	27	56	2823	47	21	57	482	4	27	58	2419	25	21	59	11632	27
	30	60	202	36	3	61	2469	19	6	62	6021	33	27	63	1361	23
	37	64	22931	6	24	65	20548	15	27	66	1778	23	43	67	2258	21
	37	68	10558	24	23	69	9255	25	27	70	11066	27	25	71	2635	24
	37	72	2258	12	21	73	542	21	35	74	9131	27	15	75	934	32
	7	76	2061	2	27	77	249	36	30	78	759	21	36	79	865	12
	30	80	9388	29	43	81	5385	30	27	82	400	16	7	83	322	43
	38	84	11481	27	44	85	2243	21	50	86	364	19	49	87	2125	6
	19	88	9716	27	6	89	544	49	2	90	1706	6	44	91	6298	7
	8	92	21152	24	21	93	6977	46	27	94	3355	27	19	95	8858	15
	7	96	6054	29	45	97	2779	21	19	98	715	19	11	99	8758	27
	18	100	249	30	36	101	145	37	27	102	19697	27	2	103	12518	21
	25	104	1049	46	24	105	1386	21	47	106	392	16	31	107	8367	7
	24	108	842	43	45	109	701	30	32	110	1054	19	30	111	426	4
	16	112	1448	25	6	113	2450	29	9	114	6091	44	37	115	10822	7
	23	116	5929	44	24	117	568	20	24	118	10402	23	7	119	7709	6
	25	120	224	15	36	121	8480	27	51	122	2874	29	42	123	4662	24
	44	124	397	49	7	125	3353	6	33	126	3498	21	6	127	636	7
	2	128	212	17	30	129	1232	29	21	130	4118	27	36	131	161	51
	27	132	18692	23	29	133	174	18	23	134	1095	27	46	135	1168	27
	32	136	2283	6	37	137	11545	27	5	138	228	30	12	139	3128	6
	8	140	10027	47	27	141	2127	6	1	142	1144	47	44	143	1127	36
	13	144	2811	23	14	145	3125	27	11	146	12603	27	43	147	2062	6
	3	148	2833	43	23	149	18237	27	22	150	22918	6	7	151	1184	46
	14	152	5132	27	33	153	153	7	33	154	12677	27	20	155	3891	6
	30	156	10666	19	27	157	165	45	43	158	3416	24	6	159	116	17
	19	160	1970	2	6	161	3888	7	37	162	9192	24	20	163	3814	7
	29	164	2458	21	28	165	4408	6	49	166	9324	27	35	167	5594	4
	21	168	1453	21	31	169	450	47	24	170	6161	6	15	171	1851	36
	15	172	268	37	24	173	4238	24	34	174	176	44	47	175	2773	36

```

21 176 13069 12      27 177 8081 27      23 178 10684 36      27 179 4609 47
7 180 14463 29      46 181 107 29      37 182 2792 21      44 183 4427 7
21 184 9035 27      45 185 3363 15      33 186 3819 29      38 187 8104 27
10 188 153 23      45 189 14688 29      27 190 1182 24      43 191 1291 30
11 192 7755 44      27 193 215 32      30 194 2310 21      16 195 1021 27
17 196 1237 19      2 197 7253 21      15 198 3064 45      41 199 13484 24
7 200 8976 46      29 201 3094 15      6 202 6836 7      25 203 202 21
22 ;

param distancia default 0 := [43, 24] 1092 [51, 15] 663 [6, 27] 569 [43, 29] 118
[23, 27] 1061 [21, 49] 483 [29, 7] 1625 [21, 46] 2127 [7, 46] 1814 [29, 18] 909
[37, 7] 274 [16, 43] 2225 [15, 37] 643 [16, 15] 611 [15, 46] 1933 [7, 42] 1875 [25,
24] 460 [36, 7] 762 [45, 29] 526 [15, 19] 320 [30, 24] 622 [18, 21] 1030 [16, 18]
1437 [6, 36] 267 [23, 20] 704 [31, 27] 1190 [7, 15] 371 [7, 50] 502 [15, 42] 1994
[15, 40] 601 [17, 16] 781 [17, 27] 444 [44, 6] 878 [32, 21] 514 [21, 12] 549 [19,
36] 218 [32, 6] 444 [21, 2] 587 [23, 47] 2693 [30, 15] 317 [15, 13] 519 [20, 27]
529 [32, 27] 821 [29, 39] 480 [50, 16] 414 [24, 12] 631 [30, 19] 398 [25, 7] 178
[17, 15] 368 [37, 16] 1119 [15, 29] 1744 [45, 6] 1412 [16, 9] 2465 [24, 31] 1585
[33, 19] 326 [29, 29] 0 [27, 29] 1373 [21, 11] 443 [33, 7] 395 [21, 51] 754 [24,
25] 459 [49, 27] 468 [27, 12] 114 [36, 23] 1762 [49, 21] 487 [15, 2] 590 [29, 47]
3001 [50, 6] 174 [44, 7] 396 [46, 21] 2128 [27, 39] 1168 [19, 43] 1717 [23, 25]
1187 [21, 20] 994 [24, 23] 735 [23, 2] 1334 [27, 15] 377 [23, 39] 684 [19, 23] 1549
[23, 50] 1694 [23, 21] 1630 [44, 16] 1240 [20, 16] 1397 [7, 8] 129 [24, 21] 949
[15, 14] 1251 [15, 7] 373 [6, 26] 1562 [19, 16] 699 [30, 6] 507 [27, 16] 981 [6,
47] 1137 [49, 29] 1675 [4, 23] 2154 [31, 24] 1494 [7, 36] 762 [21, 23] 1630 [21,
34] 1288 [19, 8] 621 [15, 22] 797 [21, 25] 458 [46, 24] 1362 [27, 34] 723 [16, 31]
253 [15, 3] 253 [6, 23] 1624 [7, 12] 532 [45, 19] 1318 [47, 15] 1267 [44, 37] 122
[33, 29] 1667 [19, 32] 314 [49, 24] 982 [29, 1] 2029 [6, 50] 176 [7, 2] 942 [16,
11] 650 [48, 24] 905 [23, 31] 2267 [16, 10] 1050 [27, 36] 763 [7, 3] 604 [35, 7]
812 [18, 23] 602 [24, 2] 1040 [12, 7] 532 [23, 51] 926 [6, 8] 362 [7, 39] 1603 [6,
1] 88 [47, 44] 1826 [16, 37] 1120 [48, 6] 106 [21, 40] 796 [43, 23] 361 [27, 37]
536 [27, 33] 300 [46, 14] 841 [50, 29] 2004 [23, 49] 1365 [31, 15] 819 [48, 23]
1521 [7, 41] 1550 [24, 30] 623 [29, 6] 1932 [43, 16] 2225 [19, 18] 959 [15, 20] 903
[21, 1] 102 [24, 20] 130 [7, 29] 1625 [15, 9] 1862 [47, 16] 662 [7, 27] 440 [44,
29] 1313 [47, 24] 1942 [15, 23] 1435 [24, 17] 958 [21, 10] 642 [44, 47] 1895 [36,
21] 336 [2, 15] 593 [27, 23] 1065 [24, 24] 0 [29, 46] 322 [33, 16] 726 [6, 51] 803
[7, 21] 444 [27, 9] 1492 [29, 35] 1421 [16, 34] 1696 [2, 19] 280 [44, 15] 715 [29,
38] 193 [29, 10] 1352 [7, 7] 0 [24, 13] 1396 [23, 45] 235 [29, 27] 1369 [16, 35]
1124 [24, 10] 577 [16, 13] 458 [19, 2] 278 [21, 15] 203 [29, 51] 1234 [36, 16] 498
[37, 23] 976 [15, 6] 198 [15, 47] 1267 [19, 14] 1375 [16, 8] 721 [16, 24] 1286 [50,
21] 80 [15, 25] 345 [23, 36] 1760 [31, 21] 617 [15, 44] 703 [12, 29] 1466 [15, 11]
483 [15, 50] 268 [21, 27] 574 [45, 15] 1222 [29, 28] 1851 [16, 38] 2153 [51, 19]
789 [48, 29] 1830 [19, 28] 378 [21, 42] 2189 [21, 13] 459 [48, 21] 112 [6, 20] 1043
[16, 42] 2597 [20, 15] 902 [16, 19] 697 [29, 23] 440 [35, 16] 1125 [29, 34] 809
[36, 19] 221 [27, 49] 463 [29, 24] 1172 [7, 51] 419 [23, 38] 248 [27, 3] 337 [30,
21] 513 [24, 29] 1173 [27, 50] 637 [32, 36] 180 [19, 22] 840 [16, 27] 983 [24, 14]
522 [47, 21] 1066 [4, 27] 1099 [25, 21] 461 [6, 28] 153 [29, 17] 1724 [33, 27] 303

```

[16, 28] 509 [23, 43] 362 [15, 27] 380 [49, 16] 867 [12, 21] 549 [24, 37] 238 [15, 45] 1221 [15, 49] 485 [2, 27] 528 [35, 19] 433 [48, 19] 330 [16, 46] 2536 [30, 27] 108 [16, 7] 850 [43, 38] 113 [24, 1] 1039 [19, 51] 787 [6, 32] 448 [21, 50] 81 [51, 7] 419 [6, 10] 636 [19, 5] 825 [6, 19] 225 [21, 9] 2057 [27, 19] 504 [6, 35] 651 [21, 19] 317 [7, 9] 1743 [16, 1] 373 [6, 41] 1477 [19, 11] 205 [21, 17] 398 [6, 43] 1811 [6, 14] 1440 [29, 22] 999 [15, 43] 1622 [23, 3] 1384 [37, 27] 532 [27, 2] 523 [27, 27] 0 [29, 11] 1917 [2, 29] 1628 [30, 23] 1163 [2, 16] 972 [37, 29] 1414 [29, 25] 1495 [15, 41] 1496 [7, 45] 1102 [16, 33] 725 [19, 44] 929 [25, 6] 506 [30, 29] 1471 [15, 38] 1551 [6, 40] 790 [7, 23] 1248 [23, 7] 1249 [21, 7] 441 [6, 25] 534 [24, 32] 1338 [19, 19] 0 [6, 42] 2183 [49, 7] 860 [12, 24] 630 [6, 33] 311 [44, 21] 833 [6, 12] 544 [23, 5] 736 [29, 21] 1938 [7, 38] 1432 [27, 46] 1563 [15, 8] 244 [47, 27] 1639 [16, 22] 1400 [23, 14] 213 [16, 5] 1304 [27, 21] 573 [31, 7] 1057 [25, 29] 1496 [46, 6] 2122 [31, 16] 224 [29, 16] 2346 [15, 31] 841 [19, 20] 1027 [6, 7] 490 [24, 47] 2011 [37, 15] 639 [16, 25] 866 [45, 43] 404 [46, 16] 2536 [29, 32] 2054 [33, 23] 1359 [24, 28] 845 [17, 19] 89 [23, 10] 1044 [21, 24] 878 [6, 29] 1932 [44, 23] 875 [30, 16] 921 [12, 19] 436 [23, 15] 1434 [33, 6] 311 [17, 7] 710 [17, 21] 401 [51, 6] 852 [15, 1] 295 [2, 24] 1043 [12, 27] 116 [29, 33] 1665 [32, 23] 1739 [12, 15] 354 [29, 37] 1413 [21, 44] 762 [49, 23] 1385 [23, 19] 1548 [27, 45] 851 [7, 49] 858 [25, 15] 347 [35, 29] 1422 [23, 8] 1299 [24, 19] 1021 [15, 15] 0 [30, 11] 555 [44, 27] 492 [15, 51] 663 [27, 17] 441 [4, 29] 2462 [16, 50] 411 [47, 6] 1136 [15, 10] 447 [19, 9] 1957 [43, 19] 1717 [37, 19] 897 [24, 7] 512 [46, 29] 324 [7, 19] 713 [18, 7] 716 [43, 7] 1503 [12, 6] 543 [32, 24] 1336 [50, 7] 507 [50, 19] 392 [27, 38] 1180 [16, 29] 2346 [15, 5] 701 [21, 30] 512 [27, 26] 1003 [32, 15] 585 [45, 21] 1418 [16, 49] 864 [49, 15] 487 [29, 19] 1838 [19, 13] 269 [32, 19] 313 [7, 43] 1503 [49, 19] 175 [7, 11] 839 [24, 42] 1492 [15, 34] 1093 [16, 20] 1403 [15, 21] 204 [29, 3] 1693 [50, 24] 944 [32, 16] 606 [21, 38] 1745 [36, 24] 1199 [19, 46] 2028 [27, 28] 510 [21, 5] 896 [6, 9] 2051 [29, 36] 2051 [24, 33] 754 [23, 12] 1157 [21, 14] 1445 [16, 26] 1976 [29, 8] 1643 [45, 24] 812 [6, 21] 102 [33, 24] 755 [49, 6] 393 [19, 39] 1598 [46, 7] 1814 [24, 22] 922 [7, 44] 394 [23, 37] 975 [21, 39] 1744 [25, 27] 269 [23, 46] 631 [19, 7] 749 [21, 35] 743 [32, 7] 941 [19, 42] 2090 [25, 23] 1187 [19, 40] 726 [36, 30] 610 [23, 35] 1131 [30, 7] 496 [21, 36] 330 [29, 43] 118 [51, 29] 1235 [27, 44] 496 [7, 28] 339 [16, 2] 968 [19, 47] 1354 [49, 2] 105 [7, 5] 582 [46, 27] 1559 [24, 16] 1356 [21, 3] 397 [19, 25] 637 [16, 32] 608 [48, 27] 466 [23, 17] 1434 [30, 36] 611 [51, 24] 231 [27, 14] 881 [7, 24] 511 [7, 17] 708 [48, 7] 459 [16, 6] 480 [19, 30] 396 [19, 10] 547 [30, 32] 692 [21, 43] 1817 [29, 9] 384 [29, 2] 1624 [7, 1] 533 [19, 38] 1646 [29, 15] 1742 [16, 12] 958 [17, 24] 958 [21, 32] 511 [7, 10] 501 [25, 16] 869 [20, 24] 130 [15, 36] 398 [23, 18] 629 [15, 26] 1373 [27, 51] 293 [7, 35] 812 [24, 44] 138 [21, 6] 99 [17, 29] 1725 [19, 29] 1839 [51, 27] 289 [31, 29] 2554 [47, 19] 1353 [23, 29] 442 [50, 23] 1695 [20, 6] 1092 [6, 37] 760 [23, 26] 186 [36, 13] 106 [27, 11] 684 [2, 23] 1337 [7, 18] 716 [21, 18] 1029 [19, 24] 1019 [24, 3] 854 [19, 35] 434 [7, 33] 394 [27, 20] 533 [16, 39] 2152 [23, 32] 1764 [23, 16] 2038 [16, 30] 921 [43, 21] 1817 [2, 6] 498 [19, 15] 321 [18, 15] 834 [21, 28] 101 [4, 21] 526 [27, 35] 393 [24, 36] 1267 [33, 15] 122 [16, 41] 1949 [23, 22] 708 [46, 23] 630 [29, 13] 2099 [6, 15] 197 [32, 29] 2029 [37, 21] 712 [36, 15] 407 [4, 7] 966 [16, 40] 1204 [15, 12] 355 [6, 16] 482 [37, 24] 238 [19, 12] 435 [24, 34] 364 [23, 9] 628 [19, 50] 392

```

[27, 24] 524 [47, 7] 1506 [2, 7] 944 [15, 32] 579 [15, 39] 1549 [19, 34] 1218 [16,
45] 1824 [24, 18] 436 [15, 16] 612 [23, 1] 1720 [18, 16] 1438 [29, 14] 651 [15, 18]
835 [29, 20] 1142 [19, 26] 1469 [45, 41] 635 [7, 13] 891 [16, 16] 0 [45, 7] 1104
[19, 1] 304 [23, 42] 760 [16, 36] 495 [19, 33] 328 [23, 40] 835 [23, 34] 371 [29,
40] 1143 [24, 50] 1007 [23, 11] 1626 [21, 33] 317 [6, 11] 351 [43, 6] 1811 [27, 7]
445 [24, 15] 831 [16, 44] 1170 [23, 24] 734 [48, 15] 94 [45, 27] 849 [18, 29] 910
[23, 13] 1809 [46, 19] 2028 [51, 21] 750 [19, 37] 896 [15, 28] 146 [43, 27] 1247
[20, 21] 990 [24, 8] 562 [35, 6] 651 [21, 8] 313 [6, 13] 387 [19, 41] 1260 [27, 47]
1636 [29, 26] 369 [20, 7] 645 [21, 29] 1938 [31, 19] 905 [16, 51] 1163 [27, 8] 443
[36, 29] 2053 [24, 51] 232 [25, 19] 639 [24, 46] 1362 [35, 27] 396 [7, 47] 1506
[18, 24] 435 [7, 16] 851 [7, 20] 644 [23, 28] 1543 [2, 21] 592 [47, 23] 2694 [24,
38] 979 [31, 23] 2245 [6, 2] 496 [23, 30] 1163 [27, 40] 231 [7, 34] 878 [4, 19] 813
[7, 6] 489 [37, 44] 122 [24, 35] 910 [6, 17] 306 [16, 21] 410 [20, 19] 1029 [19, 3]
168 [23, 44] 875 [27, 30] 106 [36, 3] 382 [19, 6] 225 [6, 24] 927 [24, 45] 812 [21,
37] 712 [27, 25] 274 [29, 41] 852 [12, 16] 958 [7, 32] 943 [15, 30] 318 [27, 42]
1624 [12, 30] 44 [24, 40] 396 [16, 14] 1854 [51, 23] 926 [12, 23] 1157 [19, 49] 174
[6, 39] 1738 [47, 29] 3002 [27, 6] 567 [6, 44] 811 [36, 6] 265 [29, 5] 1045 [29,
45] 525 [29, 12] 1465 [18, 19] 961 [7, 14] 1035 [19, 17] 89 [24, 11] 1201 [27, 18]
464 [44, 19] 930 [35, 24] 910 [21, 47] 1060 [24, 49] 979 [43, 45] 404 [21, 45] 1415
[23, 23] 0 [24, 27] 521 [4, 16] 132 [21, 26] 1568 [7, 26] 1254 [4, 24] 1402 [4, 15]
727 [19, 21] 318 [15, 35] 560 [7, 22] 851 [19, 45] 1316 [44, 24] 137 [27, 31] 1210
[33, 21] 317 [29, 42] 516 [29, 31] 2575 [6, 31] 711 [17, 30] 336 [27, 41] 1115 [6,
46] 2121 [19, 31] 928 [51, 16] 1158 [16, 47] 663 [6, 22] 985 [27, 32] 821 [16, 3]
778 [29, 49] 1655 [27, 5] 331 [30, 12] 44 [24, 41] 1444 [23, 41] 864 [17, 23] 1434
[7, 40] 554 [50, 27] 640 [20, 29] 1142 [21, 41] 1569 [35, 15] 559 [16, 23] 2038
[29, 44] 1312 [27, 43] 1252 [6, 3] 291 [35, 21] 745 [43, 15] 1621 [27, 22] 416 [45,
16] 1826 [48, 16] 520 [6, 30] 507 [19, 27] 504 [23, 33] 1356 [24, 6] 994 [7, 31]
1080 [7, 37] 275 [24, 26] 918 [17, 6] 307 [6, 49] 391 [29, 50] 2002 [18, 6] 1024
[21, 31] 633 [21, 21] 0 [45, 23] 236 [6, 38] 1739 [27, 13] 772 [6, 34] 1282 [46,
15] 1932 [6, 5] 890 [27, 1] 664 [24, 5] 346 [36, 27] 765 [24, 9] 1360 [7, 30] 495
[4, 6] 596 [15, 24] 820 [15, 33] 122 [27, 10] 66 [6, 45] 1410 [24, 43] 1093 [15,
17] 366 [50, 15] 269 [31, 6] 687 [32, 30] 690 [6, 6] 0 [37, 6] 756 [6, 18] 1023
[21, 16] 405 [18, 27] 461 [16, 17] 779 [20, 23] 704 [7, 25] 178 [29, 30] 1471 [24,
39] 1323 [35, 23] 1131 [23, 6] 1624 [21, 22] 991 ;
end;

```

```

maio.dat
data;
param n := 51;
set T := truck carreta;
param U := truck 12000, carreta 24000;
param c := truck 1.0, carreta 1.4;
set V := 1 2 3 5 4 6 7 8 9 10 11 12 13 14 15 16 18 17 19 20 21 22 23 24 25 26 27 28
29 30 31 32 33 34 36 35 37 38 39 40 41 42 43 44 45 46 47 49 48 50 51 ;

```

set A := 43 24, 6 27, 43 29, 23 27, 21 49, 29 7, 21 46, 7 46, 29 18, 37 7, 16 43,
15 37, 21 48, 16 15, 15 46, 7 42, 25 24, 36 7, 45 29, 15 19, 30 24, 18 21, 16 18, 6
36, 23 20, 31 27, 7 15, 7 50, 15 42, 15 40, 17 16, 17 27, 44 6, 32 21, 21 12, 19
36, 32 6, 23 47, 21 2, 30 15, 15 13, 20 27, 32 27, 29 39, 24 12, 30 19, 25 7, 17
15, 37 16, 15 29, 45 6, 16 9, 24 31, 33 19, 29 29, 27 29, 21 11, 33 7, 21 51, 24
25, 49 27, 27 12, 36 23, 49 21, 15 2, 29 47, 44 7, 46 21, 27 39, 23 4, 19 43, 23
25, 21 20, 24 23, 23 2, 27 15, 23 39, 19 23, 23 50, 23 21, 44 16, 43 39, 20 16, 7
8, 24 21, 15 14, 15 7, 6 26, 19 16, 30 6, 27 16, 6 47, 49 29, 4 23, 31 24, 7 36, 21
23, 21 34, 19 8, 15 22, 21 25, 46 24, 27 34, 16 31, 15 3, 6 23, 7 12, 45 19, 47 15,
44 37, 33 29, 19 32, 49 24, 29 1, 6 50, 7 2, 16 11, 23 31, 16 10, 27 36, 7 3, 35 7,
18 23, 7 48, 24 2, 12 7, 23 51, 6 8, 7 39, 6 1, 47 44, 16 37, 21 40, 43 23, 27 37,
27 33, 23 49, 31 15, 7 41, 24 30, 29 6, 43 16, 19 18, 15 20, 21 1, 24 20, 7 29, 15
9, 47 16, 7 27, 44 29, 47 24, 15 23, 24 17, 21 10, 36 21, 2 15, 27 23, 24 24, 29
46, 33 16, 6 51, 7 21, 27 9, 29 35, 16 34, 2 19, 44 15, 29 38, 29 10, 7 7, 24 13,
23 45, 24 4, 29 27, 16 35, 24 10, 16 13, 19 2, 21 15, 29 51, 36 16, 37 23, 15 6, 15
47, 19 14, 16 8, 16 24, 15 25, 23 36, 31 21, 15 44, 12 29, 15 11, 15 50, 21 27, 45
15, 29 28, 16 38, 19 28, 21 42, 21 13, 6 20, 16 42, 20 15, 16 19, 29 23, 35 16, 29
34, 36 19, 27 49, 29 24, 7 51, 23 38, 27 3, 30 21, 24 29, 27 50, 19 22, 24 14, 16
27, 47 21, 4 27, 25 21, 6 28, 16 48, 29 17, 33 27, 16 28, 23 43, 15 27, 49 16, 12
21, 24 37, 15 45, 15 49, 2 27, 35 19, 16 46, 30 27, 16 7, 43 38, 24 1, 19 51, 6 32,
21 50, 6 10, 19 5, 6 19, 21 9, 27 19, 6 35, 21 19, 15 4, 7 9, 16 1, 6 41, 19 11, 21
17, 6 14, 6 43, 29 22, 15 43, 23 3, 37 27, 27 2, 27 27, 29 11, 2 29, 30 23, 2 16,
37 29, 29 25, 15 41, 7 45, 16 33, 19 44, 25 6, 30 29, 15 38, 6 40, 7 23, 23 7, 21
7, 6 25, 24 32, 19 19, 6 42, 49 7, 12 24, 6 33, 44 21, 6 12, 23 5, 29 21, 7 38, 27
46, 15 8, 47 27, 16 22, 23 14, 16 5, 27 21, 31 7, 25 29, 46 6, 31 16, 29 16, 24 47,
15 31, 6 7, 19 20, 37 15, 16 25, 46 16, 29 32, 33 23, 24 28, 17 19, 23 10, 21 24, 6
29, 44 23, 30 16, 12 19, 23 15, 33 6, 43 26, 17 7, 17 21, 15 1, 2 24, 12 27, 29 33,
32 23, 12 15, 29 37, 21 44, 49 23, 23 19, 27 45, 7 49, 25 15, 35 29, 23 8, 24 19,
15 15, 30 11, 44 27, 15 51, 27 17, 4 29, 16 50, 47 6, 15 10, 19 9, 43 19, 7 4, 37
19, 24 7, 46 29, 7 19, 18 7, 43 7, 12 6, 32 24, 27 38, 16 29, 15 5, 21 30, 27 26,
32 15, 45 21, 16 49, 49 15, 29 19, 19 13, 32 19, 7 43, 49 19, 7 11, 24 42, 15 34,
16 20, 15 21, 29 3, 32 16, 21 4, 21 38, 36 24, 19 46, 27 28, 21 5, 6 9, 29 36, 24
33, 23 12, 21 14, 27 4, 16 26, 29 8, 45 24, 6 21, 33 24, 49 6, 46 7, 24 22, 19 39,
24 48, 7 44, 23 37, 23 46, 25 27, 21 39, 19 7, 21 35, 32 7, 19 42, 25 23, 19 40, 36
30, 23 35, 30 7, 21 36, 29 43, 27 44, 7 28, 23 48, 16 2, 19 47, 49 2, 7 5, 46 27,
24 16, 21 3, 19 25, 16 32, 15 48, 23 17, 30 36, 27 14, 7 24, 7 17, 19 30, 16 6, 19
10, 30 32, 21 43, 29 9, 29 2, 7 1, 19 38, 29 15, 16 12, 17 24, 21 32, 7 10, 25 16,
20 24, 15 36, 23 18, 15 26, 27 51, 7 35, 24 44, 21 6, 17 29, 19 29, 31 29, 29 48,
47 19, 23 29, 20 6, 6 37, 23 26, 36 13, 27 11, 2 23, 7 18, 21 18, 19 24, 24 3, 19
35, 27 20, 7 33, 23 32, 16 39, 16 30, 23 16, 43 21, 2 6, 19 15, 18 15, 21 28, 4 21,
27 35, 24 36, 33 15, 16 41, 23 22, 46 23, 29 13, 6 15, 32 29, 37 21, 36 15, 4 7, 16
40, 15 12, 6 16, 37 24, 19 12, 24 34, 23 9, 19 50, 27 24, 47 7, 2 7, 15 32, 15 39,
19 34, 16 45, 24 18, 15 16, 31 4, 23 1, 18 16, 6 4, 29 14, 15 18, 19 4, 35 2, 29
20, 19 26, 45 41, 7 13, 16 16, 45 7, 19 1, 23 42, 16 36, 19 33, 23 40, 23 34, 29
40, 24 50, 23 11, 21 33, 6 11, 27 7, 43 6, 24 15, 16 44, 23 24, 45 27, 18 29, 23
13, 46 19, 19 37, 15 28, 43 27, 20 21, 24 8, 35 6, 21 8, 6 13, 19 41, 27 47, 29 26,

20 7, 21 29, 31 19, 16 51, 27 8, 36 29, 24 51, 25 19, 24 46, 27 48, 7 47, 35 27, 18
 24, 7 20, 7 16, 23 28, 2 21, 47 23, 24 38, 31 23, 6 2, 23 30, 27 40, 7 34, 4 19, 7
 6, 37 44, 19 48, 24 35, 6 17, 16 21, 20 19, 19 3, 23 44, 27 30, 36 3, 19 6, 6 24,
 24 45, 21 37, 27 25, 29 41, 12 16, 7 32, 15 30, 27 42, 12 30, 29 4, 24 40, 16 14,
 12 23, 19 49, 47 29, 27 6, 6 39, 6 44, 36 6, 29 5, 29 45, 29 12, 6 48, 18 19, 7 14,
 19 17, 24 11, 27 18, 44 19, 35 24, 21 47, 24 49, 43 45, 21 45, 23 23, 24 27, 4 16,
 21 26, 7 26, 4 24, 4 15, 19 21, 15 35, 7 22, 19 45, 44 24, 27 31, 33 21, 29 42, 29
 31, 6 31, 17 30, 27 41, 6 46, 19 31, 16 47, 6 22, 27 32, 16 3, 29 49, 27 5, 30 12,
 24 41, 23 41, 17 23, 7 40, 20 29, 21 41, 35 15, 16 23, 29 44, 27 43, 6 3, 35 21, 43
 15, 27 22, 45 16, 6 30, 19 27, 23 33, 24 6, 7 31, 7 37, 24 26, 17 6, 6 49, 29 50,
 18 6, 21 31, 21 21, 45 23, 6 38, 27 13, 6 34, 46 15, 6 5, 27 1, 24 5, 36 27, 24 9,
 7 30, 4 6, 15 24, 15 33, 27 10, 6 45, 24 43, 15 17, 16 4, 31 6, 32 30, 6 6, 37 6, 6
 18, 21 16, 18 27, 16 17, 20 23, 7 25, 29 30, 35 23, 23 6, 21 22, 24 39;

param:	K:	R	O	D:=	1	5337	43	29	2	13778	23	27	3	3085	21	
	49	4	1596	29	7	5	2406	23	34	6	5735	21	33	7	1806	37
	7	8	8484	21	30	9	4129	27	26	10	4807	31	21	11	7279	23
	24	12	7453	36	7	13	1155	45	27	14	838	6	36	15	6734	43
	27	16	6434	7	15	17	7880	15	21	18	9436	17	27	19	993	24
	8	20	5190	6	20	21	4057	21	8	22	446	32	21	23	2396	29
	26	24	215	21	4	25	384	19	36	26	20456	21	2	27	2531	21
	29	28	6997	32	27	29	3599	29	39	30	365	30	19	31	3528	25
	7	32	342	21	5	33	3313	27	49	34	1091	27	48	35	132	35
	27	36	709	29	24	37	668	2	21	38	5781	6	21	39	15097	6
	2	40	16397	27	40	41	6675	27	3	42	7172	49	27	43	545	30
	21	44	6993	7	6	45	682	37	44	46	5320	24	29	47	441	7
	44	48	4199	24	14	49	6444	16	21	50	15079	16	27	51	1061	4
	27	52	3082	25	21	53	12073	27	30	54	645	36	3	55	2275	19
	6	56	8037	33	27	57	1315	23	37	58	22154	6	24	59	1052	21
	20	60	7887	23	43	61	2676	21	37	62	19899	24	23	63	8061	25
	27	64	11207	27	25	65	3890	24	37	66	1703	12	21	67	9558	27
	15	68	2686	2	27	69	137	36	30	70	649	21	36	71	290	12
	30	72	8856	29	43	73	6501	30	27	74	1960	23	21	75	450	43
	38	76	9354	27	44	77	1839	21	50	78	875	43	39	79	251	19
	49	80	2745	6	19	81	7900	27	6	82	778	49	2	83	1821	6
	44	84	7361	7	8	85	3425	46	27	86	4994	27	19	87	9374	15
	7	88	359	6	35	89	8096	29	45	90	2602	21	19	91	229	19
	17	92	798	19	11	93	10904	27	18	94	336	30	36	95	12665	21
	25	96	2226	46	24	97	1876	21	47	98	110	16	31	99	10655	7
	24	100	2628	43	45	101	500	30	32	102	873	19	30	103	211	21
	43	104	488	4	16	105	1901	25	6	106	2637	29	9	107	6952	44
	37	108	6826	44	24	109	4244	20	24	110	14530	23	7	111	11660	7
	23	112	146	33	21	113	8776	6	25	114	248	15	36	115	9148	27
	51	116	3859	29	42	117	3628	24	44	118	750	49	7	119	3918	6
	33	120	1983	21	6	121	237	17	30	122	1114	29	21	123	4291	27
	36	124	20883	23	29	125	1553	27	32	126	2863	6	37	127	13430	27
	5	128	868	30	12	129	3283	6	8	130	8540	47	27	131	2533	6

```

1 132 418 47 44 133 710 36 13 134 3464 23 14 135 3515 27
11 136 21488 27 21 137 750 21 40 138 15045 27 43 139 1957 6
3 140 3177 43 23 141 22671 27 22 142 22318 6 7 143 6380 27
33 144 14742 27 20 145 5777 6 30 146 10036 19 27 147 2640 24
6 148 770 2 6 149 5898 7 37 150 7063 24 20 151 1180 7
29 152 2600 21 28 153 5780 6 49 154 9352 27 35 155 3860 4
21 156 1843 21 31 157 7144 6 15 158 251 45 23 159 165 43
26 160 2682 36 15 161 662 37 24 162 4924 24 34 163 3494 36
21 164 10337 27 23 165 15538 36 27 166 6346 47 7 167 12533 29
46 168 4545 21 44 169 6192 7 21 170 12810 27 45 171 3825 15
33 172 200 2 19 173 6536 29 38 174 8759 27 10 175 20256 29
27 176 145 24 43 177 124 31 4 178 513 30 11 179 8431 44
27 180 301 32 30 181 3141 21 16 182 1046 27 17 183 834 19
2 184 7744 21 15 185 446 35 2 186 205 18 27 187 4498 45
41 188 20333 24 7 189 15422 46 29 190 4272 15 6 191 9402 7
25 192 513 21 22 ;

```

```

param distancia default 0 := [43, 24] 1092 [6, 27] 569 [43, 29] 118 [23, 27] 1061
[21, 49] 483 [29, 7] 1625 [21, 46] 2127 [7, 46] 1814 [29, 18] 909 [37, 7] 274 [16,
43] 2225 [15, 37] 643 [21, 48] 110 [16, 15] 611 [15, 46] 1933 [7, 42] 1875 [25, 24]
460 [36, 7] 762 [45, 29] 526 [15, 19] 320 [30, 24] 622 [18, 21] 1030 [16, 18] 1437
[6, 36] 267 [23, 20] 704 [31, 27] 1190 [7, 15] 371 [7, 50] 502 [15, 42] 1994 [15,
40] 601 [17, 16] 781 [17, 27] 444 [44, 6] 878 [32, 21] 514 [21, 12] 549 [19, 36]
218 [32, 6] 444 [23, 47] 2693 [21, 2] 587 [30, 15] 317 [15, 13] 519 [20, 27] 529
[32, 27] 821 [29, 39] 480 [24, 12] 631 [30, 19] 398 [25, 7] 178 [17, 15] 368 [37,
16] 1119 [15, 29] 1744 [45, 6] 1412 [16, 9] 2465 [24, 31] 1585 [33, 19] 326 [29,
29] 0 [27, 29] 1373 [21, 11] 443 [33, 7] 395 [21, 51] 754 [24, 25] 459 [49, 27] 468
[27, 12] 114 [36, 23] 1762 [49, 21] 487 [15, 2] 590 [29, 47] 3001 [44, 7] 396 [46,
21] 2128 [27, 39] 1168 [23, 4] 2156 [19, 43] 1717 [23, 25] 1187 [21, 20] 994 [24,
23] 735 [23, 2] 1334 [27, 15] 377 [23, 39] 684 [19, 23] 1549 [23, 50] 1694 [23, 21]
1630 [44, 16] 1240 [43, 39] 359 [20, 16] 1397 [7, 8] 129 [24, 21] 949 [15, 14] 1251
[15, 7] 373 [6, 26] 1562 [19, 16] 699 [30, 6] 507 [27, 16] 981 [6, 47] 1137 [49,
29] 1675 [4, 23] 2154 [31, 24] 1494 [7, 36] 762 [21, 23] 1630 [21, 34] 1288 [19, 8]
621 [15, 22] 797 [21, 25] 458 [46, 24] 1362 [27, 34] 723 [16, 31] 253 [15, 3] 253
[6, 23] 1624 [7, 12] 532 [45, 19] 1318 [47, 15] 1267 [44, 37] 122 [33, 29] 1667
[19, 32] 314 [49, 24] 982 [29, 1] 2029 [6, 50] 176 [7, 2] 942 [16, 11] 650 [23, 31]
2267 [16, 10] 1050 [27, 36] 763 [7, 3] 604 [35, 7] 812 [18, 23] 602 [7, 48] 457
[24, 2] 1040 [12, 7] 532 [23, 51] 926 [6, 8] 362 [7, 39] 1603 [6, 1] 88 [47, 44]
1826 [16, 37] 1120 [21, 40] 796 [43, 23] 361 [27, 37] 536 [27, 33] 300 [23, 49]
1365 [31, 15] 819 [7, 41] 1550 [24, 30] 623 [29, 6] 1932 [43, 16] 2225 [19, 18] 959
[15, 20] 903 [21, 1] 102 [24, 20] 130 [7, 29] 1625 [15, 9] 1862 [47, 16] 662 [7,
27] 440 [44, 29] 1313 [47, 24] 1942 [15, 23] 1435 [24, 17] 958 [21, 10] 642 [36,
21] 336 [2, 15] 593 [27, 23] 1065 [24, 24] 0 [29, 46] 322 [33, 16] 726 [6, 51] 803
[7, 21] 444 [27, 9] 1492 [29, 35] 1421 [16, 34] 1696 [2, 19] 280 [44, 15] 715 [29,
38] 193 [29, 10] 1352 [7, 7] 0 [24, 13] 1396 [23, 45] 235 [24, 4] 1474 [29, 27]
1369 [16, 35] 1124 [24, 10] 577 [16, 13] 458 [19, 2] 278 [21, 15] 203 [29, 51] 1234
[36, 16] 498 [37, 23] 976 [15, 6] 198 [15, 47] 1267 [19, 14] 1375 [16, 8] 721 [16,

```

24] 1286 [15, 25] 345 [23, 36] 1760 [31, 21] 617 [15, 44] 703 [12, 29] 1466 [15, 11] 483 [15, 50] 268 [21, 27] 574 [45, 15] 1222 [29, 28] 1851 [16, 38] 2153 [19, 28] 378 [21, 42] 2189 [21, 13] 459 [6, 20] 1043 [16, 42] 2597 [20, 15] 902 [16, 19] 697 [29, 23] 440 [35, 16] 1125 [29, 34] 809 [36, 19] 221 [27, 49] 463 [29, 24] 1172 [7, 51] 419 [23, 38] 248 [27, 3] 337 [30, 21] 513 [24, 29] 1173 [27, 50] 637 [19, 22] 840 [24, 14] 522 [16, 27] 983 [47, 21] 1066 [4, 27] 1099 [25, 21] 461 [6, 28] 153 [16, 48] 518 [29, 17] 1724 [33, 27] 303 [16, 28] 509 [23, 43] 362 [15, 27] 380 [49, 16] 867 [12, 21] 549 [24, 37] 238 [15, 45] 1221 [15, 49] 485 [2, 27] 528 [35, 19] 433 [16, 46] 2536 [30, 27] 108 [16, 7] 850 [43, 38] 113 [24, 1] 1039 [19, 51] 787 [6, 32] 448 [21, 50] 81 [6, 10] 636 [19, 5] 825 [6, 19] 225 [21, 9] 2057 [27, 19] 504 [6, 35] 651 [21, 19] 317 [15, 4] 730 [7, 9] 1743 [16, 1] 373 [6, 41] 1477 [19, 11] 205 [21, 17] 398 [6, 14] 1440 [6, 43] 1811 [29, 22] 999 [15, 43] 1622 [23, 3] 1384 [37, 27] 532 [27, 2] 523 [27, 27] 0 [29, 11] 1917 [2, 29] 1628 [30, 23] 1163 [2, 16] 972 [37, 29] 1414 [29, 25] 1495 [15, 41] 1496 [7, 45] 1102 [16, 33] 725 [19, 44] 929 [25, 6] 506 [30, 29] 1471 [15, 38] 1551 [6, 40] 790 [7, 23] 1248 [23, 7] 1249 [21, 7] 441 [6, 25] 534 [24, 32] 1338 [19, 19] 0 [6, 42] 2183 [49, 7] 860 [12, 24] 630 [6, 33] 311 [44, 21] 833 [6, 12] 544 [23, 5] 736 [29, 21] 1938 [7, 38] 1432 [27, 46] 1563 [15, 8] 244 [47, 27] 1639 [16, 22] 1400 [23, 14] 213 [16, 5] 1304 [27, 21] 573 [31, 7] 1057 [25, 29] 1496 [46, 6] 2122 [31, 16] 224 [29, 16] 2346 [24, 47] 2011 [15, 31] 841 [6, 7] 490 [19, 20] 1027 [37, 15] 639 [16, 25] 866 [46, 16] 2536 [29, 32] 2054 [33, 23] 1359 [24, 28] 845 [17, 19] 89 [23, 10] 1044 [21, 24] 878 [6, 29] 1932 [44, 23] 875 [30, 16] 921 [12, 19] 436 [23, 15] 1434 [33, 6] 311 [43, 26] 248 [17, 7] 710 [17, 21] 401 [15, 1] 295 [2, 24] 1043 [12, 27] 116 [29, 33] 1665 [32, 23] 1739 [12, 15] 354 [29, 37] 1413 [21, 44] 762 [49, 23] 1385 [23, 19] 1548 [27, 45] 851 [7, 49] 858 [25, 15] 347 [35, 29] 1422 [23, 8] 1299 [24, 19] 1021 [15, 15] 0 [30, 11] 555 [44, 27] 492 [15, 51] 663 [27, 17] 441 [4, 29] 2462 [16, 50] 411 [47, 6] 1136 [15, 10] 447 [19, 9] 1957 [43, 19] 1717 [7, 4] 969 [37, 19] 897 [24, 7] 512 [46, 29] 324 [7, 19] 713 [18, 7] 716 [43, 7] 1503 [12, 6] 543 [32, 24] 1336 [27, 38] 1180 [16, 29] 2346 [15, 5] 701 [21, 30] 512 [27, 26] 1003 [32, 15] 585 [45, 21] 1418 [16, 49] 864 [49, 15] 487 [29, 19] 1838 [19, 13] 269 [32, 19] 313 [7, 43] 1503 [49, 19] 175 [7, 11] 839 [24, 42] 1492 [15, 34] 1093 [16, 20] 1403 [15, 21] 204 [29, 3] 1693 [32, 16] 606 [21, 4] 523 [21, 38] 1745 [36, 24] 1199 [19, 46] 2028 [27, 28] 510 [21, 5] 896 [6, 9] 2051 [29, 36] 2051 [24, 33] 754 [23, 12] 1157 [21, 14] 1445 [27, 4] 1099 [16, 26] 1976 [29, 8] 1643 [45, 24] 812 [6, 21] 102 [33, 24] 755 [49, 6] 393 [46, 7] 1814 [24, 22] 922 [19, 39] 1598 [24, 48] 917 [7, 44] 394 [23, 37] 975 [23, 46] 631 [25, 27] 269 [21, 39] 1744 [19, 7] 749 [21, 35] 743 [32, 7] 941 [19, 42] 2090 [25, 23] 1187 [19, 40] 726 [36, 30] 610 [23, 35] 1131 [30, 7] 496 [21, 36] 330 [29, 43] 118 [27, 44] 496 [7, 28] 339 [23, 48] 1520 [16, 2] 968 [19, 47] 1354 [49, 2] 105 [7, 5] 582 [46, 27] 1559 [24, 16] 1356 [21, 3] 397 [19, 25] 637 [16, 32] 608 [15, 48] 94 [23, 17] 1434 [30, 36] 611 [27, 14] 881 [7, 24] 511 [7, 17] 708 [19, 30] 396 [16, 6] 480 [19, 10] 547 [30, 32] 692 [21, 43] 1817 [29, 9] 384 [29, 2] 1624 [7, 1] 533 [19, 38] 1646 [29, 15] 1742 [16, 12] 958 [17, 24] 958 [21, 32] 511 [7, 10] 501 [25, 16] 869 [20, 24] 130 [15, 36] 398 [23, 18] 629 [15, 26] 1373 [27, 51] 293 [7, 35] 812 [24, 44] 138 [21, 6] 99 [17, 29] 1725 [19, 29] 1839 [31, 29] 2554 [29, 48] 1828 [47, 19] 1353 [23, 29] 442 [20, 6] 1092 [6, 37] 760 [23, 26] 186 [36, 13] 106 [27, 11] 684 [2, 23]

1337 [7, 18] 716 [21, 18] 1029 [19, 24] 1019 [24, 3] 854 [19, 35] 434 [27, 20] 533
[7, 33] 394 [23, 32] 1764 [16, 39] 2152 [16, 30] 921 [23, 16] 2038 [43, 21] 1817
[2, 6] 498 [19, 15] 321 [18, 15] 834 [21, 28] 101 [4, 21] 526 [27, 35] 393 [24, 36]
1267 [33, 15] 122 [16, 41] 1949 [23, 22] 708 [46, 23] 630 [29, 13] 2099 [6, 15] 197
[32, 29] 2029 [37, 21] 712 [36, 15] 407 [4, 7] 966 [16, 40] 1204 [15, 12] 355 [6,
16] 482 [37, 24] 238 [19, 12] 435 [24, 34] 364 [23, 9] 628 [19, 50] 392 [27, 24]
524 [47, 7] 1506 [2, 7] 944 [15, 32] 579 [15, 39] 1549 [19, 34] 1218 [16, 45] 1824
[24, 18] 436 [15, 16] 612 [31, 4] 97 [23, 1] 1720 [18, 16] 1438 [6, 4] 600 [29, 14]
651 [15, 18] 835 [19, 4] 817 [35, 2] 219 [29, 20] 1142 [19, 26] 1469 [45, 41] 635
[7, 13] 891 [16, 16] 0 [45, 7] 1104 [19, 1] 304 [23, 42] 760 [16, 36] 495 [19, 33]
328 [23, 40] 835 [23, 34] 371 [29, 40] 1143 [24, 50] 1007 [23, 11] 1626 [21, 33]
317 [6, 11] 351 [27, 7] 445 [43, 6] 1811 [24, 15] 831 [16, 44] 1170 [23, 24] 734
[45, 27] 849 [18, 29] 910 [23, 13] 1809 [46, 19] 2028 [19, 37] 896 [15, 28] 146
[43, 27] 1247 [20, 21] 990 [24, 8] 562 [35, 6] 651 [21, 8] 313 [6, 13] 387 [19, 41]
1260 [27, 47] 1636 [29, 26] 369 [20, 7] 645 [21, 29] 1938 [31, 19] 905 [16, 51]
1163 [27, 8] 443 [36, 29] 2053 [24, 51] 232 [25, 19] 639 [24, 46] 1362 [27, 48] 463
[7, 47] 1506 [35, 27] 396 [18, 24] 435 [7, 20] 644 [7, 16] 851 [23, 28] 1543 [2,
21] 592 [47, 23] 2694 [24, 38] 979 [31, 23] 2245 [6, 2] 496 [23, 30] 1163 [27, 40]
231 [7, 34] 878 [4, 19] 813 [7, 6] 489 [37, 44] 122 [19, 48] 329 [24, 35] 910 [6,
17] 306 [16, 21] 410 [20, 19] 1029 [19, 3] 168 [23, 44] 875 [27, 30] 106 [36, 3]
382 [19, 6] 225 [6, 24] 927 [24, 45] 812 [21, 37] 712 [27, 25] 274 [29, 41] 852
[12, 16] 958 [7, 32] 943 [15, 30] 318 [27, 42] 1624 [12, 30] 44 [29, 4] 2464 [24,
40] 396 [16, 14] 1854 [12, 23] 1157 [19, 49] 174 [47, 29] 3002 [27, 6] 567 [6, 39]
1738 [6, 44] 811 [36, 6] 265 [29, 5] 1045 [29, 45] 525 [29, 12] 1465 [6, 48] 104
[18, 19] 961 [7, 14] 1035 [19, 17] 89 [24, 11] 1201 [27, 18] 464 [44, 19] 930 [35,
24] 910 [21, 47] 1060 [24, 49] 979 [43, 45] 404 [21, 45] 1415 [23, 23] 0 [24, 27]
521 [4, 16] 132 [21, 26] 1568 [7, 26] 1254 [4, 24] 1402 [4, 15] 727 [19, 21] 318
[15, 35] 560 [7, 22] 851 [19, 45] 1316 [44, 24] 137 [27, 31] 1210 [33, 21] 317 [29,
42] 516 [29, 31] 2575 [6, 31] 711 [17, 30] 336 [27, 41] 1115 [6, 46] 2121 [19, 31]
928 [16, 47] 663 [6, 22] 985 [27, 32] 821 [16, 3] 778 [29, 49] 1655 [27, 5] 331
[30, 12] 44 [24, 41] 1444 [23, 41] 864 [17, 23] 1434 [7, 40] 554 [20, 29] 1142 [21,
41] 1569 [35, 15] 559 [16, 23] 2038 [29, 44] 1312 [27, 43] 1252 [6, 3] 291 [35, 21]
745 [43, 15] 1621 [27, 22] 416 [45, 16] 1826 [6, 30] 507 [19, 27] 504 [23, 33] 1356
[24, 6] 994 [7, 31] 1080 [7, 37] 275 [24, 26] 918 [17, 6] 307 [6, 49] 391 [29, 50]
2002 [18, 6] 1024 [21, 31] 633 [21, 21] 0 [45, 23] 236 [6, 38] 1739 [27, 13] 772
[6, 34] 1282 [46, 15] 1932 [6, 5] 890 [27, 1] 664 [24, 5] 346 [36, 27] 765 [24, 9]
1360 [7, 30] 495 [4, 6] 596 [15, 24] 820 [15, 33] 122 [27, 10] 66 [6, 45] 1410 [24,
43] 1093 [15, 17] 366 [16, 4] 142 [31, 6] 687 [32, 30] 690 [6, 6] 0 [37, 6] 756 [6,
18] 1023 [21, 16] 405 [18, 27] 461 [16, 17] 779 [20, 23] 704 [7, 25] 178 [29, 30]
1471 [35, 23] 1131 [23, 6] 1624 [21, 22] 991 [24, 39] 1323 ;
end;

junho.dat
data;

```

param n := 51;
set T := truck carreta;
param U := truck 12000, carreta 24000;
param c := truck 1.0, carreta 1.4;
set V := 1 2 3 4 5 6 7 8 9 10 11 12 13 14 15 16 18 17 19 20 21 22 23 24 25 26 27 28
29 30 31 32 33 34 35 36 37 38 39 40 41 42 43 44 45 46 47 48 49 50 51 ;
set A := 43 24, 6 27, 43 29, 23 27, 21 49, 29 7, 21 46, 7 46, 29 18, 37 7, 16 43,
15 37, 16 15, 15 46, 7 42, 25 24, 36 7, 45 29, 15 19, 30 24, 18 21, 16 18, 6 36, 23
20, 31 27, 7 15, 7 50, 15 42, 15 40, 17 16, 17 27, 44 6, 32 21, 21 12, 19 36, 32 6,
23 47, 21 2, 30 15, 15 13, 20 27, 32 27, 29 39, 24 12, 30 19, 25 7, 17 15, 37 16,
15 29, 45 6, 16 9, 24 31, 33 19, 29 29, 27 29, 21 11, 33 7, 21 51, 24 25, 49 27, 27
12, 36 23, 49 21, 15 2, 29 47, 44 7, 46 21, 27 39, 23 4, 19 43, 23 25, 21 20, 24
23, 23 2, 27 15, 23 39, 19 23, 23 50, 23 21, 44 16, 20 16, 25 44, 7 8, 24 21, 15
14, 15 7, 6 26, 19 16, 30 6, 27 16, 6 47, 49 29, 4 23, 31 24, 7 36, 21 23, 21 34,
19 8, 15 22, 21 25, 46 24, 16 31, 27 34, 15 3, 6 23, 7 12, 45 19, 47 15, 44 37, 33
29, 19 32, 49 24, 29 1, 6 50, 7 2, 36 32, 16 11, 23 31, 48 24, 16 10, 27 36, 7 3,
35 7, 18 23, 24 2, 12 7, 23 51, 6 8, 7 39, 6 1, 16 37, 48 6, 21 40, 43 23, 27 37,
27 33, 23 49, 31 15, 48 23, 7 41, 24 30, 29 6, 43 16, 19 18, 15 20, 21 1, 24 20, 7
29, 15 9, 47 16, 7 27, 44 29, 47 24, 15 23, 24 17, 45 26, 21 10, 36 21, 2 15, 27
23, 24 24, 29 46, 33 16, 6 51, 7 21, 27 9, 29 35, 16 34, 2 49, 2 19, 44 15, 29 38,
29 10, 7 7, 24 13, 24 4, 23 45, 29 27, 16 35, 24 10, 16 13, 19 2, 21 15, 29 51, 36
16, 37 23, 15 6, 15 47, 19 14, 16 8, 16 24, 15 25, 23 36, 31 21, 15 44, 12 29, 15
11, 15 50, 21 27, 45 15, 29 28, 16 38, 48 29, 19 28, 21 42, 21 13, 48 21, 6 20, 16
42, 20 15, 16 19, 29 23, 35 16, 29 34, 36 19, 27 49, 29 24, 7 51, 23 38, 27 3, 30
21, 24 29, 27 50, 32 36, 19 22, 24 14, 16 27, 47 21, 4 27, 25 21, 6 28, 29 17, 33
27, 16 28, 23 43, 15 27, 49 16, 12 21, 24 37, 15 45, 15 49, 2 27, 35 19, 48 19, 16
46, 30 27, 16 7, 24 1, 19 51, 6 32, 21 50, 6 10, 19 5, 6 19, 21 9, 27 19, 6 35, 21
19, 15 4, 7 9, 16 1, 6 41, 19 11, 21 17, 6 14, 6 43, 29 22, 15 43, 23 3, 37 27, 27
2, 27 27, 29 11, 2 29, 30 23, 2 16, 37 29, 29 25, 15 41, 7 45, 16 33, 19 44, 25 6,
30 29, 15 38, 6 40, 7 23, 23 7, 21 7, 6 25, 19 19, 24 32, 6 42, 49 7, 12 24, 6 33,
44 21, 6 12, 23 5, 29 21, 7 38, 27 46, 15 8, 47 27, 16 22, 23 14, 16 5, 27 21, 31
7, 25 29, 46 6, 31 16, 29 16, 24 47, 15 31, 6 7, 19 20, 37 15, 16 25, 46 16, 29 32,
33 23, 24 28, 17 19, 23 10, 21 24, 6 29, 44 23, 30 16, 12 19, 23 15, 33 6, 17 7, 17
21, 15 1, 2 24, 12 27, 29 33, 32 23, 12 15, 29 37, 21 44, 49 23, 23 19, 27 45, 7
49, 25 15, 35 29, 23 8, 24 19, 15 15, 30 11, 44 27, 15 51, 27 17, 4 29, 16 50, 47
6, 15 10, 19 9, 43 19, 7 4, 37 19, 24 7, 46 29, 7 19, 18 7, 43 7, 12 6, 32 24, 27
38, 16 29, 15 5, 21 30, 27 26, 32 15, 45 21, 16 49, 49 15, 29 19, 19 13, 32 19, 7
43, 49 19, 7 11, 24 42, 15 34, 16 20, 15 21, 29 3, 25 20, 32 16, 21 4, 21 38, 36
24, 19 46, 27 28, 21 5, 6 9, 29 36, 24 33, 23 12, 27 4, 21 14, 16 26, 29 8, 45 24,
6 21, 33 24, 49 6, 19 39, 46 7, 24 22, 7 44, 23 37, 21 39, 23 46, 25 27, 19 7, 21
35, 32 7, 19 42, 25 23, 19 40, 36 30, 23 35, 30 7, 21 36, 29 43, 27 44, 7 28, 16 2,
19 47, 49 2, 7 5, 46 27, 24 16, 21 3, 19 25, 16 32, 48 27, 23 17, 30 36, 27 14, 7
24, 7 17, 48 7, 16 6, 19 30, 19 10, 30 32, 21 43, 29 9, 29 2, 7 1, 19 38, 29 15, 16
12, 21 32, 7 10, 17 24, 25 16, 20 24, 15 36, 23 18, 15 26, 27 51, 7 35, 24 44, 21
6, 17 29, 19 29, 31 29, 47 19, 23 29, 20 6, 6 37, 23 26, 36 13, 27 11, 2 23, 7 18,
21 18, 19 24, 24 3, 19 35, 27 20, 7 33, 16 39, 23 32, 23 16, 16 30, 43 21, 2 6, 19

```

15, 18 15, 21 28, 4 21, 27 35, 24 36, 33 15, 16 41, 23 22, 46 23, 29 13, 6 15, 32
 29, 37 21, 36 15, 4 7, 16 40, 15 12, 6 16, 37 24, 19 12, 24 34, 23 9, 19 50, 27 24,
 47 7, 2 7, 15 32, 15 39, 19 34, 16 45, 24 18, 15 16, 23 1, 18 16, 6 4, 29 14, 15
 18, 19 4, 29 20, 19 26, 45 41, 7 13, 16 16, 45 7, 19 1, 23 42, 16 36, 19 33, 23 40,
 23 34, 29 40, 24 50, 23 11, 21 33, 6 11, 27 7, 43 6, 24 15, 16 44, 23 24, 48 15, 45
 27, 18 29, 23 13, 46 19, 19 37, 15 28, 43 27, 20 21, 24 8, 35 6, 21 8, 6 13, 19 41,
 27 47, 29 26, 20 7, 21 29, 31 19, 16 51, 27 8, 36 29, 24 51, 25 19, 24 46, 7 47, 35
 27, 18 24, 7 20, 7 16, 23 28, 2 21, 24 38, 47 23, 31 23, 6 2, 23 30, 27 40, 7 34, 4
 19, 7 6, 37 44, 24 35, 6 17, 16 21, 20 19, 19 3, 23 44, 27 30, 36 3, 19 6, 6 24, 24
 45, 21 37, 27 25, 29 41, 12 16, 7 32, 15 30, 27 42, 12 30, 29 4, 24 40, 16 14, 12
 23, 19 49, 6 39, 47 29, 27 6, 6 44, 36 6, 29 5, 29 45, 29 12, 18 19, 7 14, 19 17,
 24 11, 27 18, 44 19, 35 24, 21 47, 24 49, 43 45, 21 45, 23 23, 24 27, 4 16, 21 26,
 7 26, 4 24, 4 15, 19 21, 15 35, 7 22, 19 45, 27 31, 44 24, 33 21, 29 31, 29 42, 6
 31, 17 30, 27 41, 6 46, 19 31, 16 47, 6 22, 27 32, 16 3, 29 49, 27 5, 30 12, 24 41,
 23 41, 17 23, 7 40, 20 29, 21 41, 35 15, 16 23, 29 44, 27 43, 6 3, 35 21, 43 15, 27
 22, 45 16, 48 16, 6 30, 19 27, 23 33, 24 6, 7 31, 7 37, 24 26, 17 6, 6 49, 29 50,
 18 6, 21 31, 21 21, 45 23, 6 38, 27 13, 6 34, 46 15, 6 5, 27 1, 24 5, 36 27, 24 9,
 7 30, 4 6, 15 24, 15 33, 27 10, 6 45, 24 43, 15 17, 16 4, 31 6, 6 6, 37 6, 6 18, 21
 16, 18 27, 16 17, 20 23, 7 25, 29 30, 24 39, 35 23, 23 6, 21 22;

param:	K:	R	O	D:=	1	5727	43	29	2	11303	23	27	3	4308	21	
	49	4	3118	23	34	5	5128	21	33	6	850	37	7	7	8196	21
	30	8	22142	27	7	9	3039	27	26	10	8561	31	21	11	5228	25
	24	12	7550	23	24	13	7972	36	7	14	149	7	43	15	802	45
	27	16	762	6	36	17	217	49	19	18	4211	43	27	19	6002	7
	15	20	6205	15	21	21	388	25	20	22	7470	17	27	23	21271	48
	21	24	633	24	8	25	2135	6	20	26	4184	21	8	27	2767	29
	26	28	108	21	4	29	20517	21	2	30	3019	21	29	31	3958	32
	27	32	3065	29	39	33	20510	29	23	34	157	30	19	35	3036	25
	7	36	2657	27	49	37	116	35	27	38	4664	29	24	39	306	2
	21	40	5464	6	21	41	14400	6	2	42	1499	24	25	43	14484	27
	40	44	6228	27	3	45	8069	49	27	46	936	30	21	47	10479	7
	6	48	612	37	44	49	5924	24	29	50	334	32	36	51	4032	24
	14	52	591	49	21	53	3621	16	21	54	9894	16	27	55	1256	47
	21	56	1471	4	27	57	2650	25	21	58	10443	27	30	59	364	36
	3	60	2400	19	6	61	6869	33	27	62	618	23	37	63	21159	6
	24	64	1585	21	20	65	21933	15	27	66	4099	23	43	67	2726	21
	37	68	15592	24	23	69	8241	25	27	70	10000	27	25	71	3370	24
	37	72	2541	12	21	73	7812	27	15	74	1015	32	7	75	1818	2
	27	76	206	36	30	77	827	21	36	78	281	12	30	79	7332	29
	43	80	5636	30	27	81	792	23	21	82	7576	27	44	83	2220	21
	50	84	178	19	49	85	2126	6	19	86	7978	27	6	87	737	49
	2	88	532	25	44	89	4026	6	44	90	7842	7	8	91	3146	46
	27	92	4888	27	19	93	8598	15	7	94	7311	29	45	95	2143	21
	19	96	333	19	17	97	531	19	11	98	10229	27	18	99	336	30
	36	100	108	37	27	101	17964	27	2	102	14048	21	25	103	2440	21
	47	104	9939	7	24	105	1512	43	45	106	3144	48	7	107	524	30

```

32 108 1042 19 30 109 677 4 16 110 935 25 6 111 2329 29
9 112 5338 44 37 113 11063 7 23 114 4749 44 24 115 493 20
24 116 6525 23 7 117 9613 6 25 118 384 15 36 119 7209 27
51 120 3888 29 42 121 3416 24 44 122 718 49 7 123 3342 6
33 124 2958 21 6 125 888 7 2 126 128 36 32 127 168 17
30 128 354 29 21 129 5529 27 36 130 18823 23 29 131 1721 27
32 132 3377 6 37 133 13415 27 5 134 330 30 12 135 2533 6
8 136 5766 47 27 137 2655 6 1 138 842 36 13 139 3452 23
14 140 4062 27 11 141 22861 27 21 142 15142 27 43 143 1620 6
3 144 187 27 37 145 2517 43 23 146 19182 27 22 147 23805 6
7 148 4176 27 33 149 545 7 33 150 8650 27 20 151 5181 6
30 152 10228 19 27 153 1600 24 6 154 198 17 19 155 304 2
6 156 4619 7 37 157 9970 24 20 158 1905 7 29 159 2400 21
28 160 4325 6 49 161 8545 27 35 162 3490 4 21 163 1374 21
31 164 141 33 6 165 8186 6 15 166 389 45 23 167 337 37
21 168 1948 36 15 169 465 45 26 170 357 37 24 171 5684 24
34 172 3778 36 21 173 13624 12 27 174 10318 27 23 175 12951 36
27 176 5054 47 7 177 11729 29 46 178 6210 21 44 179 10327 7
21 180 11653 27 45 181 4431 15 33 182 562 2 49 183 3893 29
38 184 8778 27 10 185 149 23 45 186 17755 29 27 187 543 24
43 188 346 30 11 189 5469 44 27 190 165 16 4 191 2523 21
16 192 656 27 17 193 686 19 2 194 7004 21 15 195 181 18
27 196 3157 45 41 197 22711 24 7 198 11836 46 29 199 2573 15
6 200 7404 7 25 ;

```

```

param distancia default 0 := [43, 24] 1092 [6, 27] 569 [43, 29] 118 [23, 27] 1061
[21, 49] 483 [29, 7] 1625 [21, 46] 2127 [7, 46] 1814 [29, 18] 909 [37, 7] 274 [16,
43] 2225 [15, 37] 643 [16, 15] 611 [15, 46] 1933 [7, 42] 1875 [25, 24] 460 [36, 7]
762 [45, 29] 526 [15, 19] 320 [30, 24] 622 [18, 21] 1030 [16, 18] 1437 [6, 36] 267
[23, 20] 704 [31, 27] 1190 [7, 15] 371 [7, 50] 502 [15, 42] 1994 [15, 40] 601 [17,
16] 781 [17, 27] 444 [44, 6] 878 [32, 21] 514 [21, 12] 549 [19, 36] 218 [32, 6] 444
[23, 47] 2693 [21, 2] 587 [30, 15] 317 [15, 13] 519 [20, 27] 529 [32, 27] 821 [29,
39] 480 [24, 12] 631 [30, 19] 398 [25, 7] 178 [17, 15] 368 [37, 16] 1119 [15, 29]
1744 [45, 6] 1412 [16, 9] 2465 [24, 31] 1585 [33, 19] 326 [29, 29] 0 [27, 29] 1373
[21, 11] 443 [33, 7] 395 [21, 51] 754 [24, 25] 459 [49, 27] 468 [27, 12] 114 [36,
23] 1762 [49, 21] 487 [15, 2] 590 [29, 47] 3001 [44, 7] 396 [46, 21] 2128 [27, 39]
1168 [23, 4] 2156 [19, 43] 1717 [23, 25] 1187 [21, 20] 994 [24, 23] 735 [23, 2]
1334 [27, 15] 377 [23, 39] 684 [19, 23] 1549 [23, 50] 1694 [23, 21] 1630 [44, 16]
1240 [20, 16] 1397 [25, 44] 343 [7, 8] 129 [24, 21] 949 [15, 14] 1251 [15, 7] 373
[6, 26] 1562 [19, 16] 699 [30, 6] 507 [27, 16] 981 [6, 47] 1137 [49, 29] 1675 [4,
23] 2154 [31, 24] 1494 [7, 36] 762 [21, 23] 1630 [21, 34] 1288 [19, 8] 621 [15, 22]
797 [21, 25] 458 [46, 24] 1362 [16, 31] 253 [27, 34] 723 [15, 3] 253 [6, 23] 1624
[7, 12] 532 [45, 19] 1318 [47, 15] 1267 [44, 37] 122 [33, 29] 1667 [19, 32] 314
[49, 24] 982 [29, 1] 2029 [6, 50] 176 [7, 2] 942 [36, 32] 182 [16, 11] 650 [23, 31]
2267 [48, 24] 905 [16, 10] 1050 [27, 36] 763 [7, 3] 604 [35, 7] 812 [18, 23] 602
[24, 2] 1040 [12, 7] 532 [23, 51] 926 [6, 8] 362 [7, 39] 1603 [6, 1] 88 [16, 37]
1120 [48, 6] 106 [21, 40] 796 [43, 23] 361 [27, 37] 536 [27, 33] 300 [23, 49] 1365

```

[31, 15] 819 [48, 23] 1521 [7, 41] 1550 [24, 30] 623 [29, 6] 1932 [43, 16] 2225
[19, 18] 959 [15, 20] 903 [21, 1] 102 [24, 20] 130 [7, 29] 1625 [15, 9] 1862 [47,
16] 662 [7, 27] 440 [44, 29] 1313 [47, 24] 1942 [15, 23] 1435 [24, 17] 958 [45, 26]
156 [21, 10] 642 [36, 21] 336 [2, 15] 593 [27, 23] 1065 [24, 24] 0 [29, 46] 322
[33, 16] 726 [6, 51] 803 [7, 21] 444 [27, 9] 1492 [29, 35] 1421 [16, 34] 1696 [2,
49] 107 [2, 19] 280 [44, 15] 715 [29, 38] 193 [29, 10] 1352 [7, 7] 0 [24, 13] 1396
[24, 4] 1474 [23, 45] 235 [29, 27] 1369 [16, 35] 1124 [24, 10] 577 [16, 13] 458
[19, 2] 278 [21, 15] 203 [29, 51] 1234 [36, 16] 498 [37, 23] 976 [15, 6] 198 [15,
47] 1267 [19, 14] 1375 [16, 8] 721 [16, 24] 1286 [15, 25] 345 [23, 36] 1760 [31,
21] 617 [15, 44] 703 [12, 29] 1466 [15, 11] 483 [15, 50] 268 [21, 27] 574 [45, 15]
1222 [29, 28] 1851 [16, 38] 2153 [48, 29] 1830 [19, 28] 378 [21, 42] 2189 [21, 13]
459 [48, 21] 112 [6, 20] 1043 [16, 42] 2597 [20, 15] 902 [16, 19] 697 [29, 23] 440
[35, 16] 1125 [29, 34] 809 [36, 19] 221 [27, 49] 463 [29, 24] 1172 [7, 51] 419 [23,
38] 248 [27, 3] 337 [30, 21] 513 [24, 29] 1173 [27, 50] 637 [32, 36] 180 [19, 22]
840 [24, 14] 522 [16, 27] 983 [47, 21] 1066 [4, 27] 1099 [25, 21] 461 [6, 28] 153
[29, 17] 1724 [33, 27] 303 [16, 28] 509 [23, 43] 362 [15, 27] 380 [49, 16] 867 [12,
21] 549 [24, 37] 238 [15, 45] 1221 [15, 49] 485 [2, 27] 528 [35, 19] 433 [48, 19]
330 [16, 46] 2536 [30, 27] 108 [16, 7] 850 [24, 1] 1039 [19, 51] 787 [6, 32] 448
[21, 50] 81 [6, 10] 636 [19, 5] 825 [6, 19] 225 [21, 9] 2057 [27, 19] 504 [6, 35]
651 [21, 19] 317 [15, 4] 730 [7, 9] 1743 [16, 1] 373 [6, 41] 1477 [19, 11] 205 [21,
17] 398 [6, 14] 1440 [6, 43] 1811 [29, 22] 999 [15, 43] 1622 [23, 3] 1384 [37, 27]
532 [27, 2] 523 [27, 27] 0 [29, 11] 1917 [2, 29] 1628 [30, 23] 1163 [2, 16] 972
[37, 29] 1414 [29, 25] 1495 [15, 41] 1496 [7, 45] 1102 [16, 33] 725 [19, 44] 929
[25, 6] 506 [30, 29] 1471 [15, 38] 1551 [6, 40] 790 [7, 23] 1248 [23, 7] 1249 [21,
7] 441 [6, 25] 534 [19, 19] 0 [24, 32] 1338 [6, 42] 2183 [49, 7] 860 [12, 24] 630
[6, 33] 311 [44, 21] 833 [6, 12] 544 [23, 5] 736 [29, 21] 1938 [7, 38] 1432 [27,
46] 1563 [15, 8] 244 [47, 27] 1639 [16, 22] 1400 [23, 14] 213 [16, 5] 1304 [27, 21]
573 [31, 7] 1057 [25, 29] 1496 [46, 6] 2122 [31, 16] 224 [29, 16] 2346 [24, 47]
2011 [15, 31] 841 [6, 7] 490 [19, 20] 1027 [37, 15] 639 [16, 25] 866 [46, 16] 2536
[29, 32] 2054 [33, 23] 1359 [24, 28] 845 [17, 19] 89 [23, 10] 1044 [21, 24] 878 [6,
29] 1932 [44, 23] 875 [30, 16] 921 [12, 19] 436 [23, 15] 1434 [33, 6] 311 [17, 7]
710 [17, 21] 401 [15, 1] 295 [2, 24] 1043 [12, 27] 116 [29, 33] 1665 [32, 23] 1739
[12, 15] 354 [29, 37] 1413 [21, 44] 762 [49, 23] 1385 [23, 19] 1548 [27, 45] 851
[7, 49] 858 [25, 15] 347 [35, 29] 1422 [23, 8] 1299 [24, 19] 1021 [15, 15] 0 [30,
11] 555 [44, 27] 492 [15, 51] 663 [27, 17] 441 [4, 29] 2462 [16, 50] 411 [47, 6]
1136 [15, 10] 447 [19, 9] 1957 [43, 19] 1717 [7, 4] 969 [37, 19] 897 [24, 7] 512
[46, 29] 324 [7, 19] 713 [18, 7] 716 [43, 7] 1503 [12, 6] 543 [32, 24] 1336 [27,
38] 1180 [16, 29] 2346 [15, 5] 701 [21, 30] 512 [27, 26] 1003 [32, 15] 585 [45, 21]
1418 [16, 49] 864 [49, 15] 487 [29, 19] 1838 [19, 13] 269 [32, 19] 313 [7, 43] 1503
[49, 19] 175 [7, 11] 839 [24, 42] 1492 [15, 34] 1093 [16, 20] 1403 [15, 21] 204
[29, 3] 1693 [25, 20] 530 [32, 16] 606 [21, 4] 523 [21, 38] 1745 [36, 24] 1199 [19,
46] 2028 [27, 28] 510 [21, 5] 896 [6, 9] 2051 [29, 36] 2051 [24, 33] 754 [23, 12]
1157 [27, 4] 1099 [21, 14] 1445 [16, 26] 1976 [29, 8] 1643 [45, 24] 812 [6, 21] 102
[33, 24] 755 [49, 6] 393 [19, 39] 1598 [46, 7] 1814 [24, 22] 922 [7, 44] 394 [23,
37] 975 [21, 39] 1744 [23, 46] 631 [25, 27] 269 [19, 7] 749 [21, 35] 743 [32, 7]
941 [19, 42] 2090 [25, 23] 1187 [19, 40] 726 [36, 30] 610 [23, 35] 1131 [30, 7] 496

[21, 36] 330 [29, 43] 118 [27, 44] 496 [7, 28] 339 [16, 2] 968 [19, 47] 1354 [49, 2] 105 [7, 5] 582 [46, 27] 1559 [24, 16] 1356 [21, 3] 397 [19, 25] 637 [16, 32] 608 [48, 27] 466 [23, 17] 1434 [30, 36] 611 [27, 14] 881 [7, 24] 511 [7, 17] 708 [48, 7] 459 [16, 6] 480 [19, 30] 396 [19, 10] 547 [30, 32] 692 [21, 43] 1817 [29, 9] 384 [29, 2] 1624 [7, 1] 533 [19, 38] 1646 [29, 15] 1742 [16, 12] 958 [21, 32] 511 [7, 10] 501 [17, 24] 958 [25, 16] 869 [20, 24] 130 [15, 36] 398 [23, 18] 629 [15, 26] 1373 [27, 51] 293 [7, 35] 812 [24, 44] 138 [21, 6] 99 [17, 29] 1725 [19, 29] 1839 [31, 29] 2554 [47, 19] 1353 [23, 29] 442 [20, 6] 1092 [6, 37] 760 [23, 26] 186 [36, 13] 106 [27, 11] 684 [2, 23] 1337 [7, 18] 716 [21, 18] 1029 [19, 24] 1019 [24, 3] 854 [19, 35] 434 [27, 20] 533 [7, 33] 394 [16, 39] 2152 [23, 32] 1764 [23, 16] 2038 [16, 30] 921 [43, 21] 1817 [2, 6] 498 [19, 15] 321 [18, 15] 834 [21, 28] 101 [4, 21] 526 [27, 35] 393 [24, 36] 1267 [33, 15] 122 [16, 41] 1949 [23, 22] 708 [46, 23] 630 [29, 13] 2099 [6, 15] 197 [32, 29] 2029 [37, 21] 712 [36, 15] 407 [4, 7] 966 [16, 40] 1204 [15, 12] 355 [6, 16] 482 [37, 24] 238 [19, 12] 435 [24, 34] 364 [23, 9] 628 [19, 50] 392 [27, 24] 524 [47, 7] 1506 [2, 7] 944 [15, 32] 579 [15, 39] 1549 [19, 34] 1218 [16, 45] 1824 [24, 18] 436 [15, 16] 612 [23, 1] 1720 [18, 16] 1438 [6, 4] 600 [29, 14] 651 [15, 18] 835 [19, 4] 817 [29, 20] 1142 [19, 26] 1469 [45, 41] 635 [7, 13] 891 [16, 16] 0 [45, 7] 1104 [19, 1] 304 [23, 42] 760 [16, 36] 495 [19, 33] 328 [23, 40] 835 [23, 34] 371 [29, 40] 1143 [24, 50] 1007 [23, 11] 1626 [21, 33] 317 [6, 11] 351 [27, 7] 445 [43, 6] 1811 [24, 15] 831 [16, 44] 1170 [23, 24] 734 [48, 15] 94 [45, 27] 849 [18, 29] 910 [23, 13] 1809 [46, 19] 2028 [19, 37] 896 [15, 28] 146 [43, 27] 1247 [20, 21] 990 [24, 8] 562 [35, 6] 651 [21, 8] 313 [6, 13] 387 [19, 41] 1260 [27, 47] 1636 [29, 26] 369 [20, 7] 645 [21, 29] 1938 [31, 19] 905 [16, 51] 1163 [27, 8] 443 [36, 29] 2053 [24, 51] 232 [25, 19] 639 [24, 46] 1362 [7, 47] 1506 [35, 27] 396 [18, 24] 435 [7, 20] 644 [7, 16] 851 [23, 28] 1543 [2, 21] 592 [24, 38] 979 [47, 23] 2694 [31, 23] 2245 [6, 2] 496 [23, 30] 1163 [27, 40] 231 [7, 34] 878 [4, 19] 813 [7, 6] 489 [37, 44] 122 [24, 35] 910 [6, 17] 306 [16, 21] 410 [20, 19] 1029 [19, 3] 168 [23, 44] 875 [27, 30] 106 [36, 3] 382 [19, 6] 225 [6, 24] 927 [24, 45] 812 [21, 37] 712 [27, 25] 274 [29, 41] 852 [12, 16] 958 [7, 32] 943 [15, 30] 318 [27, 42] 1624 [12, 30] 44 [29, 4] 2464 [24, 40] 396 [16, 14] 1854 [12, 23] 1157 [19, 49] 174 [6, 39] 1738 [47, 29] 3002 [27, 6] 567 [6, 44] 811 [36, 6] 265 [29, 5] 1045 [29, 45] 525 [29, 12] 1465 [18, 19] 961 [7, 14] 1035 [19, 17] 89 [24, 11] 1201 [27, 18] 464 [44, 19] 930 [35, 24] 910 [21, 47] 1060 [24, 49] 979 [43, 45] 404 [21, 45] 1415 [23, 23] 0 [24, 27] 521 [4, 16] 132 [21, 26] 1568 [7, 26] 1254 [4, 24] 1402 [4, 15] 727 [19, 21] 318 [15, 35] 560 [7, 22] 851 [19, 45] 1316 [27, 31] 1210 [44, 24] 137 [33, 21] 317 [29, 31] 2575 [29, 42] 516 [6, 31] 711 [17, 30] 336 [27, 41] 1115 [6, 46] 2121 [19, 31] 928 [16, 47] 663 [6, 22] 985 [27, 32] 821 [16, 3] 778 [29, 49] 1655 [27, 5] 331 [30, 12] 44 [24, 41] 1444 [23, 41] 864 [17, 23] 1434 [7, 40] 554 [20, 29] 1142 [21, 41] 1569 [35, 15] 559 [16, 23] 2038 [29, 44] 1312 [27, 43] 1252 [6, 3] 291 [35, 21] 745 [43, 15] 1621 [27, 22] 416 [45, 16] 1826 [48, 16] 520 [6, 30] 507 [19, 27] 504 [23, 33] 1356 [24, 6] 994 [7, 31] 1080 [7, 37] 275 [24, 26] 918 [17, 6] 307 [6, 49] 391 [29, 50] 2002 [18, 6] 1024 [21, 31] 633 [21, 21] 0 [45, 23] 236 [6, 38] 1739 [27, 13] 772 [6, 34] 1282 [46, 15] 1932 [6, 5] 890 [27, 1] 664 [24, 5] 346 [36, 27] 765 [24, 9] 1360 [7, 30] 495 [4, 6] 596 [15, 24] 820 [15, 33] 122 [27, 10] 66 [6, 45] 1410 [24, 43] 1093 [15, 17] 366 [16, 4] 142 [31, 6] 687 [6, 6] 0 [37, 6] 756 [6, 18] 1023 [21, 16] 405

```
[18, 27] 461 [16, 17] 779 [20, 23] 704 [7, 25] 178 [29, 30] 1471 [24, 39] 1323 [35,
23] 1131 [23, 6] 1624 [21, 22] 991 ;
end;
```

```
julho.dat
```

```
data;
```

```
param n := 52;
```

```
set T := truck carreta;
```

```
param U := truck 12000, carreta 24000;
```

```
param c := truck 1.0, carreta 1.4;
```

```
set V := 1 2 3 5 4 6 7 8 9 10 11 12 13 14 15 16 18 17 19 20 21 22 23 24 25 26 27 28
29 30 31 32 33 34 35 36 37 38 39 40 41 42 43 44 45 46 47 48 49 50 51 52;
```

```
set A := 43 24, 6 27, 43 29, 23 27, 21 49, 29 7, 21 46, 7 46, 29 18, 37 7, 16 43,
15 37, 16 15, 15 46, 7 42, 25 24, 36 7, 45 29, 15 19, 30 24, 18 21, 16 18, 6 36, 23
20, 31 27, 7 15, 7 50, 15 42, 15 40, 17 16, 17 27, 44 6, 32 21, 21 12, 19 36, 32 6,
23 47, 21 2, 30 15, 15 13, 20 27, 32 27, 29 39, 24 12, 30 19, 25 7, 17 15, 37 16,
15 29, 45 6, 16 9, 24 31, 33 19, 29 29, 27 29, 21 11, 33 7, 21 51, 24 25, 49 27, 27
12, 36 23, 49 21, 15 2, 29 47, 44 7, 46 21, 27 39, 23 4, 19 43, 23 25, 21 20, 24
23, 23 2, 27 15, 23 39, 19 23, 23 50, 23 21, 44 16, 43 39, 49 35, 20 16, 25 44, 7
8, 24 21, 15 14, 15 7, 6 26, 19 16, 30 6, 27 16, 6 47, 49 29, 4 23, 31 24, 7 36, 21
23, 21 34, 19 8, 15 22, 21 25, 46 24, 16 31, 27 34, 15 3, 6 23, 7 12, 45 19, 47 15,
44 37, 33 29, 19 32, 49 24, 29 1, 6 50, 7 2, 36 32, 16 11, 23 31, 48 24, 16 10, 27
36, 7 3, 35 7, 18 23, 24 2, 12 7, 23 51, 6 8, 7 39, 6 1, 16 37, 48 6, 21 40, 43 23,
27 37, 27 33, 23 49, 31 15, 48 23, 7 41, 24 30, 29 6, 43 16, 19 18, 15 20, 21 1, 24
20, 7 29, 15 9, 47 16, 7 27, 52 19, 44 29, 47 24, 15 23, 10 15, 24 17, 21 10, 36
21, 2 15, 27 23, 24 24, 29 46, 33 16, 6 51, 7 21, 27 9, 29 35, 16 34, 2 49, 2 19,
44 15, 29 38, 29 10, 7 7, 24 13, 23 45, 24 4, 52 24, 29 27, 16 35, 24 10, 16 13, 10
19, 19 2, 21 15, 29 51, 36 16, 37 23, 15 6, 15 47, 19 14, 16 8, 16 24, 15 25, 23
36, 31 21, 15 44, 12 29, 15 11, 15 50, 21 27, 45 15, 29 28, 16 38, 48 29, 19 28, 21
42, 21 13, 48 21, 6 20, 16 42, 20 15, 16 19, 29 23, 35 16, 29 34, 36 19, 27 49, 29
24, 7 51, 23 38, 27 3, 30 21, 24 29, 27 50, 19 22, 24 14, 16 27, 47 21, 4 27, 25
21, 6 28, 29 17, 33 27, 16 28, 23 43, 15 27, 49 16, 12 21, 24 37, 15 45, 15 49, 2
27, 35 19, 48 19, 16 46, 30 27, 16 7, 24 1, 19 51, 6 32, 21 50, 52 6, 52 15, 6 10,
19 5, 6 19, 21 9, 27 19, 6 35, 21 19, 15 4, 7 9, 16 1, 6 41, 21 17, 19 11, 6 14, 6
43, 29 22, 15 43, 23 3, 37 27, 27 2, 27 27, 29 11, 2 29, 30 23, 2 16, 37 29, 29 25,
15 41, 7 45, 16 33, 19 44, 25 6, 30 29, 15 38, 6 40, 7 23, 23 7, 6 25, 21 7, 19 19,
24 32, 10 21, 6 42, 49 7, 12 24, 6 33, 44 21, 6 12, 23 5, 29 21, 7 38, 27 46, 15 8,
47 27, 10 27, 16 22, 23 14, 16 5, 27 21, 31 7, 25 29, 46 6, 31 16, 29 16, 24 47, 15
31, 19 20, 6 7, 37 15, 16 25, 46 16, 29 32, 33 23, 24 28, 17 19, 23 10, 10 16, 21
24, 6 29, 44 23, 30 16, 12 19, 23 15, 33 6, 17 7, 17 21, 15 1, 2 24, 12 27, 29 33,
32 23, 12 15, 29 37, 21 44, 49 23, 23 19, 27 45, 7 49, 25 15, 35 29, 23 8, 24 19,
15 15, 30 11, 44 27, 52 23, 15 51, 27 17, 4 29, 16 50, 47 6, 15 10, 52 21, 19 9, 43
19, 7 4, 37 19, 24 7, 46 29, 7 19, 18 7, 43 7, 12 6, 32 24, 27 38, 16 29, 15 5, 21
30, 27 26, 32 15, 45 21, 16 49, 49 15, 29 19, 19 13, 32 19, 7 43, 49 19, 7 11, 24
```

42, 52 36, 15 34, 16 20, 15 21, 29 3, 25 20, 32 16, 21 4, 21 38, 36 24, 19 46, 27
 28, 21 5, 6 9, 29 36, 24 33, 23 12, 21 14, 27 4, 16 26, 29 8, 45 24, 6 21, 33 24,
 49 6, 46 7, 24 22, 19 39, 7 44, 23 37, 23 46, 25 27, 21 39, 19 7, 21 35, 32 7, 19
 42, 25 23, 19 40, 36 30, 23 35, 30 7, 21 36, 29 43, 27 44, 7 28, 16 2, 19 47, 49 2,
 7 5, 46 27, 24 16, 21 3, 19 25, 16 32, 48 27, 23 17, 30 36, 27 14, 7 24, 7 17, 48
 7, 16 6, 19 30, 19 10, 30 32, 21 43, 29 9, 29 2, 7 1, 19 38, 29 15, 16 12, 17 24,
 21 32, 7 10, 25 16, 20 24, 15 36, 23 18, 15 26, 27 51, 7 35, 24 44, 21 6, 17 29, 19
 29, 31 29, 47 19, 23 29, 20 6, 6 37, 23 26, 36 13, 27 11, 2 23, 7 18, 21 18, 19 24,
 24 3, 19 35, 27 20, 7 33, 23 32, 16 39, 23 16, 16 30, 43 21, 2 6, 19 15, 18 15, 21
 28, 4 21, 27 35, 24 36, 33 15, 16 41, 23 22, 46 23, 29 13, 6 15, 32 29, 37 21, 36
 15, 4 7, 16 40, 15 12, 6 16, 37 24, 19 12, 24 34, 23 9, 19 50, 27 24, 47 7, 2 7, 52
 7, 15 32, 15 39, 19 34, 16 45, 24 18, 10 7, 10 29, 15 16, 31 4, 23 1, 18 16, 6 4,
 29 14, 52 27, 15 18, 19 4, 35 2, 29 20, 19 26, 45 41, 7 13, 16 16, 45 7, 19 1, 23
 42, 16 36, 19 33, 23 40, 23 34, 29 40, 24 50, 23 11, 6 11, 21 33, 27 7, 43 6, 24
 15, 16 44, 23 24, 48 15, 45 27, 18 29, 23 13, 46 19, 19 37, 15 28, 43 27, 20 21, 52
 29, 24 8, 35 6, 21 8, 6 13, 19 41, 27 47, 29 26, 20 7, 21 29, 31 19, 16 51, 27 8,
 36 29, 10 24, 24 51, 25 19, 24 46, 7 47, 35 27, 18 24, 7 16, 7 20, 23 28, 2 21, 24
 38, 47 23, 31 23, 6 2, 23 30, 27 40, 7 34, 4 19, 7 6, 37 44, 24 35, 6 17, 16 21, 20
 19, 19 3, 23 44, 27 30, 36 3, 19 6, 6 24, 24 45, 21 37, 27 25, 29 41, 12 16, 7 32,
 15 30, 27 42, 12 30, 29 4, 24 40, 16 14, 12 23, 19 49, 47 29, 27 6, 6 39, 6 44, 32
 11, 36 6, 29 5, 29 45, 29 12, 18 19, 7 14, 24 11, 19 17, 27 18, 44 19, 35 24, 21
 47, 24 49, 43 45, 21 45, 23 23, 24 27, 4 16, 21 26, 7 26, 4 24, 4 15, 19 21, 15 35,
 7 22, 19 45, 27 31, 44 24, 33 21, 29 31, 29 42, 6 31, 17 30, 27 41, 6 46, 19 31, 16
 47, 6 22, 27 32, 16 3, 29 49, 27 5, 30 12, 24 41, 23 41, 17 23, 7 40, 20 29, 21 41,
 35 15, 16 23, 29 44, 27 43, 6 3, 35 21, 43 15, 27 22, 45 16, 48 16, 6 30, 19 27, 23
 33, 24 6, 7 31, 7 37, 24 26, 17 6, 6 49, 29 50, 18 6, 21 31, 52 16, 17 44, 21 21,
 45 23, 10 23, 6 38, 27 13, 6 34, 46 15, 6 5, 27 1, 24 5, 36 27, 24 9, 7 30, 4 6, 15
 24, 15 33, 27 10, 6 45, 24 43, 15 17, 16 4, 31 6, 32 30, 6 6, 37 6, 6 18, 21 16, 18
 27, 16 17, 10 6, 20 23, 7 25, 29 30, 35 23, 23 6, 21 22, 24 39;

```

param: K:      R      O      D:= 1 6723 43      29 2 16430 23      27 3 3126 21
          49 4 1943 29      7 5 3866 23      34 6 7619 21      33 7 1233 37
          7 8 9960 21      30 9 3407 27      26 10 13953 31      21 11 6979 25
          24 12 10192 23      24 13 14723 36      7 14 135 45      29 15 108 7
          43 16 961 45      27 17 685 6      36 18 159 49      19 19 195 52
          36 20 5832 43      27 21 5362 7      15 22 6144 15      21 23 813 25
          20 24 9485 17      27 25 21809 48      21 26 1359 24      8 27 5657 6
          20 28 4841 21      8 29 3112 29      26 30 21283 21      2 31 1864 21
          29 32 4755 32      27 33 4504 29      39 34 328 30      19 35 3012 25
          7 36 625 36      19 37 3338 27      49 38 873 24      46 39 4199 29
          24 40 294 2      21 41 6710 6      21 42 16044 6      2 43 1846 24
          25 44 15303 27      40 45 5256 27      3 46 9086 49      27 47 518 30
          21 48 11183 7      6 49 776 37      44 50 9695 24      29 51 228 7
          44 52 4842 24      14 53 3578 16      21 54 5082 16      27 55 131 19
          3 56 2107 47      21 57 551 4      27 58 2979 25      21 59 10227 27
          30 60 412 36      3 61 2296 19      6 62 7498 33      27 63 1129 23
          37 64 3664 23      43 65 4012 21      37 66 13242 24      23 67 8807 25

```

```

27 68 11287 27    25 69 2723 24    37 70 4689 12    21 71 9800 27
15 72 1442 2     27 73 113 15     30 74 317 36    30 75 568 21
36 76 369 12    30 77 11982 29   43 78 6865 30   27 79 1101 23
21 80 10807 27   44 81 3068 21    50 82 248 43    39 83 316 49
35 84 438 19    49 85 2137 6     19 86 11177 27   6 87 1071 49
2 88 819 25     44 89 2739 6     44 90 142 32    11 91 7048 7
8 92 6303 46    27 93 4648 27    19 94 10491 15   7 95 8936 29
45 96 2639 21   19 97 582 19     17 98 1134 19    11 99 10527 27
18 100 497 30    36 101 14374 21   25 102 3218 46   24 103 2480 21
47 104 10010 7   24 105 1573 43    45 106 630 30    32 107 976 19
30 108 1433 4    16 109 1141 25   6 110 2364 29    9 111 7367 44
37 112 11374 7   23 113 6558 44    24 114 510 20    24 115 10611 23
7 116 10675 6   25 117 553 15    36 118 8170 27   51 119 3484 29
42 120 5661 24   44 121 830 49    7 122 446 44    21 123 4590 6
33 124 2602 21   6 125 219 7     2 126 387 36    32 127 185 17
30 128 5217 27   36 129 18244 23   29 130 104 18    23 131 1961 27
32 132 3933 6    37 133 12362 27   5 134 353 30    12 135 2706 6
8 136 7158 47    27 137 103 10    27 138 3383 6    1 139 972 36
13 140 4141 23   14 141 4603 27   11 142 13929 27   43 143 2295 6
3 144 2705 43    23 145 19831 27   22 146 5341 27   33 147 18296 27
20 148 6472 6    30 149 10493 19   27 150 1481 24   6 151 727 17
19 152 640 2     6 153 5107 7     37 154 6285 24   20 155 2681 7
29 156 3316 21   28 157 5428 6    49 158 9384 27   35 159 4560 4
21 160 1646 21   31 161 309 52    16 162 405 17    44 163 235 33
6 164 8210 6     15 165 524 45    23 166 660 37    21 167 2832 36
15 168 372 37    24 169 6701 24   34 170 4256 36   21 171 20694 12
27 172 10684 27   23 173 13370 36   27 174 6373 47   7 175 12061 29
46 176 10661 21   44 177 8425 7     21 178 10797 27   45 179 4100 15
33 180 1388 2    49 181 140 2     19 182 5862 29   38 183 9296 27
10 184 122 23    45 185 21569 29   27 186 368 24    43 187 423 31
4 188 560 30    11 189 8389 44    27 190 153 32    30 191 2985 21
16 192 991 27    17 193 1384 19   2 194 10114 21   15 195 251 35
2 196 155 18    27 197 3761 45   41 198 17188 46   29 199 4577 15
6 200 5955 7     25 ;

```

```

param distancia default 0 := [43, 24] 1092 [6, 27] 569 [43, 29] 118 [23, 27] 1061
[21, 49] 483 [29, 7] 1625 [21, 46] 2127 [7, 46] 1814 [29, 18] 909 [37, 7] 274 [16,
43] 2225 [15, 37] 643 [16, 15] 611 [15, 46] 1933 [7, 42] 1875 [25, 24] 460 [36, 7]
762 [45, 29] 526 [15, 19] 320 [30, 24] 622 [18, 21] 1030 [16, 18] 1437 [6, 36] 267
[23, 20] 704 [31, 27] 1190 [7, 15] 371 [7, 50] 502 [15, 42] 1994 [15, 40] 601 [17,
16] 781 [17, 27] 444 [44, 6] 878 [32, 21] 514 [21, 12] 549 [19, 36] 218 [32, 6] 444
[23, 47] 2693 [21, 2] 587 [30, 15] 317 [15, 13] 519 [20, 27] 529 [32, 27] 821 [29,
39] 480 [24, 12] 631 [30, 19] 398 [25, 7] 178 [17, 15] 368 [37, 16] 1119 [15, 29]
1744 [45, 6] 1412 [16, 9] 2465 [24, 31] 1585 [33, 19] 326 [29, 29] 0 [27, 29] 1373
[21, 11] 443 [33, 7] 395 [21, 51] 754 [24, 25] 459 [49, 27] 468 [27, 12] 114 [36,
23] 1762 [49, 21] 487 [15, 2] 590 [29, 47] 3001 [44, 7] 396 [46, 21] 2128 [27, 39]
1168 [23, 4] 2156 [19, 43] 1717 [23, 25] 1187 [21, 20] 994 [24, 23] 735 [23, 2]

```

1334 [27, 15] 377 [23, 39] 684 [19, 23] 1549 [23, 50] 1694 [23, 21] 1630 [44, 16]
1240 [43, 39] 359 [49, 35] 270 [20, 16] 1397 [25, 44] 343 [7, 8] 129 [24, 21] 949
[15, 14] 1251 [15, 7] 373 [6, 26] 1562 [19, 16] 699 [30, 6] 507 [27, 16] 981 [6,
47] 1137 [49, 29] 1675 [4, 23] 2154 [31, 24] 1494 [7, 36] 762 [21, 23] 1630 [21,
34] 1288 [19, 8] 621 [15, 22] 797 [21, 25] 458 [46, 24] 1362 [16, 31] 253 [27, 34]
723 [15, 3] 253 [6, 23] 1624 [7, 12] 532 [45, 19] 1318 [47, 15] 1267 [44, 37] 122
[33, 29] 1667 [19, 32] 314 [49, 24] 982 [29, 1] 2029 [6, 50] 176 [7, 2] 942 [36,
32] 182 [16, 11] 650 [23, 31] 2267 [48, 24] 905 [16, 10] 1050 [27, 36] 763 [7, 3]
604 [35, 7] 812 [18, 23] 602 [24, 2] 1040 [12, 7] 532 [23, 51] 926 [6, 8] 362 [7,
39] 1603 [6, 1] 88 [16, 37] 1120 [48, 6] 106 [21, 40] 796 [43, 23] 361 [27, 37] 536
[27, 33] 300 [23, 49] 1365 [31, 15] 819 [48, 23] 1521 [7, 41] 1550 [24, 30] 623
[29, 6] 1932 [43, 16] 2225 [19, 18] 959 [15, 20] 903 [21, 1] 102 [24, 20] 130 [7,
29] 1625 [15, 9] 1862 [47, 16] 662 [7, 27] 440 [52, 19] 468 [44, 29] 1313 [47, 24]
1942 [15, 23] 1435 [10, 15] 438 [24, 17] 958 [21, 10] 642 [36, 21] 336 [2, 15] 593
[27, 23] 1065 [24, 24] 0 [29, 46] 322 [33, 16] 726 [6, 51] 803 [7, 21] 444 [27, 9]
1492 [29, 35] 1421 [16, 34] 1696 [2, 49] 107 [2, 19] 280 [44, 15] 715 [29, 38] 193
[29, 10] 1352 [7, 7] 0 [24, 13] 1396 [23, 45] 235 [24, 4] 1474 [52, 24] 1402 [29,
27] 1369 [16, 35] 1124 [24, 10] 577 [16, 13] 458 [10, 19] 556 [19, 2] 278 [21, 15]
203 [29, 51] 1234 [36, 16] 498 [37, 23] 976 [15, 6] 198 [15, 47] 1267 [19, 14] 1375
[16, 8] 721 [16, 24] 1286 [15, 25] 345 [23, 36] 1760 [31, 21] 617 [15, 44] 703 [12,
29] 1466 [15, 11] 483 [15, 50] 268 [21, 27] 574 [45, 15] 1222 [29, 28] 1851 [16,
38] 2153 [48, 29] 1830 [19, 28] 378 [21, 42] 2189 [21, 13] 459 [48, 21] 112 [6, 20]
1043 [16, 42] 2597 [20, 15] 902 [16, 19] 697 [29, 23] 440 [35, 16] 1125 [29, 34]
809 [36, 19] 221 [27, 49] 463 [29, 24] 1172 [7, 51] 419 [23, 38] 248 [27, 3] 337
[30, 21] 513 [24, 29] 1173 [27, 50] 637 [19, 22] 840 [24, 14] 522 [16, 27] 983 [47,
21] 1066 [4, 27] 1099 [25, 21] 461 [6, 28] 153 [29, 17] 1724 [33, 27] 303 [16, 28]
509 [23, 43] 362 [15, 27] 380 [49, 16] 867 [12, 21] 549 [24, 37] 238 [15, 45] 1221
[15, 49] 485 [2, 27] 528 [35, 19] 433 [48, 19] 330 [16, 46] 2536 [30, 27] 108 [16,
7] 850 [24, 1] 1039 [19, 51] 787 [6, 32] 448 [21, 50] 81 [52, 6] 518 [52, 15] 727
[6, 10] 636 [19, 5] 825 [6, 19] 225 [21, 9] 2057 [27, 19] 504 [6, 35] 651 [21, 19]
317 [15, 4] 730 [7, 9] 1743 [16, 1] 373 [6, 41] 1477 [21, 17] 398 [19, 11] 205 [6,
14] 1440 [6, 43] 1811 [29, 22] 999 [15, 43] 1622 [23, 3] 1384 [37, 27] 532 [27, 2]
523 [27, 27] 0 [29, 11] 1917 [2, 29] 1628 [30, 23] 1163 [2, 16] 972 [37, 29] 1414
[29, 25] 1495 [15, 41] 1496 [7, 45] 1102 [16, 33] 725 [19, 44] 929 [25, 6] 506 [30,
29] 1471 [15, 38] 1551 [6, 40] 790 [7, 23] 1248 [23, 7] 1249 [6, 25] 534 [21, 7]
441 [19, 19] 0 [24, 32] 1338 [10, 21] 633 [6, 42] 2183 [49, 7] 860 [12, 24] 630 [6,
33] 311 [44, 21] 833 [6, 12] 544 [23, 5] 736 [29, 21] 1938 [7, 38] 1432 [27, 46]
1563 [15, 8] 244 [47, 27] 1639 [10, 27] 66 [16, 22] 1400 [23, 14] 213 [16, 5] 1304
[27, 21] 573 [31, 7] 1057 [25, 29] 1496 [46, 6] 2122 [31, 16] 224 [29, 16] 2346
[24, 47] 2011 [15, 31] 841 [19, 20] 1027 [6, 7] 490 [37, 15] 639 [16, 25] 866 [46,
16] 2536 [29, 32] 2054 [33, 23] 1359 [24, 28] 845 [17, 19] 89 [23, 10] 1044 [10,
16] 1042 [21, 24] 878 [6, 29] 1932 [44, 23] 875 [30, 16] 921 [12, 19] 436 [23, 15]
1434 [33, 6] 311 [17, 7] 710 [17, 21] 401 [15, 1] 295 [2, 24] 1043 [12, 27] 116
[29, 33] 1665 [32, 23] 1739 [12, 15] 354 [29, 37] 1413 [21, 44] 762 [49, 23] 1385
[23, 19] 1548 [27, 45] 851 [7, 49] 858 [25, 15] 347 [35, 29] 1422 [23, 8] 1299 [24,
19] 1021 [15, 15] 0 [30, 11] 555 [44, 27] 492 [52, 23] 1985 [15, 51] 663 [27, 17]

441 [4, 29] 2462 [16, 50] 411 [47, 6] 1136 [15, 10] 447 [52, 21] 538 [19, 9] 1957
[43, 19] 1717 [7, 4] 969 [37, 19] 897 [24, 7] 512 [46, 29] 324 [7, 19] 713 [18, 7]
716 [43, 7] 1503 [12, 6] 543 [32, 24] 1336 [27, 38] 1180 [16, 29] 2346 [15, 5] 701
[21, 30] 512 [27, 26] 1003 [32, 15] 585 [45, 21] 1418 [16, 49] 864 [49, 15] 487
[29, 19] 1838 [19, 13] 269 [32, 19] 313 [7, 43] 1503 [49, 19] 175 [7, 11] 839 [24,
42] 1492 [52, 36] 283 [15, 34] 1093 [16, 20] 1403 [15, 21] 204 [29, 3] 1693 [25,
20] 530 [32, 16] 606 [21, 4] 523 [21, 38] 1745 [36, 24] 1199 [19, 46] 2028 [27, 28]
510 [21, 5] 896 [6, 9] 2051 [29, 36] 2051 [24, 33] 754 [23, 12] 1157 [21, 14] 1445
[27, 4] 1099 [16, 26] 1976 [29, 8] 1643 [45, 24] 812 [6, 21] 102 [33, 24] 755 [49,
6] 393 [46, 7] 1814 [24, 22] 922 [19, 39] 1598 [7, 44] 394 [23, 37] 975 [23, 46]
631 [25, 27] 269 [21, 39] 1744 [19, 7] 749 [21, 35] 743 [32, 7] 941 [19, 42] 2090
[25, 23] 1187 [19, 40] 726 [36, 30] 610 [23, 35] 1131 [30, 7] 496 [21, 36] 330 [29,
43] 118 [27, 44] 496 [7, 28] 339 [16, 2] 968 [19, 47] 1354 [49, 2] 105 [7, 5] 582
[46, 27] 1559 [24, 16] 1356 [21, 3] 397 [19, 25] 637 [16, 32] 608 [48, 27] 466 [23,
17] 1434 [30, 36] 611 [27, 14] 881 [7, 24] 511 [7, 17] 708 [48, 7] 459 [16, 6] 480
[19, 30] 396 [19, 10] 547 [30, 32] 692 [21, 43] 1817 [29, 9] 384 [29, 2] 1624 [7,
1] 533 [19, 38] 1646 [29, 15] 1742 [16, 12] 958 [17, 24] 958 [21, 32] 511 [7, 10]
501 [25, 16] 869 [20, 24] 130 [15, 36] 398 [23, 18] 629 [15, 26] 1373 [27, 51] 293
[7, 35] 812 [24, 44] 138 [21, 6] 99 [17, 29] 1725 [19, 29] 1839 [31, 29] 2554 [47,
19] 1353 [23, 29] 442 [20, 6] 1092 [6, 37] 760 [23, 26] 186 [36, 13] 106 [27, 11]
684 [2, 23] 1337 [7, 18] 716 [21, 18] 1029 [19, 24] 1019 [24, 3] 854 [19, 35] 434
[27, 20] 533 [7, 33] 394 [23, 32] 1764 [16, 39] 2152 [23, 16] 2038 [16, 30] 921
[43, 21] 1817 [2, 6] 498 [19, 15] 321 [18, 15] 834 [21, 28] 101 [4, 21] 526 [27,
35] 393 [24, 36] 1267 [33, 15] 122 [16, 41] 1949 [23, 22] 708 [46, 23] 630 [29, 13]
2099 [6, 15] 197 [32, 29] 2029 [37, 21] 712 [36, 15] 407 [4, 7] 966 [16, 40] 1204
[15, 12] 355 [6, 16] 482 [37, 24] 238 [19, 12] 435 [24, 34] 364 [23, 9] 628 [19,
50] 392 [27, 24] 524 [47, 7] 1506 [2, 7] 944 [52, 7] 965 [15, 32] 579 [15, 39] 1549
[19, 34] 1218 [16, 45] 1824 [24, 18] 436 [10, 7] 501 [10, 29] 1352 [15, 16] 612
[31, 4] 97 [23, 1] 1720 [18, 16] 1438 [6, 4] 600 [29, 14] 651 [52, 27] 1098 [15,
18] 835 [19, 4] 817 [35, 2] 219 [29, 20] 1142 [19, 26] 1469 [45, 41] 635 [7, 13]
891 [16, 16] 0 [45, 7] 1104 [19, 1] 304 [23, 42] 760 [16, 36] 495 [19, 33] 328 [23,
40] 835 [23, 34] 371 [29, 40] 1143 [24, 50] 1007 [23, 11] 1626 [6, 11] 351 [21, 33]
317 [27, 7] 445 [43, 6] 1811 [24, 15] 831 [16, 44] 1170 [23, 24] 734 [48, 15] 94
[45, 27] 849 [18, 29] 910 [23, 13] 1809 [46, 19] 2028 [19, 37] 896 [15, 28] 146
[43, 27] 1247 [20, 21] 990 [52, 29] 2275 [24, 8] 562 [35, 6] 651 [21, 8] 313 [6,
13] 387 [19, 41] 1260 [27, 47] 1636 [29, 26] 369 [20, 7] 645 [21, 29] 1938 [31, 19]
905 [16, 51] 1163 [27, 8] 443 [36, 29] 2053 [10, 24] 578 [24, 51] 232 [25, 19] 639
[24, 46] 1362 [7, 47] 1506 [35, 27] 396 [18, 24] 435 [7, 16] 851 [7, 20] 644 [23,
28] 1543 [2, 21] 592 [24, 38] 979 [47, 23] 2694 [31, 23] 2245 [6, 2] 496 [23, 30]
1163 [27, 40] 231 [7, 34] 878 [4, 19] 813 [7, 6] 489 [37, 44] 122 [24, 35] 910 [6,
17] 306 [16, 21] 410 [20, 19] 1029 [19, 3] 168 [23, 44] 875 [27, 30] 106 [36, 3]
382 [19, 6] 225 [6, 24] 927 [24, 45] 812 [21, 37] 712 [27, 25] 274 [29, 41] 852
[12, 16] 958 [7, 32] 943 [15, 30] 318 [27, 42] 1624 [12, 30] 44 [29, 4] 2464 [24,
40] 396 [16, 14] 1854 [12, 23] 1157 [19, 49] 174 [47, 29] 3002 [27, 6] 567 [6, 39]
1738 [6, 44] 811 [32, 11] 143 [36, 6] 265 [29, 5] 1045 [29, 45] 525 [29, 12] 1465
[18, 19] 961 [7, 14] 1035 [24, 11] 1201 [19, 17] 89 [27, 18] 464 [44, 19] 930 [35,

```

24] 910 [21, 47] 1060 [24, 49] 979 [43, 45] 404 [21, 45] 1415 [23, 23] 0 [24, 27]
521 [4, 16] 132 [21, 26] 1568 [7, 26] 1254 [4, 24] 1402 [4, 15] 727 [19, 21] 318
[15, 35] 560 [7, 22] 851 [19, 45] 1316 [27, 31] 1210 [44, 24] 137 [33, 21] 317 [29,
31] 2575 [29, 42] 516 [6, 31] 711 [17, 30] 336 [27, 41] 1115 [6, 46] 2121 [19, 31]
928 [16, 47] 663 [6, 22] 985 [27, 32] 821 [16, 3] 778 [29, 49] 1655 [27, 5] 331
[30, 12] 44 [24, 41] 1444 [23, 41] 864 [17, 23] 1434 [7, 40] 554 [20, 29] 1142 [21,
41] 1569 [35, 15] 559 [16, 23] 2038 [29, 44] 1312 [27, 43] 1252 [6, 3] 291 [35, 21]
745 [43, 15] 1621 [27, 22] 416 [45, 16] 1826 [48, 16] 520 [6, 30] 507 [19, 27] 504
[23, 33] 1356 [24, 6] 994 [7, 31] 1080 [7, 37] 275 [24, 26] 918 [17, 6] 307 [6, 49]
391 [29, 50] 2002 [18, 6] 1024 [21, 31] 633 [52, 16] 388 [17, 44] 869 [21, 21] 0
[45, 23] 236 [10, 23] 1043 [6, 38] 1739 [27, 13] 772 [6, 34] 1282 [46, 15] 1932 [6,
5] 890 [27, 1] 664 [24, 5] 346 [36, 27] 765 [24, 9] 1360 [7, 30] 495 [4, 6] 596
[15, 24] 820 [15, 33] 122 [27, 10] 66 [6, 45] 1410 [24, 43] 1093 [15, 17] 366 [16,
4] 142 [31, 6] 687 [32, 30] 690 [6, 6] 0 [37, 6] 756 [6, 18] 1023 [21, 16] 405 [18,
27] 461 [16, 17] 779 [10, 6] 627 [20, 23] 704 [7, 25] 178 [29, 30] 1471 [35, 23]
1131 [23, 6] 1624 [21, 22] 991 [24, 39] 1323 ;
end;

```

```

agosto.dat
data;
param n := 52;
set T := truck carreta;
param U := truck 12000, carreta 24000;
param c := truck 1.0, carreta 1.4;
set V := 1 2 3 4 5 6 7 8 9 10 11 12 13 14 15 16 18 17 19 20 21 22 23 24 25 26 27 28
29 30 31 32 33 34 35 36 37 38 39 40 41 42 43 44 45 46 47 49 48 50 51 52;
set A := 43 24, 6 27, 43 29, 23 27, 21 49, 29 7, 21 46, 7 46, 29 18, 37 7, 15 37,
16 43, 21 48, 16 15, 15 46, 7 42, 25 24, 36 7, 45 29, 15 19, 30 24, 18 21, 16 18, 6
36, 23 20, 31 27, 7 15, 7 50, 15 42, 15 40, 17 16, 24 52, 17 27, 44 6, 32 21, 21
12, 19 36, 32 6, 23 47, 21 2, 30 15, 15 13, 20 27, 32 27, 29 39, 24 12, 30 19, 25
7, 17 15, 37 16, 15 29, 45 6, 16 9, 24 31, 33 19, 29 29, 27 29, 21 11, 33 7, 21 51,
24 25, 49 27, 28 29, 27 12, 36 23, 49 21, 15 2, 29 47, 44 7, 46 21, 27 39, 23 25,
19 43, 21 20, 24 23, 23 2, 27 15, 23 39, 19 23, 23 50, 23 21, 44 16, 20 16, 25 44,
7 8, 24 21, 15 14, 15 7, 6 26, 19 16, 30 6, 27 16, 6 47, 49 29, 4 23, 31 24, 7 36,
21 23, 21 34, 19 8, 15 22, 21 25, 46 24, 16 31, 27 34, 15 3, 6 23, 23 52, 7 12, 45
19, 47 15, 44 37, 33 29, 19 32, 49 24, 29 1, 6 52, 6 50, 7 2, 36 32, 16 11, 23 31,
48 24, 16 10, 27 36, 7 3, 35 7, 18 23, 7 48, 24 2, 12 7, 23 51, 6 8, 7 39, 6 1, 47
44, 16 37, 48 6, 21 40, 43 23, 27 37, 27 33, 23 49, 31 15, 48 23, 7 41, 24 30, 29
6, 43 16, 19 18, 15 20, 21 1, 24 20, 7 29, 15 9, 47 16, 7 27, 52 19, 44 29, 47 24,
15 23, 24 17, 21 10, 36 21, 2 15, 27 23, 24 24, 29 46, 33 16, 6 51, 7 21, 27 9, 29
35, 16 34, 2 49, 2 19, 44 15, 29 38, 29 10, 7 7, 24 13, 23 45, 52 24, 29 27, 16 35,
24 10, 16 13, 19 2, 21 15, 29 51, 36 16, 37 23, 15 6, 15 47, 19 14, 16 8, 16 24, 15
25, 23 36, 31 21, 15 44, 12 29, 15 11, 15 50, 21 27, 45 15, 29 28, 16 38, 48 29, 19
28, 21 42, 21 13, 48 21, 6 20, 16 42, 20 15, 16 19, 29 23, 35 16, 29 34, 36 19, 27

```

49, 29 24, 7 51, 23 38, 27 3, 30 21, 24 29, 27 50, 19 22, 24 14, 16 27, 47 21, 4
27, 25 21, 6 28, 16 48, 29 17, 33 27, 16 28, 15 27, 23 43, 49 16, 12 21, 24 37, 15
45, 15 49, 2 27, 35 19, 48 19, 16 46, 29 52, 30 27, 16 7, 24 1, 19 51, 6 32, 21 50,
52 6, 52 15, 6 10, 19 5, 6 19, 21 9, 27 19, 6 35, 21 19, 7 9, 16 1, 6 41, 19 11, 21
17, 6 14, 6 43, 29 22, 15 43, 23 3, 37 27, 27 2, 27 27, 29 11, 2 29, 30 23, 2 16,
37 29, 29 25, 15 41, 28 6, 7 45, 16 33, 19 44, 25 6, 30 29, 15 38, 6 40, 7 23, 23
7, 6 25, 21 7, 19 19, 24 32, 6 42, 49 7, 12 24, 6 33, 44 21, 6 12, 23 5, 28 7, 29
21, 7 38, 15 52, 27 46, 15 8, 47 27, 16 22, 28 24, 23 14, 16 5, 27 21, 31 7, 25 29,
46 6, 31 16, 29 16, 24 47, 15 31, 6 7, 19 20, 37 15, 16 25, 46 16, 29 32, 33 23, 24
28, 17 19, 23 10, 21 24, 6 29, 44 23, 30 16, 12 19, 23 15, 33 6, 43 26, 17 7, 17
21, 15 1, 2 24, 12 27, 29 33, 32 23, 12 15, 29 37, 21 44, 49 23, 23 19, 27 45, 7
49, 25 15, 35 29, 23 8, 24 19, 15 15, 30 11, 44 27, 52 23, 15 51, 27 17, 4 29, 16
50, 47 6, 15 10, 52 21, 19 9, 43 19, 37 19, 27 52, 24 7, 46 29, 7 19, 18 7, 43 7,
12 6, 32 24, 27 38, 16 29, 15 5, 21 30, 27 26, 32 15, 45 21, 16 49, 49 15, 29 19,
19 13, 32 19, 7 43, 49 19, 7 11, 24 42, 15 34, 16 20, 16 52, 15 21, 29 3, 25 20, 32
16, 21 38, 36 24, 19 46, 27 28, 21 5, 6 9, 29 36, 24 33, 23 12, 21 14, 16 26, 29 8,
45 24, 6 21, 33 24, 49 6, 19 39, 46 7, 24 22, 24 48, 7 44, 23 37, 21 39, 23 46, 25
27, 19 7, 21 35, 32 7, 19 42, 25 23, 19 40, 36 30, 23 35, 30 7, 21 36, 29 43, 28
15, 27 44, 7 28, 23 48, 16 2, 19 47, 49 2, 7 5, 46 27, 24 16, 21 3, 19 25, 16 32,
15 48, 48 27, 23 17, 30 36, 27 14, 7 24, 7 17, 48 7, 16 6, 19 30, 19 10, 30 32, 21
43, 29 9, 29 2, 7 1, 19 38, 29 15, 16 12, 21 32, 7 10, 17 24, 25 16, 20 24, 15 36,
23 18, 15 26, 27 51, 7 35, 24 44, 21 6, 17 29, 19 29, 31 29, 29 48, 47 19, 23 29,
20 6, 6 37, 28 21, 23 26, 36 13, 27 11, 2 23, 7 18, 21 18, 19 24, 24 3, 19 35, 27
20, 7 33, 16 39, 23 32, 23 16, 16 30, 43 21, 2 6, 19 15, 18 15, 21 28, 4 21, 27 35,
24 36, 33 15, 16 41, 23 22, 46 23, 19 52, 29 13, 6 15, 32 29, 37 21, 36 15, 4 7, 16
40, 15 12, 6 16, 37 24, 19 12, 24 34, 23 9, 19 50, 27 24, 47 7, 2 7, 52 7, 15 32,
15 39, 19 34, 16 45, 24 18, 15 16, 23 1, 18 16, 29 14, 52 27, 15 18, 29 20, 19 26,
45 41, 7 13, 16 16, 45 7, 19 1, 23 42, 16 36, 19 33, 23 40, 23 34, 29 40, 24 50, 23
11, 21 33, 6 11, 27 7, 43 6, 24 15, 16 44, 23 24, 48 15, 45 27, 18 29, 23 13, 46
19, 19 37, 15 28, 43 27, 20 21, 52 29, 24 8, 35 6, 21 8, 6 13, 19 41, 27 47, 29 26,
20 7, 21 29, 31 19, 16 51, 27 8, 36 29, 24 51, 25 19, 24 46, 27 48, 7 47, 35 27, 18
24, 7 20, 7 16, 23 28, 2 21, 24 38, 47 23, 31 23, 6 2, 23 30, 27 40, 7 34, 35 49, 4
19, 7 6, 37 44, 19 48, 24 35, 6 17, 16 21, 20 19, 19 3, 23 44, 27 30, 36 3, 19 6, 6
24, 24 45, 21 37, 27 25, 29 41, 12 16, 7 32, 15 30, 27 42, 12 30, 24 40, 7 52, 16
14, 12 23, 19 49, 6 39, 47 29, 27 6, 6 44, 36 6, 29 5, 29 45, 29 12, 6 48, 18 19, 7
14, 21 52, 46 43, 19 17, 24 11, 27 18, 44 19, 35 24, 21 47, 24 49, 43 45, 21 45, 23
23, 24 27, 4 16, 21 26, 7 26, 4 24, 4 15, 19 21, 15 35, 7 22, 19 45, 27 31, 44 24,
33 21, 29 31, 29 42, 6 31, 17 30, 27 41, 6 46, 19 31, 16 47, 6 22, 27 32, 16 3, 29
49, 27 5, 30 12, 24 41, 23 41, 17 23, 28 23, 7 40, 20 29, 21 41, 28 16, 35 15, 16
23, 29 44, 27 43, 6 3, 35 21, 43 15, 27 22, 45 16, 48 16, 6 30, 19 27, 23 33, 24 6,
7 31, 7 37, 28 27, 24 26, 17 6, 6 49, 29 50, 18 6, 21 31, 52 16, 28 19, 21 21, 45
23, 6 38, 27 13, 6 34, 46 15, 6 5, 27 1, 24 5, 36 27, 24 9, 7 30, 4 6, 15 24, 15
33, 27 10, 6 45, 12 44, 24 43, 15 17, 31 6, 6 6, 37 6, 6 18, 21 16, 18 27, 16 17,
20 23, 7 25, 29 30, 24 39, 35 23, 23 6, 21 22;

param: K: R O D:= 1 368 43 24 2 463 12 6 3 4290 43
 29 4 18122 23 27 5 3133 21 49 6 2294 29 7 7 3328 23

34	8	1147	7	46	9	6116	21	33	10	1191	37	7	11	9898	21
30	12	4016	27	26	13	14281	31	21	14	6003	25	24	15	7352	23
24	16	14496	36	7	17	442	7	43	18	2038	45	27	19	374	6
36	20	276	49	19	21	4131	43	27	22	136	16	52	23	4693	7
15	24	8388	15	21	25	838	31	27	26	524	25	20	27	7982	17
27	28	780	24	8	29	3018	6	20	30	6432	21	8	31	114	32
21	32	2219	29	26	33	149	19	36	34	21159	21	2	35	3700	21
29	36	6283	32	27	37	3754	29	39	38	317	30	19	39	2591	25
7	40	195	36	19	41	3348	27	49	42	345	27	48	43	215	35
27	44	3265	29	24	45	333	2	21	46	8729	6	21	47	14323	6
2	48	1401	24	25	49	1338	46	7	50	15273	27	40	51	7046	27
3	52	9298	49	27	53	208	35	49	54	405	30	21	55	9278	7
6	56	677	37	44	57	12431	24	29	58	345	7	44	59	5089	24
14	60	4277	16	21	61	5455	16	27	62	1248	47	21	63	3015	25
21	64	12500	27	30	65	576	36	3	66	2027	19	6	67	7670	33
27	68	792	23	37	69	23007	15	27	70	5776	23	43	71	3928	21
37	72	9632	24	23	73	8039	25	27	74	11759	27	25	75	1886	24
37	76	3426	12	21	77	8719	27	15	78	182	2	27	79	322	36
30	80	1436	21	36	81	4141	12	30	82	11192	29	43	83	6489	30
27	84	1348	23	21	85	7785	27	44	86	3408	21	50	87	442	19
49	88	2322	6	19	89	10374	27	6	90	2004	49	2	91	670	25
44	92	2195	6	44	93	6728	7	8	94	126	36	6	95	5285	27
19	96	7823	15	7	97	10437	29	45	98	3217	21	19	99	1605	48
27	100	347	19	17	101	164	46	43	102	1130	19	11	103	8692	27
18	104	233	30	36	105	18945	27	2	106	14204	21	25	107	4024	46
24	108	3408	21	47	109	10924	7	24	110	641	43	45	111	4368	48
7	112	1888	19	30	113	1056	30	32	114	21630	24	27	115	1273	25
6	116	3551	29	9	117	5838	44	37	118	9782	7	23	119	5261	44
24	120	726	20	24	121	11472	23	7	122	10421	6	25	123	365	15
36	124	7539	27	51	125	4041	29	42	126	6708	24	44	127	1312	49
7	128	3888	6	33	129	2446	21	6	130	234	36	32	131	249	17
30	132	834	29	21	133	5751	27	36	134	13266	23	29	135	1673	27
32	136	3229	6	37	137	12636	27	5	138	422	30	12	139	127	28
21	140	4153	6	8	141	10510	47	27	142	2944	6	1	143	408	47
44	144	946	36	13	145	4791	23	14	146	4459	27	11	147	16320	27
43	148	2100	6	3	149	322	27	37	150	1782	43	23	151	20871	27
22	152	6649	27	33	153	18392	27	20	154	5647	6	30	155	10698	19
27	156	948	24	6	157	205	17	19	158	909	2	6	159	5049	7
37	160	6008	24	20	161	2812	7	29	162	3076	21	28	163	5182	6
49	164	9462	27	35	165	6339	4	21	166	2116	21	31	167	146	52
16	168	146	33	15	169	186	33	6	170	7385	6	15	171	1070	45
23	172	574	37	21	173	235	43	26	174	417	17	7	175	3124	36
15	176	257	37	24	177	6260	24	34	178	5364	36	21	179	17301	12
27	180	10690	27	23	181	17521	36	27	182	9497	47	7	183	12227	29
46	184	313	29	37	185	4311	21	44	186	9476	7	21	187	13281	27
45	188	3164	15	33	189	1583	2	49	190	5558	29	38	191	7942	27

```

10 192 102    25    15 193 130    23    45 194 21552 29    27 195 461    12
44 196 2083   24    43 197 357    30    11 198 7419   44    27 199 3749   21
16 200 634    27    17 201 907    19    2 202 8355   21    15 203 171    18
27 204 4775   45    41 205 19120 24    7 206 15163 46    29 207 4764   15
6 208 6067    7     25 ;

```

```

param distancia default 0 := [43, 24] 1092 [6, 27] 569 [43, 29] 118 [23, 27] 1061
[21, 49] 483 [29, 7] 1625 [21, 46] 2127 [7, 46] 1814 [29, 18] 909 [37, 7] 274 [15,
37] 643 [16, 43] 2225 [21, 48] 110 [16, 15] 611 [15, 46] 1933 [7, 42] 1875 [25, 24]
460 [36, 7] 762 [45, 29] 526 [15, 19] 320 [30, 24] 622 [18, 21] 1030 [16, 18] 1437
[6, 36] 267 [23, 20] 704 [31, 27] 1190 [7, 15] 371 [7, 50] 502 [15, 42] 1994 [15,
40] 601 [17, 16] 781 [24, 52] 1472 [17, 27] 444 [44, 6] 878 [32, 21] 514 [21, 12]
549 [19, 36] 218 [32, 6] 444 [23, 47] 2693 [21, 2] 587 [30, 15] 317 [15, 13] 519
[20, 27] 529 [32, 27] 821 [29, 39] 480 [24, 12] 631 [30, 19] 398 [25, 7] 178 [17,
15] 368 [37, 16] 1119 [15, 29] 1744 [45, 6] 1412 [16, 9] 2465 [24, 31] 1585 [33,
19] 326 [29, 29] 0 [27, 29] 1373 [21, 11] 443 [33, 7] 395 [21, 51] 754 [24, 25] 459
[49, 27] 468 [28, 29] 1860 [27, 12] 114 [36, 23] 1762 [49, 21] 487 [15, 2] 590 [29,
47] 3001 [44, 7] 396 [46, 21] 2128 [27, 39] 1168 [23, 25] 1187 [19, 43] 1717 [21,
20] 994 [24, 23] 735 [23, 2] 1334 [27, 15] 377 [23, 39] 684 [19, 23] 1549 [23, 50]
1694 [23, 21] 1630 [44, 16] 1240 [20, 16] 1397 [25, 44] 343 [7, 8] 129 [24, 21] 949
[15, 14] 1251 [15, 7] 373 [6, 26] 1562 [19, 16] 699 [30, 6] 507 [27, 16] 981 [6,
47] 1137 [49, 29] 1675 [4, 23] 2154 [31, 24] 1494 [7, 36] 762 [21, 23] 1630 [21,
34] 1288 [19, 8] 621 [15, 22] 797 [21, 25] 458 [46, 24] 1362 [16, 31] 253 [27, 34]
723 [15, 3] 253 [6, 23] 1624 [23, 52] 2009 [7, 12] 532 [45, 19] 1318 [47, 15] 1267
[44, 37] 122 [33, 29] 1667 [19, 32] 314 [49, 24] 982 [29, 1] 2029 [6, 52] 521 [6,
50] 176 [7, 2] 942 [36, 32] 182 [16, 11] 650 [23, 31] 2267 [48, 24] 905 [16, 10]
1050 [27, 36] 763 [7, 3] 604 [35, 7] 812 [18, 23] 602 [7, 48] 457 [24, 2] 1040 [12,
7] 532 [23, 51] 926 [6, 8] 362 [7, 39] 1603 [6, 1] 88 [47, 44] 1826 [16, 37] 1120
[48, 6] 106 [21, 40] 796 [43, 23] 361 [27, 37] 536 [27, 33] 300 [23, 49] 1365 [31,
15] 819 [48, 23] 1521 [7, 41] 1550 [24, 30] 623 [29, 6] 1932 [43, 16] 2225 [19, 18]
959 [15, 20] 903 [21, 1] 102 [24, 20] 130 [7, 29] 1625 [15, 9] 1862 [47, 16] 662
[7, 27] 440 [52, 19] 468 [44, 29] 1313 [47, 24] 1942 [15, 23] 1435 [24, 17] 958
[21, 10] 642 [36, 21] 336 [2, 15] 593 [27, 23] 1065 [24, 24] 0 [29, 46] 322 [33,
16] 726 [6, 51] 803 [7, 21] 444 [27, 9] 1492 [29, 35] 1421 [16, 34] 1696 [2, 49]
107 [2, 19] 280 [44, 15] 715 [29, 38] 193 [29, 10] 1352 [7, 7] 0 [24, 13] 1396 [23,
45] 235 [52, 24] 1402 [29, 27] 1369 [16, 35] 1124 [24, 10] 577 [16, 13] 458 [19, 2]
278 [21, 15] 203 [29, 51] 1234 [36, 16] 498 [37, 23] 976 [15, 6] 198 [15, 47] 1267
[19, 14] 1375 [16, 8] 721 [16, 24] 1286 [15, 25] 345 [23, 36] 1760 [31, 21] 617
[15, 44] 703 [12, 29] 1466 [15, 11] 483 [15, 50] 268 [21, 27] 574 [45, 15] 1222
[29, 28] 1851 [16, 38] 2153 [48, 29] 1830 [19, 28] 378 [21, 42] 2189 [21, 13] 459
[48, 21] 112 [6, 20] 1043 [16, 42] 2597 [20, 15] 902 [16, 19] 697 [29, 23] 440 [35,
16] 1125 [29, 34] 809 [36, 19] 221 [27, 49] 463 [29, 24] 1172 [7, 51] 419 [23, 38]
248 [27, 3] 337 [30, 21] 513 [24, 29] 1173 [27, 50] 637 [19, 22] 840 [24, 14] 522
[16, 27] 983 [47, 21] 1066 [4, 27] 1099 [25, 21] 461 [6, 28] 153 [16, 48] 518 [29,
17] 1724 [33, 27] 303 [16, 28] 509 [15, 27] 380 [23, 43] 362 [49, 16] 867 [12, 21]
549 [24, 37] 238 [15, 45] 1221 [15, 49] 485 [2, 27] 528 [35, 19] 433 [48, 19] 330
[16, 46] 2536 [29, 52] 2299 [30, 27] 108 [16, 7] 850 [24, 1] 1039 [19, 51] 787 [6,

```

32] 448 [21, 50] 81 [52, 6] 518 [52, 15] 727 [6, 10] 636 [19, 5] 825 [6, 19] 225
[21, 9] 2057 [27, 19] 504 [6, 35] 651 [21, 19] 317 [7, 9] 1743 [16, 1] 373 [6, 41]
1477 [19, 11] 205 [21, 17] 398 [6, 14] 1440 [6, 43] 1811 [29, 22] 999 [15, 43] 1622
[23, 3] 1384 [37, 27] 532 [27, 2] 523 [27, 27] 0 [29, 11] 1917 [2, 29] 1628 [30,
23] 1163 [2, 16] 972 [37, 29] 1414 [29, 25] 1495 [15, 41] 1496 [28, 6] 153 [7, 45]
1102 [16, 33] 725 [19, 44] 929 [25, 6] 506 [30, 29] 1471 [15, 38] 1551 [6, 40] 790
[7, 23] 1248 [23, 7] 1249 [6, 25] 534 [21, 7] 441 [19, 19] 0 [24, 32] 1338 [6, 42]
2183 [49, 7] 860 [12, 24] 630 [6, 33] 311 [44, 21] 833 [6, 12] 544 [23, 5] 736 [28,
7] 341 [29, 21] 1938 [7, 38] 1432 [15, 52] 728 [27, 46] 1563 [15, 8] 244 [47, 27]
1639 [16, 22] 1400 [28, 24] 778 [23, 14] 213 [16, 5] 1304 [27, 21] 573 [31, 7] 1057
[25, 29] 1496 [46, 6] 2122 [31, 16] 224 [29, 16] 2346 [24, 47] 2011 [15, 31] 841
[6, 7] 490 [19, 20] 1027 [37, 15] 639 [16, 25] 866 [46, 16] 2536 [29, 32] 2054 [33,
23] 1359 [24, 28] 845 [17, 19] 89 [23, 10] 1044 [21, 24] 878 [6, 29] 1932 [44, 23]
875 [30, 16] 921 [12, 19] 436 [23, 15] 1434 [33, 6] 311 [43, 26] 248 [17, 7] 710
[17, 21] 401 [15, 1] 295 [2, 24] 1043 [12, 27] 116 [29, 33] 1665 [32, 23] 1739 [12,
15] 354 [29, 37] 1413 [21, 44] 762 [49, 23] 1385 [23, 19] 1548 [27, 45] 851 [7, 49]
858 [25, 15] 347 [35, 29] 1422 [23, 8] 1299 [24, 19] 1021 [15, 15] 0 [30, 11] 555
[44, 27] 492 [52, 23] 1985 [15, 51] 663 [27, 17] 441 [4, 29] 2462 [16, 50] 411 [47,
6] 1136 [15, 10] 447 [52, 21] 538 [19, 9] 1957 [43, 19] 1717 [37, 19] 897 [27, 52]
1097 [24, 7] 512 [46, 29] 324 [7, 19] 713 [18, 7] 716 [43, 7] 1503 [12, 6] 543 [32,
24] 1336 [27, 38] 1180 [16, 29] 2346 [15, 5] 701 [21, 30] 512 [27, 26] 1003 [32,
15] 585 [45, 21] 1418 [16, 49] 864 [49, 15] 487 [29, 19] 1838 [19, 13] 269 [32, 19]
313 [7, 43] 1503 [49, 19] 175 [7, 11] 839 [24, 42] 1492 [15, 34] 1093 [16, 20] 1403
[16, 52] 387 [15, 21] 204 [29, 3] 1693 [25, 20] 530 [32, 16] 606 [21, 38] 1745 [36,
24] 1199 [19, 46] 2028 [27, 28] 510 [21, 5] 896 [6, 9] 2051 [29, 36] 2051 [24, 33]
754 [23, 12] 1157 [21, 14] 1445 [16, 26] 1976 [29, 8] 1643 [45, 24] 812 [6, 21] 102
[33, 24] 755 [49, 6] 393 [19, 39] 1598 [46, 7] 1814 [24, 22] 922 [24, 48] 917 [7,
44] 394 [23, 37] 975 [21, 39] 1744 [23, 46] 631 [25, 27] 269 [19, 7] 749 [21, 35]
743 [32, 7] 941 [19, 42] 2090 [25, 23] 1187 [19, 40] 726 [36, 30] 610 [23, 35] 1131
[30, 7] 496 [21, 36] 330 [29, 43] 118 [28, 15] 146 [27, 44] 496 [7, 28] 339 [23,
48] 1520 [16, 2] 968 [19, 47] 1354 [49, 2] 105 [7, 5] 582 [46, 27] 1559 [24, 16]
1356 [21, 3] 397 [19, 25] 637 [16, 32] 608 [15, 48] 94 [48, 27] 466 [23, 17] 1434
[30, 36] 611 [27, 14] 881 [7, 24] 511 [7, 17] 708 [48, 7] 459 [16, 6] 480 [19, 30]
396 [19, 10] 547 [30, 32] 692 [21, 43] 1817 [29, 9] 384 [29, 2] 1624 [7, 1] 533
[19, 38] 1646 [29, 15] 1742 [16, 12] 958 [21, 32] 511 [7, 10] 501 [17, 24] 958 [25,
16] 869 [20, 24] 130 [15, 36] 398 [23, 18] 629 [15, 26] 1373 [27, 51] 293 [7, 35]
812 [24, 44] 138 [21, 6] 99 [17, 29] 1725 [19, 29] 1839 [31, 29] 2554 [29, 48] 1828
[47, 19] 1353 [23, 29] 442 [20, 6] 1092 [6, 37] 760 [28, 21] 104 [23, 26] 186 [36,
13] 106 [27, 11] 684 [2, 23] 1337 [7, 18] 716 [21, 18] 1029 [19, 24] 1019 [24, 3]
854 [19, 35] 434 [27, 20] 533 [7, 33] 394 [16, 39] 2152 [23, 32] 1764 [23, 16] 2038
[16, 30] 921 [43, 21] 1817 [2, 6] 498 [19, 15] 321 [18, 15] 834 [21, 28] 101 [4,
21] 526 [27, 35] 393 [24, 36] 1267 [33, 15] 122 [16, 41] 1949 [23, 22] 708 [46, 23]
630 [19, 52] 469 [29, 13] 2099 [6, 15] 197 [32, 29] 2029 [37, 21] 712 [36, 15] 407
[4, 7] 966 [16, 40] 1204 [15, 12] 355 [6, 16] 482 [37, 24] 238 [19, 12] 435 [24,
34] 364 [23, 9] 628 [19, 50] 392 [27, 24] 524 [47, 7] 1506 [2, 7] 944 [52, 7] 965
[15, 32] 579 [15, 39] 1549 [19, 34] 1218 [16, 45] 1824 [24, 18] 436 [15, 16] 612

```

[23, 1] 1720 [18, 16] 1438 [29, 14] 651 [52, 27] 1098 [15, 18] 835 [29, 20] 1142
[19, 26] 1469 [45, 41] 635 [7, 13] 891 [16, 16] 0 [45, 7] 1104 [19, 1] 304 [23, 42]
760 [16, 36] 495 [19, 33] 328 [23, 40] 835 [23, 34] 371 [29, 40] 1143 [24, 50] 1007
[23, 11] 1626 [21, 33] 317 [6, 11] 351 [27, 7] 445 [43, 6] 1811 [24, 15] 831 [16,
44] 1170 [23, 24] 734 [48, 15] 94 [45, 27] 849 [18, 29] 910 [23, 13] 1809 [46, 19]
2028 [19, 37] 896 [15, 28] 146 [43, 27] 1247 [20, 21] 990 [52, 29] 2275 [24, 8] 562
[35, 6] 651 [21, 8] 313 [6, 13] 387 [19, 41] 1260 [27, 47] 1636 [29, 26] 369 [20,
7] 645 [21, 29] 1938 [31, 19] 905 [16, 51] 1163 [27, 8] 443 [36, 29] 2053 [24, 51]
232 [25, 19] 639 [24, 46] 1362 [27, 48] 463 [7, 47] 1506 [35, 27] 396 [18, 24] 435
[7, 20] 644 [7, 16] 851 [23, 28] 1543 [2, 21] 592 [24, 38] 979 [47, 23] 2694 [31,
23] 2245 [6, 2] 496 [23, 30] 1163 [27, 40] 231 [7, 34] 878 [35, 49] 250 [4, 19] 813
[7, 6] 489 [37, 44] 122 [19, 48] 329 [24, 35] 910 [6, 17] 306 [16, 21] 410 [20, 19]
1029 [19, 3] 168 [23, 44] 875 [27, 30] 106 [36, 3] 382 [19, 6] 225 [6, 24] 927 [24,
45] 812 [21, 37] 712 [27, 25] 274 [29, 41] 852 [12, 16] 958 [7, 32] 943 [15, 30]
318 [27, 42] 1624 [12, 30] 44 [24, 40] 396 [7, 52] 967 [16, 14] 1854 [12, 23] 1157
[19, 49] 174 [6, 39] 1738 [47, 29] 3002 [27, 6] 567 [6, 44] 811 [36, 6] 265 [29, 5]
1045 [29, 45] 525 [29, 12] 1465 [6, 48] 104 [18, 19] 961 [7, 14] 1035 [21, 52] 535
[46, 43] 307 [19, 17] 89 [24, 11] 1201 [27, 18] 464 [44, 19] 930 [35, 24] 910 [21,
47] 1060 [24, 49] 979 [43, 45] 404 [21, 45] 1415 [23, 23] 0 [24, 27] 521 [4, 16]
132 [21, 26] 1568 [7, 26] 1254 [4, 24] 1402 [4, 15] 727 [19, 21] 318 [15, 35] 560
[7, 22] 851 [19, 45] 1316 [27, 31] 1210 [44, 24] 137 [33, 21] 317 [29, 31] 2575
[29, 42] 516 [6, 31] 711 [17, 30] 336 [27, 41] 1115 [6, 46] 2121 [19, 31] 928 [16,
47] 663 [6, 22] 985 [27, 32] 821 [16, 3] 778 [29, 49] 1655 [27, 5] 331 [30, 12] 44
[24, 41] 1444 [23, 41] 864 [17, 23] 1434 [28, 23] 1552 [7, 40] 554 [20, 29] 1142
[21, 41] 1569 [28, 16] 512 [35, 15] 559 [16, 23] 2038 [29, 44] 1312 [27, 43] 1252
[6, 3] 291 [35, 21] 745 [43, 15] 1621 [27, 22] 416 [45, 16] 1826 [48, 16] 520 [6,
30] 507 [19, 27] 504 [23, 33] 1356 [24, 6] 994 [7, 31] 1080 [7, 37] 275 [28, 27]
512 [24, 26] 918 [17, 6] 307 [6, 49] 391 [29, 50] 2002 [18, 6] 1024 [21, 31] 633
[52, 16] 388 [28, 19] 377 [21, 21] 0 [45, 23] 236 [6, 38] 1739 [27, 13] 772 [6, 34]
1282 [46, 15] 1932 [6, 5] 890 [27, 1] 664 [24, 5] 346 [36, 27] 765 [24, 9] 1360 [7,
30] 495 [4, 6] 596 [15, 24] 820 [15, 33] 122 [27, 10] 66 [6, 45] 1410 [12, 44] 602
[24, 43] 1093 [15, 17] 366 [31, 6] 687 [6, 6] 0 [37, 6] 756 [6, 18] 1023 [21, 16]
405 [18, 27] 461 [16, 17] 779 [20, 23] 704 [7, 25] 178 [29, 30] 1471 [24, 39] 1323
[35, 23] 1131 [23, 6] 1624 [21, 22] 991 ;
end;

```

```
setembro.dat
```

```
data;
```

```
param n := 52;
```

```
set T := truck carreta;
```

```
param U := truck 12000, carreta 24000;
```

```
param c := truck 1.0, carreta 1.4;
```

```
set V := 1 2 3 4 5 6 7 8 9 10 11 12 13 14 15 16 18 17 19 20 21 23 24 25 26 27 28 29
30 31 32 33 34 35 36 37 38 39 40 41 42 43 44 45 46 47 49 48 50 51 52;
```

set A := 43 24, 51 15, 6 27, 43 29, 23 27, 21 49, 29 7, 21 46, 7 46, 29 18, 37 7,
16 43, 15 37, 21 48, 16 15, 15 46, 7 42, 25 24, 36 7, 45 29, 15 19, 30 24, 18 21,
16 18, 6 36, 23 20, 31 27, 7 15, 7 50, 15 42, 15 40, 17 16, 17 27, 44 6, 32 21, 21
12, 19 36, 32 6, 23 47, 21 2, 30 15, 15 13, 20 27, 32 27, 29 39, 24 12, 30 19, 25
7, 17 15, 37 16, 15 29, 45 6, 16 9, 24 31, 33 19, 29 29, 27 29, 21 11, 33 7, 21 51,
24 25, 49 27, 28 29, 27 12, 36 23, 49 21, 15 2, 29 47, 44 7, 46 21, 23 4, 27 39, 19
43, 23 25, 21 20, 24 23, 23 2, 27 15, 23 39, 19 23, 23 50, 23 21, 44 16, 43 39, 20
16, 25 44, 7 8, 24 21, 15 14, 15 7, 6 26, 19 16, 30 6, 27 16, 6 47, 49 29, 4 23, 31
24, 7 36, 21 23, 21 34, 19 8, 21 25, 46 24, 16 31, 27 34, 15 3, 6 23, 7 12, 45 19,
47 15, 44 37, 33 29, 19 32, 49 24, 29 1, 6 50, 43 46, 7 2, 36 32, 16 11, 23 31, 48
24, 16 10, 27 36, 7 3, 35 7, 18 23, 7 48, 24 2, 12 7, 23 51, 6 8, 7 39, 6 1, 16 37,
48 6, 21 40, 43 23, 27 37, 27 33, 23 49, 31 15, 48 23, 7 41, 24 30, 29 6, 43 16, 19
18, 15 20, 21 1, 24 20, 7 29, 15 9, 47 16, 7 27, 52 19, 44 29, 47 24, 15 23, 24 17,
21 10, 36 21, 2 15, 27 23, 24 24, 29 46, 33 16, 6 51, 7 21, 27 9, 29 35, 16 34, 2
49, 2 19, 44 15, 29 38, 29 10, 7 7, 24 13, 24 4, 23 45, 52 24, 29 27, 16 35, 24 10,
16 13, 19 2, 21 15, 29 51, 36 16, 37 23, 15 6, 15 47, 19 14, 16 8, 16 24, 15 25, 23
36, 31 21, 15 44, 12 29, 15 11, 15 50, 21 27, 45 15, 29 28, 16 38, 51 19, 48 29, 19
28, 21 42, 21 13, 48 21, 6 20, 16 42, 20 15, 16 19, 29 23, 35 16, 29 34, 36 19, 27
49, 29 24, 7 51, 23 38, 27 3, 30 21, 24 29, 27 50, 24 14, 16 27, 47 21, 4 27, 25
21, 6 28, 16 48, 29 17, 33 27, 16 28, 23 43, 15 27, 49 16, 12 21, 24 37, 15 45, 15
49, 2 27, 35 19, 48 19, 16 46, 30 27, 16 7, 43 38, 24 1, 19 51, 6 32, 21 50, 51 7,
52 6, 52 15, 6 10, 19 5, 6 19, 21 9, 27 19, 6 35, 21 19, 15 4, 7 9, 16 1, 6 41, 19
11, 21 17, 6 14, 6 43, 15 43, 23 3, 37 27, 27 2, 27 27, 29 11, 2 29, 30 23, 2 16,
37 29, 29 25, 28 6, 15 41, 7 45, 16 33, 19 44, 25 6, 30 29, 15 38, 6 40, 7 23, 23
7, 21 7, 6 25, 19 19, 24 32, 6 42, 49 7, 12 24, 6 33, 44 21, 6 12, 23 5, 28 7, 29
21, 7 38, 27 46, 15 8, 47 27, 28 24, 23 14, 16 5, 27 21, 31 7, 25 29, 46 6, 31 16,
29 16, 24 47, 15 31, 6 7, 19 20, 37 15, 16 25, 33 2, 45 43, 46 16, 29 32, 33 23, 24
28, 17 19, 23 10, 21 24, 6 29, 44 23, 30 16, 12 19, 23 15, 33 6, 43 26, 17 7, 17
21, 51 6, 15 1, 2 24, 12 27, 29 33, 32 23, 12 15, 29 37, 21 44, 49 23, 23 19, 27
45, 7 49, 25 15, 35 29, 23 8, 24 19, 15 15, 30 11, 44 27, 52 23, 15 51, 27 17, 4
29, 16 50, 47 6, 15 10, 52 21, 7 4, 19 9, 43 19, 37 19, 43 41, 24 7, 46 29, 7 19,
18 7, 43 7, 12 6, 32 24, 27 38, 16 29, 15 5, 21 30, 27 26, 32 15, 45 21, 16 49, 49
15, 29 19, 19 13, 32 19, 7 43, 49 19, 7 11, 24 42, 15 34, 16 20, 15 21, 29 3, 25
20, 32 16, 21 4, 21 38, 36 24, 19 46, 27 28, 21 5, 6 9, 29 36, 24 33, 23 12, 27 4,
21 14, 16 26, 29 8, 45 24, 6 21, 33 24, 49 6, 46 7, 19 39, 24 48, 7 44, 23 37, 25
27, 23 46, 21 39, 19 7, 21 35, 32 7, 19 42, 25 23, 19 40, 36 30, 23 35, 30 7, 21
36, 29 43, 28 15, 51 29, 27 44, 7 28, 23 48, 16 2, 19 47, 49 2, 7 5, 46 27, 24 16,
21 3, 19 25, 16 32, 15 48, 48 27, 23 17, 30 36, 51 24, 27 14, 7 24, 7 17, 48 7, 16
6, 19 30, 19 10, 30 32, 21 43, 29 9, 29 2, 7 1, 19 38, 29 15, 16 12, 17 24, 21 32,
7 10, 25 16, 20 24, 15 36, 23 18, 15 26, 27 51, 7 35, 24 44, 21 6, 17 29, 19 29, 51
27, 31 29, 29 48, 47 19, 23 29, 20 6, 6 37, 28 21, 23 26, 36 13, 27 11, 2 23, 7 18,
21 18, 19 24, 24 3, 19 35, 27 20, 7 33, 23 32, 16 39, 23 16, 16 30, 43 21, 2 6, 19
15, 18 15, 21 28, 4 21, 27 35, 24 36, 33 15, 16 41, 46 23, 29 13, 6 15, 32 29, 37
21, 36 15, 4 7, 16 40, 15 12, 6 16, 37 24, 19 12, 24 34, 23 9, 19 50, 27 24, 47 7,
2 7, 52 7, 15 32, 15 39, 19 34, 16 45, 24 18, 15 16, 23 1, 18 16, 6 4, 29 14, 52
27, 15 18, 19 4, 35 2, 29 20, 19 26, 45 41, 7 13, 16 16, 45 7, 19 1, 23 42, 16 36,

19 33, 23 40, 23 34, 29 40, 24 50, 23 11, 21 33, 6 11, 27 7, 43 6, 24 15, 16 44, 23
 24, 48 15, 45 27, 18 29, 23 13, 46 19, 51 21, 19 37, 15 28, 43 27, 20 21, 52 29, 24
 8, 35 6, 21 8, 6 13, 27 47, 29 26, 19 41, 20 7, 21 29, 31 19, 16 51, 27 8, 36 29,
 24 51, 25 19, 24 46, 27 48, 7 47, 35 27, 18 24, 7 20, 7 16, 23 28, 2 21, 47 23, 24
 38, 31 23, 6 2, 23 30, 27 40, 7 34, 4 19, 7 6, 37 44, 19 48, 24 35, 6 17, 16 21, 20
 19, 19 3, 23 44, 27 30, 36 3, 19 6, 6 24, 24 45, 21 37, 27 25, 29 41, 12 16, 7 32,
 15 30, 29 4, 27 42, 12 30, 24 40, 16 14, 51 23, 12 23, 19 49, 47 29, 27 6, 6 39, 6
 44, 36 6, 29 5, 29 45, 29 12, 6 48, 18 19, 7 14, 19 17, 24 11, 27 18, 44 19, 35 24,
 21 47, 24 49, 43 45, 21 45, 23 23, 24 27, 4 16, 21 26, 7 26, 4 24, 4 15, 19 21, 15
 35, 19 45, 27 31, 44 24, 33 21, 29 31, 29 42, 6 31, 17 30, 6 46, 27 41, 19 31, 16
 47, 51 16, 27 32, 16 3, 29 49, 27 5, 30 12, 17 23, 23 41, 24 41, 28 23, 7 40, 20
 29, 28 16, 35 15, 21 41, 16 23, 29 44, 27 43, 6 3, 35 21, 43 15, 45 16, 48 16, 6
 30, 19 27, 23 33, 24 6, 7 31, 7 37, 28 27, 24 26, 17 6, 6 49, 29 50, 18 6, 21 31,
 52 16, 28 19, 21 21, 45 23, 6 38, 27 13, 6 34, 46 15, 6 5, 27 1, 24 5, 36 27, 24 9,
 7 30, 4 6, 15 24, 15 33, 27 10, 6 45, 24 43, 15 17, 16 4, 31 6, 32 30, 6 6, 37 6, 6
 18, 21 16, 18 27, 16 17, 20 23, 7 25, 29 30, 35 23, 24 39, 23 6;

param:	K:	R	O	D:=	1	1306	12	6	2	17080	23	27	3	3089	21	
	49	4	6625	29	7	5	4003	23	34	6	6828	21	33	7	1462	37
	7	8	9393	21	30	9	3172	27	26	10	19547	31	21	11	6255	25
	24	12	11648	23	24	13	8315	36	7	14	1141	45	27	15	828	6
	36	16	200	49	19	17	4682	43	27	18	4646	7	15	19	7525	15
	21	20	1365	31	27	21	579	25	20	22	8508	17	27	23	1617	24
	8	24	2603	6	20	25	5998	21	8	26	2070	29	26	27	412	21
	4	28	135	19	36	29	21057	21	2	30	1236	21	29	31	7359	32
	27	32	3202	29	39	33	615	30	19	34	2792	25	7	35	3668	27
	49	36	905	24	46	37	363	27	48	38	882	29	24	39	487	2
	21	40	13390	6	21	41	18684	6	2	42	1766	24	25	43	3638	46
	7	44	16372	27	40	45	6358	27	3	46	11839	49	27	47	415	30
	21	48	9450	7	6	49	403	37	44	50	14320	24	29	51	496	7
	44	52	5167	24	14	53	908	49	21	54	7223	16	21	55	10531	16
	27	56	2957	47	21	57	2392	25	21	58	12431	27	30	59	298	36
	3	60	4513	19	6	61	7623	33	27	62	1361	23	37	63	6728	23
	43	64	4946	21	37	65	6114	24	23	66	7039	25	27	67	15811	27
	25	68	1928	24	37	69	7212	12	21	70	10750	27	15	71	835	32
	7	72	892	2	27	73	185	36	30	74	589	21	36	75	10087	12
	30	76	6468	30	27	77	751	23	21	78	363	43	38	79	11046	27
	44	80	2699	21	50	81	561	43	39	82	375	19	49	83	2945	6
	19	84	10361	27	6	85	1051	49	2	86	783	25	44	87	2511	6
	44	88	7231	7	8	89	502	21	3	90	9997	46	27	91	5187	27
	19	92	7689	15	7	93	8824	29	45	94	2710	21	19	95	503	48
	27	96	376	19	17	97	868	19	11	98	11566	27	18	99	367	30
	36	100	18074	27	2	101	14867	21	25	102	902	46	24	103	5717	21
	47	104	11169	7	24	105	3792	43	45	106	6079	48	7	107	794	30
	32	108	1654	19	30	109	395	21	43	110	23687	24	27	111	1293	25
	6	112	3165	29	9	113	202	47	15	114	5898	44	37	115	14058	7
	23	116	5971	44	24	117	498	20	24	118	12973	23	7	119	13159	6

```

25 120 496 15 36 121 8733 27 51 122 4788 29 42 123 6203 24
44 124 217 44 21 125 3808 6 33 126 255 43 46 127 3029 21
6 128 1441 7 2 129 253 36 32 130 260 17 30 131 1458 29
21 132 5086 27 36 133 172 51 27 134 13819 23 29 135 1411 27
32 136 4401 6 37 137 12517 27 5 138 745 30 12 139 142 28
21 140 5409 6 8 141 13539 47 27 142 3378 6 1 143 903 36
13 144 3564 23 14 145 4466 27 11 146 21407 27 43 147 2389 6
3 148 372 27 37 149 3039 43 23 150 7640 27 33 151 20235 27
20 152 6428 6 30 153 182 33 2 154 13326 19 27 155 369 45
43 156 4234 24 6 157 420 17 19 158 332 2 6 159 5844 7
37 160 5863 24 20 161 1800 7 29 162 4868 21 28 163 6717 6
49 164 11596 27 35 165 5970 4 21 166 4461 21 31 167 1303 52
16 168 209 33 15 169 487 47 24 170 252 33 6 171 8322 6
15 172 536 45 23 173 549 37 21 174 789 43 26 175 2521 36
15 176 579 37 24 177 6704 24 34 178 4434 36 21 179 9263 27
23 180 14995 36 27 181 8754 47 7 182 18228 29 46 183 7556 21
44 184 9967 7 21 185 11683 27 45 186 3438 15 33 187 1434 2
49 188 475 2 19 189 7166 29 38 190 8996 27 10 191 682 24
43 192 405 30 11 193 237 29 14 194 7556 44 27 195 171 32
30 196 7176 21 16 197 1242 27 17 198 768 19 2 199 7418 21
15 200 395 35 2 201 111 18 27 202 3281 45 41 203 21597 24
7 204 21943 46 29 205 586 43 41 206 5938 15 6 207 5607 7
25 ;

```

```

param distancia default 0 := [43, 24] 1092 [51, 15] 663 [6, 27] 569 [43, 29] 118
[23, 27] 1061 [21, 49] 483 [29, 7] 1625 [21, 46] 2127 [7, 46] 1814 [29, 18] 909
[37, 7] 274 [16, 43] 2225 [15, 37] 643 [21, 48] 110 [16, 15] 611 [15, 46] 1933 [7,
42] 1875 [25, 24] 460 [36, 7] 762 [45, 29] 526 [15, 19] 320 [30, 24] 622 [18, 21]
1030 [16, 18] 1437 [6, 36] 267 [23, 20] 704 [31, 27] 1190 [7, 15] 371 [7, 50] 502
[15, 42] 1994 [15, 40] 601 [17, 16] 781 [17, 27] 444 [44, 6] 878 [32, 21] 514 [21,
12] 549 [19, 36] 218 [32, 6] 444 [23, 47] 2693 [21, 2] 587 [30, 15] 317 [15, 13]
519 [20, 27] 529 [32, 27] 821 [29, 39] 480 [24, 12] 631 [30, 19] 398 [25, 7] 178
[17, 15] 368 [37, 16] 1119 [15, 29] 1744 [45, 6] 1412 [16, 9] 2465 [24, 31] 1585
[33, 19] 326 [29, 29] 0 [27, 29] 1373 [21, 11] 443 [33, 7] 395 [21, 51] 754 [24,
25] 459 [49, 27] 468 [28, 29] 1860 [27, 12] 114 [36, 23] 1762 [49, 21] 487 [15, 2]
590 [29, 47] 3001 [44, 7] 396 [46, 21] 2128 [23, 4] 2156 [27, 39] 1168 [19, 43]
1717 [23, 25] 1187 [21, 20] 994 [24, 23] 735 [23, 2] 1334 [27, 15] 377 [23, 39] 684
[19, 23] 1549 [23, 50] 1694 [23, 21] 1630 [44, 16] 1240 [43, 39] 359 [20, 16] 1397
[25, 44] 343 [7, 8] 129 [24, 21] 949 [15, 14] 1251 [15, 7] 373 [6, 26] 1562 [19,
16] 699 [30, 6] 507 [27, 16] 981 [6, 47] 1137 [49, 29] 1675 [4, 23] 2154 [31, 24]
1494 [7, 36] 762 [21, 23] 1630 [21, 34] 1288 [19, 8] 621 [21, 25] 458 [46, 24] 1362
[16, 31] 253 [27, 34] 723 [15, 3] 253 [6, 23] 1624 [7, 12] 532 [45, 19] 1318 [47,
15] 1267 [44, 37] 122 [33, 29] 1667 [19, 32] 314 [49, 24] 982 [29, 1] 2029 [6, 50]
176 [43, 46] 307 [7, 2] 942 [36, 32] 182 [16, 11] 650 [23, 31] 2267 [48, 24] 905
[16, 10] 1050 [27, 36] 763 [7, 3] 604 [35, 7] 812 [18, 23] 602 [7, 48] 457 [24, 2]
1040 [12, 7] 532 [23, 51] 926 [6, 8] 362 [7, 39] 1603 [6, 1] 88 [16, 37] 1120 [48,
6] 106 [21, 40] 796 [43, 23] 361 [27, 37] 536 [27, 33] 300 [23, 49] 1365 [31, 15]

```

819 [48, 23] 1521 [7, 41] 1550 [24, 30] 623 [29, 6] 1932 [43, 16] 2225 [19, 18] 959
[15, 20] 903 [21, 1] 102 [24, 20] 130 [7, 29] 1625 [15, 9] 1862 [47, 16] 662 [7,
27] 440 [52, 19] 468 [44, 29] 1313 [47, 24] 1942 [15, 23] 1435 [24, 17] 958 [21,
10] 642 [36, 21] 336 [2, 15] 593 [27, 23] 1065 [24, 24] 0 [29, 46] 322 [33, 16] 726
[6, 51] 803 [7, 21] 444 [27, 9] 1492 [29, 35] 1421 [16, 34] 1696 [2, 49] 107 [2,
19] 280 [44, 15] 715 [29, 38] 193 [29, 10] 1352 [7, 7] 0 [24, 13] 1396 [24, 4] 1474
[23, 45] 235 [52, 24] 1402 [29, 27] 1369 [16, 35] 1124 [24, 10] 577 [16, 13] 458
[19, 2] 278 [21, 15] 203 [29, 51] 1234 [36, 16] 498 [37, 23] 976 [15, 6] 198 [15,
47] 1267 [19, 14] 1375 [16, 8] 721 [16, 24] 1286 [15, 25] 345 [23, 36] 1760 [31,
21] 617 [15, 44] 703 [12, 29] 1466 [15, 11] 483 [15, 50] 268 [21, 27] 574 [45, 15]
1222 [29, 28] 1851 [16, 38] 2153 [51, 19] 789 [48, 29] 1830 [19, 28] 378 [21, 42]
2189 [21, 13] 459 [48, 21] 112 [6, 20] 1043 [16, 42] 2597 [20, 15] 902 [16, 19] 697
[29, 23] 440 [35, 16] 1125 [29, 34] 809 [36, 19] 221 [27, 49] 463 [29, 24] 1172 [7,
51] 419 [23, 38] 248 [27, 3] 337 [30, 21] 513 [24, 29] 1173 [27, 50] 637 [24, 14]
522 [16, 27] 983 [47, 21] 1066 [4, 27] 1099 [25, 21] 461 [6, 28] 153 [16, 48] 518
[29, 17] 1724 [33, 27] 303 [16, 28] 509 [23, 43] 362 [15, 27] 380 [49, 16] 867 [12,
21] 549 [24, 37] 238 [15, 45] 1221 [15, 49] 485 [2, 27] 528 [35, 19] 433 [48, 19]
330 [16, 46] 2536 [30, 27] 108 [16, 7] 850 [43, 38] 113 [24, 1] 1039 [19, 51] 787
[6, 32] 448 [21, 50] 81 [51, 7] 419 [52, 6] 518 [52, 15] 727 [6, 10] 636 [19, 5]
825 [6, 19] 225 [21, 9] 2057 [27, 19] 504 [6, 35] 651 [21, 19] 317 [15, 4] 730 [7,
9] 1743 [16, 1] 373 [6, 41] 1477 [19, 11] 205 [21, 17] 398 [6, 14] 1440 [6, 43]
1811 [15, 43] 1622 [23, 3] 1384 [37, 27] 532 [27, 2] 523 [27, 27] 0 [29, 11] 1917
[2, 29] 1628 [30, 23] 1163 [2, 16] 972 [37, 29] 1414 [29, 25] 1495 [28, 6] 153 [15,
41] 1496 [7, 45] 1102 [16, 33] 725 [19, 44] 929 [25, 6] 506 [30, 29] 1471 [15, 38]
1551 [6, 40] 790 [7, 23] 1248 [23, 7] 1249 [21, 7] 441 [6, 25] 534 [19, 19] 0 [24,
32] 1338 [6, 42] 2183 [49, 7] 860 [12, 24] 630 [6, 33] 311 [44, 21] 833 [6, 12] 544
[23, 5] 736 [28, 7] 341 [29, 21] 1938 [7, 38] 1432 [27, 46] 1563 [15, 8] 244 [47,
27] 1639 [28, 24] 778 [23, 14] 213 [16, 5] 1304 [27, 21] 573 [31, 7] 1057 [25, 29]
1496 [46, 6] 2122 [31, 16] 224 [29, 16] 2346 [24, 47] 2011 [15, 31] 841 [6, 7] 490
[19, 20] 1027 [37, 15] 639 [16, 25] 866 [33, 2] 574 [45, 43] 404 [46, 16] 2536 [29,
32] 2054 [33, 23] 1359 [24, 28] 845 [17, 19] 89 [23, 10] 1044 [21, 24] 878 [6, 29]
1932 [44, 23] 875 [30, 16] 921 [12, 19] 436 [23, 15] 1434 [33, 6] 311 [43, 26] 248
[17, 7] 710 [17, 21] 401 [51, 6] 852 [15, 1] 295 [2, 24] 1043 [12, 27] 116 [29, 33]
1665 [32, 23] 1739 [12, 15] 354 [29, 37] 1413 [21, 44] 762 [49, 23] 1385 [23, 19]
1548 [27, 45] 851 [7, 49] 858 [25, 15] 347 [35, 29] 1422 [23, 8] 1299 [24, 19] 1021
[15, 15] 0 [30, 11] 555 [44, 27] 492 [52, 23] 1985 [15, 51] 663 [27, 17] 441 [4,
29] 2462 [16, 50] 411 [47, 6] 1136 [15, 10] 447 [52, 21] 538 [7, 4] 969 [19, 9]
1957 [43, 19] 1717 [37, 19] 897 [43, 41] 731 [24, 7] 512 [46, 29] 324 [7, 19] 713
[18, 7] 716 [43, 7] 1503 [12, 6] 543 [32, 24] 1336 [27, 38] 1180 [16, 29] 2346 [15,
5] 701 [21, 30] 512 [27, 26] 1003 [32, 15] 585 [45, 21] 1418 [16, 49] 864 [49, 15]
487 [29, 19] 1838 [19, 13] 269 [32, 19] 313 [7, 43] 1503 [49, 19] 175 [7, 11] 839
[24, 42] 1492 [15, 34] 1093 [16, 20] 1403 [15, 21] 204 [29, 3] 1693 [25, 20] 530
[32, 16] 606 [21, 4] 523 [21, 38] 1745 [36, 24] 1199 [19, 46] 2028 [27, 28] 510
[21, 5] 896 [6, 9] 2051 [29, 36] 2051 [24, 33] 754 [23, 12] 1157 [27, 4] 1099 [21,
14] 1445 [16, 26] 1976 [29, 8] 1643 [45, 24] 812 [6, 21] 102 [33, 24] 755 [49, 6]
393 [46, 7] 1814 [19, 39] 1598 [24, 48] 917 [7, 44] 394 [23, 37] 975 [25, 27] 269

[23, 46] 631 [21, 39] 1744 [19, 7] 749 [21, 35] 743 [32, 7] 941 [19, 42] 2090 [25, 23] 1187 [19, 40] 726 [36, 30] 610 [23, 35] 1131 [30, 7] 496 [21, 36] 330 [29, 43] 118 [28, 15] 146 [51, 29] 1235 [27, 44] 496 [7, 28] 339 [23, 48] 1520 [16, 2] 968 [19, 47] 1354 [49, 2] 105 [7, 5] 582 [46, 27] 1559 [24, 16] 1356 [21, 3] 397 [19, 25] 637 [16, 32] 608 [15, 48] 94 [48, 27] 466 [23, 17] 1434 [30, 36] 611 [51, 24] 231 [27, 14] 881 [7, 24] 511 [7, 17] 708 [48, 7] 459 [16, 6] 480 [19, 30] 396 [19, 10] 547 [30, 32] 692 [21, 43] 1817 [29, 9] 384 [29, 2] 1624 [7, 1] 533 [19, 38] 1646 [29, 15] 1742 [16, 12] 958 [17, 24] 958 [21, 32] 511 [7, 10] 501 [25, 16] 869 [20, 24] 130 [15, 36] 398 [23, 18] 629 [15, 26] 1373 [27, 51] 293 [7, 35] 812 [24, 44] 138 [21, 6] 99 [17, 29] 1725 [19, 29] 1839 [51, 27] 289 [31, 29] 2554 [29, 48] 1828 [47, 19] 1353 [23, 29] 442 [20, 6] 1092 [6, 37] 760 [28, 21] 104 [23, 26] 186 [36, 13] 106 [27, 11] 684 [2, 23] 1337 [7, 18] 716 [21, 18] 1029 [19, 24] 1019 [24, 3] 854 [19, 35] 434 [27, 20] 533 [7, 33] 394 [23, 32] 1764 [16, 39] 2152 [23, 16] 2038 [16, 30] 921 [43, 21] 1817 [2, 6] 498 [19, 15] 321 [18, 15] 834 [21, 28] 101 [4, 21] 526 [27, 35] 393 [24, 36] 1267 [33, 15] 122 [16, 41] 1949 [46, 23] 630 [29, 13] 2099 [6, 15] 197 [32, 29] 2029 [37, 21] 712 [36, 15] 407 [4, 7] 966 [16, 40] 1204 [15, 12] 355 [6, 16] 482 [37, 24] 238 [19, 12] 435 [24, 34] 364 [23, 9] 628 [19, 50] 392 [27, 24] 524 [47, 7] 1506 [2, 7] 944 [52, 7] 965 [15, 32] 579 [15, 39] 1549 [19, 34] 1218 [16, 45] 1824 [24, 18] 436 [15, 16] 612 [23, 1] 1720 [18, 16] 1438 [6, 4] 600 [29, 14] 651 [52, 27] 1098 [15, 18] 835 [19, 4] 817 [35, 2] 219 [29, 20] 1142 [19, 26] 1469 [45, 41] 635 [7, 13] 891 [16, 16] 0 [45, 7] 1104 [19, 1] 304 [23, 42] 760 [16, 36] 495 [19, 33] 328 [23, 40] 835 [23, 34] 371 [29, 40] 1143 [24, 50] 1007 [23, 11] 1626 [21, 33] 317 [6, 11] 351 [27, 7] 445 [43, 6] 1811 [24, 15] 831 [16, 44] 1170 [23, 24] 734 [48, 15] 94 [45, 27] 849 [18, 29] 910 [23, 13] 1809 [46, 19] 2028 [51, 21] 750 [19, 37] 896 [15, 28] 146 [43, 27] 1247 [20, 21] 990 [52, 29] 2275 [24, 8] 562 [35, 6] 651 [21, 8] 313 [6, 13] 387 [27, 47] 1636 [29, 26] 369 [19, 41] 1260 [20, 7] 645 [21, 29] 1938 [31, 19] 905 [16, 51] 1163 [27, 8] 443 [36, 29] 2053 [24, 51] 232 [25, 19] 639 [24, 46] 1362 [27, 48] 463 [7, 47] 1506 [35, 27] 396 [18, 24] 435 [7, 20] 644 [7, 16] 851 [23, 28] 1543 [2, 21] 592 [47, 23] 2694 [24, 38] 979 [31, 23] 2245 [6, 2] 496 [23, 30] 1163 [27, 40] 231 [7, 34] 878 [4, 19] 813 [7, 6] 489 [37, 44] 122 [19, 48] 329 [24, 35] 910 [6, 17] 306 [16, 21] 410 [20, 19] 1029 [19, 3] 168 [23, 44] 875 [27, 30] 106 [36, 3] 382 [19, 6] 225 [6, 24] 927 [24, 45] 812 [21, 37] 712 [27, 25] 274 [29, 41] 852 [12, 16] 958 [7, 32] 943 [15, 30] 318 [29, 4] 2464 [27, 42] 1624 [12, 30] 44 [24, 40] 396 [16, 14] 1854 [51, 23] 926 [12, 23] 1157 [19, 49] 174 [47, 29] 3002 [27, 6] 567 [6, 39] 1738 [6, 44] 811 [36, 6] 265 [29, 5] 1045 [29, 45] 525 [29, 12] 1465 [6, 48] 104 [18, 19] 961 [7, 14] 1035 [19, 17] 89 [24, 11] 1201 [27, 18] 464 [44, 19] 930 [35, 24] 910 [21, 47] 1060 [24, 49] 979 [43, 45] 404 [21, 45] 1415 [23, 23] 0 [24, 27] 521 [4, 16] 132 [21, 26] 1568 [7, 26] 1254 [4, 24] 1402 [4, 15] 727 [19, 21] 318 [15, 35] 560 [19, 45] 1316 [27, 31] 1210 [44, 24] 137 [33, 21] 317 [29, 31] 2575 [29, 42] 516 [6, 31] 711 [17, 30] 336 [6, 46] 2121 [27, 41] 1115 [19, 31] 928 [16, 47] 663 [51, 16] 1158 [27, 32] 821 [16, 3] 778 [29, 49] 1655 [27, 5] 331 [30, 12] 44 [17, 23] 1434 [23, 41] 864 [24, 41] 1444 [28, 23] 1552 [7, 40] 554 [20, 29] 1142 [28, 16] 512 [35, 15] 559 [21, 41] 1569 [16, 23] 2038 [29, 44] 1312 [27, 43] 1252 [6, 3] 291 [35, 21] 745 [43, 15] 1621 [45, 16] 1826 [48, 16] 520 [6, 30] 507 [19, 27] 504 [23, 33] 1356 [24, 6] 994 [7, 31] 1080 [7, 37] 275 [28, 27] 512 [24,

```

26] 918 [17, 6] 307 [6, 49] 391 [29, 50] 2002 [18, 6] 1024 [21, 31] 633 [52, 16]
388 [28, 19] 377 [21, 21] 0 [45, 23] 236 [6, 38] 1739 [27, 13] 772 [6, 34] 1282
[46, 15] 1932 [6, 5] 890 [27, 1] 664 [24, 5] 346 [36, 27] 765 [24, 9] 1360 [7, 30]
495 [4, 6] 596 [15, 24] 820 [15, 33] 122 [27, 10] 66 [6, 45] 1410 [24, 43] 1093
[15, 17] 366 [16, 4] 142 [31, 6] 687 [32, 30] 690 [6, 6] 0 [37, 6] 756 [6, 18] 1023
[21, 16] 405 [18, 27] 461 [16, 17] 779 [20, 23] 704 [7, 25] 178 [29, 30] 1471 [35,
23] 1131 [24, 39] 1323 [23, 6] 1624 ;
end;

```

```

outubro.dat

```

```

data;

```

```

param n := 52;

```

```

set T := truck carreta;

```

```

param U := truck 12000, carreta 24000;

```

```

param c := truck 1.0, carreta 1.4;

```

```

set V := 1 2 3 5 4 6 7 8 9 10 11 12 13 14 15 16 18 17 19 20 21 22 23 24 25 26 27 28
29 30 31 32 33 34 35 36 37 38 39 40 41 42 43 44 45 46 47 49 48 50 51 52;

```

```

set A := 43 24, 51 15, 6 27, 43 29, 23 27, 21 49, 29 7, 21 46, 7 46, 29 18, 37 7,
16 43, 15 37, 21 48, 16 15, 15 46, 7 42, 25 24, 36 7, 45 29, 15 19, 30 24, 18 21,
16 18, 6 36, 23 20, 31 27, 7 15, 7 50, 15 42, 17 16, 17 27, 44 6, 32 21, 21 12, 19
36, 32 6, 23 47, 21 2, 30 15, 15 13, 20 27, 32 27, 29 39, 50 16, 24 12, 30 19, 25
7, 17 15, 37 16, 15 29, 45 6, 16 9, 24 31, 33 19, 29 29, 27 29, 21 11, 33 7, 21 51,
40 6, 24 25, 49 27, 28 29, 27 12, 36 23, 49 21, 15 2, 29 47, 50 6, 44 7, 46 21, 27
39, 23 4, 19 43, 23 25, 21 20, 24 23, 23 2, 27 15, 23 39, 19 23, 23 50, 23 21, 44
16, 20 16, 25 44, 7 8, 24 21, 15 14, 15 7, 6 26, 19 16, 30 6, 27 16, 6 47, 49 29, 4
23, 31 24, 7 36, 21 23, 21 34, 19 8, 21 25, 46 24, 16 31, 27 34, 15 3, 6 23, 7 12,
45 19, 47 15, 44 37, 33 29, 19 32, 49 24, 29 1, 6 50, 7 2, 36 32, 16 11, 23 31, 48
24, 16 10, 27 36, 7 3, 35 7, 18 23, 7 48, 24 2, 12 7, 23 51, 6 8, 7 39, 40 27, 6 1,
47 44, 16 37, 48 6, 43 23, 27 37, 27 33, 50 29, 23 49, 31 15, 48 23, 7 41, 24 30,
29 6, 43 16, 19 18, 15 20, 21 1, 24 20, 7 29, 15 9, 47 16, 7 27, 52 19, 44 29, 47
24, 15 23, 24 17, 21 10, 36 21, 2 15, 27 23, 24 24, 29 46, 33 16, 6 51, 7 21, 27 9,
29 35, 16 34, 2 49, 2 19, 44 15, 29 38, 29 10, 7 7, 24 13, 23 45, 24 4, 52 24, 29
27, 16 35, 24 10, 16 13, 40 23, 19 2, 21 15, 29 51, 36 16, 37 23, 15 6, 15 47, 22
15, 19 14, 16 8, 16 24, 50 21, 15 25, 23 36, 31 21, 15 44, 12 29, 15 11, 15 50, 21
27, 45 15, 29 28, 16 38, 51 19, 48 29, 19 28, 21 42, 21 13, 48 21, 6 20, 16 42, 20
15, 16 19, 29 23, 35 16, 29 34, 36 19, 27 49, 29 24, 7 51, 23 38, 27 3, 30 21, 24
29, 27 50, 24 14, 16 27, 47 21, 4 27, 25 21, 6 28, 16 48, 29 17, 33 27, 16 28, 23
43, 15 27, 49 16, 12 21, 24 37, 15 45, 15 49, 2 27, 35 19, 48 19, 16 46, 30 27, 16
7, 24 1, 19 51, 6 32, 21 50, 51 7, 52 6, 52 15, 6 10, 19 5, 6 19, 21 9, 27 19, 6
35, 21 19, 15 4, 22 6, 7 9, 16 1, 6 41, 19 11, 21 17, 6 14, 6 43, 22 29, 15 43, 23
3, 37 27, 27 2, 27 27, 29 11, 2 29, 30 23, 2 16, 37 29, 29 25, 28 6, 15 41, 7 45,
16 33, 19 44, 25 6, 30 29, 15 38, 7 23, 23 7, 6 25, 21 7, 19 19, 24 32, 6 42, 49 7,
12 24, 6 33, 44 21, 6 12, 23 5, 28 7, 29 21, 7 38, 27 46, 15 8, 47 27, 28 24, 23
14, 16 5, 27 21, 31 7, 22 24, 25 29, 46 6, 31 16, 29 16, 24 47, 15 31, 6 7, 19 20,

```

37 15, 16 25, 40 16, 45 43, 46 16, 29 32, 33 23, 24 28, 17 19, 23 10, 21 24, 6 29,
44 23, 30 16, 12 19, 23 15, 33 6, 22 19, 17 7, 17 21, 51 6, 15 1, 2 24, 12 27, 29
33, 32 23, 12 15, 29 37, 21 44, 49 23, 23 19, 27 45, 7 49, 25 15, 35 29, 23 8, 24
19, 15 15, 30 11, 44 27, 52 23, 15 51, 27 17, 4 29, 16 50, 47 6, 22 21, 15 10, 52
21, 19 9, 43 19, 7 4, 37 19, 43 41, 24 7, 46 29, 7 19, 18 7, 43 7, 12 6, 32 24, 50
7, 50 19, 27 38, 16 29, 15 5, 21 30, 27 26, 32 15, 45 21, 16 49, 49 15, 29 19, 19
13, 32 19, 7 43, 49 19, 7 11, 24 42, 15 34, 16 20, 15 21, 29 3, 50 24, 25 20, 32
16, 21 4, 21 38, 36 24, 19 46, 27 28, 21 5, 6 9, 29 36, 40 7, 24 33, 23 12, 21 14,
27 4, 16 26, 40 21, 29 8, 45 24, 6 21, 40 24, 33 24, 49 6, 19 39, 46 7, 24 48, 7
44, 23 37, 21 39, 23 46, 25 27, 19 7, 21 35, 32 7, 19 42, 25 23, 36 30, 23 35, 30
7, 21 36, 29 43, 28 15, 51 29, 27 44, 7 28, 23 48, 16 2, 19 47, 22 27, 49 2, 7 5,
46 27, 24 16, 21 3, 22 23, 19 25, 16 32, 15 48, 48 27, 23 17, 30 36, 51 24, 27 14,
7 24, 7 17, 48 7, 16 6, 19 30, 19 10, 30 32, 21 43, 29 9, 29 2, 7 1, 19 38, 29 15,
16 12, 21 32, 7 10, 17 24, 25 16, 20 24, 15 36, 23 18, 15 26, 27 51, 7 35, 24 44,
21 6, 17 29, 19 29, 51 27, 31 29, 29 48, 47 19, 22 16, 23 29, 50 23, 20 6, 6 37, 28
21, 23 26, 36 13, 27 11, 2 23, 7 18, 21 18, 19 24, 24 3, 19 35, 27 20, 7 33, 16 39,
23 32, 23 16, 16 30, 43 21, 2 6, 19 15, 18 15, 40 19, 40 29, 21 28, 4 21, 27 35, 24
36, 33 15, 16 41, 46 23, 29 13, 6 15, 32 29, 37 21, 36 15, 4 7, 15 12, 6 16, 37 24,
19 12, 24 34, 23 9, 19 50, 27 24, 47 7, 2 7, 52 7, 15 32, 15 39, 19 34, 16 45, 24
18, 15 16, 31 4, 23 1, 18 16, 6 4, 29 14, 52 27, 15 18, 19 4, 35 2, 29 20, 19 26, 7
13, 16 16, 45 7, 19 1, 23 42, 16 36, 19 33, 23 34, 24 50, 23 11, 21 33, 6 11, 27 7,
43 6, 24 15, 16 44, 23 24, 48 15, 45 27, 18 29, 23 13, 46 19, 51 21, 19 37, 15 28,
43 27, 20 21, 52 29, 24 8, 35 6, 21 8, 6 13, 27 47, 29 26, 19 41, 20 7, 21 29, 31
19, 16 51, 27 8, 36 29, 24 51, 25 19, 24 46, 27 48, 7 47, 35 27, 18 24, 7 20, 7 16,
23 28, 2 21, 22 7, 24 38, 47 23, 31 23, 6 2, 23 30, 7 34, 35 49, 4 19, 7 6, 37 44,
19 48, 24 35, 6 17, 30 3, 16 21, 20 19, 19 3, 23 44, 27 30, 36 3, 19 6, 6 24, 24
45, 21 37, 27 25, 29 41, 12 16, 7 32, 15 30, 27 42, 12 30, 29 4, 16 14, 51 23, 12
23, 19 49, 6 39, 47 29, 27 6, 6 44, 36 6, 29 5, 29 45, 29 12, 6 48, 18 19, 7 14, 19
17, 24 11, 27 18, 44 19, 35 24, 21 47, 24 49, 43 45, 21 45, 23 23, 24 27, 4 16, 21
26, 7 26, 4 24, 4 15, 19 21, 15 35, 19 45, 27 31, 44 24, 33 21, 29 31, 29 42, 6 31,
17 30, 6 46, 27 41, 19 31, 16 47, 51 16, 27 32, 16 3, 29 49, 27 5, 30 12, 23 41, 24
41, 17 23, 28 23, 50 27, 20 29, 40 15, 28 16, 35 15, 21 41, 16 23, 29 44, 27 43, 6
3, 35 21, 43 15, 45 16, 48 16, 6 30, 19 27, 23 33, 24 6, 7 31, 7 37, 28 27, 24 26,
17 6, 6 49, 29 50, 18 6, 21 31, 52 16, 28 19, 21 21, 45 23, 6 38, 27 13, 6 34, 46
15, 6 5, 27 1, 24 5, 36 27, 24 9, 7 30, 4 6, 15 24, 15 33, 27 10, 6 45, 24 43, 15
17, 16 4, 50 15, 31 6, 6 6, 37 6, 6 18, 21 16, 18 27, 16 17, 20 23, 7 25, 29 30, 24
39, 35 23, 23 6;

param: K:	R	O	D:=	1	4158	12	6	2	5014	43	29	3	17810	23		
	27	4	3996	21	49	5	5472	29	7	6	3348	23	34	7	5572	21
	33	8	2495	37	7	9	10442	21	30	10	132	50	21	11	5204	27
	26	12	7519	25	24	13	11932	23	24	14	9137	36	7	15	404	7
	43	16	1176	45	27	17	990	6	36	18	109	49	19	19	5701	43
	27	20	5203	7	15	21	8316	15	21	22	5188	31	27	23	776	25
	20	24	12670	17	27	25	867	24	8	26	2083	6	20	27	6354	21
	8	28	162	32	21	29	2778	29	26	30	171	19	36	31	329	32
	6	32	23384	21	2	33	2492	21	29	34	7342	32	27	35	5954	29

```

39 36 614 30 19 37 3208 25 7 38 4334 27 49 39 1765 24
46 40 366 27 48 41 130 35 27 42 1166 29 24 43 330 2
21 44 16537 6 2 45 1694 24 25 46 870 49 6 47 1500 46
7 48 6990 27 3 49 9811 49 27 50 119 35 49 51 555 30
21 52 10911 7 6 53 346 37 44 54 13946 24 29 55 107 30
3 56 5915 24 14 57 2941 49 21 58 7185 16 21 59 11196 16
27 60 2059 47 21 61 937 4 27 62 2927 25 21 63 13367 27
30 64 581 36 3 65 5838 19 6 66 8940 33 27 67 899 23
37 68 6181 23 43 69 5423 21 37 70 12223 24 23 71 6710 25
27 72 20822 27 25 73 2399 24 37 74 6946 12 21 75 9779 27
15 76 1796 2 27 77 401 36 30 78 1046 21 36 79 10754 12
30 80 10979 29 43 81 7145 30 27 82 543 23 21 83 10536 27
44 84 4242 21 50 85 635 19 49 86 131 22 27 87 3361 6
19 88 8784 27 6 89 1183 49 2 90 748 25 44 91 3708 6
44 92 7849 7 8 93 10681 46 27 94 4577 27 19 95 12154 15
7 96 6661 29 45 97 3043 21 19 98 884 48 27 99 164 19
17 100 2530 31 24 101 1458 19 11 102 12344 27 18 103 794 21
23 104 464 30 36 105 107 37 27 106 18428 27 2 107 16340 21
25 108 2226 46 24 109 4385 21 47 110 13678 7 24 111 1206 43
45 112 1043 30 32 113 1203 19 30 114 1422 25 6 115 3492 29
9 116 1988 47 15 117 1068 19 21 118 20306 44 37 119 9836 7
23 120 488 20 24 121 14246 23 7 122 11301 6 25 123 860 15
36 124 9605 27 51 125 5072 29 42 126 6935 24 44 127 4036 6
33 128 3739 21 6 129 1675 7 2 130 332 36 32 131 295 17
30 132 7415 27 36 133 156 51 27 134 12389 23 29 135 2873 27
32 136 6232 6 37 137 13985 27 5 138 1207 30 12 139 220 28
21 140 5594 6 8 141 20041 47 27 142 4257 6 1 143 119 40
27 144 459 47 44 145 1216 36 13 146 5158 23 14 147 4400 27
11 148 23965 27 21 149 23577 27 43 150 2746 6 3 151 1197 31
7 152 295 27 37 153 2975 43 23 154 6387 27 33 155 21195 27
20 156 7340 6 30 157 15683 19 27 158 154 45 43 159 224 24
6 160 1083 2 6 161 7801 7 37 162 7386 24 20 163 2004 7
29 164 5029 21 28 165 8042 6 49 166 11307 27 35 167 9258 4
21 168 3796 21 31 169 301 52 16 170 258 33 15 171 1422 46
23 172 2984 47 24 173 245 33 6 174 8195 6 15 175 497 45
23 176 191 37 21 177 4916 36 15 178 1111 37 24 179 8366 24
34 180 3281 36 21 181 10976 27 23 182 14738 36 27 183 12421 47
7 184 15423 29 46 185 507 29 37 186 7329 21 44 187 15466 7
21 188 12151 27 45 189 5063 15 33 190 1395 2 49 191 630 2
19 192 8323 29 38 193 11495 27 10 194 17472 29 27 195 988 24
43 196 1734 31 4 197 774 30 11 198 6022 21 16 199 1228 27
17 200 1005 19 2 201 7849 21 15 202 273 35 2 203 134 18
27 204 17589 46 29 205 5610 43 41 206 4942 15 6 207 6214 7

```

25 ;

```

param distancia default 0 := [43, 24] 1092 [51, 15] 663 [6, 27] 569 [43, 29] 118
[23, 27] 1061 [21, 49] 483 [29, 7] 1625 [21, 46] 2127 [7, 46] 1814 [29, 18] 909

```

[37, 7] 274 [16, 43] 2225 [15, 37] 643 [21, 48] 110 [16, 15] 611 [15, 46] 1933 [7, 42] 1875 [25, 24] 460 [36, 7] 762 [45, 29] 526 [15, 19] 320 [30, 24] 622 [18, 21] 1030 [16, 18] 1437 [6, 36] 267 [23, 20] 704 [31, 27] 1190 [7, 15] 371 [7, 50] 502 [15, 42] 1994 [17, 16] 781 [17, 27] 444 [44, 6] 878 [32, 21] 514 [21, 12] 549 [19, 36] 218 [32, 6] 444 [23, 47] 2693 [21, 2] 587 [30, 15] 317 [15, 13] 519 [20, 27] 529 [32, 27] 821 [29, 39] 480 [50, 16] 414 [24, 12] 631 [30, 19] 398 [25, 7] 178 [17, 15] 368 [37, 16] 1119 [15, 29] 1744 [45, 6] 1412 [16, 9] 2465 [24, 31] 1585 [33, 19] 326 [29, 29] 0 [27, 29] 1373 [21, 11] 443 [33, 7] 395 [21, 51] 754 [40, 6] 789 [24, 25] 459 [49, 27] 468 [28, 29] 1860 [27, 12] 114 [36, 23] 1762 [49, 21] 487 [15, 2] 590 [29, 47] 3001 [50, 6] 174 [44, 7] 396 [46, 21] 2128 [27, 39] 1168 [23, 4] 2156 [19, 43] 1717 [23, 25] 1187 [21, 20] 994 [24, 23] 735 [23, 2] 1334 [27, 15] 377 [23, 39] 684 [19, 23] 1549 [23, 50] 1694 [23, 21] 1630 [44, 16] 1240 [20, 16] 1397 [25, 44] 343 [7, 8] 129 [24, 21] 949 [15, 14] 1251 [15, 7] 373 [6, 26] 1562 [19, 16] 699 [30, 6] 507 [27, 16] 981 [6, 47] 1137 [49, 29] 1675 [4, 23] 2154 [31, 24] 1494 [7, 36] 762 [21, 23] 1630 [21, 34] 1288 [19, 8] 621 [21, 25] 458 [46, 24] 1362 [16, 31] 253 [27, 34] 723 [15, 3] 253 [6, 23] 1624 [7, 12] 532 [45, 19] 1318 [47, 15] 1267 [44, 37] 122 [33, 29] 1667 [19, 32] 314 [49, 24] 982 [29, 1] 2029 [6, 50] 176 [7, 2] 942 [36, 32] 182 [16, 11] 650 [23, 31] 2267 [48, 24] 905 [16, 10] 1050 [27, 36] 763 [7, 3] 604 [35, 7] 812 [18, 23] 602 [7, 48] 457 [24, 2] 1040 [12, 7] 532 [23, 51] 926 [6, 8] 362 [7, 39] 1603 [40, 27] 226 [6, 1] 88 [47, 44] 1826 [16, 37] 1120 [48, 6] 106 [43, 23] 361 [27, 37] 536 [27, 33] 300 [50, 29] 2004 [23, 49] 1365 [31, 15] 819 [48, 23] 1521 [7, 41] 1550 [24, 30] 623 [29, 6] 1932 [43, 16] 2225 [19, 18] 959 [15, 20] 903 [21, 1] 102 [24, 20] 130 [7, 29] 1625 [15, 9] 1862 [47, 16] 662 [7, 27] 440 [52, 19] 468 [44, 29] 1313 [47, 24] 1942 [15, 23] 1435 [24, 17] 958 [21, 10] 642 [36, 21] 336 [2, 15] 593 [27, 23] 1065 [24, 24] 0 [29, 46] 322 [33, 16] 726 [6, 51] 803 [7, 21] 444 [27, 9] 1492 [29, 35] 1421 [16, 34] 1696 [2, 49] 107 [2, 19] 280 [44, 15] 715 [29, 38] 193 [29, 10] 1352 [7, 7] 0 [24, 13] 1396 [23, 45] 235 [24, 4] 1474 [52, 24] 1402 [29, 27] 1369 [16, 35] 1124 [24, 10] 577 [16, 13] 458 [40, 23] 835 [19, 2] 278 [21, 15] 203 [29, 51] 1234 [36, 16] 498 [37, 23] 976 [15, 6] 198 [15, 47] 1267 [22, 15] 787 [19, 14] 1375 [16, 8] 721 [16, 24] 1286 [50, 21] 80 [15, 25] 345 [23, 36] 1760 [31, 21] 617 [15, 44] 703 [12, 29] 1466 [15, 11] 483 [15, 50] 268 [21, 27] 574 [45, 15] 1222 [29, 28] 1851 [16, 38] 2153 [51, 19] 789 [48, 29] 1830 [19, 28] 378 [21, 42] 2189 [21, 13] 459 [48, 21] 112 [6, 20] 1043 [16, 42] 2597 [20, 15] 902 [16, 19] 697 [29, 23] 440 [35, 16] 1125 [29, 34] 809 [36, 19] 221 [27, 49] 463 [29, 24] 1172 [7, 51] 419 [23, 38] 248 [27, 3] 337 [30, 21] 513 [24, 29] 1173 [27, 50] 637 [24, 14] 522 [16, 27] 983 [47, 21] 1066 [4, 27] 1099 [25, 21] 461 [6, 28] 153 [16, 48] 518 [29, 17] 1724 [33, 27] 303 [16, 28] 509 [23, 43] 362 [15, 27] 380 [49, 16] 867 [12, 21] 549 [24, 37] 238 [15, 45] 1221 [15, 49] 485 [2, 27] 528 [35, 19] 433 [48, 19] 330 [16, 46] 2536 [30, 27] 108 [16, 7] 850 [24, 1] 1039 [19, 51] 787 [6, 32] 448 [21, 50] 81 [51, 7] 419 [52, 6] 518 [52, 15] 727 [6, 10] 636 [19, 5] 825 [6, 19] 225 [21, 9] 2057 [27, 19] 504 [6, 35] 651 [21, 19] 317 [15, 4] 730 [22, 6] 977 [7, 9] 1743 [16, 1] 373 [6, 41] 1477 [19, 11] 205 [21, 17] 398 [6, 14] 1440 [6, 43] 1811 [22, 29] 998 [15, 43] 1622 [23, 3] 1384 [37, 27] 532 [27, 2] 523 [27, 27] 0 [29, 11] 1917 [2, 29] 1628 [30, 23] 1163 [2, 16] 972 [37, 29] 1414 [29, 25] 1495 [28, 6] 153 [15, 41] 1496 [7, 45] 1102 [16, 33] 725 [19, 44] 929 [25, 6] 506 [30, 29] 1471 [15, 38] 1551 [7, 23]

1248 [23, 7] 1249 [6, 25] 534 [21, 7] 441 [19, 19] 0 [24, 32] 1338 [6, 42] 2183
[49, 7] 860 [12, 24] 630 [6, 33] 311 [44, 21] 833 [6, 12] 544 [23, 5] 736 [28, 7]
341 [29, 21] 1938 [7, 38] 1432 [27, 46] 1563 [15, 8] 244 [47, 27] 1639 [28, 24] 778
[23, 14] 213 [16, 5] 1304 [27, 21] 573 [31, 7] 1057 [22, 24] 922 [25, 29] 1496 [46,
6] 2122 [31, 16] 224 [29, 16] 2346 [24, 47] 2011 [15, 31] 841 [6, 7] 490 [19, 20]
1027 [37, 15] 639 [16, 25] 866 [40, 16] 1204 [45, 43] 404 [46, 16] 2536 [29, 32]
2054 [33, 23] 1359 [24, 28] 845 [17, 19] 89 [23, 10] 1044 [21, 24] 878 [6, 29] 1932
[44, 23] 875 [30, 16] 921 [12, 19] 436 [23, 15] 1434 [33, 6] 311 [22, 19] 840 [17,
7] 710 [17, 21] 401 [51, 6] 852 [15, 1] 295 [2, 24] 1043 [12, 27] 116 [29, 33] 1665
[32, 23] 1739 [12, 15] 354 [29, 37] 1413 [21, 44] 762 [49, 23] 1385 [23, 19] 1548
[27, 45] 851 [7, 49] 858 [25, 15] 347 [35, 29] 1422 [23, 8] 1299 [24, 19] 1021 [15,
15] 0 [30, 11] 555 [44, 27] 492 [52, 23] 1985 [15, 51] 663 [27, 17] 441 [4, 29]
2462 [16, 50] 411 [47, 6] 1136 [22, 21] 983 [15, 10] 447 [52, 21] 538 [19, 9] 1957
[43, 19] 1717 [7, 4] 969 [37, 19] 897 [43, 41] 731 [24, 7] 512 [46, 29] 324 [7, 19]
713 [18, 7] 716 [43, 7] 1503 [12, 6] 543 [32, 24] 1336 [50, 7] 507 [50, 19] 392
[27, 38] 1180 [16, 29] 2346 [15, 5] 701 [21, 30] 512 [27, 26] 1003 [32, 15] 585
[45, 21] 1418 [16, 49] 864 [49, 15] 487 [29, 19] 1838 [19, 13] 269 [32, 19] 313 [7,
43] 1503 [49, 19] 175 [7, 11] 839 [24, 42] 1492 [15, 34] 1093 [16, 20] 1403 [15,
21] 204 [29, 3] 1693 [50, 24] 944 [25, 20] 530 [32, 16] 606 [21, 4] 523 [21, 38]
1745 [36, 24] 1199 [19, 46] 2028 [27, 28] 510 [21, 5] 896 [6, 9] 2051 [29, 36] 2051
[40, 7] 554 [24, 33] 754 [23, 12] 1157 [21, 14] 1445 [27, 4] 1099 [16, 26] 1976
[40, 21] 796 [29, 8] 1643 [45, 24] 812 [6, 21] 102 [40, 24] 395 [33, 24] 755 [49,
6] 393 [19, 39] 1598 [46, 7] 1814 [24, 48] 917 [7, 44] 394 [23, 37] 975 [21, 39]
1744 [23, 46] 631 [25, 27] 269 [19, 7] 749 [21, 35] 743 [32, 7] 941 [19, 42] 2090
[25, 23] 1187 [36, 30] 610 [23, 35] 1131 [30, 7] 496 [21, 36] 330 [29, 43] 118 [28,
15] 146 [51, 29] 1235 [27, 44] 496 [7, 28] 339 [23, 48] 1520 [16, 2] 968 [19, 47]
1354 [22, 27] 416 [49, 2] 105 [7, 5] 582 [46, 27] 1559 [24, 16] 1356 [21, 3] 397
[22, 23] 708 [19, 25] 637 [16, 32] 608 [15, 48] 94 [48, 27] 466 [23, 17] 1434 [30,
36] 611 [51, 24] 231 [27, 14] 881 [7, 24] 511 [7, 17] 708 [48, 7] 459 [16, 6] 480
[19, 30] 396 [19, 10] 547 [30, 32] 692 [21, 43] 1817 [29, 9] 384 [29, 2] 1624 [7,
1] 533 [19, 38] 1646 [29, 15] 1742 [16, 12] 958 [21, 32] 511 [7, 10] 501 [17, 24]
958 [25, 16] 869 [20, 24] 130 [15, 36] 398 [23, 18] 629 [15, 26] 1373 [27, 51] 293
[7, 35] 812 [24, 44] 138 [21, 6] 99 [17, 29] 1725 [19, 29] 1839 [51, 27] 289 [31,
29] 2554 [29, 48] 1828 [47, 19] 1353 [22, 16] 1391 [23, 29] 442 [50, 23] 1695 [20,
6] 1092 [6, 37] 760 [28, 21] 104 [23, 26] 186 [36, 13] 106 [27, 11] 684 [2, 23]
1337 [7, 18] 716 [21, 18] 1029 [19, 24] 1019 [24, 3] 854 [19, 35] 434 [27, 20] 533
[7, 33] 394 [16, 39] 2152 [23, 32] 1764 [23, 16] 2038 [16, 30] 921 [43, 21] 1817
[2, 6] 498 [19, 15] 321 [18, 15] 834 [40, 19] 727 [40, 29] 1144 [21, 28] 101 [4,
21] 526 [27, 35] 393 [24, 36] 1267 [33, 15] 122 [16, 41] 1949 [46, 23] 630 [29, 13]
2099 [6, 15] 197 [32, 29] 2029 [37, 21] 712 [36, 15] 407 [4, 7] 966 [15, 12] 355
[6, 16] 482 [37, 24] 238 [19, 12] 435 [24, 34] 364 [23, 9] 628 [19, 50] 392 [27,
24] 524 [47, 7] 1506 [2, 7] 944 [52, 7] 965 [15, 32] 579 [15, 39] 1549 [19, 34]
1218 [16, 45] 1824 [24, 18] 436 [15, 16] 612 [31, 4] 97 [23, 1] 1720 [18, 16] 1438
[6, 4] 600 [29, 14] 651 [52, 27] 1098 [15, 18] 835 [19, 4] 817 [35, 2] 219 [29, 20]
1142 [19, 26] 1469 [7, 13] 891 [16, 16] 0 [45, 7] 1104 [19, 1] 304 [23, 42] 760
[16, 36] 495 [19, 33] 328 [23, 34] 371 [24, 50] 1007 [23, 11] 1626 [21, 33] 317 [6,

```

11] 351 [27, 7] 445 [43, 6] 1811 [24, 15] 831 [16, 44] 1170 [23, 24] 734 [48, 15]
94 [45, 27] 849 [18, 29] 910 [23, 13] 1809 [46, 19] 2028 [51, 21] 750 [19, 37] 896
[15, 28] 146 [43, 27] 1247 [20, 21] 990 [52, 29] 2275 [24, 8] 562 [35, 6] 651 [21,
8] 313 [6, 13] 387 [27, 47] 1636 [29, 26] 369 [19, 41] 1260 [20, 7] 645 [21, 29]
1938 [31, 19] 905 [16, 51] 1163 [27, 8] 443 [36, 29] 2053 [24, 51] 232 [25, 19] 639
[24, 46] 1362 [27, 48] 463 [7, 47] 1506 [35, 27] 396 [18, 24] 435 [7, 20] 644 [7,
16] 851 [23, 28] 1543 [2, 21] 592 [22, 7] 851 [24, 38] 979 [47, 23] 2694 [31, 23]
2245 [6, 2] 496 [23, 30] 1163 [7, 34] 878 [35, 49] 250 [4, 19] 813 [7, 6] 489 [37,
44] 122 [19, 48] 329 [24, 35] 910 [6, 17] 306 [30, 3] 231 [16, 21] 410 [20, 19]
1029 [19, 3] 168 [23, 44] 875 [27, 30] 106 [36, 3] 382 [19, 6] 225 [6, 24] 927 [24,
45] 812 [21, 37] 712 [27, 25] 274 [29, 41] 852 [12, 16] 958 [7, 32] 943 [15, 30]
318 [27, 42] 1624 [12, 30] 44 [29, 4] 2464 [16, 14] 1854 [51, 23] 926 [12, 23] 1157
[19, 49] 174 [6, 39] 1738 [47, 29] 3002 [27, 6] 567 [6, 44] 811 [36, 6] 265 [29, 5]
1045 [29, 45] 525 [29, 12] 1465 [6, 48] 104 [18, 19] 961 [7, 14] 1035 [19, 17] 89
[24, 11] 1201 [27, 18] 464 [44, 19] 930 [35, 24] 910 [21, 47] 1060 [24, 49] 979
[43, 45] 404 [21, 45] 1415 [23, 23] 0 [24, 27] 521 [4, 16] 132 [21, 26] 1568 [7,
26] 1254 [4, 24] 1402 [4, 15] 727 [19, 21] 318 [15, 35] 560 [19, 45] 1316 [27, 31]
1210 [44, 24] 137 [33, 21] 317 [29, 31] 2575 [29, 42] 516 [6, 31] 711 [17, 30] 336
[6, 46] 2121 [27, 41] 1115 [19, 31] 928 [16, 47] 663 [51, 16] 1158 [27, 32] 821
[16, 3] 778 [29, 49] 1655 [27, 5] 331 [30, 12] 44 [23, 41] 864 [24, 41] 1444 [17,
23] 1434 [28, 23] 1552 [50, 27] 640 [20, 29] 1142 [40, 15] 600 [28, 16] 512 [35,
15] 559 [21, 41] 1569 [16, 23] 2038 [29, 44] 1312 [27, 43] 1252 [6, 3] 291 [35, 21]
745 [43, 15] 1621 [45, 16] 1826 [48, 16] 520 [6, 30] 507 [19, 27] 504 [23, 33] 1356
[24, 6] 994 [7, 31] 1080 [7, 37] 275 [28, 27] 512 [24, 26] 918 [17, 6] 307 [6, 49]
391 [29, 50] 2002 [18, 6] 1024 [21, 31] 633 [52, 16] 388 [28, 19] 377 [21, 21] 0
[45, 23] 236 [6, 38] 1739 [27, 13] 772 [6, 34] 1282 [46, 15] 1932 [6, 5] 890 [27,
1] 664 [24, 5] 346 [36, 27] 765 [24, 9] 1360 [7, 30] 495 [4, 6] 596 [15, 24] 820
[15, 33] 122 [27, 10] 66 [6, 45] 1410 [24, 43] 1093 [15, 17] 366 [16, 4] 142 [50,
15] 269 [31, 6] 687 [6, 6] 0 [37, 6] 756 [6, 18] 1023 [21, 16] 405 [18, 27] 461
[16, 17] 779 [20, 23] 704 [7, 25] 178 [29, 30] 1471 [24, 39] 1323 [35, 23] 1131
[23, 6] 1624 ;
end;

```

```

novembro.dat
data;
param n := 52;
set T := truck carreta;
param U := truck 12000, carreta 24000;
param c := truck 1.0, carreta 1.4;
set V := 1 2 3 4 5 6 7 8 9 10 11 12 13 14 15 16 18 17 19 20 21 22 23 24 25 26 27 28
29 30 31 32 33 34 35 36 37 38 39 40 41 42 43 44 45 46 47 49 48 50 51 52;
set A := 43 24, 51 15, 6 27, 43 29, 23 27, 21 49, 29 7, 21 46, 7 46, 29 18, 37 7,
15 37, 16 43, 21 48, 16 15, 15 46, 25 24, 7 42, 36 7, 45 29, 15 19, 30 24, 18 21,
16 18, 6 36, 23 20, 31 27, 7 15, 7 50, 15 40, 15 42, 17 16, 24 52, 17 27, 44 6, 32

```

21, 21 12, 19 36, 32 6, 23 47, 21 2, 30 15, 15 13, 20 27, 32 27, 29 39, 30 19, 24
12, 25 7, 36 2, 17 15, 37 16, 15 29, 45 6, 16 9, 24 31, 33 19, 29 29, 27 29, 21 11,
33 7, 21 51, 40 6, 24 25, 49 27, 27 12, 36 23, 49 21, 15 2, 29 47, 44 7, 46 21, 23
4, 27 39, 23 25, 19 43, 21 20, 24 23, 23 2, 27 15, 23 39, 19 23, 23 50, 23 21, 44
16, 20 16, 25 44, 7 8, 24 21, 15 14, 15 7, 6 26, 19 16, 30 6, 27 16, 6 47, 49 29, 4
23, 31 24, 7 36, 21 23, 21 34, 19 8, 21 25, 46 24, 16 31, 27 34, 15 3, 6 23, 23 52,
7 12, 45 19, 47 15, 33 29, 19 32, 49 24, 29 1, 6 52, 6 50, 7 2, 36 32, 16 11, 23
31, 48 24, 16 10, 27 36, 7 3, 35 7, 18 23, 7 48, 24 2, 12 7, 23 51, 6 8, 7 39, 40
27, 6 1, 47 44, 16 37, 48 6, 21 40, 43 23, 27 37, 27 33, 23 49, 31 15, 48 23, 7 41,
24 30, 29 6, 43 16, 19 18, 15 20, 21 1, 24 20, 7 29, 15 9, 47 16, 7 27, 52 19, 44
29, 47 24, 15 23, 10 15, 24 17, 21 10, 36 21, 2 15, 27 23, 24 24, 29 46, 33 16, 6
51, 7 21, 27 9, 29 35, 16 34, 2 49, 2 19, 44 15, 29 38, 29 10, 7 7, 24 13, 24 4, 23
45, 52 24, 29 27, 16 35, 24 10, 16 13, 40 23, 10 19, 19 2, 21 15, 29 51, 36 16, 37
23, 15 6, 15 47, 22 15, 19 14, 16 8, 16 24, 15 25, 23 36, 15 44, 31 21, 12 29, 15
11, 15 50, 21 27, 45 15, 29 28, 16 38, 51 19, 48 29, 19 28, 21 42, 21 13, 48 21, 6
20, 16 42, 20 15, 16 19, 29 23, 35 16, 29 34, 36 19, 27 49, 29 24, 7 51, 23 38, 27
3, 30 21, 24 29, 27 50, 24 14, 16 27, 47 21, 4 27, 25 21, 6 28, 16 48, 29 17, 33
27, 16 28, 15 27, 23 43, 49 16, 12 21, 24 37, 15 45, 15 49, 2 27, 35 19, 48 19, 16
46, 29 52, 30 27, 16 7, 24 1, 19 51, 6 32, 21 50, 51 7, 52 6, 52 15, 6 10, 19 5, 6
19, 21 9, 27 19, 6 35, 21 19, 15 4, 22 6, 7 9, 16 1, 6 41, 19 11, 21 17, 6 14, 6
43, 22 29, 15 43, 23 3, 37 27, 27 27, 27 2, 29 11, 2 29, 30 23, 2 16, 37 29, 29 25,
15 41, 7 45, 16 33, 19 44, 25 6, 30 29, 15 38, 6 40, 7 23, 23 7, 6 25, 21 7, 19 19,
24 32, 10 21, 6 42, 49 7, 12 24, 6 33, 44 21, 6 12, 23 5, 29 21, 7 38, 15 52, 27
46, 15 8, 47 27, 10 27, 23 14, 16 5, 27 21, 31 7, 22 24, 25 29, 46 6, 31 16, 29 16,
24 47, 15 31, 19 20, 6 7, 37 15, 16 25, 40 16, 46 16, 29 32, 33 23, 24 28, 17 19,
23 10, 10 16, 21 24, 6 29, 44 23, 30 16, 12 19, 23 15, 33 6, 22 19, 17 7, 17 21, 51
6, 15 1, 2 24, 12 27, 29 33, 32 23, 12 15, 29 37, 21 44, 49 23, 23 19, 7 49, 27 45,
25 15, 35 29, 23 8, 24 19, 15 15, 30 11, 44 27, 52 23, 15 51, 27 17, 4 29, 16 50,
47 6, 22 21, 15 10, 52 21, 7 4, 19 9, 43 19, 37 19, 43 41, 27 52, 24 7, 46 29, 7
19, 18 7, 43 7, 46 45, 12 6, 32 24, 27 38, 16 29, 15 5, 21 30, 27 26, 32 15, 45 21,
16 49, 49 15, 29 19, 19 13, 32 19, 7 43, 49 19, 7 11, 24 42, 46 42, 15 34, 16 20,
16 52, 15 21, 29 3, 25 20, 32 16, 21 4, 21 38, 36 24, 19 46, 27 28, 21 5, 6 9, 40
7, 29 36, 24 33, 23 12, 27 4, 21 14, 16 26, 40 21, 29 8, 45 24, 6 21, 40 24, 33 24,
49 6, 19 39, 46 7, 24 48, 7 44, 23 37, 21 39, 23 46, 25 27, 19 7, 21 35, 32 7, 25
23, 19 42, 19 40, 36 30, 23 35, 30 7, 21 36, 29 43, 51 29, 27 44, 7 28, 23 48, 16
2, 19 47, 22 27, 49 2, 7 5, 46 27, 24 16, 21 3, 22 23, 19 25, 16 32, 15 48, 48 27,
23 17, 30 36, 51 24, 27 14, 7 24, 7 17, 48 7, 16 6, 19 30, 19 10, 30 32, 21 43, 29
9, 29 2, 7 1, 19 38, 29 15, 16 12, 17 24, 21 32, 7 10, 25 16, 20 24, 15 36, 23 18,
15 26, 27 51, 7 35, 24 44, 21 6, 17 29, 19 29, 51 27, 31 29, 29 48, 47 19, 22 16,
23 29, 20 6, 6 37, 23 26, 36 13, 27 11, 2 23, 7 18, 21 18, 19 24, 24 3, 19 35, 27
20, 7 33, 16 39, 23 32, 23 16, 16 30, 43 21, 2 6, 19 15, 18 15, 40 19, 40 29, 21
28, 4 21, 27 35, 24 36, 33 15, 16 41, 46 23, 19 52, 29 13, 6 15, 32 29, 37 21, 36
15, 4 7, 16 40, 15 12, 6 16, 37 24, 19 12, 24 34, 23 9, 19 50, 27 24, 47 7, 2 7, 52
7, 15 32, 15 39, 19 34, 16 45, 24 18, 10 7, 10 29, 15 16, 23 1, 18 16, 6 4, 29 14,
52 27, 15 18, 19 4, 35 2, 29 20, 19 26, 7 13, 16 16, 45 7, 19 1, 23 42, 16 36, 19
33, 23 40, 23 34, 29 40, 24 50, 23 11, 21 33, 6 11, 27 7, 43 6, 24 15, 23 24, 16

44, 48 15, 45 27, 18 29, 23 13, 46 19, 51 21, 19 37, 15 28, 43 27, 20 21, 52 29, 24
8, 35 6, 6 13, 21 8, 27 47, 29 26, 19 41, 20 7, 21 29, 31 19, 16 51, 27 8, 36 29,
10 24, 24 51, 25 19, 24 46, 27 48, 7 47, 35 27, 18 24, 7 16, 7 20, 23 28, 2 21, 22
7, 24 38, 47 23, 31 23, 6 2, 23 30, 27 40, 7 34, 4 19, 7 6, 37 44, 19 48, 24 35, 6
17, 16 21, 20 19, 19 3, 27 30, 23 44, 36 3, 19 6, 6 24, 24 45, 21 37, 27 25, 29 41,
12 16, 7 32, 15 30, 29 4, 12 30, 27 42, 24 40, 7 52, 16 14, 51 23, 12 23, 19 49, 6
39, 47 29, 27 6, 6 44, 36 6, 29 5, 29 45, 29 12, 6 48, 18 19, 7 14, 21 52, 46 43,
19 17, 24 11, 27 18, 44 19, 35 24, 21 47, 24 49, 43 45, 21 45, 23 23, 24 27, 4 16,
21 26, 7 26, 4 24, 4 15, 19 21, 15 35, 19 45, 27 31, 44 24, 33 21, 29 31, 29 42, 6
31, 17 30, 6 46, 27 41, 19 31, 16 47, 51 16, 27 32, 16 3, 29 49, 27 5, 30 12, 17
23, 24 41, 23 41, 7 40, 40 15, 20 29, 35 15, 21 41, 16 23, 29 44, 27 43, 6 3, 35
21, 43 15, 45 16, 48 16, 6 30, 19 27, 23 33, 24 6, 7 31, 7 37, 24 26, 17 6, 6 49,
29 50, 18 6, 21 31, 52 16, 21 21, 45 23, 10 23, 6 38, 46 44, 27 13, 6 34, 46 15, 6
5, 27 1, 24 5, 36 27, 24 9, 7 30, 4 6, 15 24, 15 33, 6 45, 27 10, 24 43, 15 17, 16
4, 31 6, 32 30, 6 6, 37 6, 6 18, 21 16, 18 27, 16 17, 10 6, 20 23, 7 25, 29 30, 24
39, 35 23, 23 6;

param: K:	R	O	D:= 1	4894	12	6 2	5107	43	29 3	17046	23	
	27 4	3892	21	49 5	2231	29	7 6	3647	23	34 7	4617	21
	33 8	3026	37	7 9	9096	21	30 10	4022	27	26 11	15740	31
	21 12	9669	25	24 13	16286	23	24 14	9113	36	7 15	473	7
	43 16	1173	45	27 17	495	6	36 18	388	49	19 19	253	46
	42 20	4944	43	27 21	432	16	52 22	4941	7	15 23	6776	15
	21 24	4757	31	27 25	885	25	20 26	13199	17	27 27	1034	24
	8 28	2634	6	20 29	5134	21	8 30	2603	29	26 31	201	21
	4 32	174	19	36 33	21274	21	2 34	2498	21	29 35	7254	32
	27 36	4016	29	39 37	488	30	19 38	3955	25	7 39	410	36
	2 40	218	24	51 41	4130	27	49 42	842	24	46 43	365	27
	48 44	192	35	27 45	1407	29	24 46	425	2	21 47	9389	6
	21 48	17138	6	2 49	1963	24	25 50	1137	49	6 51	8267	27
	3 52	4472	46	7 53	17060	27	40 54	12553	49	27 55	742	30
	21 56	11405	7	6 57	416	37	44 58	13166	24	29 59	737	7
	44 60	141	27	12 61	5722	24	14 62	585	49	21 63	8355	16
	21 64	12555	16	27 65	2605	47	21 66	2872	25	21 67	16152	27
	30 68	835	36	3 69	5238	19	6 70	9604	33	27 71	1283	23
	37 72	22292	15	27 73	10523	23	43 74	4593	21	37 75	12868	24
	23 76	7450	25	27 77	20190	27	25 78	3007	24	37 79	11736	12
	21 80	736	19	7 81	9906	27	15 82	1755	32	7 83	138	2
	27 84	406	36	30 85	1515	21	36 86	3315	12	30 87	13116	29
	43 88	9027	30	27 89	2310	23	21 90	11896	27	44 91	2785	21
	50 92	332	19	49 93	201	22	27 94	1503	6	19 95	8853	27
	6 96	1001	49	2 97	1241	25	44 98	4040	6	44 99	9330	7
	8 100	5651	46	27 101	5317	27	19 102	4571	15	7 103	7288	29
	45 104	3309	21	19 105	3761	48	27 106	470	19	17 107	2222	31
	24 108	273	46	43 109	1019	19	11 110	11274	27	18 111	433	30
	36 112	209	37	27 113	12284	21	25 114	2335	46	24 115	5525	21
	47 116	12388	7	24 117	166	43	45 118	2509	48	7 119	1131	19

30	120	724	30	32	121	332	21	43	122	660	25	6	123	4012	29
9	124	1672	47	15	125	13060	7	23	126	23484	44	24	127	286	20
24	128	15291	23	7	129	383	15	36	130	10086	6	25	131	10022	27
51	132	4717	29	42	133	7546	24	44	134	2252	49	7	135	3822	6
33	136	3276	21	6	137	534	7	2	138	124	36	32	139	275	17
30	140	6607	27	36	141	228	51	27	142	18706	23	29	143	1909	27
32	144	3906	6	37	145	16944	27	5	146	1682	30	12	147	4198	6
8	148	728	12	7	149	20987	47	27	150	116	10	27	151	3815	6
1	152	195	40	27	153	1052	47	44	154	1209	36	13	155	4443	23
14	156	3892	27	11	157	20225	27	21	158	761	21	40	159	18848	27
43	160	1567	31	7	161	2793	6	3	162	914	27	37	163	3081	43
23	164	6896	27	33	165	15175	27	20	166	5660	6	30	167	11471	19
27	168	1503	24	6	169	228	17	19	170	493	2	6	171	5670	7
37	172	7619	24	20	173	2737	7	29	174	4711	21	28	175	6323	6
49	176	12040	27	35	177	5148	4	21	178	5962	21	31	179	447	52
16	180	253	33	15	181	291	46	23	182	4660	47	24	183	119	33
6	184	8705	6	15	185	630	45	23	186	296	37	21	187	730	17
7	188	4036	36	15	189	168	46	44	190	483	37	24	191	7428	24
34	192	4943	36	21	193	12189	27	23	194	13904	36	27	195	13124	47
7	196	20473	29	46	197	4399	21	44	198	17644	7	21	199	5432	15
33	200	11983	27	45	201	1875	2	49	202	227	2	19	203	7452	29
38	204	11845	27	10	205	155	23	45	206	18665	29	27	207	1164	24
43	208	507	30	11	209	132	32	30	210	10358	21	16	211	1153	27
17	212	662	19	2	213	8743	21	15	214	126	35	2	215	294	18
27	216	19419	24	7	217	4072	15	6	218	13133	46	29	219	6526	43
41	220	6645	7	25	221	167	46	45							

```

param distancia default 0 := [43, 24] 1092 [51, 15] 663 [6, 27] 569 [43, 29] 118
[23, 27] 1061 [21, 49] 483 [29, 7] 1625 [21, 46] 2127 [7, 46] 1814 [29, 18] 909
[37, 7] 274 [15, 37] 643 [16, 43] 2225 [21, 48] 110 [16, 15] 611 [15, 46] 1933 [25,
24] 460 [7, 42] 1875 [36, 7] 762 [45, 29] 526 [15, 19] 320 [30, 24] 622 [18, 21]
1030 [16, 18] 1437 [6, 36] 267 [23, 20] 704 [31, 27] 1190 [7, 15] 371 [7, 50] 502
[15, 40] 601 [15, 42] 1994 [17, 16] 781 [24, 52] 1472 [17, 27] 444 [44, 6] 878 [32,
21] 514 [21, 12] 549 [19, 36] 218 [32, 6] 444 [23, 47] 2693 [21, 2] 587 [30, 15]
317 [15, 13] 519 [20, 27] 529 [32, 27] 821 [29, 39] 480 [30, 19] 398 [24, 12] 631
[25, 7] 178 [36, 2] 507 [17, 15] 368 [37, 16] 1119 [15, 29] 1744 [45, 6] 1412 [16,
9] 2465 [24, 31] 1585 [33, 19] 326 [29, 29] 0 [27, 29] 1373 [21, 11] 443 [33, 7]
395 [21, 51] 754 [40, 6] 789 [24, 25] 459 [49, 27] 468 [27, 12] 114 [36, 23] 1762
[49, 21] 487 [15, 2] 590 [29, 47] 3001 [44, 7] 396 [46, 21] 2128 [23, 4] 2156 [27,
39] 1168 [23, 25] 1187 [19, 43] 1717 [21, 20] 994 [24, 23] 735 [23, 2] 1334 [27,
15] 377 [23, 39] 684 [19, 23] 1549 [23, 50] 1694 [23, 21] 1630 [44, 16] 1240 [20,
16] 1397 [25, 44] 343 [7, 8] 129 [24, 21] 949 [15, 14] 1251 [15, 7] 373 [6, 26]
1562 [19, 16] 699 [30, 6] 507 [27, 16] 981 [6, 47] 1137 [49, 29] 1675 [4, 23] 2154
[31, 24] 1494 [7, 36] 762 [21, 23] 1630 [21, 34] 1288 [19, 8] 621 [21, 25] 458 [46,
24] 1362 [16, 31] 253 [27, 34] 723 [15, 3] 253 [6, 23] 1624 [23, 52] 2009 [7, 12]
532 [45, 19] 1318 [47, 15] 1267 [33, 29] 1667 [19, 32] 314 [49, 24] 982 [29, 1]
2029 [6, 52] 521 [6, 50] 176 [7, 2] 942 [36, 32] 182 [16, 11] 650 [23, 31] 2267

```

[48, 24] 905 [16, 10] 1050 [27, 36] 763 [7, 3] 604 [35, 7] 812 [18, 23] 602 [7, 48]
457 [24, 2] 1040 [12, 7] 532 [23, 51] 926 [6, 8] 362 [7, 39] 1603 [40, 27] 226 [6,
1] 88 [47, 44] 1826 [16, 37] 1120 [48, 6] 106 [21, 40] 796 [43, 23] 361 [27, 37]
536 [27, 33] 300 [23, 49] 1365 [31, 15] 819 [48, 23] 1521 [7, 41] 1550 [24, 30] 623
[29, 6] 1932 [43, 16] 2225 [19, 18] 959 [15, 20] 903 [21, 1] 102 [24, 20] 130 [7,
29] 1625 [15, 9] 1862 [47, 16] 662 [7, 27] 440 [52, 19] 468 [44, 29] 1313 [47, 24]
1942 [15, 23] 1435 [10, 15] 438 [24, 17] 958 [21, 10] 642 [36, 21] 336 [2, 15] 593
[27, 23] 1065 [24, 24] 0 [29, 46] 322 [33, 16] 726 [6, 51] 803 [7, 21] 444 [27, 9]
1492 [29, 35] 1421 [16, 34] 1696 [2, 49] 107 [2, 19] 280 [44, 15] 715 [29, 38] 193
[29, 10] 1352 [7, 7] 0 [24, 13] 1396 [24, 4] 1474 [23, 45] 235 [52, 24] 1402 [29,
27] 1369 [16, 35] 1124 [24, 10] 577 [16, 13] 458 [40, 23] 835 [10, 19] 556 [19, 2]
278 [21, 15] 203 [29, 51] 1234 [36, 16] 498 [37, 23] 976 [15, 6] 198 [15, 47] 1267
[22, 15] 787 [19, 14] 1375 [16, 8] 721 [16, 24] 1286 [15, 25] 345 [23, 36] 1760
[15, 44] 703 [31, 21] 617 [12, 29] 1466 [15, 11] 483 [15, 50] 268 [21, 27] 574 [45,
15] 1222 [29, 28] 1851 [16, 38] 2153 [51, 19] 789 [48, 29] 1830 [19, 28] 378 [21,
42] 2189 [21, 13] 459 [48, 21] 112 [6, 20] 1043 [16, 42] 2597 [20, 15] 902 [16, 19]
697 [29, 23] 440 [35, 16] 1125 [29, 34] 809 [36, 19] 221 [27, 49] 463 [29, 24] 1172
[7, 51] 419 [23, 38] 248 [27, 3] 337 [30, 21] 513 [24, 29] 1173 [27, 50] 637 [24,
14] 522 [16, 27] 983 [47, 21] 1066 [4, 27] 1099 [25, 21] 461 [6, 28] 153 [16, 48]
518 [29, 17] 1724 [33, 27] 303 [16, 28] 509 [15, 27] 380 [23, 43] 362 [49, 16] 867
[12, 21] 549 [24, 37] 238 [15, 45] 1221 [15, 49] 485 [2, 27] 528 [35, 19] 433 [48,
19] 330 [16, 46] 2536 [29, 52] 2299 [30, 27] 108 [16, 7] 850 [24, 1] 1039 [19, 51]
787 [6, 32] 448 [21, 50] 81 [51, 7] 419 [52, 6] 518 [52, 15] 727 [6, 10] 636 [19,
5] 825 [6, 19] 225 [21, 9] 2057 [27, 19] 504 [6, 35] 651 [21, 19] 317 [15, 4] 730
[22, 6] 977 [7, 9] 1743 [16, 1] 373 [6, 41] 1477 [19, 11] 205 [21, 17] 398 [6, 14]
1440 [6, 43] 1811 [22, 29] 998 [15, 43] 1622 [23, 3] 1384 [37, 27] 532 [27, 27] 0
[27, 2] 523 [29, 11] 1917 [2, 29] 1628 [30, 23] 1163 [2, 16] 972 [37, 29] 1414 [29,
25] 1495 [15, 41] 1496 [7, 45] 1102 [16, 33] 725 [19, 44] 929 [25, 6] 506 [30, 29]
1471 [15, 38] 1551 [6, 40] 790 [7, 23] 1248 [23, 7] 1249 [6, 25] 534 [21, 7] 441
[19, 19] 0 [24, 32] 1338 [10, 21] 633 [6, 42] 2183 [49, 7] 860 [12, 24] 630 [6, 33]
311 [44, 21] 833 [6, 12] 544 [23, 5] 736 [29, 21] 1938 [7, 38] 1432 [15, 52] 728
[27, 46] 1563 [15, 8] 244 [47, 27] 1639 [10, 27] 66 [23, 14] 213 [16, 5] 1304 [27,
21] 573 [31, 7] 1057 [22, 24] 922 [25, 29] 1496 [46, 6] 2122 [31, 16] 224 [29, 16]
2346 [24, 47] 2011 [15, 31] 841 [19, 20] 1027 [6, 7] 490 [37, 15] 639 [16, 25] 866
[40, 16] 1204 [46, 16] 2536 [29, 32] 2054 [33, 23] 1359 [24, 28] 845 [17, 19] 89
[23, 10] 1044 [10, 16] 1042 [21, 24] 878 [6, 29] 1932 [44, 23] 875 [30, 16] 921
[12, 19] 436 [23, 15] 1434 [33, 6] 311 [22, 19] 840 [17, 7] 710 [17, 21] 401 [51,
6] 852 [15, 1] 295 [2, 24] 1043 [12, 27] 116 [29, 33] 1665 [32, 23] 1739 [12, 15]
354 [29, 37] 1413 [21, 44] 762 [49, 23] 1385 [23, 19] 1548 [7, 49] 858 [27, 45] 851
[25, 15] 347 [35, 29] 1422 [23, 8] 1299 [24, 19] 1021 [15, 15] 0 [30, 11] 555 [44,
27] 492 [52, 23] 1985 [15, 51] 663 [27, 17] 441 [4, 29] 2462 [16, 50] 411 [47, 6]
1136 [22, 21] 983 [15, 10] 447 [52, 21] 538 [7, 4] 969 [19, 9] 1957 [43, 19] 1717
[37, 19] 897 [43, 41] 731 [27, 52] 1097 [24, 7] 512 [46, 29] 324 [7, 19] 713 [18,
7] 716 [43, 7] 1503 [46, 45] 715 [12, 6] 543 [32, 24] 1336 [27, 38] 1180 [16, 29]
2346 [15, 5] 701 [21, 30] 512 [27, 26] 1003 [32, 15] 585 [45, 21] 1418 [16, 49] 864
[49, 15] 487 [29, 19] 1838 [19, 13] 269 [32, 19] 313 [7, 43] 1503 [49, 19] 175 [7,

11] 839 [24, 42] 1492 [46, 42] 464 [15, 34] 1093 [16, 20] 1403 [16, 52] 387 [15, 21] 204 [29, 3] 1693 [25, 20] 530 [32, 16] 606 [21, 4] 523 [21, 38] 1745 [36, 24] 1199 [19, 46] 2028 [27, 28] 510 [21, 5] 896 [6, 9] 2051 [40, 7] 554 [29, 36] 2051 [24, 33] 754 [23, 12] 1157 [27, 4] 1099 [21, 14] 1445 [16, 26] 1976 [40, 21] 796 [29, 8] 1643 [45, 24] 812 [6, 21] 102 [40, 24] 395 [33, 24] 755 [49, 6] 393 [19, 39] 1598 [46, 7] 1814 [24, 48] 917 [7, 44] 394 [23, 37] 975 [21, 39] 1744 [23, 46] 631 [25, 27] 269 [19, 7] 749 [21, 35] 743 [32, 7] 941 [25, 23] 1187 [19, 42] 2090 [19, 40] 726 [36, 30] 610 [23, 35] 1131 [30, 7] 496 [21, 36] 330 [29, 43] 118 [51, 29] 1235 [27, 44] 496 [7, 28] 339 [23, 48] 1520 [16, 2] 968 [19, 47] 1354 [22, 27] 416 [49, 2] 105 [7, 5] 582 [46, 27] 1559 [24, 16] 1356 [21, 3] 397 [22, 23] 708 [19, 25] 637 [16, 32] 608 [15, 48] 94 [48, 27] 466 [23, 17] 1434 [30, 36] 611 [51, 24] 231 [27, 14] 881 [7, 24] 511 [7, 17] 708 [48, 7] 459 [16, 6] 480 [19, 30] 396 [19, 10] 547 [30, 32] 692 [21, 43] 1817 [29, 9] 384 [29, 2] 1624 [7, 1] 533 [19, 38] 1646 [29, 15] 1742 [16, 12] 958 [17, 24] 958 [21, 32] 511 [7, 10] 501 [25, 16] 869 [20, 24] 130 [15, 36] 398 [23, 18] 629 [15, 26] 1373 [27, 51] 293 [7, 35] 812 [24, 44] 138 [21, 6] 99 [17, 29] 1725 [19, 29] 1839 [51, 27] 289 [31, 29] 2554 [29, 48] 1828 [47, 19] 1353 [22, 16] 1391 [23, 29] 442 [20, 6] 1092 [6, 37] 760 [23, 26] 186 [36, 13] 106 [27, 11] 684 [2, 23] 1337 [7, 18] 716 [21, 18] 1029 [19, 24] 1019 [24, 3] 854 [19, 35] 434 [27, 20] 533 [7, 33] 394 [16, 39] 2152 [23, 32] 1764 [23, 16] 2038 [16, 30] 921 [43, 21] 1817 [2, 6] 498 [19, 15] 321 [18, 15] 834 [40, 19] 727 [40, 29] 1144 [21, 28] 101 [4, 21] 526 [27, 35] 393 [24, 36] 1267 [33, 15] 122 [16, 41] 1949 [46, 23] 630 [19, 52] 469 [29, 13] 2099 [6, 15] 197 [32, 29] 2029 [37, 21] 712 [36, 15] 407 [4, 7] 966 [16, 40] 1204 [15, 12] 355 [6, 16] 482 [37, 24] 238 [19, 12] 435 [24, 34] 364 [23, 9] 628 [19, 50] 392 [27, 24] 524 [47, 7] 1506 [2, 7] 944 [52, 7] 965 [15, 32] 579 [15, 39] 1549 [19, 34] 1218 [16, 45] 1824 [24, 18] 436 [10, 7] 501 [10, 29] 1352 [15, 16] 612 [23, 1] 1720 [18, 16] 1438 [6, 4] 600 [29, 14] 651 [52, 27] 1098 [15, 18] 835 [19, 4] 817 [35, 2] 219 [29, 20] 1142 [19, 26] 1469 [7, 13] 891 [16, 16] 0 [45, 7] 1104 [19, 1] 304 [23, 42] 760 [16, 36] 495 [19, 33] 328 [23, 40] 835 [23, 34] 371 [29, 40] 1143 [24, 50] 1007 [23, 11] 1626 [21, 33] 317 [6, 11] 351 [27, 7] 445 [43, 6] 1811 [24, 15] 831 [23, 24] 734 [16, 44] 1170 [48, 15] 94 [45, 27] 849 [18, 29] 910 [23, 13] 1809 [46, 19] 2028 [51, 21] 750 [19, 37] 896 [15, 28] 146 [43, 27] 1247 [20, 21] 990 [52, 29] 2275 [24, 8] 562 [35, 6] 651 [6, 13] 387 [21, 8] 313 [27, 47] 1636 [29, 26] 369 [19, 41] 1260 [20, 7] 645 [21, 29] 1938 [31, 19] 905 [16, 51] 1163 [27, 8] 443 [36, 29] 2053 [10, 24] 578 [24, 51] 232 [25, 19] 639 [24, 46] 1362 [27, 48] 463 [7, 47] 1506 [35, 27] 396 [18, 24] 435 [7, 16] 851 [7, 20] 644 [23, 28] 1543 [2, 21] 592 [22, 7] 851 [24, 38] 979 [47, 23] 2694 [31, 23] 2245 [6, 2] 496 [23, 30] 1163 [27, 40] 231 [7, 34] 878 [4, 19] 813 [7, 6] 489 [37, 44] 122 [19, 48] 329 [24, 35] 910 [6, 17] 306 [16, 21] 410 [20, 19] 1029 [19, 3] 168 [27, 30] 106 [23, 44] 875 [36, 3] 382 [19, 6] 225 [6, 24] 927 [24, 45] 812 [21, 37] 712 [27, 25] 274 [29, 41] 852 [12, 16] 958 [7, 32] 943 [15, 30] 318 [29, 4] 2464 [12, 30] 44 [27, 42] 1624 [24, 40] 396 [7, 52] 967 [16, 14] 1854 [51, 23] 926 [12, 23] 1157 [19, 49] 174 [6, 39] 1738 [47, 29] 3002 [27, 6] 567 [6, 44] 811 [36, 6] 265 [29, 5] 1045 [29, 45] 525 [29, 12] 1465 [6, 48] 104 [18, 19] 961 [7, 14] 1035 [21, 52] 535 [46, 43] 307 [19, 17] 89 [24, 11] 1201 [27, 18] 464 [44, 19] 930 [35, 24] 910 [21, 47] 1060 [24, 49] 979 [43, 45] 404 [21, 45] 1415 [23, 23] 0 [24, 27] 521 [4, 16] 132 [21, 26] 1568

```

[7, 26] 1254 [4, 24] 1402 [4, 15] 727 [19, 21] 318 [15, 35] 560 [19, 45] 1316 [27,
31] 1210 [44, 24] 137 [33, 21] 317 [29, 31] 2575 [29, 42] 516 [6, 31] 711 [17, 30]
336 [6, 46] 2121 [27, 41] 1115 [19, 31] 928 [16, 47] 663 [51, 16] 1158 [27, 32] 821
[16, 3] 778 [29, 49] 1655 [27, 5] 331 [30, 12] 44 [17, 23] 1434 [24, 41] 1444 [23,
41] 864 [7, 40] 554 [40, 15] 600 [20, 29] 1142 [35, 15] 559 [21, 41] 1569 [16, 23]
2038 [29, 44] 1312 [27, 43] 1252 [6, 3] 291 [35, 21] 745 [43, 15] 1621 [45, 16]
1826 [48, 16] 520 [6, 30] 507 [19, 27] 504 [23, 33] 1356 [24, 6] 994 [7, 31] 1080
[7, 37] 275 [24, 26] 918 [17, 6] 307 [6, 49] 391 [29, 50] 2002 [18, 6] 1024 [21,
31] 633 [52, 16] 388 [21, 21] 0 [45, 23] 236 [10, 23] 1043 [6, 38] 1739 [46, 44]
1502 [27, 13] 772 [6, 34] 1282 [46, 15] 1932 [6, 5] 890 [27, 1] 664 [24, 5] 346
[36, 27] 765 [24, 9] 1360 [7, 30] 495 [4, 6] 596 [15, 24] 820 [15, 33] 122 [6, 45]
1410 [27, 10] 66 [24, 43] 1093 [15, 17] 366 [16, 4] 142 [31, 6] 687 [32, 30] 690
[6, 6] 0 [37, 6] 756 [6, 18] 1023 [21, 16] 405 [18, 27] 461 [16, 17] 779 [10, 6]
627 [20, 23] 704 [7, 25] 178 [29, 30] 1471 [24, 39] 1323 [35, 23] 1131 [23, 6] 1624
;
end;

```

```
dezembro.dat
```

```
data;
```

```
param n := 53;
```

```
set T := truck carreta;
```

```
param U := truck 12000, carreta 24000;
```

```
param c := truck 1.0, carreta 1.4;
```

```

set V := 1 2 3 4 5 6 7 8 9 10 11 12 13 14 15 16 18 17 19 20 21 22 23 24 25 26 27 28
29 30 31 32 33 34 35 36 37 38 39 40 41 42 43 44 45 46 47 49 48 50 51 52 53;
set A := 43 24, 51 15, 6 27, 43 29, 23 27, 21 49, 29 7, 21 46, 7 46, 29 18, 37 7, 7
53, 16 43, 15 37, 21 48, 16 15, 15 46, 7 42, 25 24, 36 7, 45 29, 15 19, 30 24, 18
21, 16 18, 6 36, 23 20, 31 27, 7 15, 7 50, 15 42, 15 40, 17 16, 24 52, 17 27, 44 6,
32 21, 21 12, 19 36, 32 6, 23 47, 21 2, 30 15, 15 13, 20 27, 32 27, 29 39, 24 12,
30 19, 21 53, 25 7, 17 15, 37 16, 15 29, 45 6, 16 9, 24 31, 5 16, 33 19, 29 29, 27
29, 21 11, 33 7, 21 51, 40 6, 24 25, 49 27, 28 29, 27 12, 36 23, 49 21, 15 2, 29
47, 44 7, 46 21, 27 39, 19 43, 23 25, 21 20, 24 23, 23 2, 6 53, 27 15, 23 39, 19
23, 23 50, 23 21, 44 16, 20 16, 25 44, 7 8, 24 21, 15 14, 15 7, 6 26, 19 16, 30 6,
27 16, 6 47, 49 29, 4 23, 31 24, 7 36, 21 23, 21 34, 19 8, 15 22, 21 25, 46 24, 16
31, 27 34, 15 3, 6 23, 23 52, 7 12, 45 19, 47 15, 15 53, 44 37, 33 29, 19 32, 49
24, 29 1, 6 52, 6 50, 7 2, 16 11, 23 31, 48 24, 16 10, 27 36, 7 3, 35 7, 18 23, 7
48, 24 2, 12 7, 23 51, 6 8, 7 39, 40 27, 6 1, 16 37, 48 6, 21 40, 43 23, 27 37, 27
33, 23 49, 31 15, 48 23, 7 41, 24 30, 29 6, 43 16, 19 18, 15 20, 21 1, 24 20, 7 29,
15 9, 47 16, 7 27, 52 19, 44 29, 47 24, 15 23, 24 17, 45 26, 21 10, 36 53, 36 21, 2
15, 27 23, 24 24, 29 46, 33 16, 5 40, 6 51, 7 21, 27 9, 29 35, 16 34, 2 49, 2 19,
44 15, 29 38, 29 10, 7 7, 24 13, 23 45, 52 24, 29 27, 16 35, 24 10, 16 13, 40 23,
19 2, 21 15, 29 51, 36 16, 37 23, 15 6, 15 47, 19 14, 16 8, 16 24, 15 25, 23 36, 31
21, 15 44, 12 29, 5 21, 15 11, 15 50, 21 27, 45 15, 29 28, 16 38, 51 19, 48 29, 19
28, 21 42, 21 13, 48 21, 6 20, 16 42, 20 15, 16 19, 5 23, 29 23, 35 16, 29 34, 36

```

19, 27 49, 29 24, 7 51, 23 38, 27 3, 30 21, 24 29, 27 50, 19 22, 24 14, 16 27, 47
21, 4 27, 25 21, 6 28, 16 48, 29 17, 33 27, 16 28, 23 43, 15 27, 49 16, 12 21, 24
37, 15 45, 15 49, 2 27, 5 19, 35 19, 48 19, 29 52, 16 46, 30 27, 16 7, 24 1, 19 51,
6 32, 21 50, 51 7, 52 6, 52 15, 6 10, 19 5, 6 19, 21 9, 27 19, 6 35, 21 19, 29 53,
7 9, 16 1, 6 41, 19 11, 21 17, 6 14, 6 43, 29 22, 15 43, 23 3, 37 27, 27 2, 27 27,
29 11, 2 29, 30 23, 2 16, 37 29, 29 25, 28 6, 15 41, 7 45, 16 33, 19 44, 25 6, 30
29, 15 38, 6 40, 7 23, 23 7, 21 7, 6 25, 24 32, 19 19, 6 42, 49 7, 12 24, 6 33, 44
21, 6 12, 23 5, 28 7, 29 21, 7 38, 15 52, 27 46, 15 8, 47 27, 16 22, 28 24, 23 14,
16 5, 27 21, 31 7, 25 29, 46 6, 31 16, 29 16, 24 47, 15 31, 19 20, 6 7, 37 15, 16
25, 40 16, 45 43, 46 16, 29 32, 33 23, 24 28, 17 19, 23 10, 21 24, 6 29, 44 23, 30
16, 12 19, 23 15, 33 6, 43 26, 17 7, 17 21, 51 6, 15 1, 2 24, 12 27, 29 33, 32 23,
12 15, 29 37, 21 44, 49 23, 23 19, 27 45, 7 49, 25 15, 35 29, 23 8, 24 19, 15 15,
30 11, 44 27, 52 23, 15 51, 27 17, 4 29, 16 50, 47 6, 15 10, 52 21, 19 9, 43 19, 37
19, 43 41, 27 52, 24 7, 46 29, 7 19, 18 7, 43 7, 12 6, 32 24, 27 38, 16 29, 15 5,
21 30, 27 26, 32 15, 45 21, 16 49, 49 15, 29 19, 19 13, 32 19, 7 43, 49 19, 7 11,
24 42, 15 34, 16 20, 16 52, 15 21, 29 3, 25 20, 32 16, 21 38, 36 24, 19 46, 27 28,
21 5, 6 9, 40 7, 29 36, 24 33, 23 12, 21 14, 24 53, 16 26, 40 21, 29 8, 45 24, 6
21, 40 24, 5 7, 33 24, 49 6, 19 39, 46 7, 24 22, 5 6, 24 48, 7 44, 23 37, 21 39, 25
27, 23 46, 19 7, 21 35, 32 7, 19 42, 25 23, 19 40, 36 30, 23 35, 30 7, 21 36, 29
43, 28 15, 51 29, 27 44, 7 28, 23 48, 16 2, 19 47, 49 2, 7 5, 46 27, 24 16, 21 3,
19 25, 16 32, 15 48, 48 27, 23 17, 30 36, 51 24, 27 14, 46 20, 7 24, 7 17, 48 7, 16
6, 19 30, 19 10, 21 43, 29 9, 29 2, 7 1, 19 38, 29 15, 16 12, 17 24, 21 32, 7 10,
25 16, 20 24, 15 36, 23 18, 15 26, 27 51, 7 35, 24 44, 21 6, 17 29, 19 29, 51 27,
31 29, 29 48, 47 19, 23 29, 20 6, 6 37, 28 21, 23 26, 36 13, 27 11, 2 23, 7 18, 21
18, 19 24, 24 3, 19 35, 27 20, 7 33, 19 53, 16 39, 23 32, 23 16, 16 30, 43 21, 2 6,
19 15, 18 15, 40 19, 40 29, 21 28, 4 21, 27 35, 24 36, 33 15, 16 41, 23 22, 46 23,
19 52, 29 13, 6 15, 32 29, 37 21, 36 15, 4 7, 16 40, 15 12, 6 16, 37 24, 19 12, 24
34, 23 9, 19 50, 27 24, 27 53, 47 7, 2 7, 52 7, 15 32, 15 39, 19 34, 16 45, 24 18,
15 16, 23 1, 18 16, 29 14, 52 27, 15 18, 35 2, 29 20, 19 26, 7 13, 16 16, 45 7, 19
1, 23 42, 16 36, 19 33, 23 40, 23 34, 29 40, 24 50, 23 11, 21 33, 6 11, 43 6, 27 7,
24 15, 16 44, 23 24, 48 15, 45 27, 18 29, 23 13, 46 19, 51 21, 19 37, 15 28, 43 27,
5 29, 20 21, 52 29, 24 8, 35 6, 21 8, 6 13, 27 47, 19 41, 29 26, 20 7, 21 29, 31
19, 16 51, 27 8, 36 29, 24 51, 16 53, 25 19, 24 46, 30 25, 27 48, 7 47, 35 27, 18
24, 7 16, 7 20, 23 28, 2 21, 24 38, 47 23, 31 23, 6 2, 23 30, 27 40, 7 34, 4 19, 7
6, 37 44, 19 48, 30 2, 24 35, 6 17, 16 21, 20 19, 19 3, 23 44, 27 30, 36 3, 19 6, 6
24, 24 45, 21 37, 27 25, 29 41, 12 16, 7 32, 15 30, 27 42, 12 30, 24 40, 7 52, 16
14, 51 23, 12 23, 19 49, 6 39, 47 29, 27 6, 6 44, 36 6, 29 5, 29 45, 29 12, 6 48,
18 19, 7 14, 21 52, 19 17, 24 11, 27 18, 44 19, 35 24, 21 47, 24 49, 43 45, 21 45,
23 23, 24 27, 5 24, 4 16, 21 26, 7 26, 4 24, 4 15, 19 21, 15 35, 7 22, 19 45, 27
31, 44 24, 33 21, 29 31, 29 42, 6 31, 17 30, 27 41, 6 46, 19 31, 16 47, 51 16, 6
22, 27 32, 16 3, 29 49, 27 5, 30 12, 17 23, 24 41, 23 41, 28 23, 7 40, 5 27, 40 15,
20 29, 28 16, 35 15, 21 41, 16 23, 29 44, 27 43, 6 3, 35 21, 43 15, 27 22, 45 16,
48 16, 6 30, 19 27, 23 33, 24 6, 7 31, 7 37, 28 27, 24 26, 17 6, 6 49, 29 50, 18 6,
21 31, 52 16, 28 19, 21 21, 45 23, 6 38, 5 15, 27 13, 6 34, 46 15, 6 5, 27 1, 24 5,
36 27, 24 9, 7 30, 4 6, 15 24, 15 33, 27 10, 6 45, 24 43, 15 17, 31 6, 6 6, 37 6, 6
18, 21 16, 23 53, 18 27, 16 17, 20 23, 7 25, 29 30, 24 39, 35 23, 23 6, 21 22;

param: K:	R	O	D:=	1	3700	12	6	2	6502	43	29	3	13416	23		
	27	4	2595	21	49	5	6462	29	7	6	3356	23	34	7	295	16
	24	8	5689	21	33	9	2413	37	7	10	7536	21	30	11	2995	27
	26	12	13984	31	21	13	7578	25	24	14	698	21	27	15	9156	23
	24	16	8050	36	7	17	780	7	43	18	893	45	27	19	933	30
	24	20	412	6	36	21	241	49	19	22	4968	43	27	23	189	16
	52	24	4989	7	15	25	9496	15	21	26	2782	31	27	27	849	25
	20	28	7356	17	27	29	1422	24	8	30	3124	6	20	31	4222	21
	8	32	3411	29	26	33	129	19	36	34	17197	21	2	35	2232	21
	29	36	5812	32	27	37	4709	29	39	38	242	30	19	39	4354	27
	49	40	403	24	46	41	458	30	25	42	299	27	48	43	191	35
	27	44	637	2	21	45	12569	6	21	46	17954	6	2	47	1930	24
	25	48	1648	46	7	49	17210	27	40	50	6331	27	3	51	8276	49
	27	52	687	30	21	53	10964	7	6	54	1126	37	44	55	9754	24
	29	56	352	30	2	57	6261	24	14	58	194	49	21	59	4537	16
	21	60	11877	16	27	61	1592	47	21	62	2330	25	21	63	16209	27
	30	64	562	36	3	65	3499	19	6	66	6248	33	27	67	912	23
	37	68	1334	15	27	69	7805	23	43	70	3580	21	37	71	13461	24
	23	72	6842	25	27	73	20199	27	25	74	3063	24	37	75	3981	12
	21	76	752	19	7	77	8642	27	15	78	282	32	7	79	1480	2
	27	80	242	36	30	81	1194	21	36	82	1484	12	30	83	13995	29
	43	84	10320	30	27	85	3709	23	21	86	9942	27	44	87	3564	21
	50	88	335	19	49	89	3267	6	19	90	5641	27	6	91	2622	49
	2	92	1025	25	44	93	3714	6	44	94	7909	7	8	95	4981	46
	27	96	336	36	6	97	4223	27	19	98	3754	15	7	99	9126	29
	45	100	2482	21	19	101	3890	48	27	102	125	19	17	103	3516	31
	24	104	1074	19	11	105	10836	27	18	106	342	30	36	107	12416	21
	25	108	2872	46	24	109	5982	21	47	110	698	46	20	111	9416	7
	24	112	526	43	45	113	10225	48	7	114	980	19	30	115	1410	21
	43	116	22034	24	27	117	1478	25	6	118	3194	29	9	119	1389	47
	15	120	441	19	21	121	16495	44	37	122	12025	7	23	123	316	20
	24	124	6939	23	7	125	445	15	36	126	13565	6	25	127	13482	27
	51	128	4737	29	42	129	5032	24	44	130	285	49	7	131	4292	6
	33	132	4387	21	6	133	207	17	30	134	4536	27	36	135	179	51
	27	136	17668	23	29	137	537	27	46	138	2018	27	32	139	4352	6
	37	140	15515	27	5	141	845	30	12	142	130	28	21	143	5096	6
	8	144	15254	47	27	145	4061	6	1	146	117	40	27	147	993	36
	13	148	4948	23	14	149	3729	27	11	150	15361	27	21	151	21430	27
	43	152	2466	6	3	153	3232	31	7	154	1990	43	23	155	23247	27
	22	156	7164	27	33	157	13044	27	20	158	5746	6	30	159	12557	19
	27	160	107	45	43	161	2027	24	6	162	933	17	19	163	555	2
	6	164	6799	7	37	165	9583	24	20	166	878	7	29	167	3914	21
	28	168	5949	6	49	169	10500	27	35	170	4584	4	21	171	6056	21
	31	172	391	52	16	173	161	33	15	174	5165	47	24	175	244	33
	6	176	8866	6	15	177	852	45	23	178	382	37	21	179	250	43
	26	180	294	17	7	181	5010	36	15	182	176	45	26	183	546	37

```

24 184 7144 24 34 185 823 36 53 186 3927 36 21 187 17130 12
27 188 8558 27 23 189 16475 36 27 190 8225 47 7 191 17361 29
46 192 228 29 37 193 7495 21 44 194 248 5 40 195 6877 7
21 196 4936 15 33 197 10227 27 45 198 1087 2 49 199 6523 29
38 200 8536 27 10 201 125 25 15 202 318 23 45 203 18845 29
27 204 487 24 43 205 751 30 11 206 2747 44 27 207 10123 21
16 208 1094 27 17 209 401 19 2 210 7873 21 15 211 257 35
2 212 262 18 27 213 11228 24 7 214 4130 15 6 215 11892 46
29 216 6538 43 41 217 4924 7 25 ;

```

```

param distancia default 0 := [43, 24] 1092 [51, 15] 663 [6, 27] 569 [43, 29] 118
[23, 27] 1061 [21, 49] 483 [29, 7] 1625 [21, 46] 2127 [7, 46] 1814 [29, 18] 909
[37, 7] 274 [7, 53] 990 [16, 43] 2225 [15, 37] 643 [21, 48] 110 [16, 15] 611 [15,
46] 1933 [7, 42] 1875 [25, 24] 460 [36, 7] 762 [45, 29] 526 [15, 19] 320 [30, 24]
622 [18, 21] 1030 [16, 18] 1437 [6, 36] 267 [23, 20] 704 [31, 27] 1190 [7, 15] 371
[7, 50] 502 [15, 42] 1994 [15, 40] 601 [17, 16] 781 [24, 52] 1472 [17, 27] 444 [44,
6] 878 [32, 21] 514 [21, 12] 549 [19, 36] 218 [32, 6] 444 [23, 47] 2693 [21, 2] 587
[30, 15] 317 [15, 13] 519 [20, 27] 529 [32, 27] 821 [29, 39] 480 [24, 12] 631 [30,
19] 398 [21, 53] 558 [25, 7] 178 [17, 15] 368 [37, 16] 1119 [15, 29] 1744 [45, 6]
1412 [16, 9] 2465 [24, 31] 1585 [5, 16] 1305 [33, 19] 326 [29, 29] 0 [27, 29] 1373
[21, 11] 443 [33, 7] 395 [21, 51] 754 [40, 6] 789 [24, 25] 459 [49, 27] 468 [28,
29] 1860 [27, 12] 114 [36, 23] 1762 [49, 21] 487 [15, 2] 590 [29, 47] 3001 [44, 7]
396 [46, 21] 2128 [27, 39] 1168 [19, 43] 1717 [23, 25] 1187 [21, 20] 994 [24, 23]
735 [23, 2] 1334 [6, 53] 544 [27, 15] 377 [23, 39] 684 [19, 23] 1549 [23, 50] 1694
[23, 21] 1630 [44, 16] 1240 [20, 16] 1397 [25, 44] 343 [7, 8] 129 [24, 21] 949 [15,
14] 1251 [15, 7] 373 [6, 26] 1562 [19, 16] 699 [30, 6] 507 [27, 16] 981 [6, 47]
1137 [49, 29] 1675 [4, 23] 2154 [31, 24] 1494 [7, 36] 762 [21, 23] 1630 [21, 34]
1288 [19, 8] 621 [15, 22] 797 [21, 25] 458 [46, 24] 1362 [16, 31] 253 [27, 34] 723
[15, 3] 253 [6, 23] 1624 [23, 52] 2009 [7, 12] 532 [45, 19] 1318 [47, 15] 1267 [15,
53] 751 [44, 37] 122 [33, 29] 1667 [19, 32] 314 [49, 24] 982 [29, 1] 2029 [6, 52]
521 [6, 50] 176 [7, 2] 942 [16, 11] 650 [23, 31] 2267 [48, 24] 905 [16, 10] 1050
[27, 36] 763 [7, 3] 604 [35, 7] 812 [18, 23] 602 [7, 48] 457 [24, 2] 1040 [12, 7]
532 [23, 51] 926 [6, 8] 362 [7, 39] 1603 [40, 27] 226 [6, 1] 88 [16, 37] 1120 [48,
6] 106 [21, 40] 796 [43, 23] 361 [27, 37] 536 [27, 33] 300 [23, 49] 1365 [31, 15]
819 [48, 23] 1521 [7, 41] 1550 [24, 30] 623 [29, 6] 1932 [43, 16] 2225 [19, 18] 959
[15, 20] 903 [21, 1] 102 [24, 20] 130 [7, 29] 1625 [15, 9] 1862 [47, 16] 662 [7,
27] 440 [52, 19] 468 [44, 29] 1313 [47, 24] 1942 [15, 23] 1435 [24, 17] 958 [45,
26] 156 [21, 10] 642 [36, 53] 315 [36, 21] 336 [2, 15] 593 [27, 23] 1065 [24, 24] 0
[29, 46] 322 [33, 16] 726 [5, 40] 101 [6, 51] 803 [7, 21] 444 [27, 9] 1492 [29, 35]
1421 [16, 34] 1696 [2, 49] 107 [2, 19] 280 [44, 15] 715 [29, 38] 193 [29, 10] 1352
[7, 7] 0 [24, 13] 1396 [23, 45] 235 [52, 24] 1402 [29, 27] 1369 [16, 35] 1124 [24,
10] 577 [16, 13] 458 [40, 23] 835 [19, 2] 278 [21, 15] 203 [29, 51] 1234 [36, 16]
498 [37, 23] 976 [15, 6] 198 [15, 47] 1267 [19, 14] 1375 [16, 8] 721 [16, 24] 1286
[15, 25] 345 [23, 36] 1760 [31, 21] 617 [15, 44] 703 [12, 29] 1466 [5, 21] 896 [15,
11] 483 [15, 50] 268 [21, 27] 574 [45, 15] 1222 [29, 28] 1851 [16, 38] 2153 [51,
19] 789 [48, 29] 1830 [19, 28] 378 [21, 42] 2189 [21, 13] 459 [48, 21] 112 [6, 20]
1043 [16, 42] 2597 [20, 15] 902 [16, 19] 697 [5, 23] 737 [29, 23] 440 [35, 16] 1125

```

[29, 34] 809 [36, 19] 221 [27, 49] 463 [29, 24] 1172 [7, 51] 419 [23, 38] 248 [27, 3] 337 [30, 21] 513 [24, 29] 1173 [27, 50] 637 [19, 22] 840 [24, 14] 522 [16, 27] 983 [47, 21] 1066 [4, 27] 1099 [25, 21] 461 [6, 28] 153 [16, 48] 518 [29, 17] 1724 [33, 27] 303 [16, 28] 509 [23, 43] 362 [15, 27] 380 [49, 16] 867 [12, 21] 549 [24, 37] 238 [15, 45] 1221 [15, 49] 485 [2, 27] 528 [5, 19] 827 [35, 19] 433 [48, 19] 330 [29, 52] 2299 [16, 46] 2536 [30, 27] 108 [16, 7] 850 [24, 1] 1039 [19, 51] 787 [6, 32] 448 [21, 50] 81 [51, 7] 419 [52, 6] 518 [52, 15] 727 [6, 10] 636 [19, 5] 825 [6, 19] 225 [21, 9] 2057 [27, 19] 504 [6, 35] 651 [21, 19] 317 [29, 53] 2186 [7, 9] 1743 [16, 1] 373 [6, 41] 1477 [19, 11] 205 [21, 17] 398 [6, 14] 1440 [6, 43] 1811 [29, 22] 999 [15, 43] 1622 [23, 3] 1384 [37, 27] 532 [27, 2] 523 [27, 27] 0 [29, 11] 1917 [2, 29] 1628 [30, 23] 1163 [2, 16] 972 [37, 29] 1414 [29, 25] 1495 [28, 6] 153 [15, 41] 1496 [7, 45] 1102 [16, 33] 725 [19, 44] 929 [25, 6] 506 [30, 29] 1471 [15, 38] 1551 [6, 40] 790 [7, 23] 1248 [23, 7] 1249 [21, 7] 441 [6, 25] 534 [24, 32] 1338 [19, 19] 0 [6, 42] 2183 [49, 7] 860 [12, 24] 630 [6, 33] 311 [44, 21] 833 [6, 12] 544 [23, 5] 736 [28, 7] 341 [29, 21] 1938 [7, 38] 1432 [15, 52] 728 [27, 46] 1563 [15, 8] 244 [47, 27] 1639 [16, 22] 1400 [28, 24] 778 [23, 14] 213 [16, 5] 1304 [27, 21] 573 [31, 7] 1057 [25, 29] 1496 [46, 6] 2122 [31, 16] 224 [29, 16] 2346 [24, 47] 2011 [15, 31] 841 [19, 20] 1027 [6, 7] 490 [37, 15] 639 [16, 25] 866 [40, 16] 1204 [45, 43] 404 [46, 16] 2536 [29, 32] 2054 [33, 23] 1359 [24, 28] 845 [17, 19] 89 [23, 10] 1044 [21, 24] 878 [6, 29] 1932 [44, 23] 875 [30, 16] 921 [12, 19] 436 [23, 15] 1434 [33, 6] 311 [43, 26] 248 [17, 7] 710 [17, 21] 401 [51, 6] 852 [15, 1] 295 [2, 24] 1043 [12, 27] 116 [29, 33] 1665 [32, 23] 1739 [12, 15] 354 [29, 37] 1413 [21, 44] 762 [49, 23] 1385 [23, 19] 1548 [27, 45] 851 [7, 49] 858 [25, 15] 347 [35, 29] 1422 [23, 8] 1299 [24, 19] 1021 [15, 15] 0 [30, 11] 555 [44, 27] 492 [52, 23] 1985 [15, 51] 663 [27, 17] 441 [4, 29] 2462 [16, 50] 411 [47, 6] 1136 [15, 10] 447 [52, 21] 538 [19, 9] 1957 [43, 19] 1717 [37, 19] 897 [43, 41] 731 [27, 52] 1097 [24, 7] 512 [46, 29] 324 [7, 19] 713 [18, 7] 716 [43, 7] 1503 [12, 6] 543 [32, 24] 1336 [27, 38] 1180 [16, 29] 2346 [15, 5] 701 [21, 30] 512 [27, 26] 1003 [32, 15] 585 [45, 21] 1418 [16, 49] 864 [49, 15] 487 [29, 19] 1838 [19, 13] 269 [32, 19] 313 [7, 43] 1503 [49, 19] 175 [7, 11] 839 [24, 42] 1492 [15, 34] 1093 [16, 20] 1403 [16, 52] 387 [15, 21] 204 [29, 3] 1693 [25, 20] 530 [32, 16] 606 [21, 38] 1745 [36, 24] 1199 [19, 46] 2028 [27, 28] 510 [21, 5] 896 [6, 9] 2051 [40, 7] 554 [29, 36] 2051 [24, 33] 754 [23, 12] 1157 [21, 14] 1445 [24, 53] 1495 [16, 26] 1976 [40, 21] 796 [29, 8] 1643 [45, 24] 812 [6, 21] 102 [40, 24] 395 [5, 7] 583 [33, 24] 755 [49, 6] 393 [19, 39] 1598 [46, 7] 1814 [24, 22] 922 [5, 6] 890 [24, 48] 917 [7, 44] 394 [23, 37] 975 [21, 39] 1744 [25, 27] 269 [23, 46] 631 [19, 7] 749 [21, 35] 743 [32, 7] 941 [19, 42] 2090 [25, 23] 1187 [19, 40] 726 [36, 30] 610 [23, 35] 1131 [30, 7] 496 [21, 36] 330 [29, 43] 118 [28, 15] 146 [51, 29] 1235 [27, 44] 496 [7, 28] 339 [23, 48] 1520 [16, 2] 968 [19, 47] 1354 [49, 2] 105 [7, 5] 582 [46, 27] 1559 [24, 16] 1356 [21, 3] 397 [19, 25] 637 [16, 32] 608 [15, 48] 94 [48, 27] 466 [23, 17] 1434 [30, 36] 611 [51, 24] 231 [27, 14] 881 [46, 20] 1331 [7, 24] 511 [7, 17] 708 [48, 7] 459 [16, 6] 480 [19, 30] 396 [19, 10] 547 [21, 43] 1817 [29, 9] 384 [29, 2] 1624 [7, 1] 533 [19, 38] 1646 [29, 15] 1742 [16, 12] 958 [17, 24] 958 [21, 32] 511 [7, 10] 501 [25, 16] 869 [20, 24] 130 [15, 36] 398 [23, 18] 629 [15, 26] 1373 [27, 51] 293 [7, 35] 812 [24, 44] 138 [21, 6] 99 [17, 29] 1725 [19, 29] 1839 [51, 27] 289 [31, 29] 2554 [29, 48] 1828 [47, 19] 1353 [23, 29] 442

[20, 6] 1092 [6, 37] 760 [28, 21] 104 [23, 26] 186 [36, 13] 106 [27, 11] 684 [2, 23] 1337 [7, 18] 716 [21, 18] 1029 [19, 24] 1019 [24, 3] 854 [19, 35] 434 [27, 20] 533 [7, 33] 394 [19, 53] 447 [16, 39] 2152 [23, 32] 1764 [23, 16] 2038 [16, 30] 921 [43, 21] 1817 [2, 6] 498 [19, 15] 321 [18, 15] 834 [40, 19] 727 [40, 29] 1144 [21, 28] 101 [4, 21] 526 [27, 35] 393 [24, 36] 1267 [33, 15] 122 [16, 41] 1949 [23, 22] 708 [46, 23] 630 [19, 52] 469 [29, 13] 2099 [6, 15] 197 [32, 29] 2029 [37, 21] 712 [36, 15] 407 [4, 7] 966 [16, 40] 1204 [15, 12] 355 [6, 16] 482 [37, 24] 238 [19, 12] 435 [24, 34] 364 [23, 9] 628 [19, 50] 392 [27, 24] 524 [27, 53] 954 [47, 7] 1506 [2, 7] 944 [52, 7] 965 [15, 32] 579 [15, 39] 1549 [19, 34] 1218 [16, 45] 1824 [24, 18] 436 [15, 16] 612 [23, 1] 1720 [18, 16] 1438 [29, 14] 651 [52, 27] 1098 [15, 18] 835 [35, 2] 219 [29, 20] 1142 [19, 26] 1469 [7, 13] 891 [16, 16] 0 [45, 7] 1104 [19, 1] 304 [23, 42] 760 [16, 36] 495 [19, 33] 328 [23, 40] 835 [23, 34] 371 [29, 40] 1143 [24, 50] 1007 [23, 11] 1626 [21, 33] 317 [6, 11] 351 [43, 6] 1811 [27, 7] 445 [24, 15] 831 [16, 44] 1170 [23, 24] 734 [48, 15] 94 [45, 27] 849 [18, 29] 910 [23, 13] 1809 [46, 19] 2028 [51, 21] 750 [19, 37] 896 [15, 28] 146 [43, 27] 1247 [5, 29] 1045 [20, 21] 990 [52, 29] 2275 [24, 8] 562 [35, 6] 651 [21, 8] 313 [6, 13] 387 [27, 47] 1636 [19, 41] 1260 [29, 26] 369 [20, 7] 645 [21, 29] 1938 [31, 19] 905 [16, 51] 1163 [27, 8] 443 [36, 29] 2053 [24, 51] 232 [16, 53] 557 [25, 19] 639 [24, 46] 1362 [30, 25] 324 [27, 48] 463 [7, 47] 1506 [35, 27] 396 [18, 24] 435 [7, 16] 851 [7, 20] 644 [23, 28] 1543 [2, 21] 592 [24, 38] 979 [47, 23] 2694 [31, 23] 2245 [6, 2] 496 [23, 30] 1163 [27, 40] 231 [7, 34] 878 [4, 19] 813 [7, 6] 489 [37, 44] 122 [19, 48] 329 [30, 2] 454 [24, 35] 910 [6, 17] 306 [16, 21] 410 [20, 19] 1029 [19, 3] 168 [23, 44] 875 [27, 30] 106 [36, 3] 382 [19, 6] 225 [6, 24] 927 [24, 45] 812 [21, 37] 712 [27, 25] 274 [29, 41] 852 [12, 16] 958 [7, 32] 943 [15, 30] 318 [27, 42] 1624 [12, 30] 44 [24, 40] 396 [7, 52] 967 [16, 14] 1854 [51, 23] 926 [12, 23] 1157 [19, 49] 174 [6, 39] 1738 [47, 29] 3002 [27, 6] 567 [6, 44] 811 [36, 6] 265 [29, 5] 1045 [29, 45] 525 [29, 12] 1465 [6, 48] 104 [18, 19] 961 [7, 14] 1035 [21, 52] 535 [19, 17] 89 [24, 11] 1201 [27, 18] 464 [44, 19] 930 [35, 24] 910 [21, 47] 1060 [24, 49] 979 [43, 45] 404 [21, 45] 1415 [23, 23] 0 [24, 27] 521 [5, 24] 346 [4, 16] 132 [21, 26] 1568 [7, 26] 1254 [4, 24] 1402 [4, 15] 727 [19, 21] 318 [15, 35] 560 [7, 22] 851 [19, 45] 1316 [27, 31] 1210 [44, 24] 137 [33, 21] 317 [29, 31] 2575 [29, 42] 516 [6, 31] 711 [17, 30] 336 [27, 41] 1115 [6, 46] 2121 [19, 31] 928 [16, 47] 663 [51, 16] 1158 [6, 22] 985 [27, 32] 821 [16, 3] 778 [29, 49] 1655 [27, 5] 331 [30, 12] 44 [17, 23] 1434 [24, 41] 1444 [23, 41] 864 [28, 23] 1552 [7, 40] 554 [5, 27] 327 [40, 15] 600 [20, 29] 1142 [28, 16] 512 [35, 15] 559 [21, 41] 1569 [16, 23] 2038 [29, 44] 1312 [27, 43] 1252 [6, 3] 291 [35, 21] 745 [43, 15] 1621 [27, 22] 416 [45, 16] 1826 [48, 16] 520 [6, 30] 507 [19, 27] 504 [23, 33] 1356 [24, 6] 994 [7, 31] 1080 [7, 37] 275 [28, 27] 512 [24, 26] 918 [17, 6] 307 [6, 49] 391 [29, 50] 2002 [18, 6] 1024 [21, 31] 633 [52, 16] 388 [28, 19] 377 [21, 21] 0 [45, 23] 236 [6, 38] 1739 [5, 15] 701 [27, 13] 772 [6, 34] 1282 [46, 15] 1932 [6, 5] 890 [27, 1] 664 [24, 5] 346 [36, 27] 765 [24, 9] 1360 [7, 30] 495 [4, 6] 596 [15, 24] 820 [15, 33] 122 [27, 10] 66 [6, 45] 1410 [24, 43] 1093 [15, 17] 366 [31, 6] 687 [6, 6] 0 [37, 6] 756 [6, 18] 1023 [21, 16] 405 [23, 53] 1896 [18, 27] 461 [16, 17] 779 [20, 23] 704 [7, 25] 178 [29, 30] 1471 [24, 39] 1323 [35, 23] 1131 [23, 6] 1624 [21, 22] 991 ;

end;